ПРИМЕРЫ РАСЧЕТОВ ПО КУРСУ "ХОЛОДИЛЬНАЯ ТЕХНИКА"

Под редакцией канд, техн. наук Н. Д. МАЛОВОИ

Допущено Министерством высшего и среднего впециального образования СССР в качестве учебного пособия для студентов вузов, обучающихся по впециальности «Машины и аппараты пищевых вреизводств», и технологических специальностей вусов пищевой промышленности



ББК 31.392 Π76 УДК 664.8.037:621.56/59(075.8)

Г. Д. Аверин, А. М. Бражников, А. И. Васильев, Н. Д. Малова

Рецензенты: кафедра «Холодильные машины и установки» Всесоюзного заочного института пищевой промышленности (зав. кафедрой В. М. Шавра), д-р техн. наук, проф. А. А. Гоголин.

Примеры расчетов по курсу «Холодильная техни-П76 ка» / Г. Д. Аверин, А. М. Бражников, А. И. Васильев, H. Д. Малова. — М.: Агропромиздат, 1986. — 183 с.: ил. - (Учебники и учебные пособия для высших учебных заведений).

В учебном пособии приведены примеры расчетов термодинамических осноз получения низких температур, циклов одно- и двухступеннатых холодильных машин, процессов холодильной технологии пищевых продуктов, емкости, размеров и теплоизоляционных конструкций холодильников, тепловых нагрузок на колодильное оборудование, а также примеры расчетов и подбора оборудования холодильных установок. Учебное пособие предназначено для студентов механических и технологи-

ческих специальностей вузов пищевой промышленности.

ББК 31.392

Настоящее учебное пособие предназначено для закрепления основных положений курса «Холодильная техника» через решение конкретных задач. При подготовке к изданию авторы пособия руководствовались рабочими программами по курсу «Холодильная техника» для специальностей: «Машины и аппараты пищевых производств», «Комплексная механизация и автоматизация производств», «Технология мяса и мяспых продуктов», «Технология молока и молочных продуктов» и др.

Каждая глава открывается кратким теоретическим введением в связи с отсутствием учебника и учебного пособия по данному курсу для названных специальностей. Затем следуют примеры с подробным решением и необходимыми пояснениями. Авторы стремились возможно большее количество примеров заимствовать из практики проектирования и эксплуатации холодильного оборудования, вследствие чего они могут быть полезными не только студентам, но и инженерам, работающим на предприятиях пищевой промышленности и агропромышленного комплекса.

Для решения примеров авторами использован справочный материал, часть которого приведена в приложениях.

Предисловие, главы с I по VIII, с X по XV и приложения написаны канд. техн. наук Г. Д. Авериным, д-ром техн. наук А. М. Бражниковым, канд. техн. наук Н. Д. Маловой совместно, глава IX — канд. техн. наук А. И. Васильевым.

Авторы выражают искреннюю благодарность зав. кафедрой «Холодильные машины и установки» Всесоюзного заочного института пищевой промышленности канд. техн. наук В. М. Шавре и д-ру техн. наук, проф. А. А. Гоголину за ценные замечания и полезные советы, сделанные при рецензировании учебного пособия.

ГЛАВА І. ТЕРМОДИНАМИЧЕСКИЕ ОСНОВЫ ПОЛУЧЕНИЯ НИЗКИХ ТЕМПЕРАТУР

Искусственное охлаждение представляет собой процесс переноса теплоты от тела с низкой температурой к телу с высокой температурой, осуществляе-

мый с затратой внешней работы (энергии).

Производство холода — конечный результат процессов, совершаемых в холодильной машине (рис. I-1). Тело A имеет температуру T_0 , а тело B (окружающая среда) — температуру $T_{\rm R}$, причем $T_{\rm R} > T_0$; C — рабочее вещество, температура которого изменяется при изменении давления. При вонижении давления (при расширении) рабочего вещества его температуру можно понизить до температуры ниже T_0 . При этом рабочее вещество сможет отнять от тела A теплоту в количестве q_0 . Затратив извне энергию $q_{\rm BR}$, произведем сжатие рабочего вещества, повысив его температуру до уровня, большего, чем $T_{\rm R}$, что сделает возможным передачу теплоты в количестве $q_0+q_{\rm BR}$ от рабочего вещества к окружающей среде. Периодически повторяющаяся совокупность процессов «расширение — теплообмен — сжатие — теплообмен — расширение», результатом которых является перенос теплоты от охлаждаемого тела (и с затратой энергии передача ее охлаждающей среде, имеющей более высокую температуру, чем охлаждаемое тело), называется обратным циклом. Перенос теплоты от тела A к телу B с минимальной затратой внешней энергии осуществляется с помощью обратного цикла Карно.

Схема обратного цикла Карно в координатах T (температура) — s (эвтропия) показана на рис. I-2. Цикл состоит из следующих процессов изменения состояния рабочего вещества (холодильного агента): изотермическое отнятие теплоты q_0 от охлаждаемого объекта (линия 4-1), адиабатное (без теплообмена с внешней средой) сжатие (линия 1-2), изотермический подвод теплоты (q_0+q_{BH}) к окружающей среде (линия 2-3) и адиабатное расширение (линия 3-4). Каждый из процессов является обратимым. Цикл будет обратимым, если в каждом процессе теплообмена разность температур охлаждаемого тела, охлаждающей среды и рабочего вещества будет бесконечно мала, а процессы расширения и сжатия совершаются без изменения энтропии. Обратный цикл Карно, состоящий только из обратимых процессов, является

образцовым циклом максимальной энергетической эффективности.

Энергетическую эффективность цикла оценивают значением холодильного коэффициента ε , представляющего собой отношение отнятой от охлаждаемого объекта теплоты q_0 к затраченной внешней энергии q_{BB} :

$$\varepsilon = q_0/q_{BH},$$
 (I—1)

где q_0 — теплота, отнимаемая от охлаждаемого объекта 1 кг холодильного агента (удельная массовая холодопроизводительность), кДж/кг; $q_{\tt BB}$ — удельная внешняя энергия (удельная затраченная работа l), кДж/кг.

Выражение для определения холодильного коэффициента ен обратного цикла Карно можно представить в виде

$$\varepsilon_{\rm R} = T_0/(T_{\rm R} - T_0),$$
 (I-2)

где T_0 и $T_{\rm K}$ — температура охлаждаемого объекта и окружающей среды, К. Холодильный коэффициент $e_{\rm K}$ обратного цикла Қарно имеет максимальное из возможных значений (для других обратных циклов) при одинаковой разности температур $T_{\rm K}$ — T_0 .

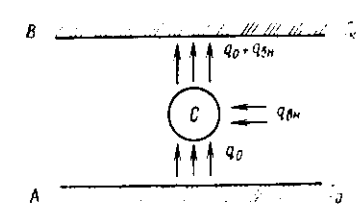


Рис. I—1. Схема работы холодильной машины

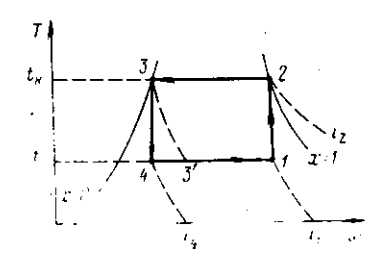


Рис. I—2. Построение обратното цикла Карно в диаграмме s—T

Степень термодинамического совершенства цикла холодильной машины определяется путем сравнения его холодильного коэффициента е с холодильным коэффициентом ек обратного цикла Карно

$$\eta = \varepsilon / \varepsilon_{\kappa} < 1.$$
 (I—3)

Пример 1—1. Определить удельную массовую холодопроизводительность q_0 , удельную теплоту $q_{\rm K}$, отводимую в конденсаторе, а также холодильный коэффициент $\varepsilon_{\rm K}$, если известно, что аммиачная холодильная машина работает по обратному циклу Карно; температура кипения $t_0 = -10\,^{\circ}{\rm C}$, температура конденсации $t_{\rm K} = +30\,^{\circ}{\rm C}$.

Выполняем построение цикла в s-T-диаграмме для аммиака. Для этого сначала проводим изотерму $t_{\rm R}=+30\,^{\circ}{\rm C}$ (см. рис. 1-2) и отмечаем точки пересечения изотермы с пограничными кривыми x=0 и x=1 (точки 3 и 2 на рис. 1-2). Затем проводим изотерму $t_0=-10\,^{\circ}{\rm C}$, а из точек 3 и 2 — линии $s={\rm const}$ и находим точки пересечения этих линий с изотермой t_0 (точки 4 и 1 на рис. 1-2). После построения цикла графически по диаграмме (приложение 1) или по табличным данным для аммиака определяем значения энтальпий: $i_1=1540,8$ кДж/кг; $i_2=1702,9$ кДж/кг; $i_3=565,3$ кДж/кг; $i_4=552,3$ кДж/кг.

Рассчитываем удельную массовую холодопроизводительность

$$q_0 = i_1 - i_4 = 1540,8 - 552,3 = 988,5$$
 кДж/кг,

а также удельную затраченную работу

$$l = q_{\text{вн}} = q_{\text{сж}} - q_{\text{расш}},$$

где $q_{\text{с.ж.}}$, $q_{\text{расш}}$ — удельная работа сжатия и расширения паров аммиака, к $\mathbf{H}_{\mathbf{x}}/\mathbf{k}\mathbf{r}$;

$$q_{\text{сж}} = i_2 - i_1 = 1702,9 - 1540,8 = 162,1$$
 кДж/кг;
$$q_{\text{расш}} = i_3 - i_4 = 565,3 - 552,3 = 13$$
 кДж/кг;
$$q_{\text{вн}} = 162,1 - 13 = 149,1$$
 кДж/кг.

Подставляем известные данные и определяем теплоту $q_{\rm K}$, отводимую в конденсаторе:

$$q_{\mathrm{K}} = q_0 + q_{\mathrm{BH}} = i_2 - i_3;$$
 $q_{\mathrm{K}} = 988.5 + 149.1 = 1137.6 \ \mathrm{K} \mathrm{Д} \mathrm{ж}/\mathrm{K} \mathrm{\Gamma},$

или

$$q_R = 1702,9 - 565,3 = 1137,6$$
 кДж/кг.

Холодильный коэффициент ε_{κ} рассчитываем по формулам (I—1), (I—2):

$$\varepsilon_{\rm K} = \frac{988.5}{149.1} = 6.6$$
;

$$\varepsilon_{\rm K} = \frac{(273 - 10)}{(273 + 30) - (273 - 10)} = 6.6.$$

Пример I—2. Для условий примера I—1 определить, как изменится теоретический холодильный коэффициент ϵ , если процесс адиабатного расширения заменить изоэнтальпийным (линия 3—4 заменяется линией 3—3′ на рис. I—2).

При замене процесса адиабатного расширения изоэнтальпийным цикл машины изображается фигурой 1-2-3-3'-1 (см. рис. 1-2). Энтальпия

$$i_{3} = i_{3} = 565.3 \text{ кДж/кг.}$$

Удельная массовая холодопроизводительность определяется как разность энтальпий:

$$q_0 = i_1 - i_{3'} = 1540.8 - 565.3 = 975.5 \text{ кДж/кг.}$$

Удельная затраченная работа $q_{\rm BH}$ равна удельной работе сжатия $q_{\rm CH}$, так как при изоэнтальпийном расширении удельная работа расширения $q_{\rm pacm} = 0$:

$$q_{\text{вн}} = q_{\text{сж}} = i_2 - i_1 = 162,1$$
 кДж/кг.

Следовательно, теоретический холодильный коэффициент, найденный по формуле (I-1),

$$\varepsilon = \frac{975,5}{162,1} = 6,02.$$

Таким образом, замена адиабатного расширения изоэнтальпийным уменьшает теоретический холодильный коэффициент машины, так как уменьшается удельная массовая холодопроизводительность q_0 и увеличивается удельная затраченная работа $q_{\rm BU}$.

Пример I—3. Определить степень термодинамического совершенства цикла холодильной машины для наиболее распространенных холодильных агентов R717, R12 и R22 при использовании их в холодильных машинах, работающих по циклу с всасываннем сухого насыщенного пара в компрессор и изоэнтальпийным расширением жидкого холодильного агента, если известно: $t_0 = -10$ °C, $t_R = +25$ °C.

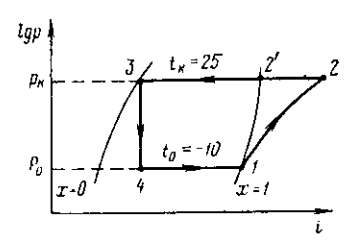


Рис. І-3. К примеру І-3

Для построения цикла в днаграмме $\lg p - i$ (рис. 1-3) проводим изотерму $t_0 = -10\,^{\circ}\mathrm{C}$ до пересечения с пограничной кривой насыщенного пара x = 1 и изотерму $t_{\mathrm{R}} = +25\,^{\circ}\mathrm{C}$ до пересечения с пограничной кривой x = 0. На пересечении изотерм с пограничными кривыми находим точки 1 и 3. Из точки 3 проводим изоэнтальпу до пересечения с изотермой $t_0 = -10\,^{\circ}\mathrm{C}$ и получаем точку 4, характеризующую состояние холодильного агента после изоэнтальпийного расширения. Для нахождения точки 2, характеризующей состояние паров в конце процесса сжатия в компрессоре, из точки 1 проводим линию $s = \mathrm{const}$ (аднабату) до пересечения с изобарой p_{R} , соответствующей заданной температуре конденсации t_{R} .

Холодильный коэффициент обратного цикла Карно определяем по формуле (1—2)

$$\varepsilon_{\rm K} = \frac{(273-10)}{(273+25)-(273-10)} = 7,52.$$

Холодильный коэффициент ε цикла холодильной машины, работающей с всасыванием в компрессор сухого насыщенного пара, определяем по формуле (I-1), а степень термодинамического совершенства— по формуле (I-3), учитывая диаграммы приложений 1, 2, 3 и уравнения.

$$q_0 = i_1 - i_4$$
; $q_{BH} = i_2 - i_1$:

для R717

$$\varepsilon = \frac{1670 - 539}{1844 - 1670} = 6.5$$
; $\eta = \frac{6.5}{7.52} = 0.864$;

для R12

$$\varepsilon = \frac{548 - 424}{568 - 548} = 6.2$$
; $\eta = \frac{6.2}{7.52} = 0.824$;

для R22

$$\varepsilon = \frac{600 - 424}{628 - 600} = 6,28$$
; $\eta = \frac{6,28}{7,52} = 0,835$.

Из расчета следует, что степень термодинамического совершенства циклов при использовании холодильных агентов R12 и R22 меньше, чем при применении R717.

ГЛАВА II. ТЕОРЕТИЧЕСКИЙ И ДЕЙСТВИТЕЛЬНЫЙ ЦИКЛЫ ОДНОСТУПЕНЧАТЫХ ПАРОВЫХ КОМПРЕССИОННЫХ ХОЛОДИЛЬНЫХ МАШИН

Теоретический цикл одноступенчатой паровой компрессионной холодильной машины отличается от обратного цикла Карно следующими процессами:

сжатие паров холодильного агента в компрессоре происходит в области перегретого пара;

снижение давления холодильного агента осуществляют с применением дросселирования, а не аднабатного расширения;

перед дросселированием температуру холодильного агента понижают до

 $p.z < t_{\rm K}$

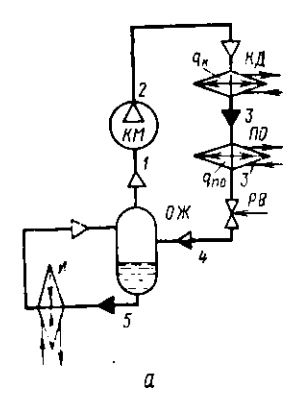
Принципнальная схема и теоретический цикл одноступенчатой паровой компрессионной холодильной машины в диаграммах s-T и $\lg p-i$ приведены на рис. II-1. На принципиальной схеме машины (рис. II-1,a) цифрами I,2,3,3',4 и I=1,10 отмечены состояния холодильного агента, которые соответствуют точкам теоретического цикла, построенного в диаграммах, а буквами условные обозначения оборудования, входящего в состав машины.

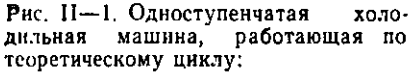
Для построения цикла в днаграмме s-T или $\lg p-i$ необходимо знать температуры в его характерных точках: кипения t_0 , кондеисации t_{κ} и перед регулирующим вентилем $t_{p,\kappa}$. Ориентировочно эти температуры определяют с помощью упрощенных зависимостей, основанных на опыте эксплуатации холодильных машин.

Температуру кипения t_0 принимают в зависимости от температуры помещения и способа его охлаждения. При батарейном охлаждении помещений $t_0 = t_B - (7 \dots 10)$ °C, а при охлаждении помещений воздухоохладителями $t_0 = t_B - (6 \dots 8)$ °C. При охлаждении жидкостей (хладоносителей) обычно $t_0 = t_{XB,CD} - (4 \dots 6)$ °C, где $t_{XB,CD}$ — принимают температура хладоносителя, °C. Температурный напор $t_B - t_{XB,CD}$ принимают в диапазоне $t_B - t_{AB,CD}$ помещений, и в диапазоне $t_B - t_{AB,CD}$ при охлаждении воздухоохладителями. Перепад температур хладоносителя в испарителе обычно принимают $t_B - t_{AB,CD}$ температур хладоносителя в испарителе обычно принимают $t_B - t_{AB,CD}$ температур хладоносителя в испарителе обычно принимают $t_A - t_{AB,CD}$

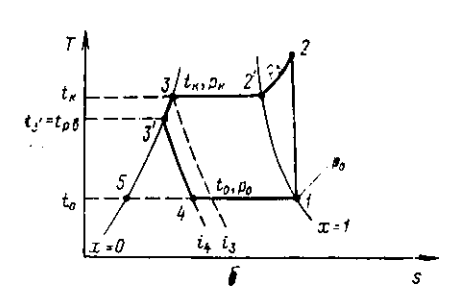
Температуру конденсации $t_{\rm N}$ принимают в зависимости от температуры охлаждающей среды. Для конденсаторов, охлаждаемых водой, $t_{\rm R}=t_{w_2}+(2\dots4)^{\circ}{\rm C}$, где t_{w_2} — температура воды, выходящей из конденсатора. Разность между температурами воды в конденсаторе $t_{w_2}-t_{w_1}$ принимают равной $2\dots5^{\circ}{\rm C}$ при прямоточной системе водоснабжения и использовании дешевой воды, а также при наличии ее в источнике водоснабжения в достаточном количестве. Если воды недостаточно или она дорогая, то $t_{w_2}-t_{w_1}=6\dots10^{\circ}{\rm C}$. При этом температуру $t_{\rm R}$ в зависимости от начальной температуры воды t_{w_1} можно найти из соотношений: $t_{\rm R}=t_{w_1}+(4\dots9)^{\circ}{\rm C}$ при наличии достаточного количества дешевой воды; $t_{\rm R}=t_{w_1}+(8\dots14)^{\circ}{\rm C}$ при наличии дорогой воды или в случае, когда дебит ее источника ограничен. В воздушных конденсаторах $t_{\rm R}=t_{b_2}+(8\dots12)^{\circ}{\rm C}$, где t_{b_2} — температура воздуха, выходящего из конденсатора. Разность $t_{b_2}-t_{b_1}$ между температурами воздуха в конденсаторе обычно принимают равной t_{b_2} принимают объемы и принимают равной t_{b_2} принимают

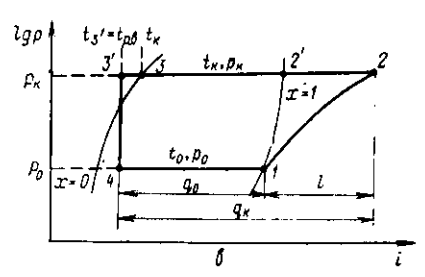
Температура жидкого холодильного агента перед регулирующим вентилем $t_{\mathbf{p},\mathbf{n}} = t_{\mathbf{w}} + (2\dots 4)^{\mathbf{e}} \mathbf{C}$, если охлаждение происходит в водяном переохладителе.





a — принципиальная схема; b — построение цикла в диаграмме s — T; b — построение цикла в диаграмме t t — t; t — испаритель; D — отделитель жидкости; t — компрессор; t — конденсатор; t — переохладитель; t — регулирующий вентиль





Температура жидкого холодильного агента, охлаждаемого в регенеративном теплообменнике, определяется из теплового баланса теплообменника.

После построения цикла в днаграмме выполняют расчет основных характеристик холодильной машины.

Холодопроизводительность Q_0 (в кВт) рассчитывают по формуле

$$Q_0 = q_0 G_0 = q_v V_0 , \qquad (II-1)$$

где G_0 — массовая производительность компрессора, кг/с; q_0 , q_{\bullet} — удельные массовая и объемная холодопроизводительности, кДж/кг и кДж/м³; V_0 — объем паров, всасываемых компрессором (объемная производительность компрессора), м³/с;

$$V_0 = G_0 v_1 ; \qquad (II-2)$$

где v_1 — удельный объем паров, всасываемых компрессором (удельный объем паров в точке I), м³/кг.

Теоретическую мощность $N_{\mathtt{T}}$ (в кВт), затрачиваемую в компрессоре, определяют с учетом массовой производительности:

$$N_{\tau} = G_0 q_{\text{BH}} . \qquad (II - 3)$$

Теоретический холодильный коэффициент вычисляют по уравнению

$$\varepsilon = Q_0/N_{\tau} \quad (iI - 4)$$

Действительный цикл паровой компрессионной холодильной машины отличается от теоретического тем, что учитывает следующие особенности работы действительной холодильной машины:

перегрев паров холодильного агента при всасывании их компрессором;

отличие процесса сжатия в компрессоре от адиабатного, вызванное теплообменом между холодильным агентом и стенками цилиндра компрессора, наличием «мертвого пространства» в цилиндре компрессора и т. д.: потери мощности, определяемые индикаторным КПД, механическим КПД,

КПД передачи.

Перегрев паров холодильного агента на всасывании создает более безопасные условия работы компрессора. Рекомендуемый перегрев паров $\Delta t_{\text{вс}} = t_{\text{вс}} - t_0$ для аммиачных машин: одноступенчатых и второй ступени двухступенчатых $5...10\,^{\circ}\text{C}$, а первой ступени двухступенчатых $10...20\,^{\circ}\text{C}$; для хладоновых $10...35\,^{\circ}\text{C}$.

Потери производительности в действительном компрессоре учитываются

коэффициентом подачи

$$\lambda = V_0/V_h , \qquad (II-5)$$

где V_h — объем, описываемый рабочими органами компрессора, м³/с.

Коэффициент подачи λ находят как произведение четырех основных коэффициентов:

$$\lambda = \lambda_c \lambda_{\pi p} \lambda_w \lambda_{\pi \pi}$$
, (II-6)

где λ_c — объемный коэффициент; $\lambda_{\pi p}$, λ_w , $\lambda_{\pi \pi}$ — коэффициенты дросселирования, подогрева и плотности.

Объемный коэффициент λ_c определяют по формуле

$$\lambda_{c} = 1 - C \left[\left(\frac{p_{u}}{p_{uc}} \right)^{-1/m} - 1 \right] , \qquad (II - 7)$$

где C — относительное мертвое пространство; $p_{\rm H}$, $p_{\rm BC}$ — давление нагнетания и всесывания; $p_{\rm H} \approx p_{\rm R}$; $p_{\rm BC} \approx p_{\rm O}$; m — показатель политропы распирения (для аммиачных компрессоров $m=0.95\ldots 1.1$; для хладоновых — $m=0.9\ldots 1.05$).

Коэффициент дросселирования $\lambda_{\pi p}$ принимают равным 0,95...1.

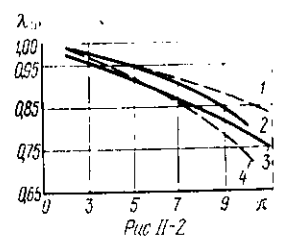
Коэффициенты подогрева λ_{w} и плотности $\lambda_{\pi\pi}$ зависят от степени сжатия π (рис. II—2, II—3).

Холодопроизводительность с учетом коэффициента подачи определяют по формуле

$$Q_0 = V_h q_v \lambda. \tag{II-8}$$

Энергетические потери, вызванные наличием мертвого пространства и депрессией при всасывании паров, оценивают индикаторным коэффициентом всасывания

$$\eta_i = \lambda_w + bt_0, \qquad (II - 9)$$



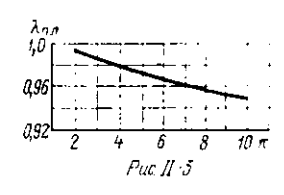


Рис. II—2. Зависимость коэффициента подогрева λ_w от $\pi = p_\kappa/p_0$ для поршневых компрессоров:

I— компрессоры П110 и П220 ($\mathcal{L}_{\rm II}$ =115 мм; h=82 мм; $n_{\rm II}$ =4 и 8; $n_{\rm 06}$ =24 с $^{-1}$) с внешним приводом при работе на хладоне R22; 2 — компрессор П80 ($\mathcal{L}_{\rm II}$ =76 мм; h=66 мм; $n_{\rm II}$ =8; $n_{\rm 06}$ =24 с $^{-1}$) с внешним приводом при работе на хладоне R22; 3 — компрессоры П110 и П220 с внешним приводом при работе на аммиаке; 4 — компрессор П80 со встроепным приводом при работе на хладоне R22

Рис. II—3. Зависимость коэффициента плотности $\lambda_{\pi\pi}$ от $\pi = p_{\kappa}/p_{\circ}$

где b — коэффициент (для вертикальных и горизонтальных аммиачных компрессоров соответственно b=0.001 и b=0.002, для хладоновых компрессоров b=0.0025); t_0 — температура кипсиия, °C.

Полную мощность компрессора рассчитывают с учетом эффективного КПД или индикаторного коэффициента всасывания и механического КПД

$$N_{\sigma} = \frac{N_{\tau}}{n_{\sigma}} = \frac{N_{\tau}}{n_{i}n_{M}}, \qquad (II-10)$$

где η_{\bullet} — эффективный КПД; $\eta_{\rm M}$ — механический КПД (для аммиачных компрессоров $\eta_{\rm M} = 0.9$).

Мощность на клеммах электродвигателя $N_{\mathfrak{p}}$ составляет

$$N_{a} = \frac{N_{T}}{\eta_{a}\pi} = \frac{N_{T}}{\eta_{e}\eta_{0}\pi.\pi^{B}} = \frac{N_{e}}{\eta_{a}\pi.\pi^{B}}, \qquad (II-11)$$

где $\eta_{2\pi}$ — электрический КПД (рис. II-4); $\eta_{2\pi,\pi B}$ — КПД, учитывающий потери в электродвигателе.

Для сравнения поршневых компрессоров по их холодопроизводительности выполняют расчет сравнительной холодопроизводительности $Q_{\mathfrak{o}_{\mathtt{CT}}}$. Последнюю определяют для условий работы в сравнительном режиме, который называют спецификационным. Параметры спецификационных режимов приведены в таблице.

Диапазон температур, при котором холодильная машина осуществляет отвод теплоты	Холодиль- ный агепт	Тип ком- прессора	Температура «пецификаци- онного режима, °C			
			кипения Со	конденсации ¹ к	всасывания ^f вс	перед регули- рующим вен- тилем (р. в
Высокотемпературный (примерно от +20 до -10°C)	R12 R22 R12B1	}пг, пв, п	5 5 5	40 40 60	20 20 20	35 35 55
Среднетемпературный (примерно от -10 до -30°C)	R12 R22 R717	}пг, пв, п п*	-15 -15 -15	30 30 30	20 20 -10	25 25 25
Низкотемпературный (ниже примерно -30°C)	R502 R13B1 R13	}пг, пь, п	-35 -35 -80	30 30 —30	20 20 0	25 25 —35

^{*} Только для компрессоров номинальной производительностью от 48 кВт и более.

Сравнительную холодопроизводительность $Q_{\mathfrak{o}_{\mathfrak{CT}}}$ при известной рабочей холодопроизводительности $Q_{\mathfrak{o}_{\mathfrak{cT}}}$ рассчитанной для условий, при которых работает компрессор, определяют с помощью уравнения

$$Q_{0_{c_{\tau}}} = Q_{0} \frac{q_{v_{c_{\tau}}} \lambda_{c_{\tau}}}{q_{v} \lambda}, \qquad (II-12)$$

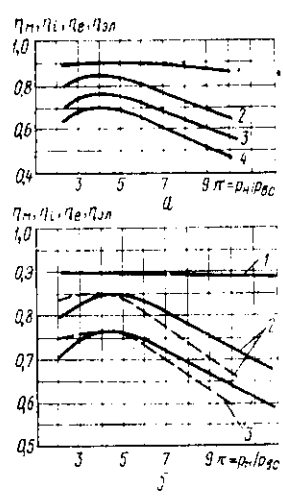


Рис. II—4. Зависимость \mathfrak{m}_{M} , \mathfrak{n}_{i} , \mathfrak{n}_{e} , $\mathfrak{n}_{\mathfrak{s}\mathfrak{n}}$ от \mathfrak{n} для компрессоров с приводом от встроенного и внешнего электродвигателя (R22 — сплошная линия, R717 — пунктирная):

a — компрессор со встроенным электрольигателем; b — компрессор с внешним приводом ($\eta_{_M}$ для R22 и аммивка одинаковы); $I = \eta_{_M}$; $2 = \eta_{_G}$; $3 = \eta_{_G} = \eta_{_M}$ $\eta_{_G}$; $4 = \eta_{_{BM}} = \eta_{_{BM}}$ $\eta_{_{BM}}$

где q_{ver} , q_v — удельная объемная холодопроизводительность при сравнительных и рабочих условиях; λ_{er} , λ — коэффициент подачи при сравнительных и рабочих условиях.

Пример II—1. Выполнить тепловой расчет холодильной машины, работающей на R12 по теоретическому циклу без регенеративного теплообмена, если известно: холодопроизводительность $Q_0=2$ кВт; температура воздуха в холодильной камере

 $t_{\rm B} = 0\,^{\circ}{\rm C}$; температура воды, подаваемой в конденсатор и переохладитель из источника с неограниченным дебитом, $t_{w_i} = 18\,^{\circ}{\rm C}$; в камере предусмотрено батарейное охлаждение.

1. Температуру кипения t_0 холодильного агента в батарсях принимаем на 10°C ниже температуры воздуха $t_{\rm B}$, а температуру конденсации $t_{\rm R}$ — на 8°C выше температуры воды t_{w_i} :

$$t_0 = 0 - 10 = -10$$
 °C; $t_K = 18 + 8 = 26$ °C.

2. Температуру жидкого холодильного агента $t_{\rm p, B}$ после переохладителя принимаем на 4°C выше температуры воды t_{w_4} :

$$t_{\rm p.B} = 18 + 4 = 22 \,^{\circ}\text{C}.$$

- 3. По известным значениям t_0 , $t_{\rm K}$ и $t_{\rm p.B}$ строим теоретический цикл в диаграмме s-T или $\lg p-i$ для R12. Построение цикла аналогично построению, приведенному на рис. II—1, σ , σ . Затем графически находим значения параметров холодильного агента в характерных точках цикла: $v_1=0.08$ м³/кг; $i_1=548$ кДж/кг, $i_3=425$ кДж/кг; $i_3'=420$ кДж/кг; $i_4=i_3'$.
- 4. По данным цикла рассчитываем следующие показатели: удельную массовую холодопроизводительность

$$q_0 = i_1 - i_4 = 548 - 420 = 128 \text{ K} \text{Дж/кг}$$
;

удельную объемную холодопроизводительность

$$q_v = q_0/v_1 = 128/0.08 = 1600 \text{ кДж/м}^3$$
;

удельную теоретическую работу сжатия

$$q_{\rm BH} = i_2 - i_1 = 569 - 548 = 21 \text{ K} \text{Дж/кг};$$

теплоту, отдаваемую 1 кг холодильного агента в конденсаторе,

$$q_{\rm H} = i_2 - i_3 = 569 - 425 = 144 \text{ K} \text{Дж/kr}$$
;

теплоту, отдаваемую 1 кг холодильного агента в переохладителе,

$$q_{\text{IIO}} = i_3 - i_3 = 425 - 420 = 5 \text{ K} \text{Дж/K} \text{Г};$$

теплоту, отдаваемую 1 кг холодильного агента в конденсаторе и переохладителе,

$$q = i_2 - i_{3'} = 569 - 420 = 149 \text{ кДж/кг};$$

тепловой баланс холодильной машины

$$q = q_0 + q_{BH} = 128 + 21 = 149$$
 кДж/кг;

теоретический холодильный коэффициент

$$\varepsilon = q_0/q_{\rm BH} = 128/21 = 6.09$$
;

холодильный коэффициент холодильной машины, работающей по обратному циклу Карно при тех же температурах кипения и конденсации.

$$\varepsilon_{\rm R} = T_0/(T_{\rm R} - T_0) = (273 - 10)/[(273 + 26) - (273 - 10)] = 7.30.$$

5. По известным значениям Q_0 , q_0 , v_1 и по формулам (II—1), (II—2) рассчитываем массовую производительность

$$G_0=2/128=0.0156$$
 kr/c,

а также объем паров, всасываемых компрессором,

$$V_0 = 0.0156 \cdot 0.08 = 0.00125 \text{ m}^3/\text{c}$$

или

$$V_0 = Q_0/q_v = 2/1600 = 0.00125$$
 m³/c.

6. По формуле (II—4) определяем теоретическую мощность компрессора, а затем тепловую нагрузку на конденсатор и переохладитель:

$$N_{\rm T} = Q_0/\varepsilon = 2/6,09 = 3,328 \text{ kBr}$$

или

$$N_{\rm T} = G_0 q_{\rm BH} = 0.0156 \cdot 21 = 0.328 \text{ kBT};$$
 $Q_{\rm K} = G_0 q_{\rm K} = 0.0156 \cdot 149 = 2.32 \text{ kBT};$ $Q_{\rm DO} = G_0 q_{\rm DO} = 0.0156 \cdot 5 = 0.078 \text{ kBT}.$

Пример 11—2. Выполнить тепловой расчет аммиачной холодильной машины, работающей по теоретическому циклу, если известно, что холодопроизводительность $Q_0 = 100$ кВт, температура воздуха в камере с батарейным охлаждением $t_{\rm B} = -10\,^{\circ}{\rm C}$, температура воды, подаваемой в конденсатор и переохладитель из ис-

точника с ограниченным дебитом (артезианская скважина), $t_{w_i} = 10 \, ^{\circ}\mathrm{C}$.

Расчет выполняем в той же последовательности, что и в предыдущем примере:

температура кипения t_0

$$t_0 = t_B - 10 = -10 - 10 = -20^{\circ}C$$
:

температура конденсации

$$t_{\rm K} = t_{\rm w_1} + 10 = 10 + 10 = 20^{\circ}{\rm C}$$
;

температура холодильного агента перед регулирующим вентилем

$$t_{\text{p.B}} = t_{w_1} + 4 = 10 + 4 = 14^{\circ}\text{C}$$
;

построение цикла в диаграмме s-T или $\lg p-i$ аналогично построению, приведенному на рис. II-1, 6, 6, а затем графически определяем следующие параметры: $i_1=1660$ кДж/кг; $v_1=0,65$ м³/кг; $i_2=1870$ кДж/кг; $i_3'=i_4=486$ кДж/кг; $i_3=515$ кДж/кг; удельная массовая холодопроизводительность

$$q_0 = 1660 - 486 = 1174 \text{ кДж/кг};$$

удельная объемная холодопроизводительность

$$q_v = \frac{1174}{0.65} = 1806 \text{ кДж/м}^3$$
;

удельная теоретическая работа сжатия

$$q_{\text{вн}} = 1870 - 1660 = 210 \text{ кДж/кг}$$
;

теплота, отдаваемая 1 кг аммиака в конденсаторе,

$$q_{\rm K} = 1870 - 515 = 1355$$
 кДж/кг;

теплота, отдаваемая 1 кг аммиака в переохладителе,

$$q_{\text{по}} = 515 - 486 = 29 \text{ кДж/кг};$$

тепловой баланс холодильной машины:

$$q_{\rm K} + q_{\rm H0} = q_0 + q_{\rm BH}$$
;

$$1355 + 29 = 1174 + 210$$
;

теоретический холодильный коэффициент

$$\varepsilon = \frac{1174}{210} = 5.6$$
;

холодильный коэффициент машины, работающей по обратному циклу Карно при тех же температурах кипения и конденсации.

$$\varepsilon_{\rm R} = \frac{273 - 20}{(273 + 20) - (273 - 20)} = 6.3$$
;

массовая производительность компрессора

$$G_0 = \frac{100}{1174} = 0.0852 \text{ KF/c}$$
;

объем паров аммиака, всасываемых компрессором,

$$V_0 = 0.0852 \cdot 0.65 = 0.0554 \text{ m}^3/\text{c}$$

или

$$V_0 = \frac{100}{1806} = 0.0554 \text{ m}^3/\text{c}$$
:

теоретическая мощность компрессора

$$N_{\rm T} = \frac{100}{5.6} = 17.9 \text{ kBT},$$

или

$$N_{\rm T} = 0.0852 \cdot 210 = 17.9 \text{ kBt}$$
;

тепловая нагрузка на конденсатор

$$Q_{\rm K} = 0.0852 \cdot 1355 = 115.4 \text{ kBt};$$

тепловая нагрузка на переохладитель

$$Q_{no} = 0.0852 \cdot 29 = 2.47$$
 кВт.

Пример II—3. Холодильная машина работает на холодильном агенте R12 по действительному циклу с регенеративным теплообменником. Построить цикл машины, если известно, что температура кипения $t_0 = -8$ °C, температура конденсации $t_R = +28$ °C; перегрев паров в регенеративном теплообменнике $\Delta t_{\rm BC} = 25$ °C.

На рис. II—5, а приведена принципиальная схема холодильной машины с регенеративным теплообменником. Пары холодильного агента после испарителя перед подачей в компрессор поступают в регенеративный теплообменник РТ. Жидкий холодильный агент после конденсатора также поступает в регенеративный теплообменник, где охлаждается вследствие передачи теплоты пару. После теплообменника перегретые пары состояния 1′ поступают в компрессор, а жидкий холодильный агент, охлажденный до состояния 3′, подается в регулирующий вентиль.

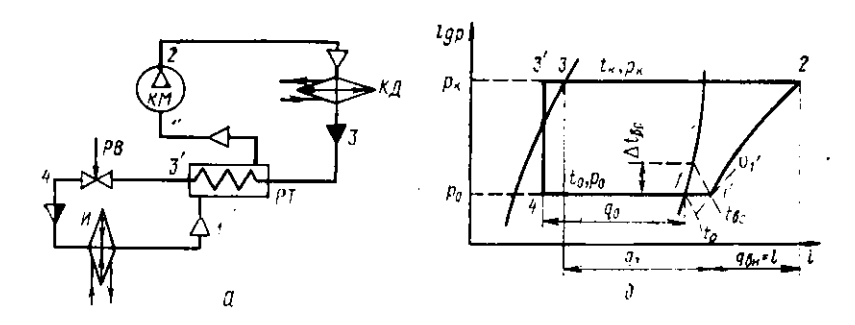


Рис. II—5. Одноступенчатая хладоновая холодильная машина, работающая по действительному циклу с регенеративным теплообменом: a = принципиальная схема; $b = \text{построение цикла в диаграмме } \lg p = i$; $b = \text{построение } q = \text{построени$

а — принципиальная схема; δ — построение цикла в диаграмме gp-i; H — испаритель; PT — регенеративный теплообменник; KM — компрессор; $K\mathcal{A}$ — конденсатор; PB — регулирующий вентиль

Построение цикла в диаграмме $\lg p-i$ приведено на рис. 11-5, δ . Сначала определяем температуру паров в точке 1': $t_{\rm BC}=t_0+\Delta t_{\rm BC}=-8+25=17\,^{\circ}{\rm C}$. Положение точки 1' находим на пересечении изобары $p_0=0,2357\,$ МПа, соответствующей $t_0=-8\,^{\circ}{\rm C}$, и изотермы $t_1'=t_{\rm BC}=17\,^{\circ}{\rm C}$ (см. рис. 11-5, δ). Положение точки 2 находим на пересечении адиабаты, проведенной из точки 1', с изобарой $p_{\rm R}$, соответствующей заданной температуре конденсации $t_{\rm R}$. Находим, что $i_2=587,5\,$ кДж/кг.

Энтальпию точки З' находим из уравнения теплового баланса регенеративного теплообменника, пренебрегая потерями теплоты в окружающую среду:

$$G_0(i_3-i_{3'})=G_0(i_{1'}-i_{1})$$

где $G_0(i_3-i_3')$ — количество теплоты, отведенной от жидкого холодильного агента; $G_0(i_1'-i_1)$ — количество теплоты, подведенной к парам холодильного агента.

Из днаграммы находим, что $i_3 = 428$ кДж/кг; $i_1' = 564,5$ кДж/кг; $i_1 = 548,5$ кДж/кг. Следовательно,

$$i_3 = i_3 - i_1 + i_1 = 428 - 564,5 + 548,5 = 412 \text{ кДж/кг.}$$

Положение точки 3' на диаграмме находим на пересечении изоэнтальны $i_3'=412$ кДж/кг и изобары $p_{\rm K}=0.7053$ МПа, соответствующей температуре $t_{\rm K}=28\,^{\circ}{\rm C}$. Известно, что $i_1'=i_4$.

Для построенного цикла удельная массовая холодопроизводительность

$$q_0 = i_1 - i_4 = i_1 - i_{3'} = 548,5 - 412 = 136,5$$
 кДж/кг

или

$$q_0 = i_1 - i_3 = 564.5 - 428 = 136.5 \text{ k/J} \text{ k/kr}.$$

Удельная теоретическая работа сжатия в компрессоре

$$q_{\text{вн}} = i_2 - i_{1'} = 587,5 - 564,5 = 23$$
 дДж/кг.

1. Для построения цикла при рабочих условиях предварительно определяем температуры кипения t_0 , конденсации $t_{\rm K}$, перед регулирующим вентилем $t_{\rm D,B}$, всасывания $t_{\rm BC}$:

$$t_0 = t_B - 6 = 2 - 6 = -4^{\circ}C$$
;
 $t_K = t_{w_1} + 8 = 22 + 8 = 30^{\circ}C$;
 $t_{p,B} = t_{w_1} + 2 = 22 + 2 = 24^{\circ}C$;
 $t_{1'} = t_{p,C} = t_0 + 5 = -4 + 5 = 1^{\circ}C$.

2. По значениям t_0 , $t_{\rm K}$, $t_{\rm p.B}$, $t_{\rm BC}$ строим рабочий цикл в диаграмме $\lg p-i$ (рис. II—6) и определяем значения параметров аммиака в характерных точках цикла:

энтальнию сухих насыщенных паров на выходе из испарителя (точка I) $i_1 = 1678 \text{ кДж/кг}$;

энтальнию перегретых паров, всасываемых компрессором (точка I'), $i_1' = 1692 \text{ кДж/кг}$;

энтальпию паров в конце сжатия (точка 2) $i_2 = 1854$ кДж/кг; энтальпию жидкого холодильного агента после конденсатора (точка 3) $i_3 = 563$ кДж/кг;

энтальнию жидкого холодильного агента после переохладителя (точка 3') $i_3'=i_4=534$ кДж/кг;

удельный объем всасываемых паров (точка 1') $v_1'=0.34$ м³/кг; давление кипения $p_0=0.369$ МПа; давление конденсации $p_{\rm K}=1.168$ МПа.

3. По данным цикла определяем следующие показатели: удельную массовую холодопроизводительность

$$q_0 = 1678 - 534 = 1144 \text{ кДж/кг};$$

теплоту, подводимую к 1 кг холодильного агента перед подачей в компрессор (после выхода из испарителя).

$$q_{\text{доп}} = i_1 - i_1 = 1692$$
 — $-1678 = 14$ кДж/кг;

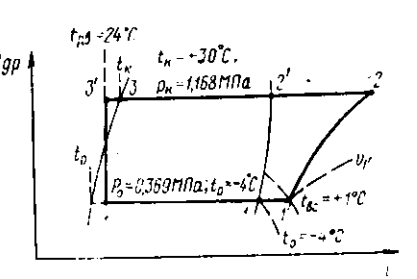


Рис. II-6. К примеру II-4

удельную теоретическую работу сжатия в компрессоре

$$q_{\text{вн}} = i_2 - i_{1'} = 1854 - 1692 = 162 \text{ кДж/кг}$$
;

теплоту, отдаваемую 1 кг аммиака в конденсаторе,

$$q_{\rm K} = i_2 - i_3 = 1854 - 563 = 1291 \text{ K} \text{Дж/K} \text{Г};$$

теплоту, отдаваемую 1 кг аммиака в переохладителе,

$$q_{\text{no}} = i_3 - i_{3'} = 563 - 534 = 29 \text{ кДж/кг};$$

тепловой баланс холодильной машины:

$$q_0 + q_{\text{ДОП}} + q_{\text{ВН}} = q_{\text{K}} + q_{\text{ПО}};$$

 $1144 + 14 + 162 = 1291 + 29;$

холодильный коэффициент:

$$\varepsilon = \frac{1144}{162} = 7,06$$
; $\varepsilon_{R} = \frac{273 - 4}{(273 + 30) - (273 - 4)} = 7,9$;

удельную объемную холодопроизводительность

$$q_v = 1144/0.34 = 3364 \text{ кДж/м}^3.$$

4. Выполняем расчет коэффициента подачи компрессора. Объемный коэффициент λ_c определяем по формуле (11—7), учитывая, что для компрессора $\Pi 110 \ C = 0.045$:

$$\lambda_c = 1 - 0.045 \left[\left(\frac{1.168}{0.369} \right)^{1.1.05} - 1 \right] = 0.91.$$

Коэффициент $\lambda_{\pi p}$ принимаем равным 0,97; при $\pi = p_{\rm H}/p_{\rm BC} = 1,168/0,369 = 3,16$ по рис. II-2 находим, что $\lambda_w = 0,95$. Коэффициент $\lambda_{\pi n} = 0,985$ (см. рис. II-3).

По формуле (Й-6) определяем значение λ:

$$\lambda = 0.91 \cdot 0.97 \cdot 0.95 \cdot 0.985 = 0.826.$$

5. По формуле (11—8) рассчитываем холодопроизводительность

$$Q_0 = 0.0836 \cdot 3364 \cdot 0.826 = 232.3 \text{ kBt.}$$

6. По формулам (II—1) и (II—5) находим массовую и объемную производительность компрессора:

$$G_0 = 232,3/1144 = 0,203 \text{ Kr/c}; V_0 = 0,0836 \cdot 0,826 = 0,069 \text{ M}^3/\text{c}.$$

7. Затем по формулам (II—4), (II—9) и (II—10) рассчитываем теоретическую мощность N_{τ} , индикаторный КПД η_i и полную мощность $N_{\rm e}$, затрачиваемую в компрессоре:

$$N_{\rm T} = 232,3/7,06 = 32,9$$
 кВт;
 $\eta_i = 0,95 + 0,001$ (-4) = 0,946;
 $N_{\rm e} = 32,9/(0,946 \cdot 0,9) = 38,6$ кВт.

- 8. Для определения мощности N_9 предварительно по графику (см. рис. II—4) при $\pi=3,16$ находим, что $\eta_{9\pi}=0,68$. По формуле (II—11) $N_9=32,9/0,68=48,4$ кВт.
- 9. Зная q_{κ} , $q_{\pi 0}$ и G_0 , рассчитываем тепловую нагрузку на конденсатор Q_{κ} и переохладитель $Q_{\pi 0}$:

$$Q_{\text{K}} = G_0 q_{\text{K}} = 0,203 \cdot 1291 = 262,07 \text{ KBT};$$

 $Q_{\text{KO}} = G_0 q_{\text{KO}} = 0,203 \cdot 29 = 5,887 \text{ KBT}.$

Пример II—5. Для условий примера II—4 определить сравнительную холодопроизводительность.

- 1. Из таблицы выписываем температурные условия єпецификационного режима одноступенчатой аммиачной холодильной машины: $t_0 = -15$ °C; $t_{\rm BC} = -10$ °C; $t_{\rm R} = 30$ °C; $t_{\rm P,B} = 25$ °C.
- 2. Выполняем построение спецификационного цикла и определяем энтальпин: $i_1 = 1662,7$ кДж/кг и $i_4 = 536,3$ кДж/кг; удельный объем $v_1' = 0,5$ м³/кг; давление кипения $p_0 = 0,236$ МПа; давление конденсации $p_K = 1,17$ МПа.
 - 3. По данным цикла находим:

$$q_{0_{\text{cr}}} = 1662,7 - 536,3 = 1126,4$$
 кДж/кг; $q_{v_{\text{cr}}} = q_{0_{\text{cr}}}$ / $v_{1'} = 1126,4/0,5 = 2252,8$ кДж/м³.

4. Определяем коэффициент подачи

$$\lambda_{c} = 1 - 0.045 \left[\left(-\frac{1.17}{0.236} \right)^{1/1.05} - 1 \right] = 0.822; \ \lambda_{\pi p} = 0.97;$$

при $\pi = 1,17/0,236 = 4,96$ по рис. II—2 $\lambda_w = 0,95$, а по рис. II—3 $\lambda_{\pi\pi} = 0,97$;

$$\lambda_{cr} = 0.822 \cdot 0.97 \cdot 0.95 \cdot 0.97 = 0.735.$$

5. По формуле (II—12) рассчитываем сравнительную холодопроизводительность

$$Q_{0_{\text{cr}}} = 232,3 \cdot 2252,8 \cdot 0,735/(3364 \cdot 0,826) = 138,43 \text{ kBt.}$$

ГЛАВА III. МНОГОСТУПЕНЧАТЫЕ ХОЛОДИЛЬНЫЕ МАШИНЫ

Низким значениям температуры охлаждающих сред соответствуют пониженные значения температуры t_0 и давления p_0 кипения холодильного агента. С понижением давления p_0 увеличиваются значения отношения давления конденсации к давлению кипения (p_u/p_0), уменьшаются значения коэффициента пода-

чи λ и удельной объемной холодопроизводительности q_v , что в итоге приводит к уменьшению холодопроизводительности Q_0 . При этом уменьшаются значения энергетических коэффициентов машины η_i , η_w , η_s . Кроме того, значительно повышается температура паров в конце сжатия (особенно в аммиачных машинах). Это обстоятельство приводит к ухудшению условий смазки и воэможности вспышки масел. Поэтому допускают температуру паров холодильного агента в конце сжатия для аммиачных холодильных машин не выше $160\,^{\circ}$ C.

Таким образом, при определенных температурных условиях производство холода одноступенчатыми холодильными машинами может оказаться нецелесообразным, а в некоторых случаях и невозможным (главным образом по сооб-

ражениям безопасности).

В технике получения умеренно низких температур применяют двух- и трехступенчатые, а также каскадные холодильные машины. В многоступенчатых машинах давление повышается от p_0 до $p_{\rm K}$ последовательно в компрессоре первой и второй ступеней (или в первой, второй и третьей ступенях).

Область применения одноступенчатых холодильных машин ограничена сле-

дующими параметрами:

разностью давлений $(p_k-p_0) \le 1.7$ МПА (для современных холодильных машин с быстроходными поршновыми компрессорами);

отношением давлений $(p_{\kappa}/p_0) \leq 9$ и разностью давлений $(p_{\kappa}-p_0) \leq 1,2$ МПа (для холодильных машин предыдущих серий);

температурой паров холодильного агента в конце сжатия (она не должна

превышать значения, указанного выше).

Циклы работы многоступенчатых холодильных машин различаются способом промежуточного охлаждения паров холодильного агента между ступенями и способом переохлаждения жидкого холодильного агента перед регулирующим вентилем. Промежуточное охлаждение паров может быть полным и неполным. В первом случае пары холодильного агента сначала охлаждаются водой в промежуточном охладителе, а затем жидким холодильным агентом до состояния насыщения в промежуточном сосуде. Во втором случае пары холодильного агента охлаждаются только водой в промежуточном охладителе. Переохлаждение жидкого холодильного агента перед регулирующим вентилем может осуществляться водой в персохладителе или жидким холодильным агентом в промежуточном сосуде.

Пример III—1. Выполнить тепловой расчет двухступенчатой аммиачной холодильной машины с полным промежуточным охлаждением и двухступенчатым дросселированием, работающей на две холодильные камеры с батареями непосредственного охлаждения (рис. III—1, a), если известно, что температура воздуха в первой холодильной камере $t_{\rm B_1} = 0\,^{\circ}{\rm C}$, температура воздуха во второй холодильной камере $t_{\rm B_2} = -35\,^{\circ}{\rm C}$, температура воды, подаваемой в промежуточный охладитель, конденсатор и переохладитель из источника с ограниченным дебитом, $t_{w_1} = +25\,^{\circ}{\rm C}$, тепловая нагрузка на испарители: $Q_{0_1} = 100\,^{\circ}{\rm KBT}$; $Q_{0_2} = 150\,^{\circ}{\rm KBT}$, в холодильной машине предусмотрены поршневые компрессоры.

1. По заданным температурам воздуха в холодильных камерах и охлаждающей воды, подаваемой в конденсатор, принимаем следующий режим работы холодильной машины:

температура кипения холодильного агента в испарителе ступени низкого давления

$$t_{02} = t_{02} - 10^{\circ}\text{C} = -35 - 10 = -45^{\circ}\text{C};$$

температура кипения холодильного агента в испарителе ступени низкого давления

$$t_{0i} = t_{0i} - 10^{\circ} \text{C} = 0 - 10 = -10^{\circ} \text{C}$$
;

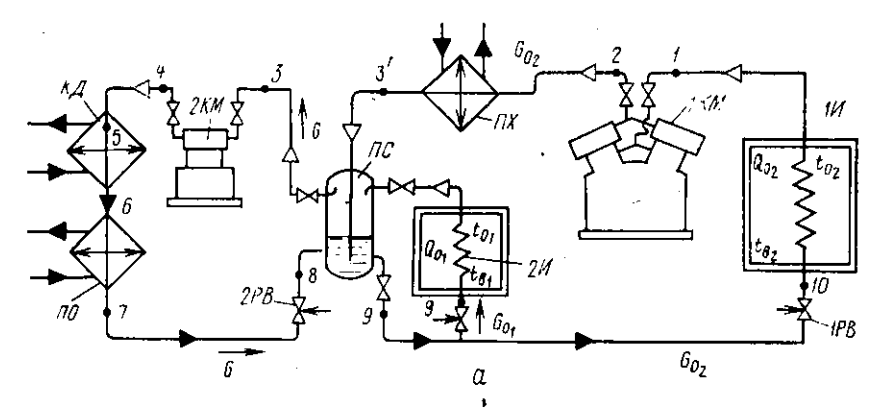
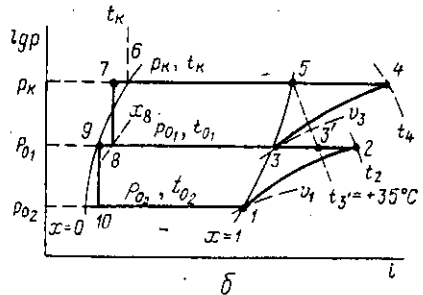


Рис. III—1. Двухступенчатая аммиачная холодильная машина с полным промежуточным охлаждением, двухступенчатым дросселированием и испарителями на две температуры кипения:

а — принципиальная схема: 1H — испаритель низкого давления; IKM — компрессор низкого давления; IKM — компрессор низкого IC — промежуточный охладитель; IC — промежуточный сосуд; 2KM — компрессор высокого давления; KL — конденсатор; IC — переохладитель; IC — переохладитель; IC — испаритель промежуточного давления; IC — испаритель промежуточного давления; IC — регулирующий вентиль низкого давления; IC — построение цикла в диаграмме IC — IC



температура конденсации

$$t_{\rm R} = t_{w_i} + 10^{\circ} \text{C} = +25 + 10 = 35^{\circ} \text{C};$$

температура переохлаждения жидкого холодильного агента перед регулирующим вентилем

$$t_{\rm p B} = t_{w_1} + 4^{\circ} \text{C} = +25 + 4 = 29^{\circ} \text{C};$$

температура паров, выходящих из промежуточного охладителя,

$$t_{3} = t_{w_1} + 10 = +25 + 10 = +35$$
°C.

- 2. Задаемся, что компрессоры всасывают насыщенные пары холодильного агента, т. е. $t_1 = t_{02}$ (что близко к действительным условиям работы в насосных схемах), а $t_3 = t_{04}$.
- 3. По известным значениям температур выполняем построение цикла в диаграмме $\lg p-i$ (рис. III—1, б). Сначала проводим изотермы $t_{02}=-45\,^{\circ}\mathrm{C}$ и $t_{04}=-10\,^{\circ}\mathrm{C}$, характеризующие температуры кипения холодильного агента в испарителях ступени низкого и высокого давления, и получаем точки 1 и 3. Затем проводим изобару $p_{04}=0.29\,$ МПа, соответствующую температуре кипения t_{04} , до пересечения с адиабатой сжатия паров холодиль-

ного агента в ступени низкого давления. На пересечении изобары с адиабатой получаем точку 2. Далее из точки 3, имеющей параметры x=1 и $p_{0x}=0.29$ МПа, проводим адиабату сжатия паров холодильного агента в ступени высокого давления. Точка пересечения аднабаты с изобарой $p_{\rm H} = 1.35$ МПа, соответствующей температуре конденсации $\hat{t}_{\rm K} = 35\,^{\circ}{\rm C}$, характеризует состояние паров холодильного агента в конце сжатия в ступени высокого давления (точка 4). Пересечение изобары p_{κ} с пограничной линией x=0 определяет местоположение точки 6, характеризующей состояние жидкого холодильного агента после конденсации, а с изотермой $t_{\rm p, B}$ — местоположение точки 7, характеризующей состояние жидкого холодильного агента после охлаждения его в переохладителе. Процессы дросселирования жидкого холодильного агента от давления $p_{\rm R}$ до давления p_{0} , и от давления p_{0} , до давления $p_{02} = 0.055$ МПа изображаем изоэнтальпами 9-10.

4. Графически определяем параметры холодильного агента в характерных точках цикла:

энтальпин паров, всасываемых компрессором низкого давления, $i_1 = 1617$ кДж/кг, паров, всасываемых компрессором высокого давления, $i_3 = 1669$ кДж/кг, паров в конце сжатия в компрессоре низкого давления $i_2 = 1836$ кДж/кг, паров в конце сжатия в компрессоре высокого давления $i_4 = 1891$ кДж/кг, паров после промежуточного охладителя $i_3' = 1780$ кДж/кг, жидкого холодильного агента после конденсатора $i_6 = 588$ кДж/кг, жидкого холодильного агента после переохладителя $i_7 = 558$ кДж/кг, жидкого холодильного агента, поступающего в испарители низкого и высокого давления, $i_9 = i_{10} = 377$ кДж/кг;

удельные объемы паров, всасываемых компрессорами низкого давления, $v_1 = 1,96$ м³/кг и высокого давления $v_3 = 0,42$ м³/кг;

температуры паров в конце сжатия в компрессорах низкого давления $t_2 = 60$ °C и высокого давления $t_4 = 100$ °C;

относительное содержание паров в парожидкостной смеси холодильного агента после дросселирования в регулирующем вентиле высокого давления $x_8 = 0.142$ кг/кг.

5. Рассчитываем массовый расход холодильного агента: поступающего в испаритель низкого давления

$$G_{02} = \frac{Q_{02}}{q_{02}} = \frac{Q_{02}}{i_1 - i_{10}} = \frac{150}{1617 - 377} = 0,122 \text{ KF/c};$$

поступающего в испаритель промежуточного давления

$$G_{0_1} = \frac{Q_{0_1}}{q_{0_1}} = \frac{Q_{0_1}}{i_3 - i_9} = \frac{100}{1669 - 377} = 0,0774 \text{ kr/c};$$

испаряющегося в промежуточном сосуде при дополнительном охлаждении паров после промежуточного охладителя

$$G_{0 \text{ i.i.c}} = \frac{G_{0_2}(i_3'-i_3)}{i_3-i_3} = \frac{0,122 (1780-1669)}{1669-377} = 0,0105 \text{ kg/c};$$

поступающего в промежуточный сосуд

$$G_{\text{u.c}} = G_{02} + G_{01} + G_{01} = 0,122 + 0,0774 + 0,0105 = 0,2099 \text{ kr/c};$$

проходящего через компрессор высокого давления (с учетом паров, образующихся в регулирующем вентиле высокого давления)

$$G = \frac{G_{\text{m.c}}}{(1-x_8)} = \frac{0,2099}{(1-0.142)} = 0,245 \text{ kr/c}.$$

6. Находим объем паров, поступающих в компрессоры: низкого давления

$$V_{\text{H.A}} = G_{02}v_1 = 0.122 \cdot 1.96 = 0.239 \text{ m}^3/\text{c};$$

высокого давления

$$V_{B,A} = Gv_3 = 0.245 \cdot 0.42 = 0.103 \text{ m}^3/\text{c}.$$

7. Выполняем расчет коэффициентов подачи компрессоров: низкого давления

$$\lambda_{m_{H,\Pi}} = 0.9$$
 при $\pi_{H,\Pi} = \frac{1}{\rho_{0_2}} = \frac{1}{0.055} = 5.29$ (см. рис. 11—2) $\lambda_{\pi\pi} = 0.971$ при $\pi_{H,\Pi} = 5.29$ (см. рис. II—3); $\lambda_{H,\Pi} = 0.825 \cdot 0.97 \cdot 0.9 \cdot 0.971 = 0.699$;

высокого давления

$$\lambda_{c_{B,B}} = 1 - C_{B,B} \left[\left(\frac{p_{R}}{p_{0_{1}}} \right)^{1/m} - 1 \right] = 1 - 0.045 \left[\left(\frac{1.35}{0.29} \right)^{1/1.05} - 1 \right] = 0.851 ;$$

$$\lambda_{BP_{B,B}} = \lambda_{BP_{B,B}} = 0.97 ;$$

$$\lambda_{w}_{B,g} = 0.91 \text{ при } \pi_{B,g} = \frac{p_{R}}{p_{0_{1}}} = \frac{1.35}{0.29} = 4.65 \text{ (см. рис. II} - 2);$$

$$\lambda_{\text{п.п.}_{B,n}} = 0.975$$
 при $\pi_{B,n} = 4.65$ (см. рис. 11—3);

$$\lambda_{B,R} = 0.851 \cdot 0.97 \cdot 0.91 \cdot 0.975 = 0.732$$
.

8. Учитывая значения коэффициентов подачи, находим объемы, описываемые поршнями компрессоров низкого давления $V_{h_{_{\mathrm{H,Z}}}}$ и высокого давления $V_{h_{_{\mathrm{B,Z}}}}$, а также отношение объемов:

$$V_{h} = \frac{V_{\text{H.R}}}{\lambda_{\text{H.R}}} = \frac{0.239}{0.699} = 0.342 \text{ M}^{3}/\text{c} ;$$

$$V_{h} = \frac{V_{\text{B.R}}}{\lambda_{\text{B.R}}} = \frac{0.103}{0.732} = 0.141 \text{ M}^{3}/\text{c} ;$$

$$\frac{V_{h}}{V_{h}} = \frac{0.342}{0.141} = 2.42.$$

9. Рассчитываем теоретические (адиабатные) мощности компрессоров низкого давления $N_{\mathtt{T}_{\mathtt{B},\mathtt{R}}}$:

$$N_{T_{\text{H.i.f.}}} = G_{02} \ (i_2 - i_1) = 0.122 (1836 - 1617) = 26.72 \ \text{KBT};$$

$$N_{T_{\text{B.H.}}} = G (i_4 - i_3) = 0.245 (1891 - 1669) = 54.39 \ \text{KBT}.$$

10. Для определения эффективной мощности рассчитываем индикаторный и механический КПД компрессора: низкого давления

$$\eta_{i_{\text{M},\text{M}}} = \lambda_{w_{\text{M},\text{M}}} + bt_{02} = 0.9 + 0.001(-45) = 0.855;$$

высокого давления

$$\eta_{i}_{i,\pi} = \lambda_{w_{i,\pi}} + bt_{0i} = 0.91 + 0.001(-10) = 0.90;$$

$$\eta_{M_{i,\pi,\pi}} = \eta_{M_{i,\pi}} = 0.9.$$

11. Определяем эффективную мощность, а также мощность на клеммах электродвигателя компрессора:

низкого давления

$$N_{\rm e} = \frac{N_{\rm T}}{\eta_{\rm T}} = \frac{26,72}{0,855 \cdot 0,9} = 34,72 \text{ kBt};$$

$$\eta_{\rm BR} = 0,68 \text{ (cm. puc. II} = 4);$$

$$N_{\rm B} = \frac{N_{\rm T}}{\eta_{\rm BR}} = \frac{26,72}{0,68} = 39,3 \text{ kBt};$$

высокого давления

$$N_{e_{B,A}} = \frac{N_{T_{B,A}}}{\eta_{I_{B,A}} \eta_{M_{B,A}}} = \frac{54,39}{0,90 \cdot 0,9} = 67,15 \text{ KBT};$$

$$\eta_{3\pi} = 0,7 \text{ (cm. puc. II-4);}$$

$$N_{9_{B,A}} = \frac{N_{T_{B,A}}}{\eta_{3\pi}} = \frac{54,39}{0,7} = 77,7 \text{ KBT.}$$

12. Рассчитываем тепловую нагрузку на теплообменные аппараты холодильной машины:

на промежуточный охладитель паров

$$Q_{\text{nx}} = G_{02}(i_2 - i_{3'}) = 0.122(1836 - 1780) = 6.83 \text{ kBr};$$

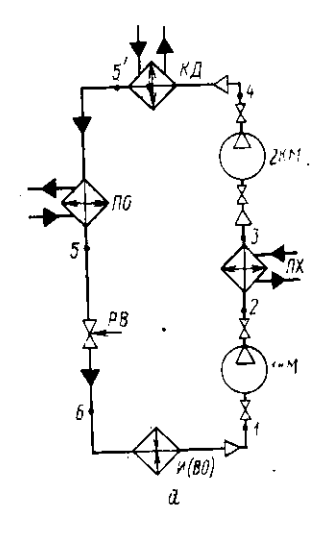
на конденсатор

$$Q_{\rm K} = G(i_4 - i_6) = 0.245(1891 - 588) = 319.2 \text{ KBT};$$

на переохладитель жидкости

$$Q_{\pi 0} = G(i_6 - i_7) = 0.245(588 - 558) = 7.35$$
 кВт.

Пример III—2. Определить возможность применения двухступенчатого цикла с неполным промежуточным охлаждением и одноступенчатым дросселированием вместо одноступенчатого цикла в аммиачной холодильной машине, предназначенной для поддержания заданной температуры воздуха в камере заморажива-



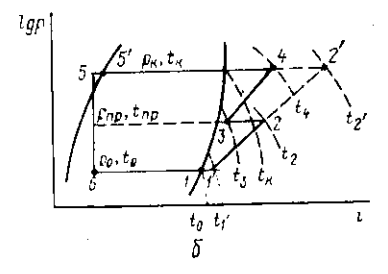


Рис. III—2. Двухступенчатая аммиачная холодильная машина с неполным промежуточным охлаждением и одноступенчатым дросселированием:

a— принципиальная схема; b— построение цикла в диаграмме gp-i; 1KM— компрессор низкого давления; 2KM— компрессор высокого давления; IX— промежуточный охладитель; KA— компессатор; IIO— переохладитель; PB— регулирующий вентиль: II (BO)— испаритель (воздухоохладитель)

ния (рис. III—2, a), если известно, что температура воздуха $t_{\rm B}=-34\,^{\circ}{\rm C}$, температура воды, поступающей в конденсатор и переохладитель, $t_{w_1}=22\,^{\circ}{\rm C}$, температура воды, поступающей из артезианской скважины в промежуточный охладитель паров холодильного агента, $t_{w_2}=10\,^{\circ}{\rm C}$.

1. Принимаем следующий режим работы холодильной машины:

$$t_0 = t_B - (6 ... 8) = (-34) - 6 = -40^{\circ}\text{C};$$

 $t_K = t_{w_1} + 10 = 22 + 10 = 32^{\circ}\text{C};$
 $t_{P^{\circ}B} = t_5 = t_{w_1} + 4 = 22 + 4 = 26^{\circ}\text{C};$
 $t_{BC} = t_{1'} = t_0 + 3 = -40 + 3 = -37^{\circ}\text{C}.$

2. Выполняем построение одноступенчатого цикла в диаграмме $\lg p-i$ (контур 1'-2'-5'-5-6-1' на рис. III-2,6) и графически определяем:

давление конденсации $p_{\text{tr}} = 1,239 \text{ МПа};$ давление кипения $p_0 = 0,0719 \text{ МПа};$

энтальпин: $i_1 = 1626$ кДж/кг; $i_1' = 1635$ кДж/кг; $i_2' = 2071$ кДж/кг; $i_5 = i_6 = 543$ кДж/кг.

Затем графически находим температуру паров холодильного агента в конце сжатия (точка 2'): $t_2' = 173$ °C.

Температура t_2' превышает допустимую. Кроме того, отношение давлений $p_{\rm K}/p_0=1.239/0.0719=17.2>9$, хотя разность давлений $p_{\rm K}-p_0=1.239-0.0719=1.167$ МПа <1.7 МПа. Следовательно, для исходных рабочих условий нельзя рекомендовать применение одноступенчатого цикла, так как может возникнуть опасность вспышки масла в компрессоре. Помимо опасности вспышки масла при повышенном отношении $p_{\rm K}/p_0$ увеличиваются габаритные размеры компрессора, что хорошо видно из следующего расчета:

при $p_{\rm R}/p_0=17.2$ коэффициент подачи λ , учитывающий объемные потери в компрессоре, предположительно будет составлять не более 0,2, так как

$$\lambda_{c} = 1 - 0.05 \left[\left(\frac{1.239}{0.0719} \right)^{-1/1.05} - 1 \right] = 0.3.$$

Следовательно, размеры компрессора одноступенчатого сжатия будут больше $(V_h = V/\lambda)$, чем размеры двухступенчатого компрессора.

При повышенном значении отношения $p_{\rm R}/p_0$ увеличиваются также энергозатраты на привод компрессора, так как уменьшаются значения коэффициента λ_w (см. рис. II—2) и индикаторного КПД [см. формулы (II—10), (II—11)].

Для сопоставления эффективности холодильной машины, работающей по одно- и двухступенчатому циклам, выполняем построение двухступенчатого цикла и расчет холодильного коэффициента в. 3. Для построения двухступенчатого цикла предварительно рассчитываем:

оптимальное промежуточное давление, соответствующее минимальной работе,

$$p_{\rm np} = \sqrt{p_{\rm K}p_0} = \sqrt{1,239 \cdot 0,0719} = 0,298 \text{ MHz}$$
;

температуру холодильного агента

$$t_8 = t_{w_2} + 10 = 10 + 10 = 20^{\circ}$$
C.

С учетом полученных данных строим двухступенчатый цикл с неполным промежуточным охлаждением и одноступенчатым дросселированием (контур 1'-2-3-4-5-6-1' на рис. 111-2,6) и графически находим: $i_1=1626$ кДж/кг; $i_1'=1635$ кДж/кг; $i_2=1822$ кДж/кг; $i_3=1741$ кДж/кг; $i_4=1976$ кДж/кг; $i_6=543$ кДж/кг; $t_4=133$ °C (<160 °C).

При этом отношения давлений в ступенях высокого и низкого давления составляют:

$$\frac{p_{\text{R}}}{p_{\text{BB}}} = \frac{1,239}{0.298} \approx 4,15 < 9; \quad \frac{p_{\text{BB}}}{p_0} = \frac{0,298}{0,0719} \approx 4,15 < 9;$$

разность давлений:

ŧ

$$p_{\rm R} - p_{\rm mp} = 1,239 - 0,298 = 0,941 < 1,7 \text{ M}\Pi a$$
;

$$p_{\text{mp}} - p_0 = 0.298 - 0.0719 = 0.2261 < 1.7 \text{ M}\Pi \text{ a.}$$

4. Определяем холодильный коэффициент: для одноступенчатого цикла

$$\varepsilon = \frac{i_1 - i_8}{i_2 - i_{1/2}} = \frac{1626 - 543}{2071 - 1635} 2,48;$$

для двухступенчатого цикла

$$\varepsilon = \frac{i_1 - i_8}{(i_2 - i_{1.}) + (i_4 - i_3)} =$$

$$= \frac{1626 - 543}{(1822 - 1635) + (1976 - 1741)} = 2,57.$$

Получаем, что при использовании двухступенчатого цикла холодильный коэффициент ε возрастает на $3.7\% \left(\frac{2.57-2.48}{2.48} \, 100 \right)$. Кроме того, создаются более надежные условия работы холодильной машины.

ГЛАВА IV. ТЕПЛООБМЕННЫЕ АППАРАТЫ ХОЛОДИЛЬНЫХ МАШИН

Основными теплообменными аппаратами холодильных машин являются конденсаторы, испарители для охлаждения хладоносителей, а также испарители для охлаждения воздуха (охлаждающие батареи и воздухоохладители).

Тепловой расчет теплообменных аппаратов сводится к определению необходимой площади теплопередающей поверхности. Расчет выполняют с учетом основного уравнения теплопередачи

$$Q = kF\Delta t_{\rm cp} \cdot 10^{-3} , \qquad (IV-1)$$

где Q — тепловая нагрузка на теплообменный аппарат, kВт; k — коэффициент тепловередачи, $B\tau/(m^2\cdot K)$; F — площадь теплопередающей поверхности, m^2 ; Δ^t ср $_{\pi}$ — средний логарифмический температурный напор между теплопередающими средами, $^{\circ}$ С.

В табл. IV—1 и IV—2 приведены ориентировочные значения коэффициентов теплопередачи k для конденсаторов и испарителей различных конструкций.

Коэффициент теплопередачи аммиачных и рассольных оребренных воздухоохладителей в среднем составляет $k=14\dots 20$ Вт/($\mathbf{m}^2\cdot\mathbf{K}$), гладкотрубных аммиачных — $k=35\dots 43$ Вт/($\mathbf{m}^2\cdot\mathbf{K}$), хладоновых оребренных — $k=12\dots 14$ Вт/($\mathbf{m}^2\cdot\mathbf{K}$), а также гладкотрубных аммиачных батарей — $k=6\dots 12$ Вт/($\mathbf{m}^2\cdot\mathbf{K}$) и оребренных аммиачных батарей $k=3,5\dots 6$ Вт/($\mathbf{m}^2\cdot\mathbf{K}$).

Таблица IV—1

Тип конденсатора	h, Вт/(м²⋅К)
Горизонтальный кожухотрубный	
для аммиака	800 1000
для хладонов	4 60 5 8 0*
Вертикальный кожухотрубный для аммиака	700 900
Оросительный для аммиака	700 900
Испарительный для аммиака	465580
С воздушным охлаждением (при принудительной циркуляции воздуха) для хладонов	20 45*

[•] Значения к определены для оребренной поверхности.

Таблица IV—2

Тип испарителя	Æ, Bτ/(M²·K)		
Для охлаждення хладоносителей кожухотрубный аммиачный	460 580		
хладоновый (R12)	230 350*		
хладоновый (R22)	350 400*		
кожухозмеевиковый хладоновый	290 1000**		
панельный аммиачный	460 580		

^{*} Значения k определены для оребренной поверхности.

^{**} Значения к определены для наружной гладкой поверхности.

Средний логарифмический температурный напор рассчитывают по формуле

$$\Delta t_{\rm cp} = \frac{\Delta t_{\rm 6} - \Delta t_{\rm M}}{\ln \frac{\Delta t_{\rm 6}}{\Delta t_{\rm M}}},$$

где $\Delta t_{6},\ \Delta t_{M}$ — наибольший и наименьший температурный напор между тепло-

передающими средами, °С.

Если отношение $(\Delta t_0/\Delta t_M) < 2$, то температурный напор с достаточной степенью точности (ошибка менее 4%) можно определить как средний арифметический температурный напор

$$\Delta t_{\rm cp} = \frac{\Delta t_{\rm 0} + \Delta t_{\rm M}}{2}$$
;

для испарителей и воздухоохладителей непосредственного охлаждения (без учета перегрева паров)

$$\Delta t_{\rm cp} = \frac{t_1 + t_2}{2} - t_0$$
,

где t_1 , t_2 — температура охлаждаемой среды соответственно на входе в аппарат и выходе из него, °C.

При расчете температурного напора $\Delta t_{{
m cp}_{_{\it H}}}$ или $\Delta t_{{
m cp}_{_{\it g}}}$ для воздухоохладителей, батарей, испарителей и конденсаторов необходимо учитывать также

рекомендации, приведенные в главе II.

При известных значениях Q, k и $\Delta t_{\rm cp}$ по формуле (IV-1) рассчитывают необходимую площадь теплопередающей поверхности F. Затем по справочной литературе и приложениям 4, 5, 16 подбирают тип теплообменного аппарата, имеющего площадь F, которая соответствует расчетной.

Массовый расход хладоносителя определяют с помощью уравнения теплово-

го баланса теплообменного аппарата по хладоносителю.

Пример IV—I. Определить площадь теплопередающей поверхности конденсатора, осуществить его подбор и рассчитать объемный расход охлаждающей воды, если известно, что холодопроизводительность аммиачной одноступенчатой холодильной машины $Q_0 = 150~\mathrm{kBT}$, температура кипения холодильного агента $t_0 = -20~\mathrm{C}$, температура паров, всасываемых компрессором, $t_{BC} = -15~\mathrm{C}$, температура воды, подаваемой на конденсатор, $t_{Wi} = 10~\mathrm{C}$ (артезианская вода), тип конденсатора горизонтальный кожухотрубный, машина работает без переохладителя, перегрев паров холодильного агента осуществляется в испарителе.

Расчет выполняем в следующей последовательности.

1. Принимаем, что температура воды в конденсаторе повышается на 8°С; тогда

$$t_{w_2} = t_{w_1} + 8 = 10 + 8 = 18^{\circ}\text{C}.$$

2. Температуру конденсации паров холодильного агента принимаем на $4\,^{\circ}\text{C}$ выше температуры воды, выходящей из конденсатора,

$$t_{\rm R} = t_{w_2} + 4 = 18 + 4 = 22^{\circ} \text{C}.$$

3. По известным значениям t_0 , $t_{\rm BC}$ и $t_{\rm R}$ строим цикл одноступенчатой аммиачной холодильной машины в диаграмме s-T или $\lg p-i$.

На основании выполненного построения определяем энтальпию паров, всасываемых компрессором, $i_1'=1670$ кДж/кг, паров в конце сжатия $i_2=1894$ кДж/кг, жидкого холодильного агеңта после кондепсации и парожидкостной смеси после регулирующего вентиля $i_3=i_4=525$ кДж/кг.

 Рассчитываем массовый расход циркулирующего холодильного агента.

Так как по условию примера перегрев паров холодильного агента осуществляется в испарителе, то

$$q_0 = i_1 - i_4$$

Тогда

$$G_0 = \frac{Q_0}{i_1' - i_b} = \frac{150}{1670 - 525} = 0,131 \text{ kr/c}.$$

5. Затем рассчитываем тепловую нагрузку на конденсатор

$$Q_{\rm R} = G_0(i_2 - i_3) = 0.131(1894 - 525) = 179.3$$
 кВт.

6. По табл. IV—1 принимаем коэффициент теплопередачи горизонтального кожухотрубного конденсатора $k=800~\mathrm{Bt/(M^2 \cdot K)}$.

7. Вычисляем средний логарифмический температурный напор

$$\Delta t_{\text{cp}} = \frac{(t_{\text{K}} - t_{w_1}) - (t_{\text{K}} - t_{w_2})}{\ln \frac{t_{\text{K}} - t_{w_1}}{t_{\text{K}} - t_{w_2}}} = \frac{(22 - 10) - (22 - 18)}{\ln \frac{22 - 10}{22 - 18}} = 7,28^{\circ}\text{C}.$$

8. При известных значениях Q_{κ} , k и $\Delta t_{{
m cp}_{\pi}}$ площадь теплопередающей поверхности конденсатора составляет

$$F_{\rm K} = \frac{Q_{\rm K}}{k \Delta t_{\rm op}} = \frac{179,3 \cdot 10^3}{800 \cdot 7,28} = 30,8 \text{ M}^2.$$

По известному значению площади F_{κ} , типу конденсатора и приложению 4 подбираем горизонтальный кожухотрубный конденсатор КТГ-32, имеющий F_{κ} = 32 м².

9. Расход воды, подаваемой в конденсатор: массовый

$$G_w = \frac{Q_\kappa}{c_w(t_{w_2} - t_{w_1})} = \frac{179,3}{4,19(18-10)} = 5,34 \text{ kg/c};$$

объемный

$$V_w = \frac{G_w}{\rho_w} = \frac{5.34}{1000} = 0.00534 \text{ m}^3/\text{c}.$$

Пример IV—2. Определить площадь теплопередающей поверхности испарителя и расход хладоносителя (рассол NaCl), а также подобрать испаритель и насос, если одноступенчатая холодильная машина, работающая на R12, имеет холодопроизводительность $Q_0 = 43 \, \mathrm{kBT}$, температура хладоносителя, выходящего из испарителя, $t_{\mathrm{XH2}} = -9^{\circ}\mathrm{C}$.

1. Принимаем перепад температур по хладоносителю $\Delta t_{xx} = 4$ °C.

Тогда:

температура хладоносителя на входе в испаритель

$$t_{xH_1} = t_{xH_2} + \Delta t_{xH} = -9 + 4 = -5^{\circ}C;$$

средияя температура хладоносителя

$$t_{\text{XII}} = \frac{-5-9}{2} = -7^{\circ}\text{C}.$$

2. Находим температуру кипения холодильного агента

$$t_0 = t_{XII_{cp}} - 5 = -7 - 5 = -12^{\circ}C.$$

- 3. Определяем удельную теплоемкость хладоносителя, учитывая, что температура замерзания хладоносителя должна быть не менсе чем на 8° С ниже температуры кипения t_0 холодильного агента, т. е. $t_{3\text{ам}} = t_0 8 = -12 8 = -20^{\circ}$ С. Такому условию удовлетворяет рассол NaCl, имеющий концентрацию соли 22,4% и плотность $\rho_{\text{XH}} = 1170$ кг/м³. При средней температуре $t_{\text{XH}} = -7^{\circ}$ С и концентрации 22,4% удельная теплоемкость рассола $c_{\text{XH}} = 3,335$ кДж/ (кг· K).
- 4. Принимаем кожухотрубный испаритель и по табл. IV—2 находим коэффициент теплопередачи $k=230~{\rm Br/(m^2 \cdot K)}$
 - 5. Определяем температурный напор

$$\Delta t_{\text{cp}} = t_{\text{xif}} = t_{\text{cp}} - t_0 = -7 - (-12) = 5^{\circ}\text{C}.$$

6. Рассчитываем площадь теплопередающей поверхности испарителя

$$F_{\rm H} = \frac{Q_0}{k \Delta t_{\rm CP}} = \frac{43 \cdot 10^3}{230 \cdot 5} = 37.4 \ {\rm M}^2 \ \cdot$$

По приложению 5 подбираем испаритель ИКТ-40 площадью $F_n = 40.7 \text{ м}^2$.

7. Затем рассчитываем массовый и объемный расход хладоно-

$$G_{XH} = \frac{Q_0}{c_{XH}(t_{XH_1} - t_{XH_2})} = \frac{43}{3,335 \cdot 4} = 3,22 \text{ Kr/c};$$

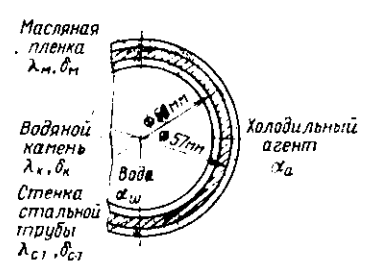


Рис. IV-1. К примеру IV-3

$$V_{xH} = \frac{G_{xH}}{\rho_{xH}} = \frac{3.22}{1170} = 0.00275 \text{ m}^3/\text{c}.$$

По справочной литературе подбираем центробежный насос марки 1,5K — 8/19а, имеющий подачу V = 0.0028 м³/с.

Пример IV—3. Определить, как изменятся условия теплопередачи в вертикальном кожухотрубном конденсаторе между холодильным агентом

(аммиаком) и стекающей по внутренней поверхности труб водой, если через некоторое время эксплуатации появятся дополнительные термические сопротивления со стороны холодильного агента в виде масляной пленки толщиной $\delta_{\rm M}\!=\!0,1$ мм [$\lambda_{\rm M}\!=\!0,14$ Вт/(м·К)], а со стороны воды — в виде слоя «водяного камня» толщиной $\delta_{\rm R}\!=\!1$ мм [$\lambda_{\rm R}\!=\!2,2$ Вт/(м·К)]. Кожухотрубный конденсатор изготовлен из стальных труб диаметром $57\!\times\!3,5$ мм [$\lambda_{\rm CT}\!=\!46,5$ Вт/(м·К)]. Коэффициенты теплоотдачи со стороны конденсирующегося аммиака к наружной поверхности трубы, $\alpha_{\rm a}\!=\!5200$ Вт/(м²-К), а от внутренней поверхности трубы к воде $\alpha_{\rm w}\!=\!4200$ Вт/(м²-К).

Согласно схеме (рис. IV—1) коэффициент теплопередачи составляет:

без учета вагрязнений на поверхности труб

$$k = \frac{1}{\frac{1}{\alpha_{rr}} + \frac{\delta_{cr}}{\lambda_{cr}} + \frac{1}{\alpha_{rr}}};$$

с учетом вагрязнений на поверхности труб

$$k' = \frac{1}{\alpha_{12}} + \frac{\delta_{CT}}{\lambda_{CT}} + \frac{\delta_{M}}{\lambda_{M}} + \frac{\delta_{K}}{\lambda_{R}} + \frac{1}{\alpha_{B}}$$

Подставляя известные данные, получаем:

$$k = \frac{\frac{1}{1 + \frac{0,0035}{4200} + \frac{1}{5200}}} = 1977 \text{ Br/(M}^2 \cdot \text{K});$$

$$k' = \frac{\frac{1}{4200} + \frac{0,0035}{46,5} + \frac{0,0001}{0,14} + \frac{0,001}{2,2} + \frac{1}{5200}} = 597 \text{ Br/(M}^2 \cdot \text{K}).$$

^{*} Уравнения с достаточной точностью можно применять для расчета теплопередачи через цилиндрическую стенку, если $d_B > 0.5 d_H$ (d_a , d_H — внутренний и наружный диаметры). В данном случае это условие выполняется,

Таким образом, коэффициент теплопередачи конденсатора при отсутствии загрязнений на внутренней и наружной поверхностях труб в 3,31 раза больше коэффициента теплопередачи в случае загрязненной поверхности труб (1977/597=3,31). Так как тепловая нагрузка $Q_{\rm R}$ на конденсатор пропорциональна коэффициенту теплопередачи k, то, следовательно, при уменьшении k уменьшается и $Q_{\rm R}$, т. е. уменьшается производительность конденсатора. Это обстоятельство необходимо учитывать при расчете площади теплопередающей поверхности кон-

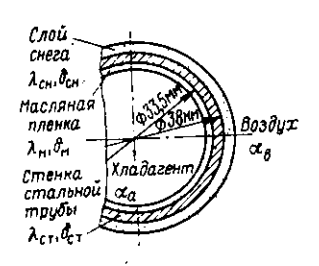


Рис. IV—2. К примеру-IV—4

денсаторов и других аппаратов холодильных машин.

Пример IV—4. Определить изменение коэффициента теплопередачи охлаждающей батареи в камере хранения мороженых грузов вследствие оседания на ней снеговой шубы толщиной $\delta_{\text{сн}} = 5$ мм [$\lambda_{\text{сн}} = 0,17$ Вт/(м·K)] и образования масляной пленки толщиной $\delta_{\text{м}} = 0,3$ мм [$\lambda_{\text{м}} = 0,14$ Вт/(м·K)], если батарея изготовлена из гладкостенных труб диаметром $38 \times 2,25$ мм [$\lambda_{\text{ст}} = 46,5$ Вт/(м·K)]. Коэффициенты теплоотдачи со стороны холодильного агента (аммиака) $\alpha_{\text{п}} = 350$ Вт/(м²·K), а со стороны воздуха $\alpha_{\text{в}} = -7$ Вт/(м²·К).

Расчет коэффициента теплопередачи k охлаждающей батареи выполняем без учета и с учетом появившихся в процессе эксплуатации дополнительных сопротивлений, обусловленных снеговой шубой на наружной поверхности и масляной пленкой на внутренней поверхности труб батареи.

Согласно схеме (рис. IV—2) коэффициент теплопередачи охлаждающей батареи составляет:

без учета сопротивлений снеговой шубы и масляной пленки

$$k = \frac{1}{\frac{1}{\alpha_{\text{a}} + \frac{\delta_{\text{cr}}}{\lambda_{\text{cr}}} + \frac{1}{\alpha_{\text{n}}}}};$$

с учетом сопротивлений снеговой шубы и масляной пленки

$$k' = \frac{1}{\frac{1}{1 + \frac{\delta_{cr}}{\delta_{cr}} + \frac{\delta_{cr}}{\delta_{on}} + \frac{\delta_{m}}{\delta_{m}} + \frac{1}{\alpha_{b}}}}$$

Подставляя известные данные, находим, что

$$k = \frac{1}{\frac{1}{350} + \frac{0,00225}{465} + \frac{1}{7}} = 6,86 \text{ Bt/(m}^2 \cdot \text{K)};$$

$$k' = \frac{1}{\frac{1}{350} + \frac{0,00225}{46.5} + \frac{0,005}{0.17} + \frac{0,0003}{0.14} + \frac{1}{7}} = 5,64 \text{ Bt/ (M}^2 \cdot \text{K)}.$$

В данном случае при загрязнении поверхности труб коэффициент теплопередачи охлаждающей батареи уменьшается примерно на 20%.

Пример IV—5. Установки кондиционирования воздуха мясоперерабатывающего завода имеют общий расход воды W == 0,031 м³/с. Температура воды, подаваемой от системы, $t_{w_1} = 6$ °C. Поступающую воду необходимо охладить до температуры $t_{w_2} = 2$ °C. Подобрать испаритель для охлаждения заданного расхода воды.

Так как испаритель предназначен для охлаждения воды до минимально допустимой температуры (для получения ледяной воды), рекомендуемой для централизованных систем подготовки охлажденной воды, то в данном случае необходимо подобрать испаритель типа ИП (открытого типа) с целью избежать аварийный режим работы, при котором происходит замерзание воды в трубках испарителя закрытого типа.

По данным табл. IV—2, принимаем для панельного испарителя $k=460~{\rm Br/(m^2 \cdot K)}$. Затем задаемся, что разность между средней температурой воды и температурой кипения холодильного агента $\Delta t=5~{\rm ^{\circ}C}$, и рассчитываем:

тепловую нагрузку на испаритель $Q = W \rho_w c_w (t_{w_1} - t_{w_2}) = 0.031 \times 1000 \cdot 4.19 (6-2) = 519.56 кВт;$

необходимую площадь теплопередающей поверхности испарителя $F_{\rm H} = 519,56/(460 \cdot 5) = 225,9 \text{ м}^2$.

По приложению 5 подбираем панельный испаритель 240 ИП плошалью $F_u = 240 \text{ м}^2$.

ГЛАВА V. ОХЛАЖДЕНИЕ ПИЩЕВЫХ ПРОДУКТОВ

Охлаждение пищевых продуктов, представляющее собой процесс понижения их температуры до криоскопической или близкой к ней, осуществляется в основном воздухом и жидкими средами, а также льдом и снегом.

При определении продолжительности охлаждения можно пользоваться заксномерностями регулярного теплового режима. Эти закономерности учитывают охлаждение на той его стадии, на которой влиянием начальных условий на развитие процесса можно пренебречь. Если считать, что температура охлаждаемого тела не зависит от координаты (принимая во внимание среднеобъемную температуру), то продолжительность охлаждения можно получить из закона охлаждения Ньютона

$$\tau = \frac{1}{m_{\text{og},n}} \ln \frac{t_{\text{noq}} - t_{\text{cp}}}{t - t_{\text{cp}}} \tag{V-1}$$

где τ — продолжительность охлаждения, c; $m_{0\bar{x}\pi}$ — темп — охлаждения, 1/c; $t_{Ba\bar{y}}$, t — начальная и текущая среднеобъемная температура продукта, °C; t_{CP} — температура охлаждающей среды, °C.

Темп охлаждения $m_{\text{ох }n}$ зависит от формы, размеров и теплофизических характеристик охлаждаемого продукта, а также от коэффициента теплоотдачи, определяемого опытным путем или рассчитываемого по эмпирическим формулам.

Для мясных полутуш, охлаждаемых в воздушной среде, темп охлаждения находят по формуле

$$m_{\text{OXR}} = A_{\text{M}} \frac{a_{\text{M}}}{\delta^{2}_{\text{M}}} \left(\frac{\text{Bi}}{\text{Bi+1}} \right) \tag{V-2}$$

где $A_{\rm M}$ — эмпирический множитель ($A_{\rm M}=18,35$ для говядины; $A_{\rm R}=17,18$ для свинины); $a_{\rm M}$ — температуропроводность мяса, ${\rm M}^2/{\rm c}$; $\delta_{\rm M}$ — толщина бедренной

части полутуши, м; $Bi = \frac{\alpha_n \delta_M}{2\lambda_M}$ — число Био; α_n — приведенный коэффициент теплоотдачи от поверхности продукта к охлаждающей среде, $Bt/(M^2 \cdot K)$; λ_M —

мозфициент теплопроводности мяса, Вт/(м·К). Км — козфициент теплопроводности мяса, Вт/(м·К).

При холодильном консервировании объектов биологического происхождения применяют системы охлаждения с линейным законом изменения температуры

охлаждающей среды, т. е. $t_{cp} = t_{cp} = t_{cp} = -K_{ncp} \tau$. Учитывая последнее уравнение и уравнение (V—1), получают, что среднеобъемная температуры продукта при переменном режиме охлаждения составляет

$$t = t_{\rm cp} - K_{\rm nep} \tau + \frac{K_{\rm nep}}{m_{\rm ox} \pi} + (t_{\rm max} - t_{\rm cp})_{\rm max} - \frac{-m_{\rm ox} \pi^{\tau}}{m_{\rm ox} \pi}$$

$$(V-3)$$

где $t_{\text{ср}}$ — начальная температура охлаждающей среды, °C; $K_{\text{пер}}$ — скорость повижения температуры охлаждающей среды, °C/c.

Если темп охлаждения неизвестен, то продолжительность охлаждения пищевых продуктов правильной геометрической формы определяют с помощью выражения

$$\tau = A_{\Phi} \frac{R^{2}_{np}}{a_{np}} \left[\left(\frac{2.3}{Bi} + 0.8 \right) \lg \frac{t_{na} - t_{op}}{t_{cos} - t_{op}} + 0.12 \right]$$
 (V-4)

где A_{Φ} — эмпирический множитель, зависящий от формы продукта ($A_{\Phi}=1$ для продуктов в виде пластин; $A_{\Phi}=0.5$ для продуктов в виде цилиндров; $A_{\Phi}=0.33$ для продуктов в виде шара); R_{up} — характерный размер продукта (половина толщины пластины или радиус цилиндра), м; a_{up} — температуропроводность продукта, м²/с; $Bi=\alpha_uR_{np}/\lambda_{np}$; λ_{np} — коэффициент теплопроводности продукта, BT/(M-K); t_{ROB} — конечная среднеобъемная температура продукта, °C.

При конвективном теплообмене $\alpha_n = \alpha_k$, где α_k — коэффициент теплоотдачи конвекцией. При этом α_k находят с помощью уравнения

$$Nu = \frac{\alpha_{k} \cdot 2R_{up}}{\lambda_{ap}}, \qquad (V-5)$$

где λ_{cp} — коэффициент теплопроводности охлаждающей среды, $B\tau/(M\cdot K)$.

Если в качестве охлаждающей среды применяют воздух, то по справочникам находят коэффициент теплопроводности сухого воздуха, а затем рассчитывают коэффициент теплопроводности охлаждающего воздуха

$$\lambda_{B} = \lambda_{c.s} + 0.00465 \phi_{s}$$
, (V-6)

где $\lambda_{0,B}$ — коэффициент теплопроводности сухого воздуха, $B\tau/(M\cdot K);$ ϕ_B — относительная влажность охлаждающего воздуха, относительные единицы.

Коэффициент α_н определяют по критериальным уравнениям, учитывающим заявсимость между Nu и Re при различных направлениях движения охлаждающей среды и форме продукта.

Для определения $\alpha_{\rm N}$ при охлаждении мясных полутуш и подаче воздушного потока сверху вниз используют уравнение

$$Nu = 0.33Re^{0.58}$$
, $(V-...7)$

где $Re = \frac{\omega \delta_M}{v_B} - \frac{\omega}{v_B}$ число Рейнольдса; ω — скорость движения воздуха, м/с; v_B —

кинематическая вязкость воздуха, м²/с.

При конвективно-испарительном теплообменс, имеющем место при охлаждении мяса, мясных и других неупакованных продуктов, $\alpha_n = \alpha_n + \alpha_n$, где $\alpha_n - \kappa$ оэффициент теплоотдачи испарением.

Для определения α_n при охлаждении мясных полутуш применяют уравнение

$$\alpha_{n} = \alpha_{n} \frac{I_{n = 0_{n}} - I_{n}}{(I_{n} - I_{n})c_{n}} - \frac{1}{K_{n}}$$
; (V—8)

где $I_{\pm a \circ}_{\pi}$ — энтальпия насыщенного воздуха при средней температуре поверхности мяса, кДж/кг; I_{B} — энтальпия воздуха (при заданных t_{B} и ϕ_{B}), кДж/кг; $t_{B,\Pi}$ — средняя температура поверхности мяса, °С; t_{M} — температура воздуха по мокрому термометру, °С; c_{B} — удельная теплоемкость воздуха, кДж/(кг·К); K_{M} — поправочный коэффициент, учитывающий турбулентность воздушного по-

тока ($K_n = 1.74$ для принудительной циркуляции воздуха, $K_n = 1.856$ для естественной циркуляции воздуха).

При охлаждении мясных полутуш используют также воздушно-радиационное охлаждение. При этом $\alpha_n = \alpha_n + \alpha_n + \alpha_p$, где α_p — коэффициент теплоотдачи излучением.

Коэффициент теплоотдачи излучением ар определяют с помощью уравнения

$$\alpha_p = 3.78\Theta_p , \qquad (V-9)$$

где Θ_p — коэффициент, зависящий от температурного режима охлаждения;

$$\Theta_{p} = \frac{\left(\frac{T_{\text{n.n.}}}{100}\right)^{4} - \left(\frac{T_{\text{far}}}{100}\right)^{4}}{t_{\text{n.n.}} - t_{\text{far}}}, \qquad (V-9a)$$

 $T_{\mathtt{m.m}}$ — средняя температура поверхности мяса в бедренной части полутуши, $\mathtt{K};$ Томт — средняя температура поверхности радиационных батарей, К.

Среднюю температуру поверхности батарей $T_{\text{бат}}$ определяют с помощью следующего соотношения:

$$T_{\text{GaT}} = T_0 + (2 \cdots 3),$$
 (V--10)

где T_0 — температура кипения холодильного агента, K.

Продолжительность охлаждения продуктов правильной геометрической формы можно определить также по номограммам. Зная число Ві и относительную температуру Ө, по номограмме (см. рисунок) находят значение числа Fo. При этом относительную температуру в рассчитывают по формуле

$$\Theta = \frac{t_{\text{KOH}} - t_{\text{Op}}}{t_{\text{max}} - t_{\text{Op}}}.$$
 (V—11)

По найденному с помощью номограммы значению числа Фурье определяют продолжительность охлаждения.

$$\tau = \frac{F_0 \cdot R^2_{np}}{a_{np}} \cdot \tag{V-12}$$

Номограммы (см. рисунок) позволяют определить продолжительность охлаждения при изменении числа Го в интервале от 0 до 30, что вполне достаточно для большинства пищевых продуктов. Разработаны также номограммы, учитывающие изменение числа Го в более широком диапазоне*.

Номограммами пользуются и при решении обратных задач, когда по известным значениям Ві и Го графически определяют относительную температуру, а затем с помощью уравнения (V-11) — конечную среднеобъемную температуру продукта.

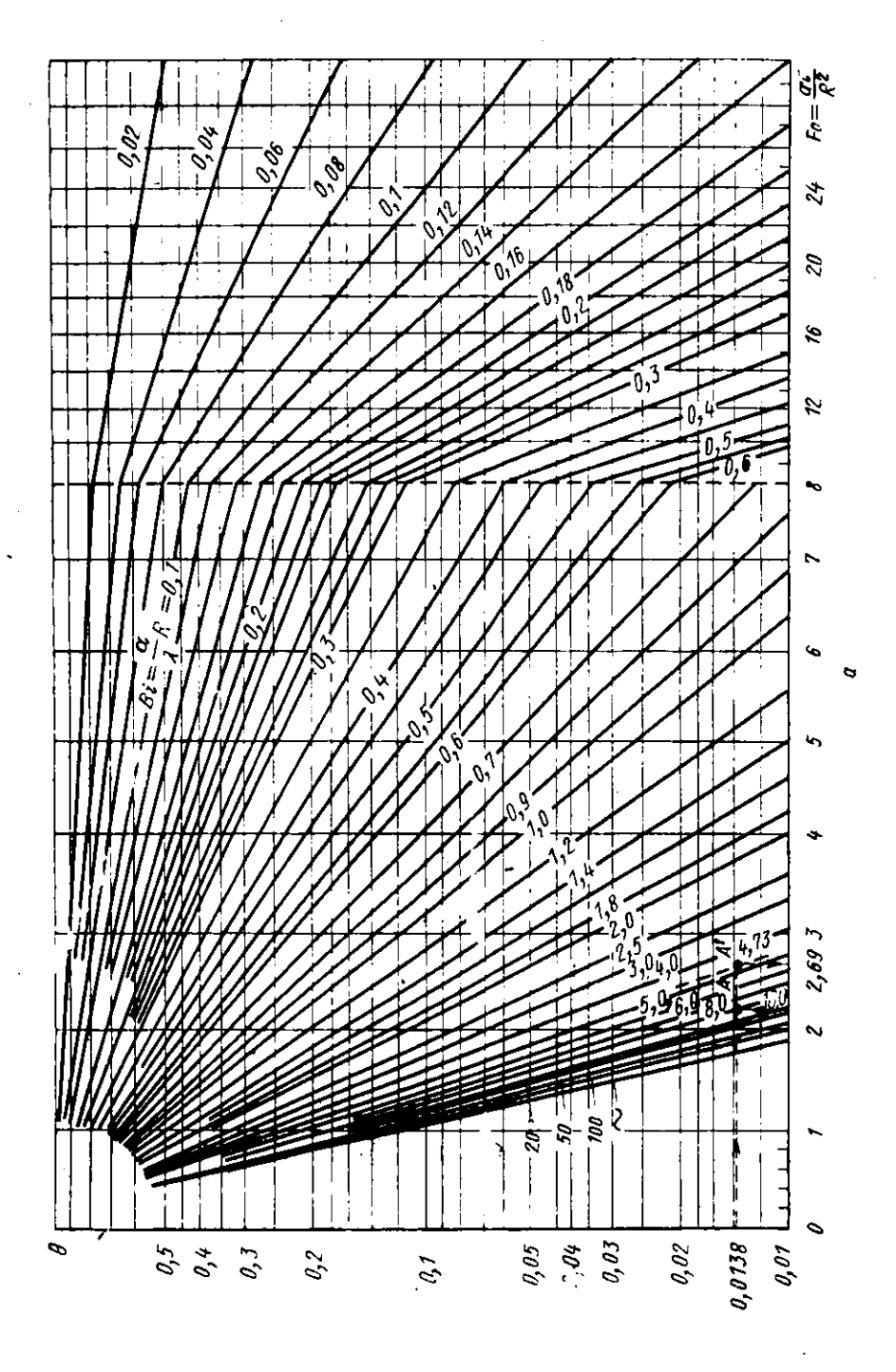
Продолжительность охлаждения мясных полутуш при использовании при-

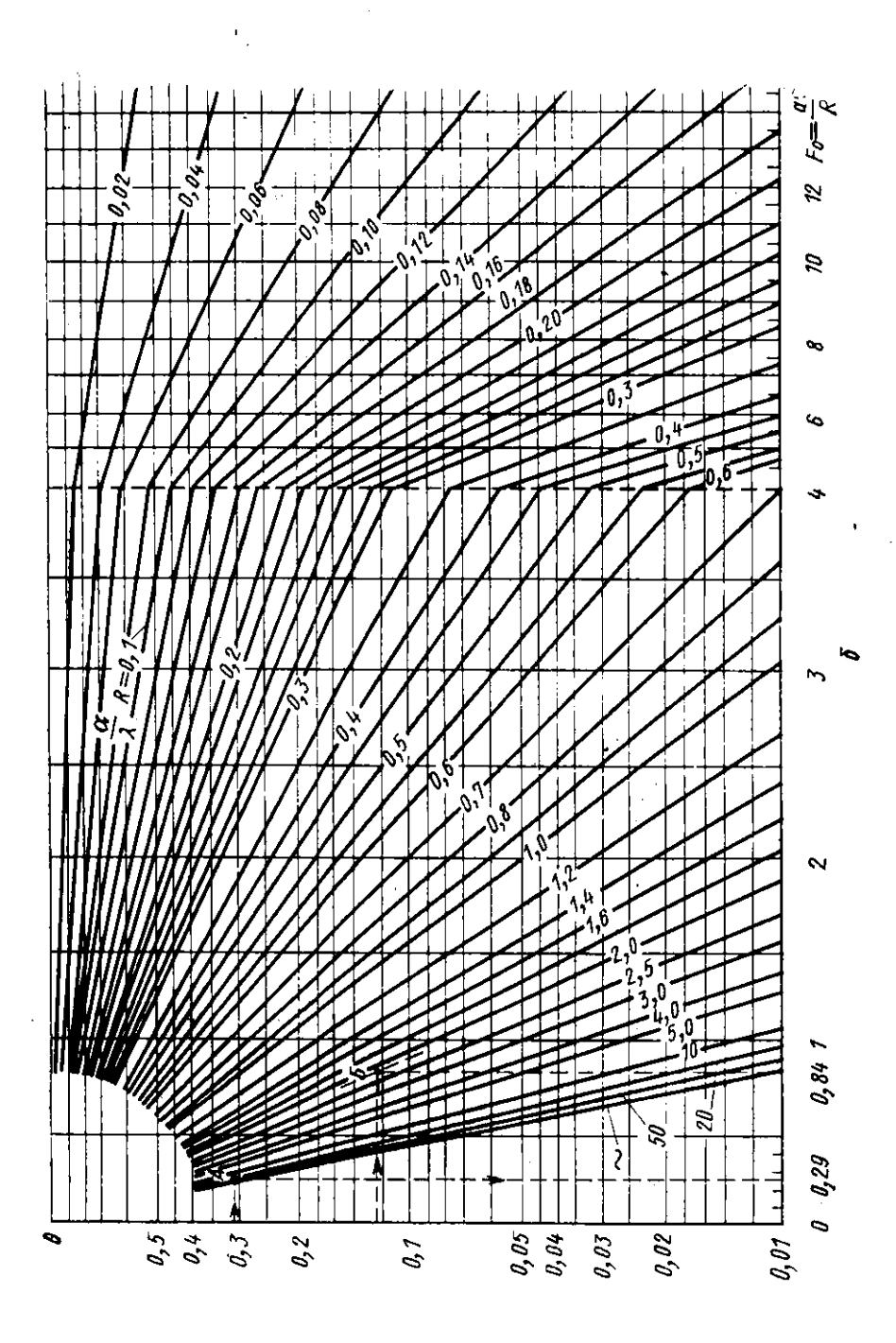
нудительной циркуляции воздуха определяют по формуле

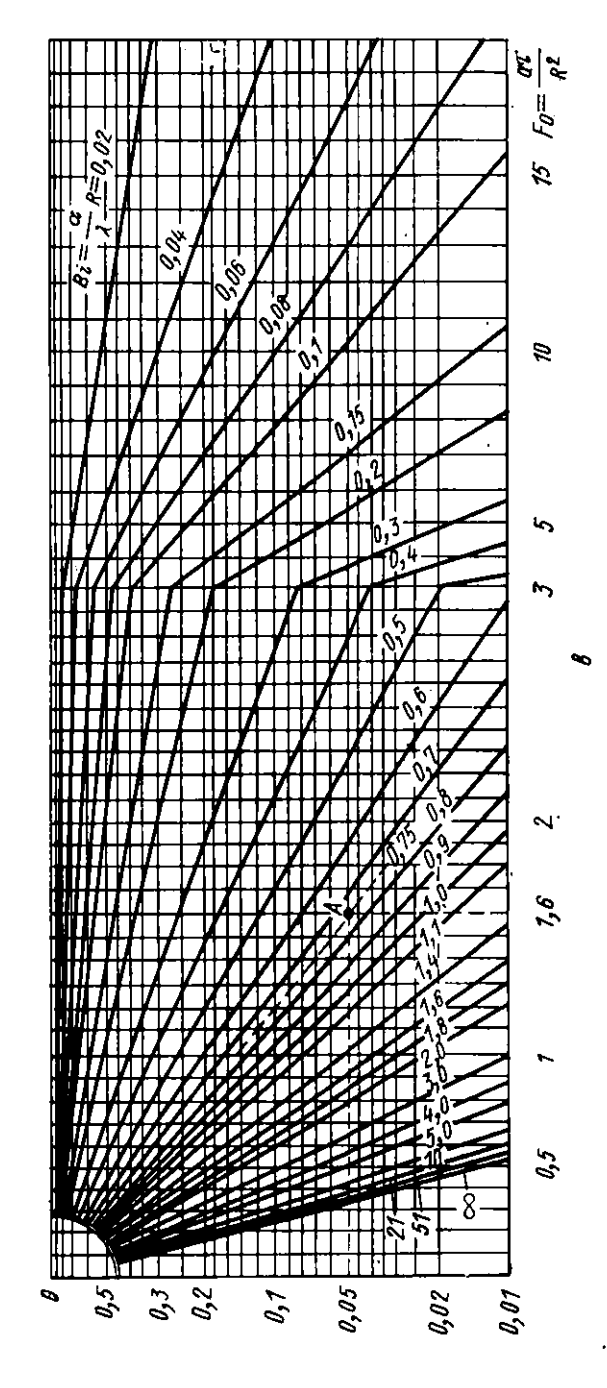
$$\tau = 0.0962 \frac{c_{M}\delta_{M}\rho_{M} \cdot 10^{3}}{\alpha_{m}} \left(\frac{t_{BBT_{\delta}} - t_{cp}}{t_{KOB_{\delta}} - t_{cp}} \right)^{1.5}, \quad (V-13)$$

где $c_{\rm M}$ — удельная теплоемкость мяса, к Δm /(кг-К); $\rho_{\rm M}$ — плотность мяса, кг/м³; t нач " tкон — начальная и конечная температура мяса в центре бедренной части полутуши, °С.

^{*} Фикиин А. Г. Новые номограммы для графического определения параметров процесса охлаждения пищевых продуктов. — «Холодильная техника», 1983, № 9, с. 50---58.







Номограмма для определення пролоджительности охлаждения: а — пластины (см. с. 38); б — цилиндра (см. с. 39); в — шара

Продолжительность охлаждения мясных полутуш в безразмерной форме можно также определить на основании приближенного решения уравнения теплопроводности*:

Fo=0.56
$$\left(\frac{\text{Bi+3}}{3\text{Bi}} \ln \frac{t_{\text{max}_6} - t_{\text{op}}}{t_{\text{koB}_6} - t_{\text{op}}} + \text{Fo}^{(0)} \right)$$
; (V-14)

где $F_0 = \frac{a_M \tau}{(\delta_M/2)^2}$; $F_0^{(0)}$ — число Фурье, характеризующее время, в течение кото-

рого температура в центре бедренной части полутуши остается постоянной;

$$Fo^{(0)} = \frac{1}{12} + \frac{1}{3Bi} - \frac{2}{3Bi^2} \ln(1 + \frac{1}{2}Bi).$$
 (V—14a)

Количество теплоты, отводимой от продукта при его охлаждении, определяют по формулам:

$$Q_{\text{ox}n} = G_{\text{np}}c_{\text{np}}(t_{\text{max}} - t_{\text{ROB}});$$
 (V—15)

$$Q_{0xx} = G_{xx} (i_{xax} - i_{xox}),$$
 (V—16)

где $Q_{\text{ох в}}$ — количество теплоты, отводимой от продукта при охлаждении, кДж; $G_{\text{пр}}$ — масса продукта, кг; $c_{\text{пр}}$ — удельная теплоемкость продукта, кДж/(кг·К); $t_{\text{нач}}$, $t_{\text{кон}}$ — начальная и конечная среднеобъемная температура продукта, °C; $t_{\text{нач}}$, $t_{\text{кон}}$ — энтальпия продукта при его начальной и конечной среднеобъемной температуре, кДж/кг.

Количество теплоты, отводимой от продукта в единицу времени (теплоприток от продукта), Q_0 (в кВт) рассчитывают по формуле

$$Q_0 = \frac{Q_{0xn}}{\tau}.$$
 (V—17)

Потери массы продукта при охлаждении определяют по формуле

$$\Delta G' = \frac{G_{\pi p} \Delta G''}{100}, \qquad (V-18)$$

где $\Delta G'$ — потери массы продукта, кг; $\Delta G''$ — потери массы продукта, %.

Потери массы продуктов (усушку) в процентах при охлаждении определяют по технологическим нормам. Технологические нормы усушки мяса и мясопродуктов и рекомендуемые режимы охлаждения приведены в приложении 6.

Если усушка продукта неизвестна, то потери массы продукта $\Delta G'$ при охлаждении можно ориентировочно определить по формуле

$$\Delta G' = W_{\text{men}} \tau = \beta_{\text{Men}} F_{\text{mp}} (\rho_{\text{m}} - \rho_{\text{m}}) \frac{101,325}{\rho_{\text{m}}} \tau, \qquad (V - 19)$$

где $W_{\pi \circ \pi}$ — количество испарившейся влаги, кг/с; $\beta_{\pi \circ \pi}$ — коэффициент испарения, кг/(м²·с·Па); $F_{\pi p}$ — площадь поверхности продукта, участвующая в массо-

^{*} Формулы (V—14) и (V—14а) разработаны проф. А. М. Бражниковым.

обмене, м²; p_n — парциальное давление насыщенного водяного пара при средней температуре поверхности продукта; Πa ; p_n — парциальное давление водяного пара в окружающем воздухе, Πa ; 101,325 — нормальное атмосферное давление, к Πa ; p_6 — текущее атмосферное давление, к Πa .

Коэффициент испарения $\beta_{\text{меп}}$ можно ориентировочно определить по следующим уравнениям:

для потока воздуха, направленного вдоль поверхности испарения,

$$\beta_{mcn} = (0.372 + 0.316\omega) 10^{-7};$$
 (V—20)

для потока, направленного перпендикулярно,

$$\beta_{\text{mcn}} = (0.79 + 0.645\omega) 10^{-7}$$
 (V—20a)

Пример V—1. Определить продолжительность охлаждения рыбы от начальной температуры $t_{\rm нач}=20^{\circ}{\rm C}$ до конечной $t_{\rm кон}=4^{\circ}{\rm C}$ при температуре воздуха $t_{\rm B}=-1^{\circ}{\rm C}$, если известно, что через 2 ч после начала охлаждения температура рыбы стала равной $10^{\circ}{\rm C}$.

Учитывая известные данные, по формуле (V-1) определяем темп охлаждения:

$$2 \cdot 3600 = \frac{1}{m_{\text{ox},n}} \ln \frac{20 - (-1)}{10 - (-1)}$$
; $m_{\text{ox},n} = 0.9 \cdot 10^{-4} \text{c}^{-1}$.

Зная $m_{\text{охи}}$, находим продолжительность охлаждения рыбы до $t_{\text{кон}} = 4^{\circ}\text{C}$

$$\tau = \frac{1}{0.9 \cdot 10^{-4}} \ln \frac{20 - (-1)}{4 - (-1)} = 15926, 2 \text{ c} = 4,42 \text{ y}.$$

Пример V—2. Определить конечную температуру биологической суспензии в контейнере при переменном режиме ее охлаждения, если известно, что начальная температура суспензии $t_{\text{нач}} = 37^{\circ}\text{C}$, начальная температура охлаждающей среды $t_{\text{ср}_{\text{нач}}} = 35^{\circ}\text{C}$, скорость понижения температуры охлаждающей среды $K_{\text{пер}} = 0.5^{\circ}\text{C}/\text{мин}$, продолжительность охлаждения $\tau = 60$ мин, температура суспензии через 15 мин после начала охлаждения $t = 35.8^{\circ}\text{C}$. По формуле (V—3) определяем темп охлаждения

$$35.8 = 35 - 0.5 \cdot 15 + \frac{0.5}{m_{\text{ox}}} + (37 - 35 - \frac{0.5}{m_{\text{ox}}})e^{-m_{\text{ox}} + 13}$$

Из последнего выражения методом подбора или графически определяем, что $m_{\text{охл}} = 0.015 \text{ мин}^{-1}$.

Затем определяем конечную температуру суспензии, учитывая, что $\tau = 60$ мин:

$$t_{\text{KOH}} = 35 - 0.5 \cdot 60 + \frac{0.5}{0.015} + (37 - 35 - \frac{0.5}{0.015})2.7^{-0.015} \cdot 60 = 25.6^{\circ}\text{C}.$$

Пример V-3. Определить продолжительность обработки говяжьих полутуш при воздушном охлаждении [используя форму-

лу (V—13)], если параметры воздуха следующие: температура $t_{\rm B}=-2^{\circ}{\rm C}$, относительная влажность $\phi_{\rm B}=80\,\%$, скорость движения в зоне расположения бедренных частей полутуш $\omega=2$ м/с. Охлаждение полутуш происходит от начальной температуры $t_{\rm HAM}=37^{\circ}{\rm C}$ до $t_{\rm KOH}=4^{\circ}{\rm C}$.

Теплофизические характеристики мяса: коэффициент теплопроводности $\lambda_{\text{M}}\!=\!0,\!453~\text{Вт/(M}\!\cdot\!\text{K)}$, плотность $\rho_{\text{M}}\!=\!1000~\text{кг/м}^3$, удельная

теплоемкость $c_{\rm M} = 3,35 \ {\rm кДж/(кг \cdot K)}$.

ì

В формуле (V—13) неизвестными являются толщина $\delta_{\rm M}$ бедренной части полутуш и приведенный коэффициент теплоотдачи $\alpha_{\rm II}$. Принимаем толщину $\delta_{\rm M}\!=\!0.21$ м, а коэффициент $\alpha_{\rm II}$ рассчитываем по формуле (V—8), для чего предварительно определяем коэффициент теплоотдачи конвекцией $\alpha_{\rm R}$ и необходимые параметры воздуха. При расчете $\alpha_{\rm R}$ учитываем формулы (V—5), (V—6), (V—7), кинематическую вязкость $\nu_{\rm B}\!=\!13.11\cdot10^{-6}$ м²/с и коэффициент теплопроводности сухого воздуха $\lambda_{\rm C,B}\!=\!2.424\cdot10^{-2}$ Вт/ (м·К) при температуре $t_{\rm B}\!=\!-2^{\circ}{\rm C}$ ($\nu_{\rm B}$ и $\lambda_{\rm C,B}$ определяем по приложению 7*):

$$Re = \frac{2 \cdot 0.21}{13.11 \cdot 10^{-6}} = 32036;$$

$$Nu = 0.33 \cdot 32036^{0.58} = 134.44;$$

$$\lambda_B = 2.424 \cdot 10^{-2} + 0.00465 \cdot 0.8 = 0.028 \text{ BT/(M·K)};$$

$$\alpha_R = \frac{134.44 \cdot 0.028}{0.21} = 17.93 \text{ BT/(M²·K)}.$$

Энтальпию воздуха и его температуру по мокрому термометру находим с помощью I-d-диаграммы (приложение 8): $I_B=4.2 \text{ кДж/кг}$; $t_M=-3^{\circ}\text{C}$ (при $t_B=-2^{\circ}\text{C}$; $\phi_B=80\%$).

Энтальпию насыщенного воздуха $I_{\text{нас}_{\pi}}$ находим также по I-d-диаграмме, предварительно определив среднюю температуру поверхности мяса:

$$t_{\text{II},\text{II}} = \frac{t_{\text{HAY}_{\text{II}}} - t_{\text{KOH}_{\text{II}}}}{t_{\text{HAY}_{\text{II}}}}$$

$$= \frac{t_{\text{HAY}_{\text{II}}} - t_{\text{KOH}_{\text{II}}}}{t_{\text{KOH}_{\text{II}}}}$$

^{*} В приложении 7 приведены физические свойства воздуха при нормальном атмосферном давлении $p_0=101,325$ кПа (или 760 мм рт. ст.). Графическое определение энтальпии и температуры мокрого термометра в данном примере и инже следующих примерах осуществляется с помощью I-d-диаграммы, приведенной в приложении 8 и построенной для $p_0=100$ кПа (или 750 мм рт. ст.). При этом ошибка в определении параметров не превышает 2%.

где $t_{\text{вач}_{\Pi}}$, $t_{\text{ков}_{\Pi}}$ — начальная и конечная температура поверхности мяса, °C; $t_{\text{вач}_{\Pi}} = 37^{\circ}\text{C}$ — задана по условию примера; $t_{\text{ков}_{\Pi}} = 0.5 ^{\circ}\text{C}$ — принимаем на $2.5 ^{\circ}\text{C}$ выше температуры воздуха:

$$t_{\text{п.п}} = \frac{37 - 0.5}{\ln \frac{37}{0.5}} = 8,49^{\circ}\text{C}; \quad I_{\text{нас}_{\text{п}}} = 26 \text{ кДж/кг.}$$

В формулу (V-8) подставляем известные данные и находим

$$\alpha_{\pi} = 17.93 \frac{26-4.2}{[8.49-(-3)]1} \frac{1}{1.74} = 19.55 \text{ Bt/(M}^2 \cdot \text{K)}.$$

Затем по формуле (V—13) определяем, что при воздушном охлаждении

$$\tau = 0,0962 \frac{3,35 \cdot 10^{3} \cdot 0,21 \cdot 10^{3}}{19,55} \left[\frac{37 - (-2)}{4 - (-2)} \right]^{1,5} = 57326,1 \text{ c} = 15,9 \text{ ч}.$$

Пример V—4. Для условий примера V—3 определить продолжительность обработки говяжьих полутуш при воздушно-радиационном охлаждении.

Определяем значение средней температуры поверхности мяса, температуры кипения холодильного агента и средней температуры поверхности радиационных батарей по шкале Кельвина, учитывая соотношение (V—10) и разность между температурами $t_{\rm B}-t_0=8...10^{\circ}{\rm C}$:

$$T_{\text{п.п}} = 273 + 8,49 = 281,49 \text{ K};$$

 $t_0 = t_B - 10 = -2 - 10 = -12^{\circ}\text{C},$
 $T_0 = 273 - 12 = 261 \text{ K};$
 $T_{6a_T} = 261 + 2 = 263 \text{ K}.$

При $T_{\pi,\pi}$ и $T_{\text{бат}}$ рассчитываем $\alpha_{\text{р}}$, а затем α_{π} для воздушнорадиационного охлаждения:

$$\alpha_{\rm p} = 3.78 \frac{\left(\frac{281.49}{100}\right)^4 - \left(\frac{263}{100}\right)^4}{281.49 - 263} = 3.05 \text{ Br/(M}^2 \cdot \text{K)};$$

$$\alpha_{\rm p} = 19.55 + 3.05 = 22.6 \text{ Br/(M}^2 \cdot \text{K)}.$$

Далее находим, что при воздушно-радиационном охлаждении $\tau = 0,0962 \frac{3,35 \cdot 10^{5} \cdot 0,21 \cdot 10^{5}}{22,6} \left[\begin{array}{c} 37 - (-2) \\ \hline 4 - (-2) \end{array} \right]^{-1,5} = 49502 \text{ c} = 13,75 \text{ q}.$

Получаем, что при воздушно-радиационном охлаждении продолжительность процесса уменьшается на 13,5%.

Пример V—5. Определить конечную среднеобъемную температуру блока сливочного масла, охлаждаемого воздухом температурой $t_{\rm B}=-1^{\rm o}{\rm C}$ в течение 28 ч, если начальная температура продукта $t_{\rm Haq}=20^{\rm o}{\rm C}$, толщина блока $\delta=2R_{\rm up}=130$ мм, температуропроводность $a_{\rm np}=0.9\cdot 10^{-7}$ м²/с.

Рассчитываем число Фурье

)

Fo =
$$\frac{a_{\pi p \tau}}{R^2_{\pi p}} = \frac{0.9 \cdot 10^{-7} \cdot 28 \cdot 3600}{0.065^2} = 2,147.$$

Конечную среднеобъемную температуру охлаждаемого масла определяем через относительную температуру Θ [уравнение (V—11)], которую обычно находят с помощью номограммы. Но при этом помимо числа Fo необходимо знать число Bi. Так как последнее неизвестно, относительную температуру определяем расчетным путем. Принимая, что форма блока близка к форме пластины, и учитывая, что Fo>0,1, относительную температуру рассчитываем по формуле

$$\Theta = \frac{8}{\pi^2} e^{-\frac{\pi^2 \text{Fo}}{4}}.$$
 (V-21)

Подставляя известные данные в формулу (V-21), находим

$$\Theta = \frac{8}{3.14^2} 2,71 \frac{3.14^2 \cdot 2,147}{4} = 0,0138,$$

а затем по формуле (V—11) определяем $t_{\text{коп}} = -0.71$ °C.

Пример V—6. Для условий примера V—5 определить необходимую скорость движения воздуха в зоне размещения блоков масла, учитывая, что $\lambda_{np} = 0.2 \, \mathrm{Bt/(m \cdot K)}$.

По номограмме (точка A на рисунке a) при $F_0=2,147$ и $\Theta=$

= 0.0138 находим, что Bi = 10.

Зная значения Ві, $\lambda_{\rm np}$ и $R_{\rm np}$, определяем коэффициент теплоотдачи:

$$10 = \frac{\alpha_{\pi} \cdot 0,065}{0.2}$$
; $\alpha_{\pi} = 30,77$ BT/(M²·K).

Так как продукт упакован, принимаем $\alpha_n \approx 0$. Тогда $\alpha_n = \alpha_\kappa$. Скорость движения воздуха ω ориентировочно определяем с помощью формулы Юргеса

$$30,77 = [5,3+3,6\omega]1,163$$
; $\omega = 5,88$ M/c.

Полученное значение ω является завышенным. Обычно в системах охлаждения, применяемых на практике, используют при-

нудительное движение воздуха со скоростью не более 3 м/с. Если принять, что $\omega=2$ м/с, тогда $\alpha_{\rm K}=14,54$ Bt/(м²-К); Bi=4,73. При Bi=4,73 и $\Theta=0,0138$ по номограмме Fo=2,69 (точка A' на рисунке a). Тогда

$$\tau = \frac{\text{Fo}R^2_{\pi p}}{a_{\pi p}} = \frac{2.69 \cdot 0.065^2}{0.9 \cdot 10^{-7}} = 126280 \text{ c} = 35.08 \text{ q}.$$

Пример V—7. С помощью номограммы определить конечную среднеобъемную температуру вишни, насыпанной в один слой на сетчатую ленту аппарата и обдуваемой воздухом температурой $t_{\rm B}$ ==0°C в течение 15 мин. Начальная температура вишни $t_{\rm Haq}$ ==25°C, коэффициент теплоотдачи $\alpha_{\rm H}$ =45 BT/(м²·К), эквивалентный диаметр $d_{\rm B}$ =18 мм, плотность $\rho_{\rm Hp}$ =1040 кг/м³, удельная теплосмкость $c_{\rm Hp}$ =3,6 кДж/(кг·К), коэффициент теплопроводности $\lambda_{\rm Hp}$ =0,54 BT/(м·К).

Определяем температуропроводность продукта $a_{\pi p}$, а затем

Ві и Fo:

$$a_{\pi p} = \frac{\lambda_{\pi p}}{c_{\pi p} \rho_{\pi p}} = \frac{0.54}{3.6 \cdot 10^{3} \cdot 1040} = 0.144 \cdot 10^{-6} \text{ M}^{2}/\text{c};$$

$$Bi = \frac{\alpha_{\pi} R_{\pi p}}{\lambda_{\pi p}} = \frac{45 \cdot 0.009}{0.54} = 0.75.$$

$$Fo = \frac{a_{\pi p} \tau}{R^{2}_{\pi p}} = \frac{0.144 \cdot 10^{-6} \cdot 15 \cdot 60}{0.009^{2}} = 1.6.$$

При Bi = 0.75 и Fo = 1.6 графически находим $\Theta = 0.05$ (точка A на номограмме, приведенной на рисунке B).

Отсюда

$$0.05 = \frac{t_{\text{HOH}} - 0}{25 - 0}$$
; $t_{\text{HOH}} = 1.25^{\circ}\text{C}$.

Пример V—8. Определить продолжительность охлаждения вареных колбас на подвесных рамах при орошении их водопроводной водой (первая стадия охлаждения), а также при обработке воздухом (вторая стадия охлаждения). Исходные данные следующие: начальная температура продукта, поступающего на охлаждение, $t_{\rm Haq} = 70^{\circ} {\rm C}$, заданная конечная температура продукта после охлаждения водой $t_{\rm кон_1} = 36^{\circ} {\rm C}$, диаметр колбасного батона $d_{\rm пp} = 60$ мм, температура воды $t_w = 20^{\circ} {\rm C}$, скорость движения воздуха около поверхности колбасных батонов $\omega = 1$ м/с, температура возлуха $t_{\rm B} = 4^{\circ} {\rm C}$, относительная влажность воздуха $\phi_{\rm B} = 80\%$, температуропроводность продукта $a_{\rm пp} = 0,1\cdot 10^{-6}$ м²/с, заданная конечная температура продукта после охлаждения воздухом $t_{\rm кон_2} = 8^{\circ} {\rm C}$, коэффициент теплопроводности продукта $\lambda_{\rm np} = 0,5$ Вт/(м·К).

Коэффициент теплоотдачи при орошении продукта водой можно определить по формуле

$$\alpha_{\pi_1} = 9150 \sqrt[3]{G'_{w}}$$
,

где G'_{w} — удельный расход воды, кг/(м·с) $[G'_{w} = (0,27...0,5) \ 10^{-4} \ \text{кг/(м·с)}].$

Принимаем $G'_w = 0.27 \cdot 10^{-4}$ кг/(м·с) и находим, что

J

$$\alpha_{\pi_1} = 9150 \sqrt[3]{0,27 \cdot 10^{-4}} = 274,5 \text{ Bt/}(\text{M}^2 \cdot \text{K}).$$

Коэффициент теплоотдачи при охлаждении воздухом определяем, учитывая конвективно-испарительный теплообмен:

$$\alpha_{\text{ma}} = \alpha_{\text{IC}} \frac{f_{\text{ma}} - f_{\text{m}}}{(f_{\text{ma}} - f_{\text{m}}) c_{\text{m}}},$$

где I_{nn} — энтальпия пленки воды, кДж/кг ($I_{nn} = t_{nn}c_{nn} = 20 \cdot 4,19 = 83,8$ кДж/кг); I_s — энтальпия воздуха, кДж/кг [$I_s = 13,9$ кДж/кг при $t_s = 4$ °C, $\varphi_s = 80\%$ (по приложению 8)]; $t_{\rm N}$ — температура воздуха по мокрому термометру, °C (по приложению 8 $t_{\rm N} = 2,6$ °C); c_s — удельная теплоемкость воздуха, кДж/(кг·К) [$c_s = 1$ кДж/(кг·К)].

Коэффициент теплоотдачи α_{κ} при поперечном обдувании колбасных батонов воздушным потоком можно определить с помощью выражения

Nu = 0.018Re^{0.84} = 0.018
$$\left(\frac{\omega d_{np}}{v_{a}}\right)^{0.84}$$
.

Учитывая, что $v_B = 13,63 \cdot 10^{-6} \text{ м}^2/\text{с}$ и $\lambda_{c,B} = 2,47 \cdot 10^{-2} \text{ Вт/(м·К)}$ при температуре воздуха $t_B = 4^{\circ}\text{C}$ (приложение 7), определяем значение Nu и α_{K} :

$$\begin{split} Nu = 0.018 \Big(& \frac{1 \cdot 0.06}{13.63 \cdot 10^{-8}} \Big)^{0.84} = 20.7; \\ \lambda_B = 2.47 \cdot 10^{-2} + 0.00465 \cdot 0.8 = 2.84 \cdot 10^{-2} \text{ BT/(M·K)}; \\ \alpha_K = & \frac{20.7 \cdot 2.84 \cdot 10^{-2}}{0.06} = 9.8 \text{ BT/(M²·K)}. \end{split}$$

Подставляя известные данные, находим

$$a_{112} = 9.8 - \frac{83.8 - 13.9}{(20 - 2.6)1} = 39.36 \text{ Bt/}(\text{M}^2 \cdot \text{K}).$$

Зная α_{n_1} и α_{n_2} , находим значения Ві при охлаждении водой и воздухом:-

$$Bi_1 = \frac{274,5 \cdot 0,03}{0.5} = 16,47;$$

$$Bi_2 = \frac{39,36 \cdot 0,03}{0.5} = 2,36.$$

'По формуле (V-4) определяем продолжительность охлаждения: водой

$$\tau_1 = 0.5 - \frac{0.03^2}{0.1 \cdot 10^{-6}} \cdot \left[\left(\frac{2.3}{16.47} + 0.8 \right) \cdot 19 - \frac{70 - 20}{36 - 20} + 0.12 \right] = 2633.8 \text{ c} = 0.73 \text{ y};$$

воздухом

$$au_2 = 0.5 - \frac{0.03^2}{0.1 \cdot 10^{-6}} \quad \left[\left(\frac{2.3}{2.36} + 0.8 \right) lg - \frac{36 - 4}{8 - 4} + 0.12 \right] = 7740 \text{ c} = 2.15 \text{ ч}.$$

Общая продолжительность охлаждения $\tau = 0.73 + 2.15 = 2.88$ ч. Пример V—9. Для условий примера V—8 определить продолжительность охлаждения вареных колбас водой и воздухом с помощью номограммы (см. рисунок δ).

По формуле (V—11) определяем относительную температуру при охлаждении водой и воздухом:

$$\Theta_1 = \frac{36-20}{70-20} = 0,32;$$

$$\Theta_2 = \frac{8-4}{36-4} = 0,125.$$

Учитывая значения Θ_1 и Θ_2 , а также $\mathrm{Bi}_1 = 16,47$ и $\mathrm{Bi}_2 = 2,36$, по номограмме (точки A и B на рисунке δ) находим: $\mathrm{Fo}_1 = 0,29$; $\mathrm{Fo}_2 = 0,84$.

Откуда

$$=\frac{F_{01}R^2}{a_{\pi p}} = \frac{0.29 \cdot 0.03^2}{0.1 \cdot 10^{-6}} = 2610 \text{ c} = 0.725 \text{ y};$$

$$\tau_2 = \frac{\text{Fo}_2 R^2_{\text{пр}}}{a_{\text{пр}}} = \frac{0.84 \cdot 0.03^2}{0.1 \cdot 10^{-6}} = 7560 \text{ c} = 2.1 \text{ ч}.$$

Общая продолжительность охлаждения вареных колбас, учитывая графическую зависимость $Fo=f(Bi,\Theta)$ для каждой стадин обработки продукта, составляет $\tau=0.725+2.1=2.825$ ч.

Пример V—10. Для условий примера V—8 определить потери массы продукта при охлаждении его воздухом, если $G_{np}=3000$ кг, $c_{np}=3.35$ кДж/(кг·K).

Потери массы продукта при охлаждении его воздухом определяем по формуле (V—18). Для этого предварительно рассчитываем коэффициент испарения $\beta_{\rm исп}$ и площадь поверхности испарения $F_{\rm исп}$, а по приложению 8 определяем значения парциального давления $p_{\rm n}$ и $p_{\rm s}$.

Расчет коэффициента испарения $\beta_{исп}$ выполняем по формуле (V—20a), учитывающей перпендикулярное к поверхности испарения направление воздушного потока,

$$\beta_{\text{MCH}} = (0.79 + 0.645 \cdot 1) \cdot 10^{-7} = 1.435 \cdot 10^{-7} \text{ Kr/(M}^2 \cdot \text{c} \cdot \Pi \text{a}).$$

При расчете площади поверхности испарения принимаем, что $F_{\rm исn} = 0.6F_{\rm пp}$, где $F_{\rm np}$ — суммарная площадь поверхности охлаждаемых колбасных батонов. Учитывая, что средняя длина колбасного батона $l_{\rm np} = 40$ см и плотность $\rho_{\rm np} = 1100$ кг/м³, находим

$$F_{\text{MEII}} = 0.6 \frac{\pi d_{\text{II}p} I_{\text{II}p} G_{\text{II}p}}{\frac{\pi d^2_{\text{II}p}}{4} I_{\text{II}p} \rho_{\text{II}p}} = 0.6 \frac{3.14 \cdot 0.06 \cdot 0.4 \cdot 3000}{\frac{3.14 \cdot 0.06^2}{4} 0.4 \cdot 1100} = 109.1 \text{ M}^2.$$

При определении парциального давления водяного пара $p_{\rm H}$ и $p_{\rm B}$ учитываем, что температура поверхности продукта является переменной и изменяется от начальной $t_{\rm Haq}=22^{\circ}{\rm C}$ (принимаем на 2°C выше температуры воды) до конечной $t_{\rm IROH}=6^{\circ}{\rm C}$ (принимаем на 2°C выше температуры воздуха). По приложению 8 находим, что $p_{\rm IROH}=2,637$ кПа, а $p_{\rm IROH}=0,93$ кПа. При этом параметры охлаждающего воздуха также изменяются. Если принять, что после охлаждения продукта водой температура воздуха в камере составляет $t_{\rm BHaq}=20^{\circ}{\rm C}$, а затем она поддерживается постоянной на уровне $t_{\rm B}=4^{\circ}{\rm C}$, а также принять относительную влажность воздуха $\phi_{\rm B}=80\%$, то парциальное давление водяного пара, содержащегося в воздухе, составит $p_{\rm BHaq}=1,9$ кПа в начале охлаждения и $p_{\rm BROH}=0,72$ кПа в конце.

Разность парциальных давлений водяного пара $p_n - p_B$, характеризующую массообмен при охлаждении продукта воздухом, находим как среднюю за процесс:

$$\rho_{\Pi} - \rho_{B} = \frac{(\rho_{\Pi}_{HAY} - \rho_{B}_{HAY}) - (\rho_{\Pi}_{KOH} - \rho_{B}_{KOH})}{\rho_{\Pi}_{HAY} - \rho_{B}_{HAY}} = \frac{1 \ln \frac{\rho_{\Pi}_{HAY} - \rho_{B}_{HAY}}{\rho_{\Pi}_{KOH} - \rho_{B}_{KOH}}}{2,637 - 1,9) - (0,93 - 0,72)} = 0,42 \text{ k}\Pi a.$$

При известных данных рассчитываем усушку продукта

$$\Delta G' = 1,435 \cdot 10^{-7} \cdot 109,1 \cdot 0,42 \cdot 10^{3} \frac{101,325}{101,325} -7740 = 50,894 \text{ Kg}$$

Ś

$$\Delta G'' = \frac{\Delta G' \cdot 100}{G_{\text{HB}}} = \frac{50,894 \cdot 100}{3000} = 1,7\%$$
.

Пример V-11. Определить теплоприток от капусты и потери ее массы при вакуумном охлаждении, если известно, что начальная температура продукта $t_{\rm нач}=28^{\circ}{\rm C}$, конечная — $t_{\rm кон}=3^{\circ}{\rm C}$, удельная теплоемкость $c_{\rm np}=1,38$ кДж/(кг·К), масса $G_{\rm np}=800$ кг, продолжительность охлаждения $\tau = 20$ мин, давление в аппарате p = $=610 \Pi a$.

Теплоприток от продукта

$$Q_0 = \frac{800 \cdot 1,38(28-3)}{20 \cdot 60} = 23 \text{ kBr}.$$

Учитывая, что вакуумное охлаждение продукта происходит вследствие испарения влаги с его поверхности, а также теплоту фазового перехода воды в пар $r_{\pi} = 2500$ кДж/кг, находим количество испарившейся влаги

$$W_{\text{исп}} = \frac{Q_0}{r_{\pi}} = \frac{23}{2500} = 0,0092 \text{ кг/c},$$

а также потери массы продукта

$$\Delta G' = W_{\text{MCD}} \tau_{\text{OXA}} = 0.0092 \cdot 60 \cdot 20 = 11.04 \text{ Kr}$$

или

$$\Delta G'' = \frac{11,04 \cdot 100}{800} = 1,38\%$$
.

ГЛАВА VI. ЗАМОРАЖИВАНИЕ ПИЩЕВЫХ ПРОДУКТОВ

. Пищевые продукты подвергаются замораживанию в целях подготовки их к длительному хранению. Замораживание осуществляется в основном в воздуш-

ной и жидких средах.

При замораживании продуктов происходит вымораживание большей части содержащейся в них воды. При этом происходит некоторое снижение качества продуктов. Однако при правильно организованном процессе замораживания, равно как и при последующих процессах холодильного хранения и размораживания, снижение качества не является значительным. В настоящее время замораживание является основным способом консервирования скоропортящихся пищевых продуктов.

Продолжительность процесса при двустороннем замораживании пищевых

продуктов рассчитывают по формуле Р. Планка

$$\tau_3 = A_{\Phi} \frac{q_3 \rho_{\pi p} {}_{a} R_{\pi p}}{t_{\pi p} - t_{\sigma p}} \left(\frac{R_{\pi p}}{2\lambda_{\pi p}} + \frac{1}{\alpha_{\pi}} \right) 10^3, \quad (VI - 1)$$

где τ_3 — продолжительность замораживания, с; A_{ϕ} — коэффициент формы $(A_{\phi}=1$ для неограниченной пластины, $A_{\phi}=^{1}/_{2}$ для цилиндра, $A_{\phi}=^{1}/_{3}$ для шара, $A_{\phi}=^{0}$, б для мясных полутуш); q_3 — удельная теплота замораживания, кДж/кг; $\rho_{\pi p_3}$ — плотность замороженного продукта, кг/м³; $R_{\pi p}$ — половина толщины (для пластины) или радиус (для цилиндра, шара) замораживаемого продукта, м; $t_{\kappa p}$ — криоскопическая температура, °C; $\lambda_{\pi p_3}$ — коэффициент теплопроводности замороженного продукта, Вт/(м·К).

Удельную теплоту замораживания определяем по формуле

$$q_3 = r_n W_{\mathbf{g} \omega_{\mathbf{x}}} \tag{VI-2}$$

где r_π — теплота фазового перехода воды в лед, кДж/кг (r_π =335,2 кДж/кг); W_π — начальное влагосодержание продукта, относительные единицы; $\omega_{\rm x}$ — доля вымороженной воды, относительные единицы.

Долю вымороженной воды ориентировочно определяют по формуле Рауля-

Чижова

$$\omega_{x} = 1 - \frac{t_{RP}}{t}; \qquad (VI - 3)$$

где t — конечная среднеобъемная, температура замороженного продукта, ${}^{\circ}$ С. Более точные результаты по определению $\omega_{\mathbf{x}}$ получают при использовании зависимостей (VI—3a) и (VI—3b):

$$\omega_{x} = \frac{1,105}{1 + \frac{0,31}{\lg[t + (1 - t_{RP})]}},$$
 (VI—3a)

где t, $t_{\rm kp}$ — абсолютные значения конечной среднеобъемной температуры замороженного продукта и криоскопической температуры, °C;

$$\omega_{x} = \frac{t_{cp} - t_{Kp}}{2t_{Kp}}, \quad (VI - 36)$$
Bia

где t_{cp} — температура охлаждающей среды, °C; Bi_a — число Био, рассчитанное для теплофизических характеристик замороженного продукта;

$$Bi_{3} = \frac{\alpha_{n}R_{np}}{\lambda_{np}}.$$
 (VI—4)

Коэффициент теплопроводности $\lambda_{\pi p_{\frac{1}{2}}}$ можно ориентировочно рассчитать по формуле

$$\lambda_{\pi p_3} = \lambda_{\pi p} + 0.9 \omega r. \tag{VI--5}$$

Для различных способов замораживания пищевых продуктов значениия коэффициента теплоотдачи α_{π} находятся в следующих пределах:

в камерах замораживания с естественной или незначительной принудительной циркуляцией воздуха (скорость движения до 2 м/с) $\alpha_0 = 8...15$ Вт/(м²·К); в камерах замораживания с принудительной циркуляцией воздуха (ско-

рость движения 2 ... 8 м/с) $\alpha_{\pi} = 15 ... 45$ Вт/(м²·K);

- во флюндизационных морозильных аппаратах $\alpha_n = 60...100~\text{Br/(M}^2 \cdot \text{K});$ в плиточных морозильных аппаратах $\alpha_n = 500...1000~\text{Br/(M}^2 \cdot \text{K});$
- в иммерсионных морозильных аппаратах $\alpha_n = 1000...2000 \text{ ET/}(\text{м}^2 \cdot \text{K})$;
- в криогенных морозильных аппаратах с орошением продуктов $\alpha_n = 1000...$ 2000 Bτ/(m²·K);
- в криогенных морозильных аппаратах с погружением продуктов ап $=5000 \text{ Bt/(M}^2 \cdot \text{K}).$

Для камер и аппаратов замораживания пищевых продуктов с принудительной циркуляцией воздуха конвективную составляющую коэффициента теплоотдачи можно определить с помощью эмпирической зависимости

$$\alpha_{\kappa} = 8.73 \omega^{0.8} \tag{VI--6}$$

где α_R — коэффициент теплоотдачи конвекцией, $Bt/(M^2 \cdot K)$; ω — скорость движения воздуха, м/с.

Если замораживанию подвергают упакованный продукт, то продолжительность процесса рассчитывают с учетом термического сопротивления упаковки и других слоев. При этом формула (VI-1) принимает вид

$$\tau_{0} = A_{\Phi} \frac{q_{0}\rho_{\pi p} {}_{3}R_{\pi p}}{t_{Kp} - t_{Cp}} \times \left[\frac{R_{\pi p}}{2\lambda_{\pi p}} + \left(\frac{1}{\alpha_{\pi}} + \sum \frac{\delta_{\pi \circ \pi}}{\lambda_{\pi \circ \pi}} \right) \right] 10^{3}, \quad (VI - 7)$$

где $\delta_{\text{доп}}$ — толщина дополнительных слоев (упаковки и др.), м; $\lambda_{\text{доп}}$ — коэффициент теплопроводности дополнительных слоев, Вт/(м·К).

Формулы (VI-1) и (VI-7) рекомендуют применять для определения продолжительности замораживания охлажденных продуктов, так как они не учитывают продолжительности процесса охлаждения от начальной до криоскопической температуры и процесса дальнейшего понижения температуры замороженного продукта до конечной заданной. Поэтому при расчете продолжительности с помощью указанных формул вводят поправочный коэффициент, учитывающий продолжительность процессов охлаждения до и после замораживания. Продолжительность охлаждения продукта до и после замораживания можно также учесть путем введения в формулы (VI-1) и (VI-7) удельной теплоты $q = l_{\text{BA}} - l_{\text{KOH}}$, где $l_{\text{BA}} - l_{\text{KOH}}$ — разность энтальний продукта до и после его холодильной обработки.

На основании приближенного решения уравнения теплопроводности предложена формула для определения продолжительности замораживания охлажденных продуктов в виде пластины в безразмерной форме при изменении температуры от криоскопической на поверхности продукта до конечной заданной*

Fo₃ =
$$\frac{q_3}{c_{\pi p}(t_{Kp} - t_{op})} \left(\frac{1}{Bi_3} + \frac{1}{2} \right) + \frac{1}{2Bi_3} + 0.25 + \frac{c_{\pi p_3}}{c_{\pi p_3}} - \frac{1}{Bi_{s_3}^2} \ln(1 + Bi_s),$$
 (VI—8)

где c_{np} — удельная теплоемкость замороженного продукта, к $Дж/(к_{\Gamma}\cdot K)$.

При этом продолжительность (в безразмерной форме) полной холодильной обработки продуктов от начальной до конечной заданной температуры определяют с учетом уравнения

^{*} Формула разработана проф. А. М. Бражниковым.

$$Fo_0 \sigma_{m} = Fo + Fo_s$$
; (VI—9)

где F_0 — число Фурье, соответствующее продолжительности охлаждения пластины и определяемое по формуле (V—14) (без учета коэффициента 0,56).

Продолжительность замораживания мясных туш и полутуш рассчитывают обычно по эмпирическим зависимостям:

в случае естественной циркуляции воздуха

$$\tau_{3} = \left[\frac{0.031}{\alpha_{\text{II}}} c_{\text{M}} \rho_{\text{M}} \delta_{\text{M}} \left(\frac{t_{\text{HAM}} - t_{\text{B}}}{t_{\text{Kp}} - t_{\text{B}}} \right)^{-1.07} + \right.$$

$$\left. + \frac{0.058 \cdot 10^{-4}}{\alpha_{\text{II}}} c_{\text{W}} \rho_{\text{M}} \delta_{\text{M}} \frac{c_{\text{W}}}{c_{\text{M}}} \left(\frac{t_{\text{Kp}} - t_{\text{B}}}{t_{\text{KOB}} - t_{\text{B}}} \right)^{-4.65} \right] 10^{3}; \qquad (VI - 10)$$

в случае принудительной циркуляции воздуха

$$\tau_{3} = \left[\frac{0.027}{\alpha_{\text{II}}} c_{\text{M}} \rho_{\text{M}} \delta_{\text{M}} \left(\frac{t_{\text{RB}} - t_{\text{B}}}{t_{\text{Kp}} - t_{\text{B}}} \right)^{1.5} + \frac{0.025}{\alpha_{\text{II}}} c_{\text{M}} \rho_{\text{M}} \delta_{\text{M}} \frac{c_{\text{M}}}{c_{\text{M}}} \left(\frac{t_{\text{Kp}} - t_{\text{B}}}{t_{\text{KOH}} - t_{\text{B}}} \right)^{1.09} \right] 10^{3}, \quad (\text{VI}-10a)$$

где $c_{\rm M}$ — удельная теплоемкость мяса в охлажденном состоянии. кДж/(кг·К); $\rho_{\rm M}$ — плотность мяса в охлажденном состоянии, кг/м³; $c_{\rm w}$ — полная удельная теплоемкость мяса при замораживании, кДж/(кг·К);

$$c_{\omega} = c_{M_a} + 335,2 W_{H}(\omega_{X_2} - \omega_{X_1}),$$

 $r_{\text{де}}\omega_{x_1}-\omega_{x_2}$ разность количеств вымороженной воды в пределах изменения температуры мяса при замораживании на один градус, 1/°C.

Количество теплоты, отводимой от продуктов при замораживании, определяют по формулам:

$$Q_3 = G_{\pi p} (l_{\pi a q} - l_{\text{ROB}});$$
 (VI-11)

$$Q_{s} = G_{\pi p} [c_{\pi p} (t_{\text{Har}} - t_{\text{KP}}) + r_{\pi} W_{\text{H}} \omega_{x} + c_{\pi p_{g}} (t_{\text{KP}} - t_{\text{KOH}})]. \quad (VI - 11a)$$

Пример VI—1. Определить продолжительность замораживания мясного образца, выполненного в виде пластины, цилиндра и шара, при следующих исходных данных: половина толщины пластины равна раднусу цилиндра и шара, т. е. $R_{\rm пp}=20$ мм; конечная температура мяса в центре образца $t_{\rm п, кон}=-10^{\circ}{\rm C}$; температура воздуха $t_{\rm B}=-20^{\circ}{\rm C}$; коэффициент теплоотдачи $\alpha_{\rm n}=20$ Вт/ (м²·К); начальное влагосодержание мяса $W_{\rm n}=74\%$; плотность $\rho_{\rm np}\approx \rho_{\rm np}$ = 1020 кг/м³; криоскопическая температура $t_{\rm kp}=-1^{\circ}{\rm C}$; начальная температура мяса $t_{\rm hay}=10^{\circ}{\rm C}$.

Расчет выполняем по формуле (VI—1) с учетом поправочного коэффициента $K_{\rm H}=1,3$ (коэффициент учитывает продолжительность, охлаждения мясного образца от $t_{\rm HQH}$ до $t_{\rm HQH}$, а затем от $t_{\rm KP}$ до $t_{\rm ROH}$).

Коэффициент теплопроводности замороженного продукта принимаем по приложению 9: $\lambda_{\pi p_a} = 1,31 \text{ Bt/}(\text{M} \cdot \text{K})$.

В формуле (VI—1) неизвестна удельная теплота замораживания q_3 , для определения которой необходимо знать долю вымороженной воды $\omega_{\mathbf{x}}$. Рассчитываем $\omega_{\mathbf{x}}$ по формуле (VI—36), для чего предварительно находим число Bi_3 для замороженного продукта:

$$Bi_{a} = \frac{20 \cdot 0.02}{1.31} = 0.305;$$

$$\omega_{x} = \frac{-20 - (-1)}{0.305} = 0.743.$$

При известных r_{π} , W_{π} и $\omega_{\mathbf{x}}$ по формуле (VI—2) определяем $q_3 = 335, 2\cdot 0.74 \cdot 0.742 = 184, 3 \ кДж/кг.$

Затем рассчитываем продолжительность замораживания: пластины

$$q_{3i} = 1.3 \cdot 1 - \frac{184.3 \cdot 10^3 \cdot 1020 \cdot 0.02}{(-1) - (-20)} \left(\frac{0.02}{2 \cdot 1.31} + \frac{1}{20} \right) = 14825 \text{ c} = 4.12 \text{ q};$$

цилиндра

$$q_{32} = 1,3 \cdot 0,5 \frac{184,3 \cdot 10^3 \cdot 1020 \cdot 0,02}{(-1)-(-20)} \left(\frac{0,02}{2 \cdot 1,31} + \frac{1}{20} \right) = 7412,5 \text{ c} = 2,06 \text{ ч};$$
 шара

$$q_{33} = 1,3 \cdot 0,33 - \frac{184,3 \cdot 10^3 \cdot 1020 \cdot 0,02}{(-1) - (-20)} \left(-\frac{0,02}{2 \cdot 1,31} + \frac{1}{20} \right) = 4892,25 \text{ c} = 1,36 \text{ q}.$$

Из результатов примера следует, что при равных исходных условиях наибольшей продолжительностью характеризуется процесс замораживания мясного образца, выполненного в виде пластин, и наименьшей — в виде шара.

Пример VI—2. Для условий примера VI—1 определить количество теплоты, отводимой от мясного образца в форме шара.

Количество теплоты Q_3 рассчитываем по формуле (VI—11). При этом массу образца находим с учетом объема и плотности продукта

$$G_{\pi p} = V_{\pi p} \rho_{\pi p} = \frac{4}{3} \pi R^3_{\pi p} \rho_{\pi p} =$$

$$= \frac{4}{3} 3.14 \cdot 0.023 \cdot 1020 = 0.0341 \text{ Kr.}$$

Затем по приложению 10 определяем энтальпию продукта:

$$t_{\text{нач}} = 264,5$$
 кДж/кг (при $t_{\text{нач}} = 10^{\circ}\text{C}$) и $t_{\text{нон}} = 11,6$ кДж/кг (при $t_{\text{кон}} = \frac{2t_{\text{п}} + 3t_{\text{пов}}}{5} = \frac{2(-10) + 3(-19)}{5} = -15,4^{\circ}\text{C}$, где $t_{\text{пов}} = t_{\text{в}} + 1 = -20 + 1 = -19^{\circ}\text{C}$): Получаем $Q_3 = 0,0341 \, (264,5-11,6) = 8,62$ кДж.

Пример VI—3. Определить продолжительность замораживания говяжьих полутуш в камере, оборудованной воздушно-радиационной системой охлаждения, если скорость движения воздуха в зоне расположения бедренных частей полутуш $\omega=4$ м/с. Температура воздуха в камере является постоянной ($t_{\rm B}=-35^{\circ}{\rm C}$). Среднеобъемная температура продукта следующая: начальная $t_{\rm Haq}=+30^{\circ}{\rm C}$, конечная $t_{\rm Koh}=-18^{\circ}{\rm C}$. Толщина бедренной части полутуши $\delta_{\rm M}=0.21$ м, а ее масса $G_{\rm H}=82$ кг.

Для определения продолжительности процесса предваритель-

но рассчитываем коэффициент теплоотдачи ап.

Коэффициент теплоотдачи конвекцией α_к рассчитываем с помощью критериального уравнения (для сухой поверхности)

$$Nu = 0.28Re^{0.58}$$
,

откуда

Í

į

$$\alpha_{\rm R} = 0.28 \frac{\lambda_{\rm H}}{\delta_{\rm M}} \left(\frac{-\omega \delta_{\rm M}}{v_{\rm B}} \right)^{0.58} \quad \text{s}$$

Коэффициент теплопроводности воздуха $\lambda_{\rm B}$ определяем по формуле (V—6), учитывая среднюю относительную влажность охлаждающего воздуха $\phi_{\rm B}\!=\!0.85$ и коэффициент теплопроводности сухого воздуха $\lambda_{\rm c.B}\!=\!0.0216$ Bt/(м·K) (по приложению 7 при $t_{\rm B}\!=\!-35^{\circ}{\rm C}$):

$$\lambda_{\rm B} = 0.0216 + 0.00465 \cdot 0.85 = 0.0255 \, \text{BT/(M} \cdot \text{K)}.$$

Коэффициент кинематической вязкости воздуха при $t_{\rm B} = -35^{\circ}{\rm C}$

$$v_B = 10.42 \cdot 10^{-6} \text{ m}^2/\text{c}$$
 (приложение 7).

Учитывая известные данные, находим

$$\alpha_{\rm K} \! = \! 0.28 \frac{2.55 \cdot 10^{-2}}{0.21} \left(\frac{4 \cdot 0.21}{10.42 \cdot 10^{-6}} \right)^{0.58} = \! 23.82 \ {\rm Bt/(m^2 \cdot K)} \, . \label{eq:ak}$$

Коэффициент теплоотдачи излучением $\alpha'_p[B\ B\tau/(M^2\cdot K)]$ между поверхностью мяса и радиационными охлаждающими батареями рассчитываем по формуле

$$\alpha'_{p} = \varepsilon_{n} C_{0} K_{06,n} \frac{\left(\frac{T_{n,n}}{100}\right)^{4} - \left(\frac{T_{6,n}}{100}\right)^{4}}{T_{n,n} - T_{6,n}}$$

где ϵ_n — приведенная степень черноты системы охлаждающая батарея — полутуша; C_0 — коэффициент лучеиспускания абсолютно черного тела, $\mathrm{Bt}/(\mathrm{M}^2 \cdot \mathrm{K}^4)$ [$C_0 = 5,67$ $\mathrm{Bt}/(\mathrm{M}^2 \cdot \mathrm{K}^4)$]; $K_{06\pi}$ — коэффициент облученности бедренной части полутуши (по данным Г. Д. Аверина, $K_{06\pi} = 0,755$); $T_{n.n.}$, $T_{6\pi\tau}$ — температуры соответственно поверхности полутуши и поверхности батареи, K.

Приведенная степень черноты ε_{π} системы охлаждающая батарея — полутуша ориентировочно определяется по уравнению

$$\varepsilon_{\pi} = \varepsilon_{5a\tau} \varepsilon_{\pi,\pi} = 0.96 \cdot 0.9 = 0.864$$

где $\epsilon_{6\,\text{\tiny AT}} = 0.96$ — степень черноты охлаждающей батареи, покрытой снегом; $\epsilon_{n,n}$ — степень черноты поверхности полутуши принята постоянной в процессе замораживания ($\epsilon_{n,n} = 0.9$) (опытные данные Ю. Д. Румянцева).

Коэффициент теплоотдачи радиацией α_p , отнесенный к разности температур $T_{\pi,n}$ — T_B находим по уравнению

$$\alpha_{\rm p} = \alpha'_{\rm p} \frac{T_{\rm m.m} - T_{\rm 6ar}}{T_{\rm m.m} - T_{\rm B}} = \varepsilon_{\rm m} C_0 K_{\rm 06m} \frac{\left(\frac{T_{\rm m.m}}{100}\right)^4 - \left(\frac{T_{\rm 6ar}}{100}\right)^4}{T_{\rm m.m} - T_{\rm B}} \text{ Br/(M}^2 \cdot \text{K)}.$$

При расчете α_р принимаем следующее: средняя температура поверхности охлаждающих батарей:

$$t_{\text{GaT}} = t_{\text{B}} - 10^{\circ}\text{C} = -35 - 10 = -45^{\circ}\text{C};$$

 $T_{\text{GaT}} = -45 + 273.2 = 228.2 \text{ K};$

среднеинтегральная температура поверхности бедренной части полутуш (на основании опытных данных):

$$t_{\pi\pi} = -20^{\circ} \text{C}$$
: $T_{\pi\pi} = -20 + 273.2 = 253.2 \text{ K}$.

Определяем ар:

$$\alpha_{\rm p}\!=\!0.864\cdot 5.67\cdot 0.755 \frac{\left(\frac{253.2}{100}\right)^4 - \left(\frac{228.2}{100}\right)^4}{253.2 - \left(-35 + 273.2\right)} = 3.45~{\rm Bt/(M^2 \cdot K)}\,.$$

Коэффициент теплоотдачи испарением $\alpha_{\text{м}}[\text{в Bt/(м}^2 \cdot \text{K})]$ находим по уравнению

$$\alpha = \frac{Ur \cdot 10^{3}}{F_{\mathfrak{np}_{1}}(T_{\mathfrak{n}:\mathfrak{n}}-T_{\mathfrak{p}})}$$

где U — скорость испарения влаги с поверхности полутуши, кг/с; r — скрытая теплота сублимации при замораживании, кДж/кг; $F_{\rm пр_1}$ — площадь поверхности полутуши, участвующая в массообмене, м².

В последнем выражении неизвестными являются скорость испарения U и площадь $F_{\rm np_1}$ поверхности полутуши.

Для определения U предварительно задаемся (на основании практических данных), что продолжительность холодильной обра-

ботки τ_3 менее 16 ч (например, $\tau_3 = 14$ ч), и по приложению 6 находим усушку для говяжьих полутуш I категории, равную 1,58%. Затем по формуле (V—18) получаем, что потери массы одной полутуши (при средней массе полутуши $G_n = 82$ кг) равны 1,29 кг. Учитывая $\Delta G = 1,29$ кг и $\tau_3 = 14$ ч, получаем

$$U = \frac{\Delta G}{\tau_a} = \frac{1,29}{14} = 0,092 \text{ кг/ч, или } 0,025 \cdot 10^{-3} \text{ кг/с}.$$

Скрытая теплота сублимации при температуре поверхности $t_{\text{п.п.}}$ ($t_{\text{п.п.}} < t_{\text{кр}}$) $r = 2500 + (335,2 + 2,1 t_{\text{п.n.}})$, где выражение, взятое в скобки, представляет собой удельную теплоту льдообразования; при $t_{\text{п.п.}} = -20\,^{\circ}\text{С}$

$$r = 2500 + 335,2 + 2,1 (-20) = 2793,2 \text{ kMm/kr}.$$

Площадь поверхности полутуши, участвующей в массообмене, F_{np_1} определяем по формуле А. Г. Дивакова:

$$F_{\pi p_1} = \frac{1}{2} (0.0176 \cdot 2G_{\pi} + 2.15) = \frac{1}{2} (0.0176 \cdot 2 \cdot 82 + 2.15) = 2.51 \text{ m}^2,$$

где G_{n} — масса полутуши, кг.

При известных данных коэффициент теплоотдачи испарением составляет

$$\alpha_{\text{M}} = \frac{0,025 \cdot 10^{-3} \cdot 2793, 2 \cdot 10^{3}}{2,51[253,2 + (-35 + 273,2)]} = 1,85 \text{ Bt/(M}^{2} \cdot \text{K)}.$$

Общий коэффициент теплоотдачи

$$\alpha_{\text{II}} = 23.82 + 3.45 + 1.85 = 29.12 \text{ Bt/(M}^2 \cdot \text{K)}.$$

Определяем количество теплоты, отводнмой от 1 кг продукта,

$$q_3 = i_{\text{HRY}} - i_{\text{HOH}}$$

где $i_{\rm Haq}$ и $l_{\rm KOB}$ — энтальпии мяса при начальной и конечной среднеобъемных температурах, кДж/кг.

По приложению 10 при $t_{\rm Haq} = +30^{\circ}{\rm C}$ $i_{\rm Haq} = 329$ кДж/кг; при $t_{\rm KOH} = -18^{\circ}{\rm C}$ $i_{\rm KOH} = 4,6$ кДж/кг.

Следовательно, $q_3 = 329 - 4.6 = 324.4$ кДж/кг.

Коэффициент теплопроводности замороженного мяса принимаем по приложению 9: $\lambda_{np_3} = 1,33 \text{ BT/(M·K)}.$

Плотность замороженного мяса принимаем равной $\rho_{\text{пр}_3} = 985 \text{ кг/м}^3$.

Продолжительность замораживания мясных полутуш определяем по формуле P. Планка с учетом коэффициентов R и P

$$\tau_3 = \frac{q_3 \rho_{\pi p_3}}{t_{\kappa p} + t_n} \delta_M \left(R \frac{\delta_M}{\lambda_{\pi p_n}} + P \frac{1}{\alpha_{\pi}} \right) 10^3 :$$

По данным А. П. Шеффера, поперечные сечения бедренных частей полутуши в наиболее толстых местах близки к эллипсам, отношение осей которых $\beta=1,8$. Следовательно, форма бедренных частей полутуш приближается к удлиненным параллелепипедам, имеющим продольные грани, отвод теплоты от которых производится с четырех сторон. В этом случае продолжительность замораживания мясных полутуш можно определить по формуле Р. Планка для блоков с двухмерным отводом теплоты. При $\beta=1,8$; R=-0,0875; P=0,32. Тогда продолжительность замораживания

$$\tau_3 = \frac{324,4 \cdot 985 \cdot 10^3}{-1 - (-35)} 0.21 \left(0.0875 \frac{0.21}{1.33} + 0.32 \frac{1}{29.12} \right) = 48975.2 \text{ c} = 13.6 \text{ ч.}$$

Принятая ранее для расчета скорости испарения U продолжительность замораживания незначительно отличается от полученной, поэтому перерасчета не производим.

Пример V1—4. Определить продолжительность замораживания блоков охлажденного яичного меланжа в роторном морозильном аппарате при следующих исходных данных: начальная температура $t_{\text{нач}} = 4^{\circ}\text{C}$, конечная — $t_{\text{кон}} = -10^{\circ}\text{C}$, плотность замороженного меланжа $\rho_{\text{пр_3}} = 980 \text{ кг/м}^3$, коэффициент теплопроводности $\lambda_{\text{пр_3}} = 0.97 \text{ Bt/(M·K)}$, криоскопическая температура $t_{\text{кр}} = -0.6^{\circ}\text{C}$, толщина блока $\delta = 2R_{\text{пр}} = 60 \text{ мм}$, температура охлаждающей среды (кипящего холодильного агента R22) $t_{\text{ср}} = -25^{\circ}\text{C}$. Коэффициент теплоотдачи от поверхности канала замораживающих плит аппарата к циркулирующему холодильному агенту $\alpha_{\text{п}} = 500 \text{ Bt/(M}^2 \cdot \text{K)}$. Продукт перед замораживанием упаковывают в пакеты из нестабилизированной полиэтиленовой пленки толщиной $\delta_{\text{уп}} = 100 \text{ мкм} \left[\lambda_{\text{уп}} = 0.29 \text{ Bt/(M·K)}\right]$. Толщина стенки плиты, выполненной из алюминиевого сплава, $\delta_{\text{ал}} = 0.008 \text{ м} \left[\lambda_{\text{ал}} = 180 \text{ Bt/(M·K)}\right]$.

Продолжительность замораживания блока при двустороннем отводе теплоты определяем по формуле (VI—7). При этом принимаем коэффициент $A_{\Phi} = 1$.

Так как продукт имеет температуру $t_{\text{нач}} > t_{\text{кр}}$, то удельную теплоту замораживания определяем по формуле $q_3 = i_{\text{нач}} - i_{\text{ков}}$.

По приложению 10: при $t_{\text{нач}} = +4^{\circ}\text{C}$ $i_{\text{нач}} = 277,6$ кДж/кг; при $t_{\text{ков}} = -10^{\circ}\text{C}$ $i_{\text{ков}} = 24,3$ кДж/кг.

Подставляем известные данные и находим

$$\tau_{3} = 1 \frac{(277.6 - 24.3)980 \cdot 0.03}{-0.6 - (-25)} \left[\frac{0.03}{2 \cdot 0.97} + \left(\frac{1}{500} + \frac{1 \cdot 10^{-4}}{0.29} + \frac{0.008}{180} \right) \right] \quad 10^{3} = 5448 \quad c = 1.51 \quad \text{y}.$$

Пример VI—5. Определить продолжительность холодильной обработки фруктового сока с мякотью, замораживаемого в ме-

таллической кассете в виде блока толщиной $2R_{\rm np}=60$ мм, если замораживание осуществляется конвективным способом в воздушной среде [$\alpha_1=10$ Вт/(${\rm M}^2\cdot{\rm K}$)], в жидкой среде [$\alpha_2=100$ Вт/(${\rm M}^2\cdot{\rm K}$)], а также кондуктивным способом [$\alpha_3=1000$ Вт/(${\rm M}^2\cdot{\rm K}$)]. Начальная и конечная температура продукта: $t_{\rm Bav}=40^{\circ}{\rm C}$; $t_{\rm ков_{ij}}=-1^{\circ}{\rm C}$, криоскопическая температура $t_{\rm kp}=-1^{\circ}{\rm C}$, температура охлаждающей среды $t_{\rm cp}=-21^{\circ}{\rm C}$. Теплофизические параметры продукта: $\lambda_{\rm up}=0.53$ Вт/(м·К); $\lambda_{\rm up_3}\approx 2$ Вт/(м·К); $c_{\rm np}=2$ кДж/(кг·К); $c_{\rm np}=2$ кДж/(кг·К); $c_{\rm np}=3.383$ кДж/(кг·К); $\rho_{\rm np}\approx \rho_{\rm np_3}=1000$ кг/м³; начальное влагосодержание $W_{\rm H}=0.98$. Сопротивлением теплопередаче стенок металлической кассеты пренебречь.

Для определения продолжительности охлаждения блока от начальной температуры $t_{\text{нач}} = 40^{\circ}\text{C}$ до температуры на поверхности $t_{\text{п}} = t_{\text{кp}} = -1^{\circ}\text{C}$ предварительно рассчитываем значения Bi:

$$Bi_1 = \frac{\alpha_1 R_{\pi p}}{\lambda_{\pi p}} = \frac{10 \cdot 0.03}{0.53} = 0.57;$$

$$Bi_2 = \frac{100 \cdot 0.03}{0.53} = 5.7$$
; $Bi_3 = \frac{1000 \cdot 0.03}{0.53} = 57$.

По формуле (V-14a) рассчитываем значения $Fo^{(0)}$, учитывающего продолжительность распространения температурного фронта в пластине (т. е. время, по прошествии которого температура в центре пластины начинает изменяться):

$$\text{Fo}_1^{(0)} = \frac{1}{12} + \frac{1}{3.0.57} - \frac{2}{3.0.57^2} - \ln\left(1 + \frac{0.57}{2}\right) = 0.1535;$$

$$\text{Fo}_2^{(0)} = \frac{1}{12} + \frac{1}{3.5.7} - \frac{2}{3.5.7^2} \ln\left(1 + \frac{5.7}{2}\right) = 0.114;$$

$$\text{Fo}_3^{(0)} = \frac{1}{12} + \frac{1}{3.57} - \frac{2}{3.57^2} \ln\left(1 + \frac{57}{2}\right) = 0.0885.$$

Затем по формуле (V—14) рассчитываем значения Fo, соответствующего продолжительности охлаждения блока до достижения на его поверхности температуры $t_{\rm II} = t_{\rm KD}$:

Fo₁ =
$$\frac{0.57+3}{3 \cdot 0.57} \ln \left[\frac{2(40+21)}{(0.57+2)(-1+21)} \right] + 0.1535 = 1.95;$$

Fo₂ = $\frac{5.7+3}{3 \cdot 5.7} \ln \left[\frac{2(40+21)}{(5.7+2)(-1+21)} \right] + 0.114 = -0.003.$

Знак «—» означает, что охлаждение блока до температуры $t_{\text{пов}} = t_{\text{кр}}$ осуществляется быстрее, чем «температурный фронт» до-

стигнет центра, т. е. температура в центре еще не успевает измениться, в то время как температура поверхности уже равна криоскопической. В этом случае продолжительность охлаждения можно приближенно определить по $Fq^{(0)}$. Для случая, когда $Bi_3=57$ [при $\alpha_3=1000$ $Bt/(m^2\cdot K)$], продолжительность охлаждения блока также определяем по $Fo^{(0)}$. На основании вышеизложенного принимаем, что $Fo_2=0,114$, $Fo_3=0,0885$.

Продолжительность охлаждения блока определяем по формуле (V-12), при этом предварительно находим температуропроводность продукта:

$$a_{\pi p} = \frac{\lambda_{\pi p}}{c_{\pi p} \rho_{\pi p}} = \frac{0.53}{2000 \cdot 1000} = 0.265 \cdot 10^{-8} \text{ M}^2/\text{c};$$

$$\tau_1 = \frac{1.95 \cdot 0.03^2}{0.265 \cdot 10^{-6}} = 6622.6 \text{ c} = 1.84 \text{ y};$$

$$\tau_2 = \frac{0.114 \cdot 0.03^2}{0.265 \cdot 10^{-6}} = 387.17 \text{ c} = 0.108 \text{ y};$$

$$\tau_3 = \frac{0.0885 \cdot 0.03^2}{0.265 \cdot 10^{-6}} = 300.38 \text{ c} = 0.083 \text{ y}.$$

Для определения продолжительности замораживания предварительно рассчитываем Bi_3 для замороженного состояния продукта, затем по формуле (VI—36) — долю вымороженной воды ω_x , а по формуле (VI—2) — удельную теплоту замораживания q_3 :

$$Bi_{3_1} = \frac{\alpha_1 R_{\pi p}}{\lambda_{\pi p}} = \frac{10 \cdot 0.03}{2} = 0.15;$$

$$Bi_{32} = \frac{100 \cdot 0.03}{2} = 1.5; \quad Bi_{33} = \frac{1000 \cdot 0.03}{2} = 15;$$

$$\omega_{x_1} = \frac{-21 - (-1)}{2(-1)} = 0.6;$$

$$\omega_{x_2} = \frac{-21 - (-1)}{2(-1) - (-21)]} = 0.94;$$

$$\omega_{x_3} = \frac{-21 - (-1)}{2(-1) - (-21)} = 0.994;$$

$$\omega_{x_3} = \frac{-21 - (-1)}{2(-1) - (-21)} = 0.994;$$

$$q_{31} = 335,2 \cdot 0,98 \cdot 0,6 = 197,098$$
 кДж/кг;
 $q_{32} = 335,2 \cdot 0,98 \cdot 0,94 = 308,79$ кДж/кг;
 $q_{33} = 335,2 \cdot 0,98 \cdot 0,994 = 326,525$ кДж/кг.

Подставляем полученные данные в формулу (VI—8) и определяем значения Fo₃:

$$Fo_{3_{1}} = \frac{197098}{2000[(-1) - (-21)]} \left(\frac{1}{0,15} + \frac{1}{2} \right) + \frac{1}{2 \cdot 0,15} + 0,25 + \frac{3830}{2000 \cdot 0,57} - \frac{1}{0,15^{2}} \ln(1+0,15) = 36,03;$$

$$Fo_{3_{2}} = \frac{308790}{2000[(-1) - (-21)]} \left(\frac{1}{1,5} + \frac{1}{2} \right) + \frac{1}{2 \cdot 1,5} + 0,25 + \frac{3830}{2000 \cdot 5,7} - \frac{1}{1,5^{2}} \ln(1+1,5) = 9,513;$$

$$Fo_{3_{2}} = \frac{326525}{2000[(-1) - (-21)]} \left(\frac{1}{15} + \frac{1}{2} \right) + \frac{1}{2 \cdot 15} + 0,25 + \frac{3830}{2000 \cdot 57} - \frac{1}{15^{2}} \ln(1+15) = 4,93.$$

Следовательно, продолжительность замораживания (с учетом формулы для определения $a_{\rm np}$) составляет:

$$\tau_{3} = \frac{\Gamma_{03}R^{2}_{up} c_{up}_{3}\rho_{up}_{3}}{\lambda_{up}_{3}};$$

$$\tau_{31} = \frac{36,03 \cdot 0,03^{2} \cdot 3830 \cdot 1000}{2} = 62097,7 \text{ c} = 17,25 \text{ y};$$

$$\tau_{32} = \frac{9,513 \cdot 0,03^{2} \cdot 3830 \cdot 1000}{2} = 16395,6 \text{ c} = 4,55 \text{ y};$$

$$\tau_{33} = \frac{4,93 \cdot 0,03^{2} \cdot 3830 \cdot 1000}{2} = 8496,8 \text{ c} = 2,36 \text{ y}.$$

Общая продолжительность холодильной обработки блока толщиной 60 мм от начальной температуры $t_{\text{нач}} = +40\,^{\circ}\text{C}$ до конечной в центре $t_{\text{кон}} = -1\,^{\circ}\text{C}$ при температуре охлаждающей среды $t_{\text{ср}} = -21\,^{\circ}\text{C}$ и заданных коэффициентах теплоотдачи равна: при $\alpha_{\text{I}} = 10\,$ Вт/ (м²· K)

$$\tau_{\text{offills}} = \tau_1 + \tau_{\text{s}_1} = 1,84 + 17,25 = 19,09 \text{ m};$$

при
$$\alpha_2 = 100 \text{ Br/} (\text{м}^2 \cdot \text{K})$$

$$\tau_{0.0 \text{m}_2} = \tau_2 + \tau_{32} = 0,108 + 4,55 = 4,658 \text{ u};$$

при $\tau_3 = 1000 \, \text{BT} / (\text{м}^2 \cdot \text{K})$

$$\tau_{0.0 \text{ m/s}} = \tau_3 + \tau_{3.3} = 0.083 + 2.36 = 2.443 \text{ ч.}$$

Из результатов расчета следует, что при замораживании продукта в жидкой среде продолжительность процесса по сравнению с замораживанием в воздушной среде уменьшается примерно в 4 раза ($\tau_{06\text{ш}_2} = 4,658$ ч; $\tau_{06\text{ш}_1} = 19,09$ ч). При замораживании кондуктивным способом продолжительность процесса уменьшается по сравнению с замораживанием в жидкой среде всего лишь в 2 раза ($\tau_{06\text{ш}_2}/\tau_{06\text{ш}_3} = 4,658/2,443 \approx 2$). Следовательно, для дальнейшего сокращения продолжительности процесса необходимо идти не по пути изменения способа холодильной обработки, а по пути уменьшения толщины продукта (уменьшать толщину блоков, применять гранулирование и др.).

Пример VI—6. Определить продолжительность замораживания апельсинового сока $\langle \text{для} \rangle$ концентрирования вымораживанием) на стенках двустороннего скребкового льдогенератора, если известно, что подаваемый на льдогенератор сок имеет температуру $t_{\text{нач}} = 0$ °C, криоскопическая температура $t_{\text{кр}} = -1.3$ °C, влагосодержание $W_{\text{н}} = 0.89$, конечная среднеобъемная температура замороженного сока $t_{\text{кон}} = -5$ °C, температура кипения холодильного агента в рубашке льдогенератора $t_0 = -25$ °C, толщина намораживаемого слоя $\delta_{\text{пр}} = 0.001$ м, коэффициент теплоотдачи со стороны холодильного агента $\alpha_0 = 1500$ BT/($M^2 \cdot \text{K}$), а со стороны продукта $\alpha_{\text{н}} = 5000$ BT/($M^2 \cdot \text{K}$), толщина стальной стенки льдогенератора $\delta_{\text{ст}} = 0.008$ м, коэффициент теплопроводности $\lambda_{\text{ст}} = 58$ BT/($M \cdot \text{K}$).

Продолжительность замораживания определяем по формуле P. Планка

$$\tau_{3} = \frac{10^{3}q_{3}\rho_{n_{Z_{i}}}\delta_{np}}{t_{\kappa p} - t_{0}} \left(\frac{1}{\alpha_{0}} + \frac{\delta_{c\tau}}{\lambda_{c\tau}} + \frac{0.5\delta_{np}}{\lambda_{np}} + \frac{1}{\alpha_{n}} \right)$$

где $\rho_{\Pi P_3}$ — плотность замороженного сока, кг/м³($\rho_{\Pi P_3} = 980$ кг/м³); $\lambda_{\Pi P_3}$ —коэффициент теплопроводности замороженного сока, $\text{Вт/(M·K)} \left[\lambda_{\Pi P_3} = 2,09\,\text{Вт/(M·K)}\right]$.

Теплоту q_a определяем с учетом разности энтальпий продукта

$$q_3 = 356,7 - 118,9 = 237,8$$
 кДж/кг,

где 356.7 — энтальпия сока при $t_{\rm Haq} = 0$ °C; 118.9 — энтальпия сока при $t_{\rm hol} = -5$ °C.

Подставляем известные данные и находим

$$\tau_{3} = \frac{10^{3} \cdot 237,8 \cdot 980 \cdot 0,0}{-1,3 - (-25)} \left(\frac{1}{1500} + \frac{0,008}{58} + \frac{0,5 \cdot 0,001}{2,09} + \frac{1}{5000} \right) = 12,27 \text{ c.}$$

Пример VI—7. Определить тепловую нагрузку на систему охлаждения фризера производительностью $G_{\rm пp}{}_{\rm c}=0.04$ кг/с, если потребляемая мощность электродвигателя $N_{\rm dp}=4.5$ кВт. Смесь мороженого содержит 10.5% сухого обезжиренного молочного остатка, 16% сахара, 3.5% жира и 69.7% влаги. Криоскопическая температура смеси $t_{\rm kp}=-2.4$ °C, начальная температура $t_{\rm Haq}=+5$ °C, конечная — $t_{\rm koh}=-5$ °C. Удельная теплоемкость смеси $c_{\rm пp}=3.26$ кДж/(кг·К), $c_{\rm npa}=2.931$ кДж/(кг·К).

Тепловая нагрузка на систему охлаждения фризера составляет

$$Q_0 = Q_{\rm np} + Q_{\rm pp} + Q_{\rm okp}$$

где $Q_{\rm np_3}$ — теплоприток от продукта, кВт; $Q_{\rm \Phi p}$ — теплоприток от электродвигателя фризера, кВт; $Q_{\rm oup}$ — теплоприток из окружающей среды, кВт (принимаем $Q_{\rm oup}=0,2Q_{\rm np_3}$).

При определении теплопритока $Q_{\rm пр_3}$ предварительно рассчитываем долю вымороженной воды

$$\omega_{x} = 1 - \frac{5.64q_{w} + 6q_{o}}{W_{et}},$$

где $q_{\rm M}$ — относительное содержание сухого обезжиренного молочного остатка $(q_{\rm M}=0,105);~q_{\rm C}$ — относительное содержание сахара $(q_{\rm C}=0,16);~W_{\rm M}$ — начальное влагосодержание смеси $(W_{\rm M}=0,697);~t$ — абсолютное значение конечной среднеобъемной температуры смеси;

$$\omega_{\mathbf{x}} = 1 - \frac{5,64 \cdot 0,105 + 6 \cdot 0,16}{0,697 \cdot 5} = 0,555.$$

Теплоприток от продукта $Q_{\mathfrak{q}_{\Gamma_3}}$ рассчитываем с учетом формулы (VI—11a):

$$Q_{\rm np} = G_{\rm np} \left[c_{\rm np} (t_{\rm Haq} - t_{\rm KP}) + r_{\rm n} W_{\rm n} \omega_{\rm x} + c_{\rm np} \left[(t_{\rm Kp} - t_{\rm KOH}) \right] \right],$$

где $G_{\text{пр}_{\alpha}}$ — производительность, кг/с;

$$Q_{\text{np}_3} = 0.04[3.26(5+2.4) + 335.2 \cdot 0.697 \cdot 0.555 + +2.931(-2.4+5)] = 6.456 \text{ kBt.}$$

Рассчитываем теплоприток $Q_{\Phi p}$ с учетом коэффициента $\eta_{M} = 0.8$ (механического КПД, учитывающего потери энергии в механизме и сальниках), а затем тепловую нагрузку Q_{0} :

$$Q_{\Phi p} = 0.8N_{\Phi p} = 0.8 \cdot 4.5 = 3.6 \text{ kBt};$$

 $Q_0 = 6.456 + 3.6 + 0.2 \cdot 6.456 = 11.35 \text{ kBt}.$

ГЛАВА VII. ХОЛОДИЛЬНОЕ ХРАНЕНИЕ ПИЩЕВЫХ ПРОДУКТОВ

Целью холодильного хранения пищевых продуктов является торможение происходящих в них изменений. Мера такого торможения зависит от индивидуальных свойств продукта. Например, стойкость плодов обусловливается условиями их выращивания (главным образом режимом полива) и степенью эрелости. Стойкость рыбы при хранении зависит от ее жирности, уровня предварительного развития посмертных изменений и т. д.

Индивидуальные особенности сохраняемых продуктов проявляются в большей степени при хранении охлажденных продуктов и в меньшей — замороженных. Отличительная особенность хранения охлажденных продуктов растительного происхождения заключается в необходимости подачи к продукту некоторого количества кислорода, пеобходимого для осуществления обменных процессов. Положительные результаты достигаются при хранении охлажденных продуктов растительного происхождения в регулируемой (по кислороду и диоксиду углерода) газовой среде.

Пример VII—1. Определить потери массы мяса при хранении, если мороженые говяжьи полутуши I категории хранятся в холодильной камере с батарейным охлаждением при температуре $t_{\rm B} = -12\,^{\circ}{\rm C}$ в течение 5 сут.

В общем случае можно считать, что изменение интенсивности потерь массы продукта (усушки) во времени при холодильном хранении подчиняется экспоненциальному закону. Общая зависимость, учитывающая изменение усушки продукта во времени ΔG (в %), имеет вид

$$\Delta G = A \left(1 - e^{-m\tau_{xp}} \right),$$

где A — коэффициент, определяемый из условия, что при $\tau_{xp} = 30$ сут $\Delta G = \Delta G_{\rm H}$ ($\Delta G_{\rm H}$ — норма усушки продукта при хранении в течение месяца); m — темп усушки.

В приложении 6 приведены нормы усушки мяса и мясных продуктов при холодильной обработке и хранении в зависимости от вида мяса, зоны и времени хранения, температурных условий воздушной среды и способа ее охлаждения, а также от емкости холодильника и его этажности.

Принимаем, что зона хранения северная, мясо хранят в первом квартале, холодильник одноэтажный, емкость холодильника 300 т. При указанных данных и батарейном способе охлаждения норма усушки говядины I категории за один месяц хранения составляет 0,06%. Значение коэффициента A определяем при условии, что продолжительность хранения $\tau_{\rm xp}$ =30 сут, норма усушки $\Delta G_{\rm H}$ =0,06%, показатель экспоненты m=0,006 сут-1*:

$$0.06 = A (1 - e^{-0.006 \cdot 30}); A = 0.373\%.$$

Следовательно, зависимость, определяющая изменение потерь массы при хранении мороженых говяжьих полутуш, имеет вид

$$\Delta G = 0.373 (1 - e^{-0.006\tau_{xp}})$$
.

^{*} Показатель экспоненты для мяса m=0.006 сут $^{-t}$ принят равным показателю экспоненты для свиного полука; последний определен на основании справочных данных по потерям массы: для первых суток хранения 0,09%, для 15 сут хранения 0,12, для 30 сут хранения 0,15%.

При продолжительности хранения $\tau_{xp} = 5$ сут потери массы составляют

$$\Delta G = 0.373 (1 - e^{-0.006 \cdot 5}) = 0.0112 \%$$
.

В случае линейной аппроксимации приведенного уравнения потери массы за 5 сут составляют (0,06/30)5=0,01%, т. е. на 12% меньше, чем при учете экспоненциальной зависимости.

Пример VII—2. Определить потери массы яблок при хранении их в холодильнике с регулируемой газовой средой (РГС), если известно, что продолжительность хранения $\tau_{\rm xp} = 30$ сут, период года осенний; масса яблок, подвергаемых хранению $G_{\rm np} = 265.4$ т; температура воздуха при хранении $t_{\rm B} = 2\,^{\circ}{\rm C}$, камера оборудована воздушной системой охлаждения; количество теплоты, проникающей через ограждения холодильника за указанный период хранения, $Q_{\rm H} = 3.95 \cdot 10^{6}$ кДж.

Потери массы яблок ΔG (в кг) при хранении определяем по зависимости

$$\Delta G = \frac{\sum Q}{\varepsilon_t} = \frac{Q_{\pi}(1 - \varepsilon_{\tau,o}) + Q_{\pi}}{\varepsilon_t},$$

где ΣQ — количество теплоты, подведенной к воздуху при его движении от охлаждающих приборов до выхода из штабеля, кДж; ϵ_t — тепловлажностная характеристика процесса изменения состояния воздуха, кДж/кг; $\epsilon_{\tau,0}$ — коэффициент технологической эффективности системы охлаждения, учитывающий долю внешних теплопритоков, которая гасится охлаждающими устройствами и не вызывает усушки продукта (по данным В. З. Жадана, для воздушной системы охлаждения $\epsilon_{\tau,0}=0.07$); $Q_{\pi,r,c}$ — количество теплоты, выделяемой продуктами в результате их дыхания в условиях регулируемой газовой среды за указанный пернод хранения, кДж.

Количество теплоты $Q_{\pi_{p,r,c}}$ определяем с помощью уравнения

$$Q_{\pi_{p,r,c}} = (0.5...0.3) q_0 e^{bt_B} G_{\pi p \tau_{xp}},$$

где 0.5...0.3 — коэффициент, учитывающий снижение интенсивности выделения теплоты дыхания в условиях РГС; q_0 — удельная теплота дыхания фруктов и овощей в воздушной среде при температуре 0 °C, кВт/т [для яблок q_0 = =0.0121 кВт/т (приложение 11)]; b — температурный коэффициент скорости дыхания, 1/°C (для яблок b = 0.0932 1/°C).

Подставляем известные данные и находим, что количество теплоты, выделяемой при дыхании плодов за месяц их хранения при заданной температуре $t_{\rm B} = 2$ °C, составляет

$$Q_{\text{м.н.с}} = 0.4 \cdot 0.0121 \, e^{0.0932 \cdot 2}265.4 \, (30 \cdot 24 \cdot 3600) = 4 \cdot 10^6 \, \text{кДж.}$$

Тепловлажностную характеристику процесса изменения состояния воздуха при хранении яблок находим с помощью уравнения В.З. Жадана, действительного для области изменения температуры $t_{\rm B}$ в пределах от 15 до 0°C:

$$\varepsilon_t = 6385 - 147 t_B$$
;

ţ

$$\varepsilon_t = 6385 - 147 \cdot 2 = 6091$$
 кДж/кг.

Потери массы яблок за месяц хранения составляют:

$$\Delta G' = \frac{3.95 \cdot 10^6 (1 - 0.07) + 4 \cdot 10^8}{6091} = 1260 \text{ Kr};$$

$$\Delta G'' = \frac{\Delta G' \cdot 100\%}{G_{\text{RP}}} = \frac{1260 \cdot 100\%}{265, 4 \cdot 10^3} = 0,474\%.$$

Пример VII—3. Определить количество влаги, испарившейся с поверхности мороженых мясных полутуш при хранении их в неупакованном виде в камере одноэтажного холодильника, если известно, что температура воздуха $t_{\rm B}\!=\!-20\,^{\circ}{\rm C}$, камера оборудована батарейной системой охлаждения, охлаждающие батареи выполнены из гладкостенных труб и имеют общую площадь теплопередающей поверхности $F_0\!=\!1000\,$ м², мясные полутуши уложены в штабеля массой $G_{\rm mr}\!=\!100...120\,$ т, общая масса $G_{\rm np}\!=\!1350\,$ т.

Количество влаги, испарившейся с поверхности мороженых мясных полутуш, ΔG (в кг/с) определяем с помощью уравнения

$$\Delta G = \beta_{\pi p} F_{\pi p} p_{B''} \frac{1 - \varphi_{B}}{M}, \qquad (VII-1)$$

где $\beta_{\pi p}$ — коэффициент массообмена, кг/(м²·с·Па); $F_{\pi p}$ — площадь поверхности продукта, участвующая в массобмене, м²; p'' — парциальное давление насыщенного водяного пара, находящегося в воздухе при температуре t_{π} , Па; ϕ_{π} — относительная влажность воздуха в камере, относительные единицы; M — психрометрический фактор, зависящий от параметров воздуха.

Коэффициент β_{np} определяем с учетом психрометрического коэффициента A^* :

$$\beta_{\rm np} = \frac{\alpha_{\rm K}}{10^3 Ar}, \qquad (VII-2)$$

где $\alpha_{\kappa_{np}}$ — коэффициент конвективной теплоотдачи от воздуха к поверхности продукта, Вт/(м²·К); r — скрытая теплота сублимации, кДж/кг.

Коэффициент конвективной теплоотдачи определяем по уравнению Н. А. Герасимова:

$$\alpha_{\rm K}_{\rm np} = 3,198 (t_{\rm B} - t_{\rm np})^{0.313}$$
:

Предполагаем, что при длительном хранении продукта его температура $t_{\rm np}$ будет равна температуре воздуха по мокрому термометру, т. е. $t_{\rm np} = t_{\rm m}$. Предварительно принимаем, что средняя относительная влажность воздуха $\phi_{\rm B} = 90\,\%$. Графически (приложе-

^{*} Коэффициент β_{пр} можно принять на основании опытных данных, приведенных для некоторых видов продуктов в приложении 12.

ние 8) находим, что при $t_{\rm B}\!=\!-20\,^{\circ}{\rm C}$ и $\phi_{\rm B}\!=\!90\,\%$ температура $t_{\rm M}\!=\!-20,\!32\,^{\circ}{\rm C}.$

Следовательно.

$$\alpha_{\rm K_{\rm nD}} = 3,198[-20-(-20,32)]^{0.313} = 2,238 \ {\rm Br/(M^2 \cdot K)}.$$

Психрометрический коэффициент A определяем по уравнению Рекнагеля:

$$A = 65 + \frac{6,75}{\omega}$$

где ω — скорость движения воздуха, м/с.

Предполагаем, что камера оборудована пристенными и потолочными охлаждающими батареями. При этом скорость движения воздуха $\omega = 0.1$ м/с, так как в холодильных камерах с естественной циркуляцией ω находится в пределах 0.05...0.12 м/с.

При $\omega = 0.1$ м/с коэффициент A = 65 + 6.75/0.1 = 132.5 Па/К. Скрытую теплоту r определяем по формуле

$$r = r_{\pi} + r_{\pi} = 2500 + (335,2 + 2,1t) = 2500 + 335,2 + 2,1(-20) =$$

= 2793,2 kH\pi/k\r,

где r_n , r_n — скрытая теплота фазового перехода соответственно вода — пар и вода — лед, к $\mathbf{Д}$ ж/кг.

При известных значениях $\alpha_{\kappa_{np}}$, A, r по формуле (VII—2) рассчитываем

$$\beta_{\rm np} = \frac{2,238}{10^3 \cdot 132.5 \cdot 2793.2} = 60.5 \cdot 10^{-10} \ {\rm kg/(m^2 \cdot c \cdot \Pi a)}.$$

Полученное расчетным путем значение $\beta_{\rm up}$ соответствует опытным данным (приложение 12).

При определении $F_{\rm пр}$ воспользуемся данными Д. Г. Рютова, согласно которым удельная площадь эффективной поверхности испарения для мороженых полутуш составляет $f_{\rm ap}=12$ м²/т при укладке их в штабеля массой 100...120 т (приложение 13). Учитывая $f_{\rm ap}$, находим, что общая площадь поверхности продукта, участвующая в массообмене,

$$F_{\rm mp} = G_{\rm mp} f_{\partial \Phi} = 1350 \cdot 12 = 16200 \text{ M}^2.$$

Парциальное давление насыщенного водяного пара $p''_{\rm B}$ находим по I-d-диаграмме. При температуре воздуха $t_{\rm B}\!=\!-20\,^{\circ}{\rm C}$ и относительной влажности $\phi\!=\!100\,\%$ $p''_{\rm B}\!=\!102,4$ Па.

Среднюю относительную влажность воздуха ϕ_B в камере при хранении мороженого мяса определяем с помощью уравнения

$$\varphi_{\rm B} = \frac{f(F) + \varphi_{\rm B.o}M}{f(F) + M}, \qquad (VII - 3)$$

$$f(F) = \frac{\beta_{\pi p} F_{\pi p}}{\beta_0 F_0}, \qquad (VII-4)$$

фво — минимальная относительная влажность воздуха, относительные единицы; во — коэффициент конденсации влаги на поверхности охлаждающих батарей, определяемый из соотношения Льюиса; Fo - площадь теплопередающей поверхности охлаждающих батарей, м2.

Учитывая соотношение Льюиса, находим, что

$$\beta_0 = \frac{\alpha_{\text{Ro}}}{m_n}, \qquad (\text{VII}-5)$$

где $\alpha_{\kappa,o}$ — коэффициент конвективной теплоотдачи от воздуха к поверхности охлаждающей батарен, $B\tau/(M^2 \cdot K)$; m_π — соотношение Льюнса для условий конденсации влаги на поверхности охлаждающих приборов $[m_{\pi}=1,225\cdot 10^5\mathrm{Дж}\times$ $\times \Pi a/(r \cdot K)$ (значение m_{π} получено В. И. Шестовым)].

Коэффициент теплоотдачи α_{к.о} можно найти из зависимости

$$Nu_{H} = 0.14Gr_{H}^{1/3}$$
, (VII—6)

в которой для гладкотрубных батарей определяющим размером служит наружный диаметр трубы, а определяющей температуройсредняя температура воздуха. Из выражения (VII-6) находим, что

$$\alpha_{\mathrm{K.O}} = 0.14 \cdot \frac{\lambda_{\mathrm{B}}}{d_{\mathrm{Tp}}} \left(-\frac{g d^{3}_{\mathrm{Tp}}}{v^{2}_{\mathrm{B}}} \beta_{\mathrm{B}} \Theta \right)^{1/3},$$

где λ_B — коэффициент теплопроводности воздуха, $Bt/(M \cdot K)$; $d_{\tau p}$ — наружный диаметр трубы охлаждающей батарен, м (принимаем $d_{\tau p} = 0.057$ м); g -ускорение свободного падения, м/с 2 (g=9.8 м/с 2); v_s — кинематическая вязкость воздуха, м²/с; β_в — коэффициент объемного расширения воздуха, 1/°С; Θ разность между температурой воздуха и средней температурой охлаждающей поверхности, °С.

При расчете коэффициента теплоотдачи ако параметры воздуха $v_{\rm B}$ и $\lambda_{\rm B}$ принимаем по приложению 7 при средней температуре

$$t_{\rm B_{\rm cp}}=\frac{t_{\rm a}+t'_{\rm u.6}}{2},$$

где $t'_{\pi,6}$ — температура охлаждающей поверхности батареи, покрытой снегом, °С.

Принимаем, что разность между температурой воздуха и температурой кипения холодильного агента $t_{\rm B}-t_0=10\,^{\circ}{\rm C}$.

Следовательно,

$$t_0 = t_B - 10^{\circ} \text{C} = -20 - 10 = -30^{\circ} \text{C}$$

Принимаем также, что разность температур $\Theta = t_{\rm B} - t'_{\rm п.6} = 6\,^{\circ}{\rm C}$, так как температура $t'_{\rm п.6}$ выше, чем t_0 из-за сопротивления теплопередаче со стороны кипящего холодильного агента, толщины стенки трубы, масляной пленки на внутренней поверхности трубы и снеговой шубы.

Находим значения $t'_{\text{п.б}}$ и $t_{\text{вср}}$ •

$$t'_{\text{II},\delta} = t_{\text{B}} - \Theta = -20 - 6 = -26^{\circ}\text{C}; \quad t_{\text{B}_{\text{op}}} = \frac{-20 - 26}{2} = -23^{\circ}\text{C}.$$

Коэффициент объемного расширения воздуха

$$\beta_{\rm B} = \frac{1}{273 + t_{\rm B_{CP}}} = \frac{1}{273 - 23} = \frac{1}{250} \, 1/\,^{\circ}{\rm C}.$$

При известных данных коэффициент теплоотдачи $\alpha_{\kappa,o}$ составляет

$$\alpha_{\text{K.O}} \! = \! 0.14 \frac{2.25 \cdot 10^{-2}}{0.057} \left[\begin{array}{c} 9.8 \cdot 0.057^3 & 1 \\ \hline (11.37 \cdot 10^{-6})^2 & 250 \end{array} \right]^{1/3} \! = \! 3.84 \ \text{Bt/(M}^2 \cdot \text{K)}.$$

Подставляя значения $\alpha_{\kappa,o}$ и m_π в формулу (VII—5), находим, что коэффициент конденсации влаги на поверхности охлаждающих батарей

$$\beta_0 = \frac{3.84}{1.225 \cdot 10^3} = 3.134 \cdot 10^{-5} \text{ r/}(\text{m}^2 \cdot \text{c} \cdot \Pi \text{a}) = 31.34 \cdot 10^{-9} \text{ kr/}(\text{m}^2 \cdot \text{c} \cdot \Pi \text{a}).$$

При известных значениях $\beta_{\text{пр}}$, $F_{\text{пр}}$, $\beta_{\text{о}}$ и $F_{\text{о}}$ по формуле (VII—4) рассчитываем параметр f(F):

$$f(F) = \frac{60.5 \cdot 10^{-10.16200}}{31.34 \cdot 10^{-9.1000}} = 3.12.$$

Минимальную относительную влажность воздуха определяем по формуле

$$\varphi_{B,O} = \frac{p_{B,O}^{\prime \bullet \prime}}{p_{B}^{\bullet}}, \qquad (VII-7)$$

где $p''_{B,0}$ — парциальное давление насыщенного водяного пара при температуре $t_{\Pi,0}$ поверхности охлаждающих батарей, Па.

Температуру $t_{\rm п.6}$ металлической поверхности батарей, на которой происходит конденсация влаги из воздуха в виде снега, учитывая сопротивление теплопередаче со стороны кипящего холодильного агента, масляной пленки и стенки трубы, принимаем ориентировочно

$$t_{\pi,6} = t_0 + (1...2)^{\circ} C = -30 + 2 = -28^{\circ} C.$$

По I-d-днаграмме находим, что при $t_{\text{п.о}}=-28\,^{\circ}\text{C}$ и $\phi=100\,\%$ р"_{в.о} = 45,2 Па. Зная p"_{в.о} и p"_{в.} а также f(F) и M, по формулам (VII—3) и (VII—7) рассчитываем относительную влажность воздуха:

$$\varphi_{B.0} = \frac{45,2}{102,4} = 0,441;$$

среднюю

$$\varphi_B = \frac{3,12 + 0,441 \cdot 1,077}{3,12 + 1,077} = 0,856.$$

Так как предварительно принятое значение $\phi_B = 0.9$ близко к расчетному $\phi_B = 0.856$, то перерасчет значения $\alpha_{\rm k, np}$ не производим.

Психрометрический фактор M = 1,077 найден из выражения

$$M=1+\frac{b}{A}$$

где b — угловой коэффициент в уравнении p''=a+bt (см. рисунок); p'' — парциальное давление насыщенного водяного пара, Па.

Для определения коэффициента b составляется система уравнений:

$$p_1'' = a + bt_1;$$

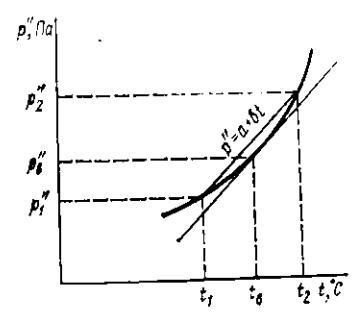
 $p_2'' = a + bt_2,$

где t_1 , t_2 — температуры, отличающиеся от заданной температуры воздуха в камере примерно на 5 °C в большую и меньшую сторону так, чтобы разность температур $(t_2-t_1)\approx 10$ °C.

По І-d-диаграмме или табличным данным:

$$p_1''=62,5$$
 Па при $t_1=-25^{\circ}$ С и $\phi=100\%$; $p_2''=164,9$ Па при $t_2=-15^{\circ}$ С и $\phi=100\%$.

Из системы уравнений



Зависимость р" от t и линейная аппроксимация этой зависимоств

$$\begin{cases} 62,5 = a + b(-25); \\ 164,9 = a + b(-15) \end{cases}$$

находим, что $b = 10.24 \ \Pi a/K$.

При известных значениях *b* и *A* психрометрический фактор

$$M = 1 + \frac{10,24}{132.5} = 1,077.$$

Подставляем известные данные в формулу (VII—I), рассчитываем ко-

личество влаги ΔG , испарившейся с поверхности мороженых мясных полутуш:

$$\Delta G = 60.5 \cdot 10^{-10} \cdot 16200 \cdot 102.4 \frac{1 - 0.856}{1.077} = 1.34 \cdot 10^{-3} \text{ kg/c}.$$

При этом потери массы продукта за месяц составляют:

$$\Delta G' = \Delta G \tau_{xp} = 1,34 \cdot 10^{-3} (30 \cdot 24 \cdot 3600) = 3473,2 \text{ Kg};$$

$$\Delta G'' = \frac{\Delta G' \cdot 100}{G_{np}} = \frac{3473,2 \cdot 100}{1350 \cdot 10^3} = 0,257 \%.$$

Полученное значение $\Delta G''$ соответствует нормам усушки мороженой говядины при хранении ее в холодильных камерах с батарейной системой охлаждения. Так, из приложения 6 следует, что для III квартала месячные нормы усушки составляют 0,25% для говядины (в полутушах и четвертинах) I категории, 0,3% — II категории и тощей.

Йример VII—4. Для условий примера VII—3 определить количество влаги, испарившейся с поверхности мороженых мясных полутуш при хранении их в упакованном виде (без учета внутренних потерь), и потери массы продукта за месяц, если известно, что в качестве упаковки используется полиэтиленовая пленка толщиной $\delta_{\rm II}=40$ мкм= $40\cdot 10^{-6}$ м с коэффициентом паропроницаемости $\mu_{\rm II}=0,0056\cdot 10^{-12}$ кг/(м·с·Па).

Количество влаги, испарившейся с поверхности упакованных мясных полутуш, определяем по формуле

$$\Delta G_{y\pi} = \gamma F_{\pi p} p''_{B} - \frac{1 - \varphi_{B}}{M}, \qquad (VII - 8)$$

где у — коэффициент паропрохождения, кг/($\mathbf{m}^2 \cdot \mathbf{c} \cdot \Pi \mathbf{a}$).

1

Коэффициент паропрохождения γ находим с помощью отношения $\gamma = 1/H$, где H — сопротивление паропрохождению, $M^2 \cdot C \cdot \Pi a / K \Gamma$;

$$\begin{split} H = & \frac{i}{\beta_{\pi p}} + \frac{\delta_{\pi}}{\mu_{\pi}} = \frac{1}{60.5 \cdot 10^{-10}} + \frac{40 \cdot 10^{-6}}{0.0056 \cdot 10^{-12}} = \\ & = 73.07 \cdot 10^{8} \text{M}^{2} \cdot \text{C} \cdot \Pi a / \text{Kr} ; \\ \gamma = 1/(73.07 \cdot 10^{8}) = 1.368 \cdot 10^{-10} \text{ Kr} / (\text{M}^{2} \cdot \text{C} \cdot \Pi a) . \end{split}$$

Среднюю относительную влажность ϕ_B воздуха при хранении упакованного продукта определяем по уравнению (VII—3). При этом предварительно по формуле (VII—4) рассчитываем параметр f(F) с учетом коэффициента паропрохождения γ :

$$f(F) = \frac{\gamma F_{\pi p}}{\beta_0 F_0} = \frac{1.368 \cdot 10^{-10} \cdot 16200}{31.34 \cdot 10^{-9} \cdot 1000} = 7.07 \cdot 10^{-2}$$

Из расчетов, приведенных в примере VII—3, следует, что минимальная относительная влажность $\phi_{\rm B,o} = 0,441$, психрометрический фактор M = 1,077.

Следовательно, средняя относительная влажность воздуха

$$\varphi_B = \frac{7,07 \cdot 10^{-2} + 0,441 \cdot 1,077}{7,07 \cdot 10^{-2} + 1,077} = 0,479 = 47,9\%$$
, T.e.

значение фв близко к значению фв.о.

Подставляем известные данные в формулу (VII-8) и получаем

$$\Delta G_{y\pi} = 1,368 \cdot 10^{-10} \cdot 16200 \cdot 102,4 \cdot \frac{1 - 0.479}{1,077} = 0,1097 \cdot 10^{-3} \text{ kg/c}.$$

Потери массы упакованного продукта за месяц:

$$\Delta G'_{yn} = \Delta G_{yn} \tau_{xp} = 0,1097 \cdot 10^{-3} \cdot 30 \cdot 24 \cdot 3600 = 284,3 \text{ KF};$$

$$\Delta G''_{yn} = \frac{\Delta G'_{yn} \cdot 100}{G_{np}} = \frac{284,3 \cdot 100}{1350 \cdot 10^3} = 0,021\%,$$

т. е. $\Delta G''_{y\pi}$ меньше $\Delta G''$, полученного в примере VII—3, примерно в 12 раз.

Фактически потери массы могут быть несколько больше, так как в расчете не учтены внутренние потери (образование инея под упаковкой) и потери, вызванные некачественной упаковкой.

Пример VII—5. Определить возможную продолжительность хранения сливочного масла в камерах I и 2, если температура в них за период хранения не изменяется и составляет в камере I $t_{\rm B_4} = -20\,^{\circ}{\rm C}$, в камере 2 $t_{\rm B_2} = -10\,^{\circ}{\rm C}$.

Продолжительность хранения продуктов животного происхождения τ_{xp} (в мес) определяют с помощью эмпирического уравнения Д. Г. Рютова

$$\tau_{xp} = A' \cdot 10^{-b't_a}; \qquad (VII-9)$$

где $A',\ b'$ — коэффициенты, зависящие от вида продукта (см. таблицу); $t_{\rm B}$ — температура хранения, °C.

Приведенное уравнение справедливо в диапазоне температур хранения $-6...-20\,^{\circ}\text{C}.$

По таблице находим, что $A'=2,85,\ b'=0,036.$ Подставляем зна-

Продукт	A'	b'
Говядина, баранина	2.15	0,05
Свинина, нежирная рыба	1.78	0,05
Куры	1,58	0,05
Гуси, кролики, жирная рыба	1,26	0,05
Масло сливочное	2,85	0,036

чення коэффициентов A' и b', а также температуры t_n в формулу (VII—9) и рассчитываем продолжительность хранения сливочного масла:

при
$$t_{\rm B} = -20^{\circ}$$
С $\tau_{-20} = 2,85 \cdot 10^{-0.036(-20)} = 14,95$ мес; при $t_{\rm B} = -10^{\circ}$ С $\tau_{-10} = 2,85 \cdot 10^{-0.036(-10)} = 6,53$ мес.

Как видно из расчета, понижение температуры воздуха в холодильной камере позволяет увеличить продолжительность хранения продукта примерно в 2,3 раза.

Пример VII—6. Определить суточное изменение концентрации кислорода C_{02} (в м³/м³) в холодильной камере для хранения фруктов в регулируемой газовой среде, если известно, что камера выведена на режим и начальная концентрация $C_{02}{}^0 = 0,03$ м³/м³, коэффициент герметичности камеры $K_r = 0,004$ ч $^{-1}$, заданная концентрация диоксида углерода $C_{\text{CO2}} = 0,05$ м³/м³, интенсивность дыхания плодов $R_t = 0,002$ м³/($\mathbf{T} \cdot \mathbf{q}$).

Изменение концентрации кислорода определяем с помощью уравнения газового баланса

$$C_{O_2} = C_{O_2}^0 + \left[1 - \frac{K_r z + 2.8R_t}{2z} \tau_{xp} \right] \left[K_r (0.21 - 0.21 C_{CO_2} - C_{O_2}^0) - \frac{2.8R_t (0.1 - 0.25 C_{CO_2} + C_{O_2}^0)}{z} \right] \tau_{xp}.$$

где τ_{xp} — продолжительность хранения, ч; z — удельный объем, м³/т;

$$z = \frac{V_{\text{crp}}}{G_{\text{np}}}$$

 $V_{\text{стр}}$ — строительный объем камеры, м³; $G_{\text{пр}}$ — масса продукта, загруженного в камеру, т.

Обычно удельный объем z=4,5...5,5 м³/т. Принимаем z=4,77 м³/т. Тогда значение концентрации $C_{\rm O_2}$ при $\tau_{\rm xp}=24$ ч составляет

$$C_{02} = 0.03 + \left[1 - \frac{0.004 \cdot 4.77 + 2.8 \cdot 0.002}{2 \cdot 4.77} 24\right] \times \left[0.004 \cdot (0.21 - 0.21 \cdot 0.05 - 0.03) - \frac{2.8 \cdot 0.002 \cdot (0.1 - 0.25 \cdot 0.05 + 0.03)}{4.77}\right] 24 = 0.0421 \text{ M}^3/\text{M}^3.$$

ГЛАВА VIII. РАЗМОРАЖИВАНИЕ ПИЩЕВЫХ ПРОДУКТОВ

Размораживание является заключительным этапом в непрерывной холодильной цепи, осуществляемым перед выпуском пищевых продуктов в розничную продажу, промышленной переработкой или их кулинарной обработкой.

При размораживании лед, содержащийся в пищевых продуктах, превращается в жидкую фазу, а затем происходит проникновение жидкой фазы в клеточную структуру продуктов, т. е. происходит восстановление первоначальных свойств продуктов. Степень восстановления зависит от способов холодильной обработки и хранения продуктов, а также от способов их размораживания.

Пищевые продукты размораживают в воздухе, паровоздушной и жидких средах, а также в электрическом поле и при контакте с теплопередающей поверхностью:

Продолжительность размораживания зависит от размеров продуктов, их теплофизических свойств, температуры и скорости движения теплопередающей среды, а также от температуры продукта в начале и конце процесса.

Простейшей формулой для определения продолжительности размораживания мясных полутуш при температурах от —8 до —0,5°C в воздухе с естественной циркуляцией является зависимость

$$\tau_{\text{pasm}} = \left[\frac{m}{t_{c} + n} \sqrt[3]{\frac{G_1}{G}} \right] 3600, \qquad (VIII-1)$$

где m, n — коэффициенты, значения которых зависят от массы полутуши (см. таблицу); G_1 — масса полутуши, для которой определяется продолжительность процесса, кг; G — масса полутуши, для которой приведены значения коэффициентов m и n.

Полутуши и четвертины	О, кг	m	n
Свиные полутуши	30	325	1,5
Говяжьи четвертины передние задине	60 60	455 575	$^{1,8}_{1,8}$

Для определения продолжительности размораживания пищевых продуктов в воздушной и паровоздушной среде, имеющей различную скорость движения, используют зависимость

$$\tau_{\text{pasm}} = \frac{q_{\text{pasm}} \rho_{\text{np}} R_{\text{np}}}{t_{\text{cn}} - t_{\text{np}}} \left[\frac{R_{\text{np}}}{2\lambda_{\text{np}}} + \frac{1}{\alpha_{\text{n}}} \right] \Phi K_{\text{n}} \cdot 10^{3}, \quad \text{(VIII-2)}$$

где $q_{\text{рвзм}}$ — удельная теплота размораживания, кДж/кг; $\rho_{\text{пр}}$ — плотность размороженного продукта, кг/м³; $\lambda_{\text{пр}}$ — коэффициент теплопроводности размороженного продукта, $\text{Вт}/(\text{м}\cdot\text{K})$; $\alpha_{\text{п}}$ — коэффициент теплоотдачи, $\text{Вт}/(\text{м}^2\cdot\text{K})$; Φ — коэффициент, учитывающий отличие формы продукта от пластины; $K_{\text{п}}$ — коэффициент, учитывающий продолжительность процесса тепловой обработки продукта от начальной до криоскопической температуры $(K_{\text{m}}=1,2\div1,3)$.

Если удельную теплоту размораживания определяют по разности энтальний продукта при его начальной и конечной температуре, то коэффициент K_{π} в формуле (VIII—2) не учитывают.

Для определения продолжительности размораживания продуктов, имеющих различную форму (рыба, птица, фрукты и т. п.), а также обрабатываемых в различных теплопередающих средах, разработаны эмпирические зависимости, позволяющие более просто рассчитывать продолжительность процесса.

В частности, для определения продолжительности размораживания рыбы предложены зависимости:

при погружении в воду

$$\tau_{\text{pagm}} = \frac{K_{\Phi}\rho_{\text{p.6}}q_{\text{p}}l_{\text{p.6}}(2\lambda_{\text{p.6}} + \alpha_{\text{m}}l_{\text{p.6}})}{10\lambda_{\text{p.6}}\alpha_{\text{m}}(t_{\text{cp}} - t_{\text{kp}})} 3600; \quad (\text{VIII} - 3a)$$

при орошении водой

$$\tau_{\text{pagm}} = \left[\frac{6300 l_{\text{p.6}}}{t^2_{\text{m}} + 200} + 0.91 \right] 3600, \quad \text{(VIII} - 36)$$

где K_{Φ} — коэффициент, учитывающий форму рыбы $(K_{\Phi} = 0,7 \dots 1);$ $\rho_{P}.6$ — плотность рыбы, кг/м³; $l_{P}.6$ — характерный размер рыбы (рыбного блока), м; $\lambda_{P}.6$ — коэффициент теплопроводности размороженной рыбы, $\mathrm{Bt/(M \cdot K)};$ t_{w} — температура воды (рассола), °C.

Количество теплоты, подводимой к продуктам при их размораживании, определяют по формуле

$$Q_{\text{pasm}} = G_{\text{ap}}(i_{\text{kom}} - i_{\text{max}}), \qquad (VIII - 4)$$

а тепловую нагрузку на оборудование, предназначенное для нагревания теплопередающей среды, рассчитывают по формуле

$$Q_{\text{Herp}} = \frac{1,2Q_{\text{peam}}}{T_{\text{DBAM}}}, \qquad (VIII-5)$$

где 1,2 — коэффициент, учитывающий потери подводимой теплоты в окружающую среду.

Пример VIII—1. Рассчитать количество теплоты, необходимой для размораживания мясных полутуш, размещенных в туннеле длиной 18 м и шириной 1 м, оборудованном подвесным конвейером, если начальная температура полутуш $t_{\rm нач} = -15\,^{\circ}{\rm C}$, конечная температура в центре бедренной части $t_{\rm кон_q} = +1\,^{\circ}{\rm C}$, параметры воздуха: $t_{\rm B} = 20\,^{\circ}{\rm C}$; $\phi_{\rm B} = 90\,^{\circ}{\rm C}$.

Количество теплоты, необходимой для размораживания мясных полутуш, рассчитываем по формуле (VIII—4). При этом массу мясных полутуш $G_{\rm np}$, загружаемых в туннель, определяем с учетом удельной загрузки 1 м конвейера, принимаемой для говяжьих полутуш 200. . .250 кг, и рабочей длины конвейера $l_{\rm p}$ = 16,8 м:

$$G_{\rm np} = 200 \cdot 16.8 = 3360 \text{ Kg}.$$

Начальная энтальпия мяса при температуре $t_{\rm нач} = -15\,^{\circ}{\rm C}$ равна $i_{\rm нач} = 13\,$ кДж/кг. Для определения конечной энтальпии мяса предварительно рассчитываем среднеобъемную конечную температуру, принимая, что

$$t_{\text{KOB}_{\Pi}} = t_{\text{B}} - (0.5 \dots 1.5) = 20 - 1 = 19^{\circ}\text{C};$$

$$t = \frac{.2t_{\text{KOB}_{\Pi}} + t_{\text{KOB}_{\Pi}}}{.2} = \frac{2 \cdot 1 + 19}{.2} = 7^{\circ}\text{C}.$$

При этом конечная энтальпия мяса $i_{\rm kon} = 247,5$ кДж/кг. Учитывая известные значения, определяем

$$Q_{\text{разм}} = 3360(247,5-13) = 787,9 \cdot 10^3 \text{ кДж.}$$

Пример VIII—2. Для условий примера VIII—1 рассчитать продолжительность размораживания мясных полутуш, а также среднюю тепловую нагрузку на систему нагревания воздуха, циркулирующего в туннеле, если известно, что плотность мяса $\rho_{\rm M}=920~{\rm kr/m^3},$ криоскопическая температура $t_{\rm Rp}=-2~{\rm ^{\circ}C},$ коэффициент теплопроводности размороженного мяса $\lambda_{\rm M}=0,453~{\rm Br/(m\cdot K)},$ скорость движения воздуха на уровне расположения бедренных частей полутуш $\omega=1,5~{\rm m/c},$ потери массы продукта $\Delta G''=0$.

Для определения продолжительности процесса предварительно рассчитываем удельную теплоту размораживания q_{pasm} и коэффициент теплоотдачи α .

Удельная теплота размораживания

$$q_{\text{разм}} = 247,5 - 13 = 234,5 \text{ кДж/кг.}$$

Так как задано, что $\Delta G'' = 0$, то $\alpha_{\rm H} = \alpha_{\rm K}$;

$$\alpha_{\rm K} = (5.3 + 3.6\omega) \, 1.163 = (5.3 + 3.6 \cdot 1.5) \, 1.163 =$$

$$= 12.44 \, \text{Br/(M}^2 \cdot \text{K)}.$$

Продолжительность процесса определяем по формуле (VIII—2), учитывая характерный размер $R_{\rm np}$ = 0,105 м:

$$\tau_{\text{разм}} = \frac{234,5 \cdot 920 \cdot 0,105}{20 - (-2)} \left[\frac{0,105}{2 \cdot 0,453} + \frac{1}{12,44} \right] \times \\ \times 0,57 \cdot 10^3 = 114971,76 \text{ c} = 31,94 \text{ ч.}$$

Среднюю тепловую нагрузку на установку для нагревания воздуха находим по формуле (VIII—5)

$$Q_{\text{Harp}} = \frac{1.2 \cdot 787.9 \cdot 10^3}{114971.76} = 8.22 \text{ KBT}.$$

Пример VIII—3. Для условий примера VIII—1 рассчитать количество теплоты, отводимой от размороженного мяса при хранении, а также среднюю тепловую нагрузку на установку для охлаждения воздуха при хранении мяса, если известно, что хранению подвергают половину массы размороженного мяса (длительность хранения не более суток). Известно также, что размороженное мясо, оставленное для кратковременного хранения, необходимо охладить до $t_{\text{нов}_{XD}} = 1$ °C не более чем за 2 ч.

Количество теплоты, отводимой при хранении размороженного мяса, рассчитываем по формуле

$$Q_{xp} = 0.5G_{xp} (i_{xp_1} - i_{xp_2}),$$

где i_{xp_1}, i_{xp_2} — энтальпия мяса соответственно в начале и конце хранения, кДж/кг.

Принимаем, что начальная среднеобъемная температура мяса при хранении равна конечной среднеобъемной температуре при размораживании, т. е. $t_{xp_1} = 7$ °C. Следовательно, начальная энтальпия мяса при хранении $i_{xp_2} = 247,5$ кДж/кг. При $t_{xp_2} = 1$ °C энтальпия $i_{xp_2} = 235,5$ кДж/кг.

Следовательно,

$$Q_{xp} = 0.5 \cdot 3360 (247.5 - 235.5) = 20160$$
кДж;

$$Q_0 = \frac{1,2 \cdot 20160}{2 \cdot 3600} = 3,36$$
 кВт.

Пример VIII—4. Для условий примеров VIII—2 и VIII—3 определить тепловую нагрузку на систему нагревания при размораживании мяса и систему охлаждения при хранении размороженного мяса, учитывая изменение интенсивности теплообмена между продуктом и воздухом в неустановившийся (период 1) и установившийся (период 2) периоды процессов размораживания и хранения, если известны следующие значения коэффициента a, учитывающего изменение интенсивности: при размораживании $a_{1p} = 2,0$; $a_{2p} = 0,8$; при хранении размороженного мяса $a_{1 \times p} = 1,5$; $a_{2 \times p} = 0,9$.

Определяем тепловую нагрузку на систему нагревания и систему охлаждения:

$$\begin{split} Q_{\rm Harp_4} &= Q_{\rm Harp} a_{\rm 1p} = 8,22 \cdot 2,0 = 16,44 \quad \text{кВт}; \\ Q_{\rm Harp_2} &= Q_{\rm Harp} \, a_{\rm 2p} = 8,22 \cdot 0,8 = 6,58 \quad \text{кВт}; \\ Q_{\rm 0_4} &= Q_{\rm 0} a_{\rm 1xp} = 3,36 \cdot 1,5 = 5,04 \quad \text{кВт}; \\ Q_{\rm 0_2} &= Q_{\rm 0} a_{\rm 3p}^2 = 3,36 \cdot 0,9 = 3,02 \quad \text{кВт}. \end{split}$$

Из расчета следует, что тепловая нагрузка на систему нагревания и охлаждения в начальный период процессов размораживания и хранения значительно больше средней тепловой нагрузки. Следовательно, подбор оборудования для проведения процессов необходимо осуществлять не по средней тепловой нагрузке, а по максимальной, что даст возможность проводить тепловую или холодильную обработку продуктов по заданному режиму (выдержка необходимого времени обработки, подвод или отвод теплоты от продуктов согласно изменению их теплофизических характеристик и обеспечение минимальных потерь массы).

Пример VIII—5. Определить продолжительность размораживания рыбного блока в воздушной среде, при погружении в воду и при орошении водой, если температура среды $t_{\rm cp} = 20\,^{\circ}{\rm C}$, толщина блока $\delta = 2R = 60\,$ мм, плотность $\rho_{\rm p.6} = 1000\,$ кг/м³, криоскопическая температура $t_{\rm kp} = -1\,^{\circ}{\rm C}$, начальная температура продукта $t_{\rm Hau} = -10\,^{\circ}{\rm C}$, коэффициент теплопроводности рыбы $\lambda_{\rm p.6} = -0.47\,$ Вт/(м·К), скорость движения воздуха при размораживании в воздушной среде $\omega = 1\,$ м/с, конечная температура в центре блока $t_{\rm m} = 0\,^{\circ}{\rm C}$.

Продолжительность размораживания рыбного блока в воздушной среде определяем по формуле (VIII—2). При этом предварительно определяем удельную теплоту $q_{\rm разм}$ с учетом разности энтальпий продукта и коэффициента теплоотдачи $\alpha_{\rm K}$ (теплоотдачей испарением пренебрегаем), принимая $t_{\rm n}=19\,^{\circ}{\rm C}$:

при
$$t_{\text{нач}} = -10^{\circ}\text{C}$$
 $i_{\text{нач}} = 33.6 \text{ кДж/кг}$;
при $t_{\text{кон}} = \frac{t_{\pi} + 2t_{\pi}}{3} = \frac{19 + 2 \cdot 0}{3} = 6.3^{\circ}\text{C}$;
 $i_{\text{кон}} = 287 \text{ кДж/кг}$;
 $q_{\text{разм}} = 287 - 33.6 = 253.4 \text{ кДж/кг}$;
 $\alpha_{\text{K}} = 11.63 + 4.07 \omega = 11.63 + 4.07 \cdot 1.0 = 15.7 \text{ Bt/} (\text{M}^2 \cdot \text{K})$.

Учитывая известные данные, находим

$$\tau_{\text{разм}_1} = \frac{10^3 \cdot 253,4 \cdot 1000 \cdot 0,03}{20 - (-1)} \left[\frac{0,03}{2 \cdot 0,47} + \frac{1}{15,7} \right] =$$

$$= 34604,79 \text{ c} = 9,6 \text{ ч}.$$

Для определения продолжительности размораживания рыбного блока при погружении его в воду воспользуемся формулой (VIII—3a), учитывая, что при таком способе обработки среднее значение $\alpha = 350 \, \mathrm{Bt/(m^2 \cdot K)}$:

$$\tau_{\text{Pa3M2}} = \frac{1 \cdot 1000 \cdot 253,4 \cdot 0,03 \cdot (2 \cdot 0,47 + 350 \cdot 0,03)}{10 \cdot 0,47 \cdot 350 \cdot [20 - (-1)]} \quad 3,6 \cdot 10^{3} =$$

$$= 9062,98 \quad c = 2,517 \quad 4.$$

Продолжительность размораживания рыбного блока путем орошения его водой рассчитываем по формуле (VIII—36)

$$au_{\text{размs}} = \left[\begin{array}{c} \frac{6300 \cdot 0,03}{20^2 + 200} + 0,91 \end{array} \right] \ 3600 = 4410 \ c = 1,23 \ ч.$$

Результаты расчета показывают, что наибольшей продолжи-

тельностью характеризуется процесс размораживания рыбного блока в воздушной среде ($\tau_{\text{разм}_4} = 9,6$ ч), наименьшей — процесс размораживания при орошении водой ($\tau_{\text{размз}} = 1,23$ ч).

ГЛАВА ІХ. СУБЛИМАЦИОННАЯ СУШКА ПИЩЕВЫХ ПРОДУКТОВ

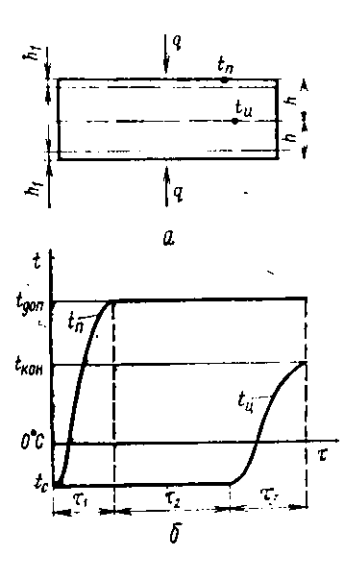
Сублимация — процесс перехода вещества из твердой фазы в газообразную. Сублимационное консервирование, или сублимационная сушка, заключается в удалении из продукта влаги, находящейся в замороженном состоянии. Сублимация влаги происходит при давлении, которое ниже давления тройной точки. Тройная точка характеризует состояние, при котором находятся в термодинамическом равновесии фазы воды (жидкая, твердая и газообразная). Параметрами тройной точки являются парциальное давление водяного пара (609,14 Па) и температура (0,0098°C).

В промышленных условиях сублимационная сушка осуществляется при давлении 13,3...133 Па. В таких условиях продукт практически не контактирует с кислородом воздуха, а основное количество влаги из продукта удаляется при отрицательной температуре. При указанном давлении резко возрастает удельный объем пара. Если при атмосферном давлении в результате испарения 1 кг воды образуется 1,72 м³ пара, то при давлении 133 Па объем пара составляет 1000 м³, а при 13,3 Па — 10000 м³. По этой причине пищевые продукты сублимационного консервирования незначительно изменяются в объеме, имеют пористую структуру, при восстановлении быстро обводняются, приобретают первоначальную форму и

внешний вид.

Сублимация влаги происходит за счет энергии, подводимой к продукту извне. В промышленных сублимационных установках наибольшее распространение получил радиационный способ подвода энергии. При подводе энергии к поверхности продукта влага, содержащаяся в поверхностном слое, сублимирует, вследствие чего образуется фронт сублимации, который перемещается от поверхностного к центральным слоям продукта. Теплопроводность высушенных продуктов существенно уменьшается (более чем на порядок) по сравнению с теплопроводностью замороженных продуктов и по своему абсолютному значению приближается к теплопроводности теплоизоляционных материалов. При постоянном уровне энергоподвода температура поверхности продукта непрерывно возрастает, а затем может превзойти некоторое допустимое значение, что приведет к существенному ухудшению качества. Поэтому в практических условиях сублимационную сушку пищевых продуктов в установках периодического действия осуществляют при снижающемся уровне энергоподвода, который обеспечивает поддержание постоянного значения температуры поверхности. Процесс сублимационной сушки пищевых продуктов считается законченным, когда температура в центре продукта достигает некоторого консчного значения,

Суть способа управления процессом сублимационной сушки по двум температурам (температуре центра $t_{\rm R}$ и температуре поверхности



Управление процессом сублимационной сушки пищевых продуктов:

схема расположения чувствительных элементов для коитроля температуры поверхности (ли температуры центра function of the control of the control

 $t_{\rm n}$) иллюстрируются рисунком*. Как следует из термограммы (см. рисунок б),

процесс сублимационной сушки можно разбить на три периода.

Первый период (т1) характеризуется постоянным энергоподводом. В течение этого периода поверхностный слой h_1 продукта обезвоживается от начального влагосодержания $W_{\rm пач}$ до некоторого критического влагосодержания W_{Kp} . Значения начального и критического влагосодержания для некоторых продуктов приведены в таблице. Период заканчивается при температуре поверхности, равной $t_{\text{дол}}$.

		Влагосодержание, кг влаги/кг сухого продукта			
Продукт	90/14881818	критическое			
Говядина	3,00	0,35			
Белок янчный Моллюски Треска	$6,41 \\ 5,1 \\ 4,08$	$0,41 \\ 0,35 \\ 0,41$			
Морской окунь	3,78	ŏ,39			

При этом Период второй (τ_2) — период снижающегося энергоподвода. температура поверхности поддерживается на уровне $l_{\text{доп}}$. Подводимая тепловая энергия передается фронту сублимации через обезвоженный поверхностный слой.

Период третий (т₅) — период вакуумной досушки. В этот период погло-щаемый продуктом поток энергии является постоянным, а влагосодержание продукта изменяется от критического $W_{\rm kp}$ до конечного $W_{\rm kor}$, регламентируемого технологическими условиями.

Продолжительность процесса сублимационной сушки τ_{o} (в c) можно определить с помощью зависимости**

$$\tau_c = B + Ah^2, \tag{IX-1}$$

где h — характерный размер продукта, м; A и B — коэффициенты (в с/м² и с), определяемые по формулам:

$$A = \frac{B}{h_i^2} \left(1 + 2K_r \frac{W_{RP} - W_{ROH}}{W_{HAR} - W_{RP}} \right) ; (IX-2)$$

$$B = \frac{(W_{\text{Bay}} - W_{\text{Kp}}) \rho_0 r h_1}{2\sigma_1}, \qquad (IX -3)$$

где h_1 — толіщина поверхностного слоя (м), определяемая по формуле (IX—4); K_r — коэффициент, учитывающий возрастание энергии связи влаги с продуктом в период au_3 ($K_r=1\dots 1,2$); $W_{\rm RP}$ — критическое влагосодержание, при котором начинается повышение температуры продукта (выше $t_{\rm доп}$), кг влаги/кг сухого продукта; $W_{\rm HRR}$, $W_{\rm KOR}$ — начальное и конечное влагосодержание продукта, кг влаги/кг сухого продукта; ρ_0 — плотность абсолютно сухого продукта, кг/м 3 ; 7 — удельная теплота фазового перехода лед—пар, кДж/кг; q_1 плотность потока энергии, поглощаемой продуктом в период τ_1 , $B\tau/m^2$.

Толщина поверхностного слоя h_1 определяется по формуле

$$h_1 = \frac{\lambda_{\text{up}}(t_{\text{gen}} - t_{\text{o}})}{q_1}, \qquad (IX-4)$$

Способ разработан проф. Б. П. Камовниковым. ** Камовников Б. П. Расчет длительности процесса сублимационной сушки мясных продуктов. — «Мясная индустрия СССР», 1979, № 5, с. 35.

где λ_{np} — коэффициент эффективной теплопроводности сухого продукта, $BT/(M \cdot K)$; t_{non} — допустимая температура поверхности продукта, °C; t_0 — температура сублимации, °C.

Продолжительность отдельных периодов сублимационной сушки можно

рассчитать с помощью следующих выражений:

$$\tau_1 = B'_1 h_1; \qquad (IX - 5)$$

$$B'_{1} = \frac{(W_{\text{Haq}} - W_{\text{KP}})\rho \rho r}{q_{1}}; \qquad (IX-6)$$

$$\tau_2 = A_2 (h^2 - h^2_1);$$
 (IX-7)

$$A_2 = \frac{1}{(W_{\text{Haq}} - W_{\text{Kp}})\rho_0 r};$$

$$2\lambda_{\text{np}}(t_{\text{gog}} - t_{\text{c}})$$
(IX-8)

$$\tau_3 = A_3 h^2_1 \tag{IX-9}$$

$$A_3 = \frac{(W_{\text{RP}} - W_{\text{ROH}})\rho_0 r}{\lambda_{\text{HD}}(t_{\text{AOM}} - t_c)}, \qquad (IX - 10)$$

где τ_1 , τ_2 , τ_3 — продолжительность первого, второго и третьего периодов сушки, c; B_1' — коэффициент, характеризующий первый период сушки, c/м; A_2 , A_3 — коэффициенты, характеризующие второй и третий периоды сушки, $c/м^2$.

Пример IX—1. Определить продолжительность сублимационной сушки говяжьего мяса в ломтиках толщиной 2h=7 мм, если $W_{\rm Haq}=3{,}00$ кг/кг, $W_{\rm Kp}=0{,}35$ кг/кг, $W_{\rm KoR}=0{,}01$ кг/кг; $\rho_0=262$ кг/м³, $t_{\rm c}=-20\,^{\circ}{\rm C}$, $t_{\rm gon}=+55\,^{\circ}{\rm C}$, $r=2{,}88\cdot10^6$ Дж/кг, $K_r=1{,}1$, $\lambda_{\rm mp}=-0{,}0375$ Вт/(м·К), $q_1=1430$ Вт/м².

По формуле (IX—4) вычисляем

$$h_1 = \frac{0.0375[55 - (-20)]}{1430} = 0.001967 \text{ M}.$$

Затем по формуле (IX—3) определяем значение коэффициента B, а по формуле (IX—2) — коэффициента A:

$$B = \frac{(3-0.35)262 \cdot 2.88 \cdot 10^{6} \cdot 0.001967}{2 \cdot 1430} = 1375.2 \text{ c};$$

$$A = \frac{1375,2}{(0,001967)^2} \left(1 + 2 \cdot 1, 1 \cdot \frac{0,35 - 0,01}{3 - 0,35} \right) 455,76 \cdot 10^6 \, \text{c/m}^2.$$

При известных значениях B, A и h по формуле (IX—1) рассчитываем продолжительность сублимационной сушки

$$\tau_c = 1375,2 + 455,76 \cdot 10^6 (0,0035)^2 = 6935,2 \ c = 1,93 \ v.$$

Пример IX—2. Определить продолжительность отдельных периодов, а также общую продолжительность сублимационной сушки

говяжьего фарша толщиной 2h=20 мм, если $W_{\rm Haq}=2.84$ кг/кг, $W_{\rm KP}=0.35$ кг/кг, $W_{\rm KOH}=0.036$ кг/кг, $\rho_0=260$ кг/м³, $t_{\rm gon}=60$ °C, $t_{\rm c}=-20$ °C, $r=2.88\cdot10^6$ Дж/кг, $K_{\rm r}=1.1$, $\lambda_{\rm Hp}=0.0364$ Вт/(м·К), $q_1=800$ Вт/м².

По формулам (IX—4), (IX—6), (IX—5) определяем значения h_1 ,

 B'_1 и τ_1 :

$$h_1 = \frac{0.0364[60 - (-20)]}{800} = 0.00364 \text{ m};$$

$$B'_1 = \frac{(2.84 - 0.35)260 \cdot 2.88 \cdot 10^6}{800} = 2.33 \cdot 10^6 \text{ c/m};$$

$$\tau_1 = 2.33 \cdot 10^6 \cdot 0.00364 = 8481.2 \text{ c} = 2.356 \text{ ч}.$$

Затем по формулам (IX-8) и (IX-7) определяем A2 и т2:

$$A_2 = \frac{(2.84 - 0.35)260 \cdot 2.88 \cdot 10^8}{2 \cdot 0.0364 [60 - (-20)]} = 320,14 \cdot 10^8 \text{ c/m}^2;$$

$$\tau_2 = 320.14 \cdot 10^6 [(0.01)^2 - (0.00364)^2] = 27788, 15 c = 7.72 \text{ ч},$$

а по формулам (IX—10) и (IX—9) — A_3 и τ_3 ;

$$A_3 = \frac{(0.35 - 0.036)260 \cdot 2.88 \cdot 10^8}{0.0364[60 - (-20)]} = 80.74 \cdot 10^6 \,\text{c/m}^2;$$

$$\tau_3 = 80,74 \cdot 10^6 (0,00364)^2 = 1069,78 \ c = 0,3 \ ч.$$

Следовательно, общая продолжительность сублимационной сушки говяжьего фарша составляет

$$\tau_c\!=\!\tau_1\!+\!\tau_2+\!\tau_3\!=2,\!356\!+\!7,\!72\!+\!0,\!3\!=\!10,\!376~\text{ч}.$$

Пример IX—3. Определить количество теплоты, расходуемой на сублимационную сушку молока (не учитывая вакуумную досушку), а также тепловую нагрузку на сублимационную установку, если известны следующие данные: производительность установки по сырому продукту $G=250~\rm kr$ за цикл, продолжительность процесса $\tau_c=6.5~\rm k$, средняя температура сублимации $t_c=-15~\rm C$, влагосодержание продукта: $W_{\rm Haq}=88~\rm M$ и $W_{\rm Koh}=20~\rm M$.

Количество теплоты, расходуемой на сублимационную сушку

продукта, рассчитываем по формуле

$$Q_c = W_{cr}$$

где W_c — количество влаги, удаляемой из продукта за период сублимации, кг; r — удельная теплота фазового перехода лед — пар, кДж/кг (при t_c = -15 °C r = 2869 кДж/кг).

Количество влаги W_{c} находим по формуле

$$W_c = G \frac{W_{\text{MRM}} - W_{\text{KOR}}}{100 - W_{\text{MOR}}} = 250 \frac{88 - 20}{100 - 20} = 212.5 \text{ KG}.$$

Получаем $Q_c=212,5\cdot 2869=609,7\cdot 10^3$ кДж. Учитывая $\tau_c=6,5\cdot 3600=23400$ с, определяем тепловую нагрузку

$$Q_0 = \frac{1,2Q_c}{\tau_o} = \frac{1,2 \cdot 609,7 \cdot 10^3}{23400} = 31,27 \text{ KBT}.$$

Пример IX—4. Яблочный сок перед вакуумной сублимационной сушкой подвергается замораживанию при температуре $t_3 = -25\,^{\circ}\mathrm{C}$. Определить количество вымороженной воды W_{π} и температуру сублимации t_{c} , если криоскопическая температура сока $t_{\mathrm{KD}} = -3\,^{\circ}\mathrm{C}$.

Параметры t_3 и W_n входят в уравнение

$$t_3 = (BW_{\pi} - AB + 10)/(AC - CW_{\pi} + 1),$$

где A, B, C — коэффициенты, определяемые для сырья растительного происхождения по следующим эмпирическим зависимостям:

 $A = 1,002 - 0,106 t_{RP}$;

۶

 $B = 10,673 \ t^2_{\rm Kp} - 52,115 \ t_{\rm Kp} + 59,291;$

 $C = 2,321 \ t^2_{\text{kp}} - 13,670 \ t_{\text{kp}} + 24,865.$

Подставляем значение $t_{\rm kp} = -3$ °C и находим: A = 0.684; B = -0.997; C = 4.744. При этом $W_{\pi} = 0.77 = 77\%$.

Температуру сублимации определяем с помощью уравнения $W_n = A + (t_c - 10)/(B + Ct_c)$; откуда $t_c = -3.25$ °C.

ГЛАВАХ. КОМПОНОВКА ОХЛАЖДАЕМЫХ ПОМЕЩЕНИЙ ХОЛОДИЛЬНИКОВ

Выбор объемно-планировочных и конструктивных решений холодильников зависит от назначения предприятия и схемы технологического процесса. В связи с этим планировки распределительных и производственных холодильников предприятий мясной, молочной, рыбной и других отраслей пищевой промышленности, а также холодильников для хранения фруктов и овощей существенно различаются

Количественными характеристиками холодильника являются его грузооборот, определяющий размеры охлаждаемых помещений, и емкость. Под грузооборотом понимают количество суточного поступления грузов и количество суточного выпуска грузов холодильником Разность этих количеств характеризует количество грузов, оставшихся в холодильнике на хранении (емкость холодильника).

Количество суточного поступления грузов принимают в соответствии с заданием на проектирование холодильника или определяют расчетным путем.

Емкость холодильника рассчитывают исходя из численности населения района), обслуживаемого данным холодильником, принятых норм потребления продуктов, структуры ассортимента продуктов для хранения, сезонности производства и потребления продуктов. Особенно велик уровень сезонных колебаний производства фруктов и овощей, а также производства масла и сыра. Меньшая сезонность отмечается в производстве мяса, янц и рыбы.

При определении емкости холодильников необходимо учитывать также стоимость доставки грузов на холодильник и продуктов в торговую сеть. Чем крупнее холодильник, тем меньше удельные капитальные затраты на его строительство и эксплуатационные расходы. Однако для крупных холодильников возрастает стоимость доставки грузов, так как они обслуживают районы с большим радиусом действия.

Структура холодильников (емкость камер охлаждения, замораживания, хрансния охлажденных и мороженых продуктов) в каждом случае уточняется на основании технико-экономического обоснования и зависит от ассортимента хранимых продуктов.

Структура производственных холодильников и их емкость определяются

характером работы предприятий, при которых они размещены.

После определения количества продуктов, предназначенных для охлаждения, замораживания и хранения, грузооборота холодильника и его емкости находят размеры камер охлаждения, замораживания и хранения, а также размеры загрузочных и разгрузочных помещений, накопителей и т. п. При расчете размеров камер для хранения продуктов в штабеле предварительно находят их грузовой объем, условную емкость, грузовую и строительную площади:

$$V_{1p} = E/q_v ; \qquad (X-1)$$

$$E_{ycn} = Eq_{v_{yc}}/q_{v}; \qquad (X-2)$$

$$F_{\rm rp} = V_{\rm rp}/h_{\rm rp} \; ; \tag{X-3}$$

$$F_{e + p} = F_{rp}/\beta_F , \qquad (X-4)$$

где $V_{\rm гp}$ —грузовой объем камеры (объем камеры, занимаемый грузом), м³; E— емкость камеры (группы камер), т; q_v — норма загрузки камеры, т/м³; $E_{\rm ycn}$ — условная емкость камеры (камер), т; q_v — норма загрузки грузового объема камеры условным грузом, т/м³; q_v — q_v — q_v — q_v — q_v — грузовая площадь камеры, м²; q_v — высота штабеля, м; q_v — стронтельная площадь камеры, м²; q_v — коэффициент использования стронтельной площади камеры.

Нормы загрузки q_v принимают в зависимости от характера груза, вида

и способа упаковки и укладки (на поддонах, в контейнерах и т. д.).

Предельная грузовая высота штабеля определяется следующими факторами:

высотой подъема груза с помощью механизмов;

устойчивостью штабелей и прочностью тары, располагаемой внизу штабеля:

прочностью перекрытий (нагрузка на пол не должна превышать допустимую нагрузку для данного перекрытия, пола);

штабель не должен доходить до потолочных охлаждающих батарей и воз-

духоводов на 0,2...0,3 м;

при оборудовании камер воздушной системой охлаждения минимальное расстояние от потолка до верха штабеля выбирается так, чтобы штабель не препятствовал распространению воздушных струй.

При ориентировочных расчетах коэффициент В принимается следующим

образом

в камерах с проходами и проездами: $\beta_F = 0.65$ при $F_{\text{стр}}$ от 20 до 100 м²; $\beta_F = 0.7$ при $F_{\text{стр}}$ от 100 до 400 м²; $\beta_F = 0.8$ при $F_{\text{стр}} > 400$ м²;

в камерах без проходов и проездов (камеры для хранения плодов и ово-

щей в регулируемой газовой среде) $\beta_F = 0.8...0.9$.

Строительную площадь камер, в которых продукты хранят на подвесных путях, определяют по формуле

$$F_{\text{crp}} = E/q_F + F_{\text{BO}} \tag{X--5}$$

где q_F — норма загрузки камер, отнесенная к 1 м² строительной площади, т/м² (для мясных полутуш $q_F = 0,2...0,25$ т/м²); F_{B0} — площадь камеры, занимаемая постаментными воздухоохладителями (батареями), м².

Строительную площадь камер хранения охлажденных продуктов на под-

весных путях находят с помощью уравнения

$$F_{\text{стр}} = \frac{E}{q_i} K_{\text{стр}} + F_{\text{so}}, \qquad (X-6)$$

где q_l — норма загрузки, отнесенная к 1 м рабочей длины подвесного пути, т/м; $K_{\text{стр}}$ — коэффициент пересчета нормы нагрузки q_l в q_F .

Строительную площадь камер охлаждения и замораживания продуктов рассчитывают с помощью уравнения

$$F_{\rm crp} = \frac{G'\tau_{\rm R}}{q_{\rm F} \cdot 24} + F_{\rm BO}$$
, (X-7)

где G' — производительность камеры (группы камер), т/сут; $\tau_{\mathfrak{q}}$ — продолжительность цикла холодильной обработки, ч.

Строительную площадь камер охлаждения и замораживания продуктов на подвесных путях определяют с учетом нормы нагрузки на 1 м рабочей длины подвесного пути

$$F_{c\tau p} = \frac{G'_{\tau_n}}{a_t \cdot 24} K_{c\tau p} + F_{so}. \tag{X-8}$$

Площадь холодильника (в пределах изолированного контура) находят по формуле

$$F_{xon} = \Sigma F_{cnp}/\eta_{xon}, \qquad (X-9)$$

 $\Sigma F_{\text{стр}}$ — суммарная строительная площадь производственных помещений холодильника, м²; $\eta_{\text{хол}}$ — коэффициент, учитывающий наличие вспомогательных помещений в изолированиом контуре холодильника (принимается для малых холодильников $\eta_{\text{хол}} = 0,7 \dots 0,75$, для средних — $\eta_{\text{хол}} = 0,75 \dots 0,85$, для крупных — $\eta_{\text{хол}} = 0,85 \dots 0,9$).

При проектировании холодильников большое значение имеет этажность. В настоящее время наметилась тенденция строительства холодильников (и даже крупных) в одноэтажном исполнении. В многоэтажном исполнении

сооружают холодильники емкостью 10 000 т и выше.

Одноэтажные холодильники имеют ряд пренмуществ перед многоэтажными: более полное использование объема (нет лифтов, больший шаг колони), возможность отказа от размещения колони внутри грузового объема камер, создаются условия для ускорения строительства холодильников, а также для комплексной механизации и автоматизации грузовых работ в камерах, меньшая стоимость строительства, возможность увеличения грузового фронта работ. К недостаткам одноэтажных холодильников относятся увеличение теплопритоков через наружные ограждения, повышенная усушка неупакованных продуктов, значительная площадь, занимаемая холодильниками.

При проектировании планировки холодильников необходимо учитывать

следующие условия:

соответствие планировки принятой схеме технологического процесса, предусматривающей не только наличие определенных камер с заданными параметрами охлаждающей среды, но и расположение их в определенной последовательности, отвечающей схеме технологического процесса таким образом, чтобы обеспечить поточность и исключить встречные потоки грузов;

уменьшение капитальных затрат на строительство холодильника (применение стандартных размеров строительных конструкций зданий, а также применение типовых, стандартных и унифицированных элементов строительных конструкций, сокращение площади вспомогательных помещений, проектирование сравнительно небольшого количества камер, т. е. идти по пути их укрупнения, рациональное размещение лифтов, вынос некоторых неохлаждаемых потапливаемых помещений за пределы изолированного контура холодильника; применение прогрессивной технологии и технологического оборудования в целях сокращения площади охлаждаемых помещений);

обеспечение дешевых и удобных условий эксплуатации помещений (объединение помещений с одинаковыми температурами в температурные блоки и отсеки, устройство тамбуров, вестибюлей и коридоров, а также охлаждаемых и неохлаждаемых закрытых платформ и воздушных завес, выбор оптимальных соотношений наружных размеров сторон холодильника и камер, устройство достаточной ширины проездов, коридоров, платформ, больших пролетов между колоннами и др.);

особенности системы охлаждения (централизованная или децентрализованная, воздушная или батарейная) и воздухораспределения, наличие техни-

ческих коридоров для размещения оборудования и арматуры;

возможность расширения холодильника;

предотвращение промерзания грунта под полом холодильника.

Пример X—1. Определить размеры холодильника для длительного хранения яблок в регулируемой газовой среде в количестве E = 1000 т.

Грузовой объем камер холодильника определяем с учетом формулы (X—1) и нормы загрузки $q_{vii} = 0.3 \text{ т/м}^3$ (приложение 14):

$$V_{\rm rp} = E/q_{v\rm H} = 1000/0.3 = 3333 \, \text{m}^3$$

При расчете грузовой площади камер принимаем, что высота

штабеля груза, уложенного в ящичных поддонах по 250 кг, составляет $h_{\rm rp}=5,76$ м при строительной высоте $h_{\rm crp}=6,6$ м ($h_{\rm crp}$ принята в соответствии с типовыми проектами холодильников с регулируемой газовой средой емкостью 500 и 1000 т). Высоту штабеля $h_{\rm rp}=5,76$ м принимаем с учетом возможности производства погрузочно-разгрузочных работ электропогрузчиком ЭП-1008 грузоподъемностью 1000 кг и высотой подъема вил 4,5 м.

Определяем грузовую и строительную площади камеры:

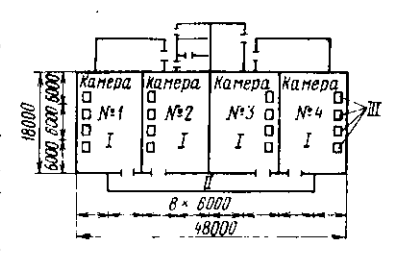


Рис. X—1. Схема размещения камер холодильника для хранения яблок в регулируемой газовой среде:

I — камеры; II — платформа; III — воздухоохладители

$$F_{\rm rp} = V_{\rm rp}/h_{\rm rp} = 3333/5,76 = 578,64 \, \text{M}^2$$
;

$$F_{\text{crp}} = F_{\text{rp}} / \beta_F = 578,64/0,8 = 723 \text{ m}^2.$$

Следовательно, площадь холодильника составляет

$$F_{xon} = \Sigma F_{exp}/\eta_{xon} = 723/1 = 723 \text{ M}^{2*}$$

Принимаем шаг колонн 6 м, тогда строительная площадь одного квадрата, определяемая сеткой колонн 6×6 м, $f=6\times6=36$ м². Отсюда количество строительных квадратов равно

$$n = F_{xox}/f = 723/36 = 20,1.$$

Предусматриваем в холодильнике четыре камеры и количество строительных квадратов n=24, т. е. по шесть строительных квадратов в каждой камере. Принимаем ширину холодильника 18 м (между осями колонн), длину 48 м (между осями колонн). Соотношение сторон холодильника составляет 48/18=2,66. Схема размещения камер показана на рис. X=1.

После проектирования строительно-изоляционных конструкций (см. примеры XI-1, XI-2) определяем окончательно размеры камер (см. рис. XII-1), а затем их площадь и емкость (см. таблицу).

Получилось, что емкость холодильника несколько больше планируемой (1110>1000).

Пример X—2. Определить размеры камер охлаждения мяса и хранения его в охлажденном виде для холодильника мясокомбината мощностью 200 т мяса в смену. Из задания, выданного на проектирование холодильника, известно, что режим работы мясокомбината — две смены по 8 ч, обработку парного мяса в полуту-

^{*} Принимаем, что в изолированном контуре холодильника отсутствуют вспомогательные помещения и $\eta_{xon} = 1$. При этом предполагаем, что товарную обработку фруктов производят в цехе товарной обработки хозяйства.

Номер камеры	Площадь строительная за вычетом площади, занимаемой в камерах стенами, перегородками, колоннами, изоляцией, м ⁴	Высота строитель- ная, м	()бъем строителы ый, м ^а	Емкость камер по яблокам, т (нетто)
1 2	205	6,6	1353	283,4
	192	6,6	1267,2	265,4
$\frac{3}{4}$	201	6,6	1326,6	277,8
	205	6,6	1353	283,4
Всего	803	6,6	5299,8	1110,0

шах в количестве 400 т в сутки* осуществляют способом одностадийного охлаждения** (температура воздуха $t_{\rm B}\!=\!-3^{\circ}{\rm C}$, скорость движения воздуха $\omega\!=\!0.8$ м/с, продолжительность процесса $\tau\!=\!16$ ч***, заданная температура воздуха поддерживается подвесными воздухоохладителями, масса охлажденного мяса, оставляемого на хранение, $E_{\rm охл}\!=\!300$ т, холодильник одноэтажный высотой 6 м).

Принимаем продолжительность цикла охлаждения (оборачиваемость камер, включая продолжительность процесса охлаждения, грузовых работ, подготовки камер к дальнейшей работе, например, продолжительность оттайки и т. д.) τ_{π} = 24 ч.

Принимаем установку в камеру подвесных воздухоохладителей, поэтому площадь $F_{\rm BO} = 0$.

Строительную площадь камер охлаждения мяса определяем по формуле (X-8), учитывая, что норма загрузки $q_l=250$ кг/м, коэффициент $K_{\rm стp}=1,2$, продолжительность цикла $\tau_{\rm ц}=24$ ч, количество поступающего на охлаждение мяса находится в соотношении: говядина — 60%, свинина — 40%. При расчете учитываем также, что продолжительность охлаждения свиных полутуш составляет в среднем 80% продолжительности охлаждения говяжьих полутуш (приложение 6).

Получаем

$$F_{\text{crp}_{\text{ox}\pi}} = \frac{(400 \cdot 0.6) \, 24}{0.25 \cdot 24} \, 1.2 + \frac{(400 \cdot 0.4) \, (24 \cdot 0.8)}{0.25 \cdot 24} \, 1.2 =$$
$$= 1152 + 614.4 = 1766.4 \, \text{m}^2 :$$

При этом площадь камер для охлаждения говяжьих полутуш равна 1152 м², а для охлаждения свиных полутуш — 614,4 м².

^{*} Производительность камер охлаждения мяса обычно выбирают с учетом 30-50% суточной производительности мясокомбината. Однако в каждом отдельном случае она уточняется заданием на проектирование холодильника в соответствии с типом предприятия и зоной его расположения.

^{**} Режим одностадийного охлаждения мяса приведен в приложении 6.
*** Продолжительность процесса исчисляется с начала загрузки до начала выгрузки мяса.

Расчетное значение площади камер необходимо увеличить примерно на 7—10 %, так как она несколько меньше значения действительной строительной площади камер, взятой в осях сетки колонн. Такое увеличение позволяет учитывать площадь, занимаемую стенами, перегородками и колоннами.

Таким образом, необходимая строительная площадь камер охлаждения составляет

$$F'_{\text{crp}} = 1,07F_{\text{crp}} = 1,07 \cdot 1766,4 = 1890 \text{ M}^2.$$

Для упрощения выполнения планировки определяем количество строительных квадратов, учитывая шаг колонн, равный 6 м, и $f=6\cdot 6=36$ м²

$$n = F'_{\text{crp ox},n} / f = 1890/36 = 52.5.$$

Принимаем, что n=52, количество камер охлаждения равно 10 (шесть камер для охлаждения говяжьих полутуш по шесть строительных квадратов и четыре — для охлаждения свиных полутуш по четыре строительных квадрата). Следовательно, площадь для охлаждения мяса равна: одной камеры для говядины 216 м² (6 \times 36); одной камеры для свинины 144 м² (4 \times 36); всех камер $\Sigma F_{\text{охл}} = 52 \cdot 36 = 1872$ м².

Строительную площадь камер хранения охлажденного мяса на подвесных путях определяем по формуле (X—6), учитывая, что емкость камер $F_{\text{охл}} = 300$ т, норма нагрузки $q_l = 0.25$ т/м, площадь $F_{\text{во}} = 0$, коэффициент $K_{\text{стр}} = 1.2$:

$$F_{\text{стр}} = \frac{300}{0.25} 1.2 = 1440 \text{ m}^2.$$

Расчетное значение площади увеличиваем на 10% и находим, что $F'_{\rm crp}{}_{\rm xp} = 1,1\cdot 1440 = 1584{}_{\rm M}{}^2.$

Тогда необходимое количество строительных квадратов

$$n = F'_{\text{crp}, \text{rp}} / f = 1584/36 = 44.$$

Принимаем три камеры хранения охлажденного мяса. Учитывая планировку холодильника (рис. X—2), задаемся, что одна камера занимает восемь строительных квадратов ($8 \cdot 36 = 288 \text{ м}^2$), вторая — 14 строительных квадратов ($14 \cdot 36 = 504 \text{ м}^2$), третья — 22 строительных квадрата ($22 \cdot 36 = 792 \text{ м}^2$). При этом общая площадь камер

$$\Sigma F_{\rm xp} = 44 \cdot 36 = 1584 \text{ m}^2$$
.

Пример X—3. Для условий примера X—2 определить площадь камер для замораживания мяса и хранения его в мороженом виде, если из задания на проектирование указанного выше холодильника известно, что количество мяса, подвергаемого однофазному за-

мораживанию в камерах на подвесных путях, равно 150 т в сутки*, замораживание мяса осуществляется при температуре воздуха $t_{\rm B}\!=\!-35^{\rm s}{\rm C}$ и скорости его движения $\omega\!=\!0.8$ м/с**, для поддержания заданных температуры и скорости движения воздуха камеры оборудованы подвесными воздухоохладителями, продолжительность процесса $\tau_3\!=\!23$ ч, продолжительность цикла $\tau_{\rm H}\!=\!30$ ч, масса мороженого мяса, подвергаемого хранению в штабеле, $E_3\!=\!5000$ т.

Предполагаем, что на замораживание поступают говяжьи полутуши (60%) и свиные (40%), и учитываем, что продолжительность замораживания свиных полутуш составляет 80% продолжительности замораживания говяжьих полутуш**.

Рассчитываем по формуле (X—8) строительную площадь камер замораживания мяса, учитывая, что $q_l = 0.25$ т/м; $\tau_{ij} = 30$ ч; $K_{\text{стр}} = 1.2$:

$$F_{\text{ctp}} = \frac{(150 \cdot 0.6)30}{0.25 \cdot 24} \cdot 1.2 + \frac{(150 \cdot 0.4)(30 \cdot 0.8)}{0.25 \cdot 24} \cdot 1.2 = 828 \text{ m}^2.$$

Площадь камер замораживания в осях сетки колонн составляет

$$F'_{\text{crp}_3} = 1,07F_{\text{crp}} = 1,07 \cdot 828 = 885 \text{ m}^2.$$

Следовательно, необходимое количество строительных квадратов

$$n = F'_{\text{crp}_3}/f = 885/36 = 24,5.$$

Принимаем n=24, количество камер замораживания— четыре. Следовательно, общая площадь камер замораживання

$$\Sigma F_3 = 24 \cdot 36 = 864 \text{ M}^2$$

а площадь одной камеры

$$F_{3_1} = 6.36 = 216 \text{ m}^2.$$

Строительную площадь камер хранения мороженого мяса в штабеле и необходимое количество строительных квадратов определяем с учетом формул (X—4), (X—1) и (X—3), нормы загрузки $q_v = 0.35 \text{ т/m}^3$, высоты штабеля $h_{\rm rp} = 5.6 \text{ м}$, коэффициента использования площади $\theta_F = 0.8$ и $f = 36 \text{ м}^2$:

$$F_{\text{ctp}_{\text{xp.a}}} = \frac{E}{q_v h_{\text{rp}} \beta_F} = \frac{5000}{0.35 \cdot 5.6 \cdot 0.8} = 3190 \text{ m}^2;$$

** Режимы однофазного замораживания мяса приведены в приложении 6.

^{*} Обычно производительность камер однофазного замораживания мяса принимают в размере 70...90% суточной производительности мясо-жирового корпуса мясокомбината. Однако она уточняется в каждом случае заданием на проектирование холодильника, учитывающим тип предприятия и эону его размещения.

$$F'_{\text{crp}_{\text{xp.s}}} = 1,04F_{\text{crp}_{\text{xp.s}}} = 1,04\cdot3190 = 3317 \text{ m}^{2*};$$

$$n = F'_{\text{crp}_{\text{xp.s}}}/f = 3317/36 = 92,2.$$

Для удобства выполнения планировки холодильника (рис. X—2) принимаем, что строительная площадь камер хранения мороженого мяса составляет 97,5 квадрата, а количество камер равно четырем: одна камера занимает 19,5 строительного квадрата (19,5·36=702 м²), остальные три камеры — по 26 строительных квадратов ($26\cdot36=936$ м²).

Общая площадь камер хранения мороженого мяса

$$\Sigma F_{xp.3} = 97.5 \cdot 36 = 3510 \text{ m}^2.$$

При этом действительная емкость камер хранения

$$E'_{3} = \frac{3510 \cdot 0.35 \cdot 5.6 \cdot 0.8}{1.04} = 5300 \text{ т}$$
 (по заданию $E_{3} = 5000 \text{ т}$).

Пример X—4. Для условий примера X—2 определить площадь камер охлаждения и замораживания субпродуктов, а также хранения их в охлажденном виде, если продолжительность цикла охлаждения субпродуктов $\tau_{\mathbf{u}}=24$ ч, продолжительность хранения охлажденных субпродуктов $\tau_{\mathbf{x}p}=48$ ч, продолжительность цикла замораживания парных субпродуктов $\tau_{\mathbf{u},3}=24$ ч, норма нагрузки $q_{\mathbf{ox}n}=q_3=q_{\mathbf{x}p}=0,1$ т/м², субпродукты замораживают в блоках в морозильных аппаратах типа APCA, в холодильных камерах установлены подвесные воздухоохладители.

Вначале определяем количество поступающих на холодильник субпродуктов. При этом учитываем переработку крупного рогатого скота. Согласно нормам Гипромясо выход обработанных субпродуктов по отношению к живой массе крупного рогатого скота равен 7,85%. Так как выход мясной туши составляет 47,2% от живой массы крупного рогатого скота, то выход субпродуктов по отношению к вырабатываемому количеству мяса находим из отношения

$$x = \frac{7,85 \cdot 100}{47.2} = 16,63\%$$
.

Массу субпродуктов рассчитываем с учетом суточной производительности мясокомбината, равной 400 т в сутки:

$$G_e = \frac{400 \cdot 16,63}{100} = 66,5 \text{ т в сутки}.$$

^{*} Для камер больших размеров коэффициент увеличения площади, учитывающий толщину стен, перегородок и тепловой изоляции, можно принять равным 1,04.

Рис. Х—2. Схема размещения камер холодильника мясокомбината:

I — мясо-жировой корпус; 2 — коридор; 3 — камеры охлаждения мяса; 4 — камера замораживания мяса; 5 — камера приема и накопления субпродуктов; 6 — камера охлаждения субпродуктов; 6 — камера охлаждения субпродуктов; 6 — камера однофазного замораживания субпродуктов; 8 — помещение выгрузки субпродуктов; 9 — камера фасовки и улаковки субпродуктов; 10 — камера хранения охлажденных субпродуктов; 12 — камера хранения охлажденных субпродуктов; 12 — камера производства субпродуктовых блоков; 13 — камера хранения охлажденного мяса; 14 — камера хранения охлажденного мяса; 14 — камера хранения охлажденного мяса; 14 — камера хранения охлажденного мяса; 16 — камера замораживания месопационных грузов; 17 — экспедиционных грузов; 16 — весовая; 19 — подсобные помещения; 20 — мясоперерабатывающий корпус; 21 — железнодорожная платформа; 22 — автомобильная платформа; 23 — компрессорный цех, аппаратное отделение, трансформаторная подстанция, щитовая

Принимаем, что масса поступающих субпродуктов распределяется следующим образом: 15 т в сутки — на охлаждение, 15 — на однофазное замораживание в камерах замораживания и 40 т в сутки — на замораживание в роторных морозильных аппаратах.

Определяем строительную площадь камер (при $F_{\rm во}\!=\!0$) и необ-

ходимое количество строительных квадратов:

для охлаждения субпродуктов:

$$F_{\text{crp }_{c}} = \frac{15 \cdot 24}{0.1 \cdot 24} = 150 \text{ m}^{2};$$

$$n = \frac{150 \cdot 1.07}{36} = 4.46;$$

для хранения охлажденных субпродуктов:

$$F_{\text{ctp}_{xp.c}} = \frac{15.48}{0.1.24} = 300 \text{ m}^2;$$

$$n = \frac{300.1,07}{36} = 8,92;$$

для однофазного замораживания субпродуктов:

$$F_{\text{ctp}_{3,c}} = \frac{15 \cdot 24}{0,1 \cdot 24} = 150 \text{ m}^2;$$

$$n = \frac{150 \cdot 1,07}{36} = 4,46.$$

Принимаем, что камеры занимают соответственно 4,5; 8 и 4,5 строительных квадрата. Тогда

$$F_c = F_{3.c} = 162 \text{ m}^2$$
;
 $F_{xp_c} = 288 \text{ m}^{2*}$.

Для замораживания субпродуктов в блоках предусматриваем четыре роторных аппарата типа APCA-3-15 производительностью по 15 т в сутки (625 кг/ч).

Согласно технологическим рекомендациям продолжительность замораживания блоков субпродуктов $\tau_3 = 12$ ч. Принимаем продолжительность цикла замораживания $\tau_{\pi} = 16$ ч, учитываем двухсменную работу аппаратов (по 16 ч в сутки) и находим суточную пронизводительность четырех морозильных аппаратов

$$625 \cdot 16 \cdot 4 = 40000$$
 Kr.

^{*} Площадь камер хранения мороженых субпродуктов не рассчитываем, так как их хранение предусматриваем в камерах хранения мороженого мяса.

Получаем, что расчетная производительность равна заданной

по выработке блоков замороженных субпродуктов.

Исходя из габаритных размеров аппаратов (длина 4900 мм, ширина 4200 мм и высота 2600 мм) и площади для их обслуживания, принимаем размеры помещения (в осях) $F_{3.6} = 432 \text{ м}^2$ (длина 36 м, ширина 12 м). Необходимое количество строительных квадратов для помещения аппаратов замораживания блоков субпродуктов n = 432/36 = 12.

Пример X—5. Определить размеры камеры хранения эндокринно-ферментного сырья в замороженном виде, учитывая, что сырье после сбора подвергается немедленному замораживанию в моро-

зильных шкафах, установленных на месте сбора.

По нормам Гипромясо выход эндокринно-ферментного сырья составляет 0,18% массы перерабатываемого скота (для крупного рогатого скота). Учитывая, что выход мясной туши равен 47,2% массы скота, находим выход эндокринно-ферментного сырья:

$$x = \frac{0.18 \cdot 100}{47.2} = 0.381\%$$
;

$$G_0 = \frac{400 \cdot 0.381}{100} = 1.52 \text{ T B GyTh}$$

При продолжительности хранения τ_{xp} = 30 сут емкость камеры хранения мороженого эндокринно-ферментного сырья

$$E = 1.52 \cdot 30 = 45.6$$
 T.

Норма загрузки строительной площади камер хранения мороженого эндокринно-ферментного сырья $q_F = 0.5$ т/м².

Следовательно,

$$F_{\text{CTP}_{\text{XP.0}}} = E/q_F = 45,6/0,5 = 91,2 \text{ M}^2;$$

 $n = 91,2/36 = 2,53.$

Для удобства выполнения планировки (см. рис. X—2) принимаем, что камера занимает четыре строительных квадрата. Таким образом,

$$F_{xp_a} = 4.36 = 144 \text{ M}^2$$
.

Пример X—6. Для условий примеров X—2...X—5 определить размеры вспомогательных помещений холодильника (камера приема и накопления субпродуктов, камера выгрузки субпродуктов, камера фасовки и упаковки субпродуктов, камера приема некондиционных грузов, экспедиция).

Камеру приема и накопления субпродуктов размещаем перед камерами охлаждения и замораживания субпродуктов. Принимаем следующие условия: режим в камере поддерживается подвес-

ными воздухоохладителями (тогда $F_{\rm Bo}=0$); производительность камеры равна общей производительности камер охлаждения и замораживания (30 т в сутки); продолжительность хранения субпродуктов $\tau_{\rm xp}=8$ ч; норма загрузки $q_F=0.1$ т/м².

Учитывая принятые условия, по формуле (Х-8) определяем:

$$F_{\text{CTP}} = \frac{30.8 \cdot 1,05}{0,1 \cdot 24} = 105 \text{ M}^2;$$

$$n = 105/36 = 2.92$$
.

Принимаем, что камера занимает три строительных квадрата. Следовательно, $F_{\rm H} = 108~{\rm M}^2.$

Камеру выгрузки субпродуктов размещаем после камер охлаждения и замораживания субпродуктов. Принимаем аналогичные условия. Следовательно, $F_{\rm B} = 108 \, {\rm m}^2$.

Из практических соображений принимаем, что камера фасовки и упаковки субпродуктов занимает 15 строительных квадратов. Следовательно, $F_{\Phi} = 15 \cdot 36 = 450 \text{ м}^2$.

Uз практических соображений принимаем, что камера приема некондиционных грузов размещена вблизи железнодорожной платформы и занимает два строительных квадрата, т. е. n=2;

 $F_{\rm нек} = 72 \ {\rm M}^2$. Камеру замораживания некондиционных грузов размещаем рядом с камерой приема некондиционных грузов и ориентировочно принимаем, что она занимает 4,5 строительных квадрата, т. е. $F_{\rm 3.неk} = 162 \ {\rm M}^2$.

Стронтельную площадь экспедиции определяем по формуле

$$F_{\text{crp}_{\text{exc}}} = \frac{0.5G_{\text{cyr}}}{0.35}$$
,

где $G_{\text{сут}}$ — масса суточного выпуска грузов, т; 0,35 — норма загрузки, т/м².

Массу суточного выпуска грузов рассчитываем с учетом емкости холодильника и его оборачиваемости

$$G_{\rm cyr} = \frac{E_{\rm ron}B}{253} m_{\rm BMH} \,,$$

где $E_{{\tt xo}\,{\tt n}}$ — емкость холодильника, т; B — оборачиваемость холодильника (для производственных холодильников принимается равной 10-15 $1/{\tt rod}$); $m_{{\tt su}\,{\tt n}}$ — коэффициент неравномерности выпуска ($m_{{\tt su}\,{\tt n}}$ = 1,1—1,5).

Емкость холодильника (по камерам хранения) $E_{xo\pi} = E_{ox\pi} + E'_{3} = 300 + 5300 = 5600$ т (см. примеры X—2 и X—3). Принимаем B = 12 1/год, $m_{вы\pi} = 1,15$ и получаем:

$$G_{\text{cyt}} = \frac{5600 \cdot 12}{253} 1,15 = 305,5 \text{ т в сутки;}$$

$$F_{\text{exp}_{\text{seo}}} = \frac{0.5 \cdot 305.5}{0.35} = 436.4 \text{ m}^2;$$

$$n = \frac{436,4}{36} = 12,12.$$

Принимаем n=12,5 и предусматриваем три экспедиции: две — с выходом на железнодорожную платформу, так как большая часть грузов обычно отправляется в другие районы, одну — с выходом на автомобильную платформу (для грузов местной реализации). Общее количество строительных квадратов распределяем следующим образом: 7 — для двух экспедиций, выходящих на железнодорожную платформу (по 3,5 строительных квадрата каждая), и 5,5 — для экспедиции, выходящей на автомобильную платформу. При этом необходимая строительная площадь экспедиций соответственно равна

$$F_{\text{akc}} = 2 \cdot 3.5 \cdot 36 + 5.5 \cdot 36 = 2 \cdot 126 + 198 = 450 \text{ m}^2$$
.

Пример X—7. По результатам примеров X—2...X—6 составить планировку холодильника мясокомбината мощностью 200 т мяса в смену.

Согласно заданию на проектирование холодильник необходимо выполнить в одноэтажном исполнении. Высота холодильника 6 м. Принимаем сетку колонн 6·12 м (см. рис. X—2).

По температурно-влажностному режиму и назначению охлаждаемых помещений разделяем холодильник на следующие отсеки:

отсек, в помещениях которого осуществляется термическая обработка мяса и мясопродуктов (камеры для охлаждения и замораживания мяса в полутушах и субпродуктов);

отсек, в помещениях которого хранятся охлажденные и мороженые мясо и мясопродукты, в том числе эндокринно-ферментное сырье.

В холодильнике размещаем также камеру фасовки и упаковки субпродуктов, камеру приема и накопления субпродуктов, камеру выгрузки субпродуктов, камеру приема некондиционных грузов, камеру замораживания некондиционных грузов, экспедиции, коридоры, весовые, автомобильную и железнодорожную платформы.

Для уменьшения потерь массы продукта камеры охлаждения размещаем ближе к мясо-жировому корпусу. Рекомендуемая продолжительность транспортировки мяса от приемных весов холодильника до камер термической обработки не должна превышать 10 мин. Поэтому отсек термической обработки примыкает к мясожировому корпусу, а отсек хранения — к мясоперерабатывающему корпусу мясокомбината. Для уменьшения теплопритоков в холодильник камеры размещаем их следующим образом: камеры, в которых более высокие значения температур (камеры охлаждения и хранения охлажденных продуктов), размещаем ближе к наружным стенам холодильника. Экспедиции и камеру замораживания некондиционных грузов размещаем ближе к платформам.

Для исключения встречных потоков различных видов продуктов камеры для холодильной обработки и хранения говяжьих по-

лутуш размещаем в стороне холодильника, примыкающей к автомобильной платформе, камеры для холодильной обработки и хранения свиных полутуш — в стороне холодильника, примыкающей к железнодорожной платформе. Камеры для холодильной обработки говяжьих и свиных полутуш взаимно заменяемы. Камеры для холодильной обработки блоков мяса и субпродуктов размещаем в середине отсека термической обработки. Камеры замораживания объединяем в отсеки и размещаем вблизи камер охлаждения.

Предусматриваем четыре коридора для создания удобных условий эксплуатации камер. Ширину коридоров принимаем равной 6 и 9 м (при этом ширина центрального коридора 9 м).

В соответствии с выполненной планировкой размеры холодильника в плане составляют 96×144 м (см. рис. X—2)*.

Определяем общую площадь производственных помещений холодильника $\Sigma F_{\text{стр}}$ и коэффициент использования $\eta_{\text{хол}}$ его площади:

$$\begin{split} \Sigma F_{\text{cTp}} &= \Sigma F_{\text{ox}n} + \Sigma F_{\text{xp}} + \Sigma F_{\text{3}} + \Sigma F_{\text{xp}} + F_{\text{c}} + F_{\text{xp}} + F_{\text{3}} + F_{\text{c}} + F_{\text{3}} + F_{\text{c}} + F_{\text{3}} + F_{\text{c}} + F_{\text{3}} + F_{\text{5}} + F_{5} + F_{\text{5}} + F_{$$

Сравнительно низкий коэффициент использования площади для такого крупного холодильника вызван коридорной планировкой.

ГЛАВА XI. ИЗОЛЯЦИЯ ОХЛАЖДАЕМЫХ ПОМЕЩЕНИЙ

Охлаждаемые помещения и аппараты для холодильной обработки пищевых продуктов имеют специальные теплоизоляционные конструкции. Обязательным в теплоизоляционных конструкциях является наличие тепло- и пароизоляционного (гидроизоляционного) материалов, что позволяет уменьшить тепло- и влагоприток в охлаждаемые помещения.

Отсутствие или снижение качества изоляции приводит к увеличению энер-

гозатрат и ухудшению качества сохраняемых продуктов.

Проектирование теплоизоляционных конструкций сводится к выбору их типа и материалов, входящих в ограждение, и расчету толщины теплоизоляционного, пароизоляционного (иногда и газоизоляционного) материалов. При этом коэффициенты теплопередачи наружных стен и покрытий принимают

7 3akas 8302

^{*} Характер планировки в значительной степени заимствован из типового проекта мясокомбината мощностью 200 т мяса в смену, разработанного Гипромясо.

Среднегодовая	Коэффициент теплопередачи & [в Вт.(м²-К)] при внутренней температуре охлаждаемых помещений, `С						
температура воздуха, °С	от —40 до —30	от - 25 до -20	от -15 до -10	-4	0	+4	+12
0 и ниже	0,21	0,26	0,33	0,47	0.52	0,58	0,70
	0,20	0,24	0,30	0,40	0,44	0,47	0,52
1-8	0,20	0,23	0,28	0,3 5	0,40	0,51	0,64
	0.19	0,22	0,27	0,33	0,37	0,42	0,52
9 и выше	0.19	0,21	0,23	0,28	0,30	0.35	0.52
	0,17	0,20	0.21	0,26	0,29	0,33	0,47

Примечания. 1. В числителе приведены значения k для наружных стен, в знаменателе — для покрытий.

2. Коэффициенты теплопередачи чердачных покрытий увеличивают на 10%.

Таблица XI-2

Температура воздуха	Коэффициент теплопередачи k в Вт/(м²·К) при внутренней температуре охлаждаемых помещений, °С						
в более теплом помещении, °C	-30	-20	-10	-4	0	4	12
-30	0,58		_		_	_	_
-30 -20	0,50	0.58		_		_	_
10	0,37	0,40	0,58	_		_	_
1	0,28	0.32	0.40	0,58	_		
0	0,24	0,29	0.35	0,52	0.58	_	_
4	0,23	0,26	0.31	0,46	0,52	(0.58)	
4 12	0,21	0.23	0.26	0.40	0.46	0.52	0,7
18	0,20	0,21	0.23	0,35	0,40	0,46	0,70

Таблица ХІ-3

Внутренняя температура охлаждаемых помещелий, °С	Коэффициент теплопередачи k, Вт/(м²·К)	Внутренняя темпе- ратура Охлаждае- мых помещений, °С	Коэффициент теплопе- редачи ж, Вт/(м²·К)
30	0,27	-4	0,40
20	0,28	4	0,52
10	0,32	12	0,61

в соответствии с данными табл. XI—I, внутренних стен, перегородок и междуэтажных перекрытий — табл. XI—2, а ограждающих конструкций, отделяющих охлаждаемые помещения от неохлаждаемых тамбуров, вестибюлей, коридоров, — табл. XI—3.

При проектировании теплоизоляционных конструкций обогреваемых полов, располагаемых на грунте, коэффициент теплопередачи принимают согласно данным табл. XI—4 (при расчете k учитывают сопротивление теплопроводности

Внутренняя температура охлаждаемых помещений, "С	Коэффициент теплопере- дачи &, Вт/(м²·К)
+ 4 4	0,41
—10	0,29
—20—30	0.21
←30←40	0,17

слоев теплоизоляционной конструкции пола, расположенных выше обогревающих устройств, и сопротивление теплоотдачи от поверхности пола к воздуху камеры).

Толщину теплоизоляции определяют по уравнению

$$\delta_{H3} = \lambda_{H3} \left[\frac{1}{k} - \left(\frac{1}{\alpha_H} + \sum_{i=1}^{i-n} \left(\frac{\delta_i}{\lambda_i} \right) + \frac{1}{\alpha_B} \right) \right]; \tag{XI-1}$$

где $\delta_{и3}$ — толщина теплоизоляции, м; k — коэффициент теплопередачи ограждения, $BT/(M^2 \cdot K)$; λ_{u3} , λ_i — коэффициенты теплопроводности изоляционного и строительного материалов, составляющих конструкцию ограждения, $BT/(M \cdot K)$; α_B , α_B — коэффициенты теплоотдачи с наружной и внутренней сторон ограждений, $BT/(M^2 \cdot K)$; δ_i — толщина отдельных слоев конструкции ограждений (кроме слоя теплоизоляции), м.

Коэффициенты теплоотдачи у поверхности ограждений принимают в соответствии с данными табл. XI—5.

Таблица ХІ—5

Поверхности помещений	Коэффициент теплоотдачи α, Вт/(м² К)	
Наружные поверхности наружных стен и покрытий . Наружные поверхности чердачных покрытий Внутренние поверхности помещений без принудительной цир-	23,3 11,6	
куляции воздуха поверхность стены поверхность потолка холодной камеры при расположении	8,12 5,81	
над ней более теплой камеры поверхность пола более теплой камеры при расположении	6,96	
под ней холодной камеры Внутренние поверхности помещений с умеренной циркуляцией	9,28	
воздуха Внутренние поверхности помещения с усиленной циркуляцией воздуха	10,44	

Пример XI—1. Определить толщину слоя тепло- и пароизоляции наружной стены камеры хранения охлажденных грузов $(t_B=0^{\circ}\text{C}; \ \phi_B=90\,\%)$ для холодильника, расположенного в районе Краснодара, если в качестве теплоизоляционного материала принять плиты жесткие минераловатные на битумной связке. Камера оборудована воздушной системой охлаждения.

Среднегодовая температура для Краснодара равна 10,8°C; расчетное значение коэффициента теплопередачи для наружной

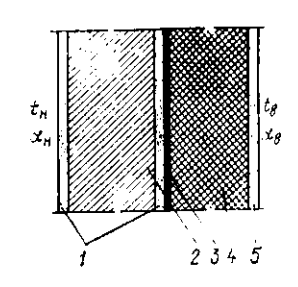


Рис. XI—1. Конструкция наружной стены холодильника: I—штукатурка (δ_{III} =0,015 м); 2— кирянчная кладка (δ_{K} =0,38 м); 3— пароизоляция (битум) (δ_{II} =0,003 м); 4—

тепловая изоляция; 5 — отделочный слой (штукатур-ка) (6ш \sim 0,015 м)

стены k=0,30 Вт/(м²·К). Принимаем, что конструкция наружной стены выполнена так же, как показано на рис. XI—1. Из табл. XI—5 находим $\alpha_{\rm H}\!=\!23,3$ Вт/(м²·К), $\alpha_{\rm B}\!=\!9,28$ Вт/(м²·К) для камер хранения с воздушной системой охлаждения. В соответствии с типом материалов (приложение 15) находим коэффициенты теплопроводности $\lambda_{\rm H3}$, $\lambda_{\rm m}$, $\lambda_{\rm K}$ и $\lambda_{\rm L}$.

Подставляем известные данные в формулу (XI—1) и определяем

$$\delta_{H3} = \lambda_{H3} \left[\frac{1}{k} - \left(\frac{1}{\alpha_H} + 3 \frac{\delta_{III}}{\lambda_{III}} + \frac{\delta_{R}}{\lambda_{III}} + \frac{\delta_{R}}{\lambda_{III}$$

= 0,09
$$\left[\frac{1}{0,30} - \left(\frac{1}{23,3} + 3 \frac{0,015}{0,9} + \frac{0,38}{0,82} + \frac{0,003}{0,30} + \frac{1}{9,28} \right) \right] = 0,239 \text{ m}.$$

Жесткие минераловатные плиты на битумной связке выпускают толщиной 40, 50, 60, 70 и 80 мм. Для получения расчетной толщины устанавливаем три плиты толщиной по 80 мм, т. е. действительная толщина тепловой изоляции $\delta_{\rm из_{\pi}} = 240$ мм = 0,24 м. В связи с небольшим отличием действительной и расчетной толщин теплоизоляции действительный коэффициент теплопередачи $k_{\rm d}$ будет мало отличаться от расчетного. Поэтому расчет $k_{\rm d}$ можно не выполнять.

Расчет толщины слоя пароизоляции выполняем по упрощенному методу, предложенному И. Ф. Душиным. Согласно этому методу необходимое сопротивление паропроницанию пароизоляционного слоя

$$H_{\rm II} = 1.6 (\rho_{\rm II} - \rho_{\rm B})$$

где H_m — необходимое сопротивление паропроницанию слоя пароизоляции, м²-ч·Па/г; p_m , p_m — парциальное давление водяных паров, содержащихся в наружном и внутреннем воздухе, Па.

Для параметров внутреннего воздуха ($t_B = 0^{\circ}$ C; $\varphi_B = 90\%$) по I - d-диаграмме находим $p_B = 520$ Па. Для параметров наружного воздуха Краснодара ($t_{H,p} = 34^{\circ}$ C; $\varphi_{H,p} = 46\%$) $p_H = 2200$ Па.

Сопротивление $H_{\pi} = 1,6 (2200-520) = 2688 \,\mathrm{M}^2 \cdot \mathrm{u} \cdot \Pi_a/\mathrm{r}$. Необходимая толщина слоя пароизоляции $\delta_{\pi} = H_{\pi}\mu_{\pi}$,

где μ_{π} — коэффициент паропроницаемости пароизоляционного материала, г/(м ч Π а).

В качестве пароизоляционного материала принимаем битум, имеющий $\mu_{\pi}=0.864\cdot 10^{-6}$ г/(м·ч·Па), и находим толщину пароизоляции $\delta_{\pi}=2688\cdot 0.864\cdot 10^{-6}=0.0023$ м.

Принятая предварительно (см. рис. XI—1) толщина $\delta_n=3$ мм достаточна. Битум в горячем виде необходимо наносить в два или три слоя так, чтобы общая толщина слоев была бы не менее 3 мм.

Пример X1—2. Определить толщину слоя теплоизоляции перегородки между камерами хранения охлажденных грузов (t_B =0°C), если камеры оборудованы воздушной системой охлаждения. В качестве теплоизоляционного материала использованы плиты теплоизоляционные из пенопласта полистирольного самозатухающего ПСБ-С с коэффициентом теплопроводности $\lambda_{\text{из}}$ =0,047 BT/(м·K) (приложение 15), толщина кирпичной кладки δ_{R} =0,25 м.

Согласно табл. XI—2 коэффициент теплопередачи для перегородки, разделяющей камеры с одинаковой температурой $t_{\rm B} = 0$ °C,

равен 0,58 Вт/(м²·K).

Для камер хранения с воздушной системой охлаждения при умеренной циркуляции воздуха (см. табл. XI—5) $\alpha_{\rm H} = \alpha_{\rm B} = -9,28~{\rm Bt/(m^2 \cdot K)}$.

Принимаем теплоизоляционную конструкцию перегородки в соответствии с рис. XI—I (при $\delta_\kappa = 0.25$ м) и находим, что при $\lambda_{\rm H} = 0.9$ Вт/(м·К) и $\lambda_{\rm K} = 0.82$ Вт/(м·К) толщина слоя теплоизоляции составляет

$$\begin{split} \delta_{\text{M3}} = \lambda_{\text{M3}} \left[-\frac{1}{k} - \left(\frac{1}{\alpha_{\text{M}}} + 3 \frac{\delta_{\text{M}}}{\lambda_{\text{M}}} + \frac{\delta_{\text{K}}}{\lambda_{\text{K}}} + \frac{1}{\alpha_{\text{B}}} \right) \right] = \\ = 0,047 \left[-\frac{1}{0,58} - \left(\frac{1}{9,28} + 3 \frac{0,015}{0,9} + \frac{0,25}{0,82} + \frac{1}{9,28} \right) \right] = 0,0542 \text{ M}. \end{split}$$

Плиты из пенопласта ПСБ-С выпускаются толщиной 25, 30, 50 и 100 мм. Предусматриваем два слоя плит толщиной по 30 мм, т. е. $\delta_{\text{м3}} = 60$ мм = 0,06 м.

Следовательно, действительный коэффициент теплопередачи

$$k_{\rm H} = \frac{1}{\frac{1}{\alpha_{\rm H}} + 3 \frac{\delta_{\rm IS}}{\lambda_{\rm III}} + \frac{\delta_{\rm K}}{\lambda_{\rm K}} + \frac{\delta_{\rm He}}{\lambda_{\rm He}} + \frac{1}{\alpha_{\rm H}}} = \frac{1}{\frac{1}{9,28} + 3 \frac{0,015}{0,9} + \frac{0,25}{0,82} + \frac{0,06}{0,047} + \frac{1}{9,28}} = 0,541 \text{ Bt/(M}^2 \cdot \text{K)}.$$

Пример XI—3. Определить коэффициент теплопередачи теплоизоляционной конструкции наружной стены многоэтажного холодильника (для камеры хранения мороженых грузов с батарейной системой охлаждения при $t_{\rm B}\!=\!-20^{\circ}{\rm C}$), состоящей из сборных стеновых вертикальных панелей (рис. XI—2). В качестве теплоизоляционного материала применена минеральная пробка [$\lambda_{\rm MS}\!=\!-0.076~{\rm Bt/(M\cdot K)}$] в шесть слоев толщиной по 50 мм. Определить

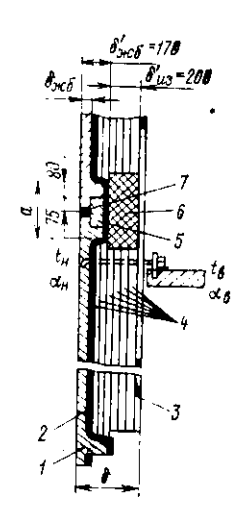


Рис. XI—2. Конструкция сборных стеновых вертикальных изолированных панелей многоэтажных холодильников и крепление к междуэтажному железобетонному перекрытию:

I — железобетонная плита (δ_{M0} =60 мм); 2 — пароизоляция (холодная битумная грунтовка и слой пластифицированного борулина на горячей битумной мастике); 3 — асбоцементный прессованный лист (δ_a =8 мм); 4 — минеральная пробка (шесть слоев) общей толщиной 300 мм; 5 — бетон; 6 — более эффективный, чем основной, теплоизоляционный материал; 7 — заделка шва цементным раствором

также возможность образования конденсата на поверхности панелей с теплой стороны ограждения для условий: $t_{\rm H} = 2^{\circ} \text{C}$; $\phi_{\rm H} = 90\%$.

Учитывая условия работы камеры, по табл. XI—5 находим $\alpha_{\rm H}\!=\!23,3$ Вт/(${\rm M}^2\!\cdot{\rm K}$), $\alpha_{\rm B}\!=\!8,12$ Вт/(${\rm M}^2\!\cdot{\rm K}$), тогда $R_{\rm B}\!=\!1/\alpha_{\rm B}\!=\!1/8,12\!=\!0,123$ м $^2\!\times\!$ \times K/Вт. По приложению 15 находим коэффициент теплопроводности железобетонной плиты $\lambda_{\rm M6}$ и асбоцементного листа $\lambda_{\rm a}$ и рассчиты-

ваем коэффициент теплопередачи и сопротивление теплопередаче (без учета сопротивления теплопередаче слоев нароизоляции):

$$k = \frac{1}{\frac{1}{\alpha_{\text{ff}}} + \frac{\delta_{\text{MS}}}{\lambda_{\text{MS}}} + \frac{\delta_{\text{MS}}}{\lambda_{\text{BS}}} + \frac{\delta_{\text{A}}}{\lambda_{\text{B}}} + \frac{1}{\alpha_{\text{B}}}} = \frac{1}{\frac{1}{23,3} + \frac{0.06}{1.5} + \frac{0.3}{0.076} + \frac{0.008}{0.35} + \frac{1}{8.12}} = 0.239 \text{ Br/ (M}^2 \cdot \text{K});$$

$$R = 1/k = 1/0.239 = 4.18 \text{ M}^2 \cdot \text{K/BT}.$$

Действительный коэффициент теплопередачи обычно на 10—20% выше расчетного из-за наличия стыков между панелями и теплопроводных включений в виде ребер панелей.

Для определения возможности образования конденсата на поверхности стыка панелей с теплой стороны ограждения рассчитываем его сопротивление теплопередаче при условии размещения в стыке панелей минеральной пробки в четыре слоя

$$R' = \frac{1}{\alpha_{\text{H}}} + \frac{\delta'_{\text{MG}}}{\lambda_{\text{MG}}} + \frac{\delta'_{\text{MS}}}{\lambda_{\text{MS}}} + \frac{\delta_{\text{A}}}{\lambda_{\text{B}}} + \frac{1}{\alpha_{\text{B}}} = \frac{1}{23,3} + \frac{0,17}{1,5} + \frac{0,2}{0,076} + \frac{0,008}{0,35} + \frac{1}{8,12} = 2,93 \text{ M}^2 \cdot \text{K/BT}.$$

Температура поверхности шва с более теплой стороны t'_{π} должна быть не ниже точки росы. Это условие проверяется с помощью выражения

$$t'_{\rm H} = t_{\rm H} - \frac{R' + \eta (R - R')}{R'R} R_{\rm B} (t_{\rm H} - t_{\rm B}),$$

где η — коэффициент, принимаемый в зависимости от отношения размера a поперечного сечения включения, измеренного параллельно поверхности ограждения, к полной толщине δ ограждения.

Из рис. XI—2 находим, что a = (75 + 80) 2 = 310 мм, $\delta = 170 + 200 + 8 = 378$ мм. Отношение $a/\delta = 310/378 = 0.82$. Тогда $n \approx 0.71$.

Рассчитываем температуру поверхности шва с теплой стороны ограждения

$$t_{\text{H}}' = 2 - \frac{2,93 + 0,71(4,18 - 2,93)}{4.18 \cdot 2.93} - 0,123[2 - (-20)] = 1,16^{\circ}\text{C}.$$

В условии примера задано, что $t_{\rm H}\!=\!2^{\circ}{\rm C}$, $\phi_{\rm H}\!=\!90\%$. По $I\!-\!d$ -диаграмме находим, что температура точки росы $t_{\rm p}\!=\!0.5^{\circ}{\rm C}$, т. е. температура стыка с теплой стороны ограждения $t'_{\rm H}\!=\!1,16^{\circ}{\rm C}$ выше температуры точки росы. Следовательно, конденсат выпадать не будет. Если проверка для климатических условий данной местности покажет возможность образования конденсата, то этот недостаток панелей можно устранить изоляцией стыка более эффективным, чем основной, теплоизоляционным материалом (позиция 6 на рис. ${\rm XI}\!-\!2$).

Пример XI—4. Определить толщину слоя теплоизоляции пола камеры интенсивного замораживания в одноэтажном холодильнике, если температура воздуха в камере $t_{\rm B}=-35\,{\rm ^{\circ}C}$.

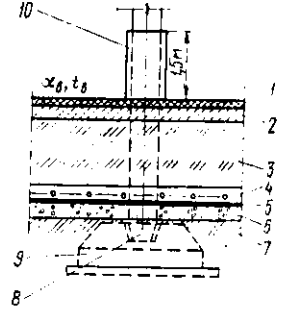
Принимаем теплоизоляционную конструкцию обогреваемого пола, приведенную на рис. XI—3. В качестве теплоизоляционного материала используем шлак доменный гранулированный [$\lambda_{\text{нз}}$ = =0,19 BT/($\mathbf{m} \cdot \mathbf{K}$)].

По данным табл. XI—4 коэффициент теплопередачи пола при $t_{\rm B} = -35\,^{\circ}{\rm C}$ равен 0,17 Вт/(м²·К), а по табл. XI—5 коэффици-

ент теплоотдачи α_B от пола к воздуху камеры при интенсивном его движении равен $10,44~\mathrm{Bt/(m^2 \cdot K)}$. Коэффициенты теплопроводности материалов, входящих в конструкцию пола, принимаем по приложению 15.

Рис. XI—3. Конструкция пола:

1— чистый пол-асфальт — два слоя ($\delta_{\rm ac}$ =60 мм); 2— бетонная подготовка ($\delta_{\rm ж6}$ =120 мм); 3— шлак доменный грану-ированный; 4— бетонная подготовка с электронагревателями ($\delta_{\rm f}$ =100 мм); 5— гидроизоляция; 6— бетонная подготовка по уплотненный грунту с щебнем; 7— уплотненный цебнем грунт: 8— колонна; 9— фундамент под колонну; 10— теплоизоляция колонны



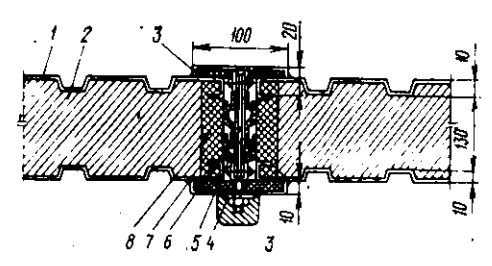


Рис. XI—4. Легкая ограждающая конструкция наружной стены из панелей типа «сэндвич»:

1 — профилированный лист из стали или алюминия ($\delta_{an}=3$ мм); 2 — теплоизоляция (пенополнуретан); 3 — гнутый профиль из стали или алюминия; 4 — полиэтиленовый колпак на эпоксидной смоле; 5 — уплотияющий профиль из эластичного пенополиуретана; 6 — бакелизированная фанера; 7 — герметизирующая мастика; 8 — участок теплоизоляции, пропитанный синтетическими смолами

При расчете толіцины слоя теплоизоляции учитываем сопротивление только слоев, расположенных выше обогревающих устройств. Поэтому при расчете сопротивления теплопередаче бетонной подготовки с обогревающим устройством учитываем половину ее толшины.

По известным данным рассчитываем толщину слоя теплоизоляции

$$\begin{split} \delta_{\text{M3}} = & \lambda_{\text{M3}} \left[\frac{1}{k} - \left(\frac{1}{\alpha_{\text{B}}} + \frac{\delta_{\text{BC}}}{\lambda_{\text{BC}}} + \frac{\delta_{\text{MG}}}{\lambda_{\text{MG}}} + \frac{0,506}{\lambda_{\text{G}}} \right) \right] = 0,19 \times \\ & \times \left[\frac{1}{0,17} - \left(\frac{1}{10,44} + \frac{0,06}{0,8} + \frac{0,12}{1,5} + \frac{0,5\cdot0.1}{1,2} \right) \right] = 1,06 \text{ M}; \end{split}$$

Тепловой мостик в конструкции пола, образующийся вследствие наличия колонны, не учитываем, так как колонна имеет теплоизоляцию на высоту до 1,5 м.

Пример XI—5. Определить воэможность конденсации влаги на внутренней поверхности наружной стены для условий холодного периода года в камере хранения охлажденных грузов с воздушной системой охлаждения. Холодильник расположен в Красноярске. Теплоизоляционная конструкция наружной стены выполнена из панелей типа «сэндвич» (рис. XI—4). В качестве теплоизоляционного материала применен пенополиуретан [λ_{n3} =0,035... 0,04 BT/(м·K)], а наружная обшивка панелей выполнена из алюминиевых листов [λ_{n3} =210 BT/(м·K)]. Параметры воздуха в камере: температура t_{B} =0°C, относительная влажность ϕ_{B} =90%. Расчет выполнить применительно к сплошной части конструкции ограждения.

Чтобы не допустить конденсацию влаги на панели (со стороны камеры) в холодный период года, необходимо выполнить условие

$$k_{\mathbf{A}} \leq k_{\mathbf{p}} = 0.95 \alpha_{\mathbf{B}} \frac{t_{\mathbf{s}} - t_{\mathbf{p}}}{(t_{\mathbf{s}} - t_{\mathbf{B}, \mathbf{p}_{\alpha}})^{m}},$$

где $k_{\rm p}$ — коэффициент теплопередачи, рассчитанный из условия невыпадения влаги на теплой поверхности ограждения, ${\rm Br}/({\rm M}^2\cdot{\rm K});\ t_{\rm p}$ — температура точки росы при заданных $t_{\rm B}$ и $\phi_{\rm B};\ t_{\rm H,p_x}$ — расчетная температура наружного воздуха для холодного периода, °C; m — массивность ограждения (для холодильных камер m=1).

На основании данных табл. XI—5: при умеренной циркуляции воздуха α_B = 9,28 BT/(\mathbf{M}^2 · K); α_H = 23,3 BT/(\mathbf{M}^2 · K).

При температуре $t_{\rm B} = 0^{\circ}{\rm C}$ и относительной влажности $\phi_{\rm B} = 90\,\%$ температура $t_{\rm p} = -1,3^{\circ}{\rm C}$ (см. I-d-диаграмму); расчетная температура наружного воздуха для Красноярска $t_{\rm H.p_x} = -40^{\circ}{\rm C}$. Тогда

$$k_p = 0.95 \cdot 9.28 \frac{0 - (-1.3)}{[0 - (-40)]!} = 0.286 \text{ Br/(M}^2 \cdot \text{K)},$$

Действительный коэффициент теплопередачи

$$k_{\rm H} = \frac{1}{\frac{1}{\alpha_{\rm H}} + 2 \frac{\delta_{\rm HS}}{\lambda_{\rm AB}} + \frac{1}{\lambda_{\rm HS}} + \frac{1}{\alpha_{\rm S}}} = \frac{1}{\frac{1}{23.3} + 2 \frac{0.003}{210} + \frac{0.14}{0.038} + \frac{1}{9.28}} = 0.26 \text{ Br/(M}^2 \cdot \text{K)}^*.$$

Получаем, что $k_{\rm g} < k_{\rm p}$. Следовательно, условие невыпадения влаги на поверхности ограждения соблюдается.

Таким образом, в холодильной камере с наружной стеной, выполненной в виде панелей «сэндвич», имеющих $k_{\rm p}\!=\!0,\!286~{\rm Br}/({\rm m}^2\cdot{\rm K})$ и $k_{\rm d}\!=\!0,\!26~{\rm Br}/({\rm m}^2\cdot{\rm K})$, условия, при которых возможна конденсация водяных паров из воздуха на внутренней поверхности наружной стены, не возникают, если температура наружного воздуха $t_{\rm H,p}\!\geqslant\!-40^{\circ}{\rm C}$, а параметры внутреннего воздуха соответствуют заданным.

Пример XI—6. Из условия невыпадения влаги на теплой поверхности ограждения определить правильность выбора толщины теплоизоляции всасывающего трубопровода, проходящего через помещение, в котором параметры воздуха соответствуют температуре $t_{\rm H}=10^{\circ}{\rm C}$ и относительной влажности $\phi_{\rm H}=75\%$. Температура холодильного агента, проходящего по трубопроводу, $t_{\rm 0}=-45^{\circ}{\rm C}$. Трубопровод диаметром $d_{\rm TD}=108\times4$ мм изолирован скорлупами СК-5 из пенополистирола [$\lambda_{\rm H3}=0.035~{\rm Bt/(M\cdot K)}$]. Наружный диаметр теплоизоляции $D_{\rm H3}=260~{\rm Mm}$.

Минимальную толщину теплоизоляции холодильных трубопроводов, обеспечивающую предотвращение конденсации водяных паров из окружающего воздуха, определяют из уравнения

$$\frac{t_{\mathtt{H}}-t_0}{t_{\mathtt{H}}-t_{\mathtt{p}}} \leqslant 1 + \frac{\alpha_{\mathtt{n}}D_{\mathtt{m}s}}{2\lambda_{\mathtt{m}s}} \ln \frac{D_{\mathtt{m}s}}{d_{\mathtt{T}\mathtt{p}}},$$

где t_p — температура точки росы окружающего воздуха, °С; α_n — коэффициент теплоотдачи от окружающего воздуха к наружной поверхности трубопровода, $Bt/(M^2\cdot K)$.

^{*} Толщина панели в расчете принята по средним размерам.

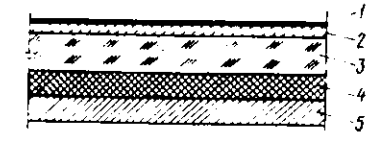


Рис. XI—5. Изоляция кровли холодильника:

1— кровельный рулонный ковер (пять слоев гидроизола на горячей битумной мастике) $(\delta_{\Pi}=12~{\rm km});$ 3— засыпная стяжка $(\delta_{\Phi}=40~{\rm km});$ 3— засыпная теплоизоляция из кеамитового гравия; 4— плитная теплоизоляция из ПСБ-С толщиной 130 мм (два слоя по 50 мм и один слой 30 мм); 5— железобетонная плита гладкая $(\delta_{\rm MG}=220~{\rm km})$

Принимаем $\alpha_{\rm H} = 7~{\rm Br/(m^2 \cdot K)}$. Из I - d-диаграммы находим, что температура точки росы воздуха $t_{\rm p} = 5,4~{\rm ^{\circ}C}$ (при $t_{\rm H} = 10~{\rm ^{\circ}C}$ и $\phi_{\rm H} = 75~{\rm ^{\circ}M}$).

Условие невыпадения влаги из воздуха на наружной поверхности трубопровода записываем в следующем виде:

$$\frac{10 - (-45)}{10 - 5,4} \le 1 + \frac{7 \cdot 0,26}{2 \cdot 0,035} \ln \frac{0,26}{0,108} ;$$

$$11.95 < 28.84.$$

Результаты расчета показывают, что необходимое условие, при котором

левая часть неравенства должна быть меньше правой, соблюдается. Таким образом, при заданных исходных параметрах конденсация водяных паров из воздуха на поверхности трубопровода не возникает.

Пример XI—7. Определить толщину теплоизоляции кровли холодильника над камерами хранения мороженых грузов, оборудованными батарейной системой охлаждения ($t_{\rm B}$ = -20° C). Холодильник расположен в Астрахани. Схема кровли представлена на рис. XI—5.

Среднегодовая температура для Астрахани равна 9,4°С. По табл. XI—1 коэффициент теплопередачи покрытия при указанных исходных данных равен 0,2 Вт/(м²·К).

Принимаем комбинированную теплоизоляцию кровли, которая состоит из плитной изоляции типа ПСБ-С толщиной 130 мм и засыпной изоляции, выполненной из керамзитового гравия.

По табл. XI—5 находим: $\alpha_{\rm H}=23,3~{\rm Br/(M^2\cdot K)}$; $\alpha_{\rm B}=5,81~{\rm Br/(M^2\cdot K)}$. По приложению 15 определяем коэффициент теплопроводности гидроизола $\lambda_{\rm H}$, бетонной стяжки $\lambda_{\rm G}$, керамзитового гравня $\lambda_{\rm HS}$, тепловой плитной изоляции $\lambda_{\rm HGG-C}$ и железобетонной плиты $\lambda_{\rm HG}$.

При известных данных рассчитываем толщину слоя засыпной изоляции

$$\begin{split} \delta_{\text{M3}} = \lambda_{\text{M3}} \bigg[& \frac{1}{k} - \bigg(\frac{1}{\alpha_{\text{M}}} + \frac{\delta_{\text{M}}}{\lambda_{\text{M}}} + \frac{\delta_{\text{5}}}{\lambda_{\text{6}}} + \frac{\delta_{\text{M} \, \text{6} - \text{0}}}{\lambda_{\text{M} \, \text{6} \, \text{6} - \text{0}}} + \frac{\delta_{\text{M} \, \text{5}}}{\lambda_{\text{M}} \, \text{6}} + \frac{1}{\alpha_{\text{B}}} \; \bigg) \bigg] \; = \\ = 0.2 \bigg[\; \frac{1}{0.2} - \bigg(\frac{1}{23.3} + \frac{0.012}{0.3} + \frac{0.04}{1.2} + \frac{0.13}{0.047} + \frac{0.22}{1.5} + \frac{1}{5.81} \; \bigg) \bigg] = 0.36 \; \text{M} \, . \end{split}$$

ГЛАВА XII. РАСЧЕТ ТЕПЛОПРИТОКОВ В ОХЛАЖДАЕМЫЕ ПОМЕЩЕНИЯ

Расчет теплопритоков выполняют для определения мощности холодильной установки, а также для определения тепловой нагрузки на компрессоры и камерное оборудование. Мощность холодильной установки должна быть до-

статочной для компенсации всех теплопритоков, поступающих в охлаждаемые помещения или возникающих в них, а также теплопритоков к рабочим веществам (холодильным агентам и хладоносителям) при их транспортировании по трубопроводам. Расчет выполняют отдельно по всем камерам и аппаратам. При этом определяют теплопритоки через ограждения Q_1 (стены, полы, перекрытия, покрытия), от продуктов при их холодильной обработке и хранении Q_2 , от наружного воздуха, поступающего в помещейия при их вентиляции, Q_3 , эксплуатационные Q_4 , от плодов и овощей при их дыхании Q_5 . Общий теплоприток (в кВт)

$$\Sigma Q = Q_1 + Q_2 + Q_3 + Q_4 + Q_5. \qquad (XII-1)$$

Период, для которого определяют теплопритоки, называют расчетным. В качестве расчетного принимают наиболее напряженный период работы холодильной установки. Обычно за расчетный принимают период, в котором совпадает максимум двух теплопритоков Q_1 и Q_2 (период, соответствующий наиболее высокой температуре наружного воздуха и максимальному поступлению продуктов в холодильник).

Теплопритоки через наружные стены и покрытия холодильника определяют по формулам:

$$Q_1 = Q_{1\tau} + Q_{1c} , \qquad (XII-2)$$

где $Q_{1\tau}$, Q_{1c} — теплопритоки в охлаждаемое помещение соответственно вследствие разности температур и действия солнечной радиации, кВт;

$$Q_{1T} = k_{\pi}F(t_{HP} - t_{B}) 10^{-3};$$
 (XII—3)

$$Q_{1c} = k_{R}F\Delta t_{c} \cdot 10^{-3}, \qquad (XII-4)$$

где $k_{\rm A}$ — действительный коэффициент теплопередачи наружного ограждения, ${\rm Br}/({\rm H}^2\cdot{\rm K});~F$ — площадь поверхности наружного ограждения, ${\rm M}^2;~t_{\rm Rp}$ — расчетная температура наружного воздуха, принимаемая по справочным данным, °C; $t_{\rm B}$ — температура воздуха в охлаждаемом помещении, принимаемая по технологическим нормам в зависимости от назначения камер (аппаратов) и вида продуктов, °C; $\Delta t_{\rm C}$ — избыточная разность температур, вызванная действием солнечной радиации и принимаемая по нормативным материалам в зависимости от характера ограждения и ориентации его по странам света, °C.

При определении площади поверхности наружных ограждений необходимо принимать:

длину наружных стен неугловых помещений — между осями внутренних стен, а угловых помещений — от внешних поверхностей стен до осей внутренних стен;

высоту стен — от уровня пола данного этажа до поверхности пола выше расположенного этажа (для первого этажа, расположенного на грунте, и промежуточных этажей) или от уровня пола данного этажа до верха засыпки покрытия (в одноэтажном холодильнике, размещенном непосредственно на грунте, и в верхнем этаже многоэтажного холодильника), от поверхности потол-ка подвала до уровня пола выше расположенного потолка;

длину и ширину пола и потолка — между осями внутренних стен или от внутренней поверхности наружных стен до оси внутренних стен,

Теплопритоки $Q_{1\tau}$ и Q_{1c} через покрытие учитывают одинаково при опре-

делении тепловой нагрузки на компрессор и камерное оборудование.

Теплоприток Q_{1c} через наружные стены определяют следующим образом: при расчете тепловой нагрузки на компрессор определяют Q_{1c} для одной из стен холодильника. При этом выбирают стену с наиболее неблагоприятной ориентацией относительно солнечного излучения, для которой сумма произведений $\Sigma k F \Delta t_c$ является наибольшей. При расчете тепловой нагрузки на оборудование Q_{1c} определяют для стены каждой камеры, характеризующейся наибольшим произведением $F\Delta t_c$.

Теплопритоки через перегородки между камерами и перекрытия определяют по формуле

$$Q_{1T} = k_{\rm H} F (t_{\rm B,H} - t_{\rm B}) 10^{-3} , \qquad (XII - 5)$$

где $t_{\rm B.H}$ — температура воздуха в смежной камере, °C; $t_{\rm B}$ — температура воздуха в камере, °C.

При расчете площади поверхности внутренних перегородок за длину перегородок принимают расстояние от внутренней поверхности наружных стен до оси параллельных им внутренних стен или расстояние между осями внутренних стен.

При расчете тепловой нагрузки на камерное оборудование учитывают

только положительные теплопритоки.

Теплопритоки из неохлаждаемых помещений (тамбуров, вестибюлей, коридоров) находят из уравнения

$$Q_{1T} = k_{\rm II} F \Delta t_{\rm p} \cdot 10^{-3} \,, \tag{XII-6}$$

где Δt_p — расчетная разность температур, принимаемая в зависимости от расчетной разности температур для наружных стен $(t_{\rm H,p}-t_{\rm h})$ в размере 70%, если неохлаждаемое помещение имеет выход непосредственно наружу, 60% — если неохлаждаемое помещение не имеет непосредственного выхода наружу, 50% — при определении теплопритока через пол из неохлаждаемого подвала, °C.

Указанные теплопритоки учитывают одинаково при определении тепловой

нагрузки на компрессор и камерное оборудование.

Теплопритоки через полы определяют по следующим зависимостям:

если пол низкотемпературного помещения расположен на грунте и не имеет обогревающих устройств,

$$Q_{1\tau} = Ft_{2} \frac{1}{R_0} 10^{-3}; (XII-7)$$

если пол низкотемпературного помещения расположен на грунте и имеет обогревающие устройства,

$$Q_{t\tau} = k_{\pi \circ \pi} F(t_{cp} - t_s) 10^{-3};$$
 (XII—8)

если неизолированный пол не имеет обогревающих устройств и расположен на грунте при m=1;

$$Q_{1T} = m(t_{HP} - t_B) \Sigma (k_{yc,n} F_a) 10^{-3}$$
, (XII—9)

где R_0 — сумма термических сопротивлений замороженного грунта (от нулевой изотермы), пола, м²·К/Вт; k_{non} — коэффициент теплопередачи пола, Вт/(м²·К); t_{op} — средняя температура слоя с обогревающими устройствами, °С; m— коэффициент, учитывающий относительное возрастание термического сопротивления пола при наличии теплоизоляции; k_{yen} — условный коэффициент теплопередачи соответствующей зоны пола двухметровой ширины площадью F_{a} , Вт/(м²·К); для зон, расположенных от наружных стен на расстоянии до 2 м, k_{yen} принимают 0,47 Вт/(м²·К), от 2 до 4 м— 0,23, от 4 до 6 м— 0,12, а для остальной площади пола— 0,07 Вт/(м²·К).

Указанный теплоприток учитывают одинаково при определении тепловой

нагрузки на компрессор и камерное оборудование.

При определении теплопритока от продуктов и тары Q_2 чаще всего применяют следующие зависимости:

$$Q_{\pi p} = \frac{G_{\pi p}(i_1 - i_2)}{24 \cdot 3600} \cdot \frac{\tau_{u}}{\tau_{pa6}}; \qquad (XII-10)$$

$$Q_{\tau} = \frac{G_{\tau}c_{\tau} (t_{\tau_{i}} - t_{\tau_{2}})}{24 \cdot 3600} \cdot \frac{\tau_{u}}{\tau_{pa6}}; \qquad (XII-11)$$

$$Q_2 = Q_{\text{np}} + Q_T \tag{XII-12}$$

где G_{np} — масса продукта, поступающего на холодильную обработку, кг в сутки; i_1 , i_2 — начальная и конечная энтальпия продукта, к \mathbb{Z} ж \mathbb{Z} — продолжительность цикла технологической обработки продукта; τ_{pa6} — продолжительность рабочего периода, в течение которого потребляется холод; G_7 — масса тары, кг в сутки; c_7 — удельная теплоемкость материала тары, к \mathbb{Z} ж \mathbb{Z} \mathbb{Z} \mathbb{Z} — начальная и конечная температура тары, °C.

кДж/(кг·К); t_{7_1} , t_{7_2} — начальная и конечная температура тары, °С. При расчете Q_2 для камер хранения суточное поступление продуктов принимают равным 8% емкости E камер, если E не превышает 200 т, и 6%—

если Е более 200 т.

Теплоприток Q_2 учитывают полностью при определении тепловой нагрузки на компрессор. При определении тепловой нагрузки на камерное оборудование, устанавливаемое в камерах холодильной обработки периодического действия, теплоприток Q_2 принимают с коэффициентом $1,3\dots 1,5$ в зависимости от назначения камеры и вида продуктов.

В зависимости от назначения вентиляции теплоприток Q₃ определяют с

помощью следующих зависимостей:

при создании необходимых санитарных условий для работающих людей

$$Q_{s} = \frac{20n\rho_{s}(I_{HP} - I_{s})}{3600}; \qquad (XII - 13)$$

при создании необходимых технологических условий для продуктов

$$Q_{3} = \frac{V_{\text{crp}} a \rho_{b} (I_{\text{mp}} - I_{b})}{24.3600} , \qquad (XII-14)$$

где 20 — количество наружного воздуха, подаваемого в охлаждаемое номещение на одного работающего, м 3 /ч; n — количество одновременно работающих людей; ρ_n — плотность воздуха в помещении, кг/м 3 ; $V_{\text{стр}}$ — строительный объем камеры, м 3 ; a — кратность вентиляции, 1/сут (a = 1 . . . 6 объемов в сутки); $I_{\text{пр}}$, I_{n} — энтальпия наружного и внутреннего воздуха, кДж/кг.

Теплоприток Q₃ учитывают одинаково при определении тепловой нагрузки

на компрессор и камерное оборудование.

Теплоприток Q₄ при эксплуатации камер определяют по формуле

$$Q_4 = Q_4^{T} + Q_4^{TI} + Q_4^{TII} + Q_4^{TV}, (XII-15)$$

где Q_4^{I} , Q_4^{III} , Q_4^{III} , Q_4^{IV} — теплопритоки соответственно от системы освещения, электродвигателей, людей и при открывании дверей, кВт;

$$Q_4^{\rm I} = q_4^{\rm I} F_{\rm crp} \cdot 10^{-3}$$
; (XII—16)

при расположении электродвигателей в охлаждаемом помещении

$$Q_{\bullet}^{II} = \eta_{ORB} \Sigma N_{OR}; \qquad (XII-17)$$

при расположении электродвигателей вне охлаждаемого помещения:

$$Q_{\bullet}^{II} = \eta_{0\pi B} \Sigma N_{0\pi} \eta_{0\pi}; \qquad (XII-18)$$

$$Q_{\bullet}^{\text{III}} = 350n \cdot 10^{-2}$$
; (XII—19)

$$Q_4^{\text{IV}} = q_4^{\text{IV}} F_{\text{crp}} \cdot 10^{-3}$$
, (XII—20)

 $q_4^{\rm T}$ — удельный теплоприток от системы освещения, ${\rm Br/m^2}$; $F_{\rm crp}$ — строительная площадь камеры, ${\rm M^2}$; $\eta_{\rm ogh}$ — коэффициент одновременности работы электродвигателей; $N_{\rm sn}$ — мощность электродвигателей, ${\rm kBr}$; $\eta_{\rm sn}$ — КПД электродвигателей; $q_4^{\rm TV}$ — удельный теплоприток, возникающий при открывании дверей, ${\rm Br/m^2}$; 350 — тепловыделение одним человеком, ${\rm Br}$.

Теплоприток Q_4 учитывают полностью, если определяют тепловую нагрузку на камерное оборудование. При определении тепловой нагрузки на ком-

прессор теплоприток Q_4 принимают с коэффициентом 0,5-0,75.

Теплоприток Q_5 от дыхания плодов и овощей определяют с учетом удельной теплоты дыхания и массы плодов и овощей:

$$Q_5 = [q_5^{1}G_{\pi p} + q_5^{11}(E - G_{\pi p})]10^{-3}$$
, (XII—21)

где $q_5^{\ I}$ — удельная теплота дыхания плодов и овощей при их охлаждении, $B\tau/\tau$; G_{np} — масса плодов и овощей, поступающих на охлаждение, τ в сутки; $q_5^{\ II}$ — удельная теплота дыхания плодов и овощей при их хранении, $B\tau/\tau$;

$$q_5 \stackrel{\text{\tiny 1}}{=} q_0 e^{bt_{\text{\tiny B.CP}}}; \qquad (XII-22)$$

$$q_5^{11} = q_0 e^{bt_B},$$
 (XII—23)

 q_0 — удельная теплота дыхания при 0°С. Вт/т; b — температурный коэффициент скорости дыхания, 1/°С; $t_{B,Op}$ — средняя температура охлаждаемых продуктов, °С; t_B — температура внутреннего воздуха, °С.

Теплоприток Q_5 учитывают полностью при расчете тепловой нагрузки на

компрессор и камерное оборудование.

По каждой камере или группе камер, работающих с одинаковым температурным режимом, определяют общий теплоприток ΣQ (в кВт). Учитывая вышеназванные замечания по расчету Q_2 и Q_4 , получают два значения $\Sigma Q(\Sigma Q'$ и $\Sigma Q''$), которые представляют собой тепловую нагрузку соответственно:

на компрессоры

$$\Sigma Q' = Q_0 = Q_{0_1} + Q_{0_2} + Q_{0_3} + \dots$$
 (XII—24)

и камерное оборудование

$$\Sigma Q'' = Q_{06} = Q_{06_1} + Q_{06_2} + Q_{06_3} + \dots$$
 (XII—25)

По значениям Q_0 подбирают оборудование машинного отделения, а по значениям Q_{00} — камерное оборудование.

Пример XII—1. Определить теплопритоки в камеры холодильника, предназначенного для длительного хранения яблок в регулируемой газовой среде, а также тепловую нагрузку на компрессоры и камерное оборудование, если емкость холодильника $E_{\text{хол}} = 1110$ т. Холодильник расположен в районе Краснодара. Температура среды в камерах $t_{\text{в}} = 0^{\circ}\text{C}$, относительная влажность $\phi_{\text{в}} = 90\%$; расчетная температура наружного воздуха $t_{\text{нp}} = +34^{\circ}\text{C}$; действительные коэффициенты теплопередачи наруж-

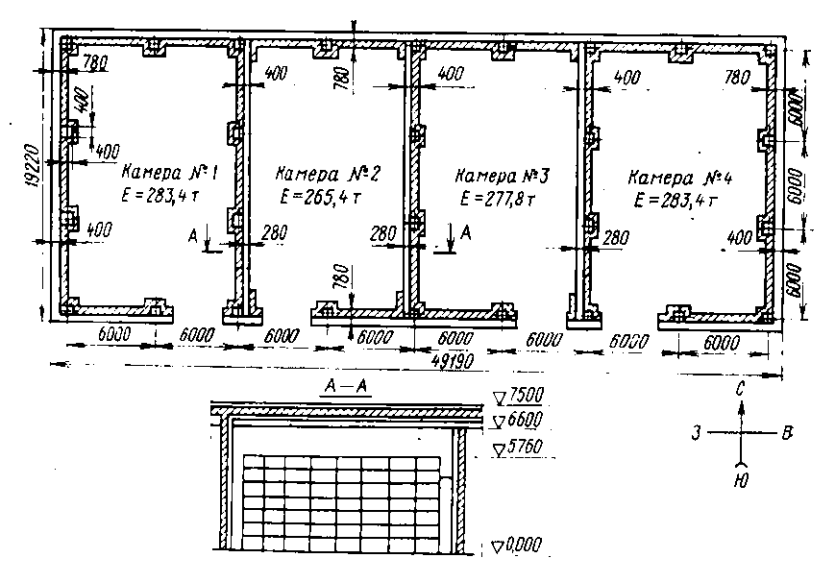


Рис. XII—1. Схема холодильника к расчету теплопритоков Q_1 через стены, перегородки и покрытия

ных ограждений соответствуют данным табл. XII—1, а размеры ограждений и емкости камер — данным, приведенным на рис. XII—1 и рис. XII—2; ориентация ограждений холодильника по странам света соответствует рис. XII—1. Стены холодильника побелены известью, плоская кровля покрыта темным рубероидом. Суточное поступление продуктов составляет 10% емкости холодильника. Температура поступающего продукта равна 25°C.

Для каждой камеры холодильника выполняем расчет теплопритоков:

для режима охлаждения; для режима хранения;

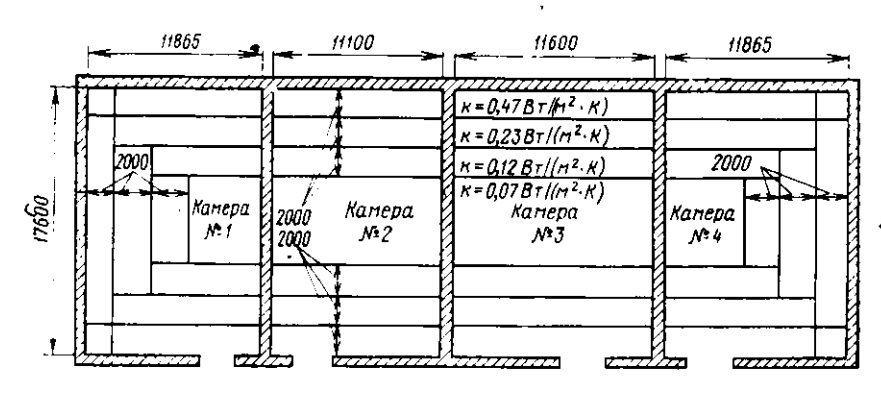


Рис. XII—2. Схема холодильника к расчету теплопритоков Q_1 через полы

		83 83	раж-	опе-	Разм	еры ограж	дения
Номер камеры	Ограждение	Температура возяуха в помещении, °С	Температура за ограж. деннем, °С	Коэффициент теплопе- редачи, Вт/(м².К)	длина, м	ширина или вы- сота, и	площадь поверх- ности, м²
1	Стена северная	0	34	0,219	12,845	7,5	96,34
	Стена западная	0	34	0,219	19,22	7,5	144,15
	Стена южная	0	34	0,219	12,845	7,5	96,34
	Перегородка в камеру № 2	0	0	0,58	17,66	7,5	132,45
	Пол	0	34	$\Sigma(k,$	$c_n F) = 5$	9,87 B _T /	K
	Покрытие	0	34	0,23	17,66	12,065	213,07
	Итого		_	-	-	_	_
2	Перегородка в камеры № 1 и № 3	0	0	0,58	17,66	7,5	132,45
	Стена северная	0	34	0,219	11,5	7,5	86,25
	Стена южная	0	34	0,219	11,5	7,5	86,25
	Пол	0	34	Σ (k	ycnF) = 4	10,8 Вт/К	ζ
	Покрытие	0	34	0.23	17,66	11,5	203,09
	Итого		_	_		****	-
3	Перегородка в камеры № 2 и № 4	0	0	0,58	17,66	7,5	132,45
	Стена северная	0	34	0,219	12.0	7,5	90.0
	Стена южная	0	34	0,219	12,0	7,5	90,0
	Пол	0	34	-	ycnF) = 4	12,63 Вт/	K
	Потолок	0	34	0,23	17,66	12,0	211,92
	Итого	_	_	-			_
4	Перегородка в камеру № 3	0	0	0,58	17,66	7,5	132,45
	Стена северная	0	34	0,219	12,845	7,5	96,34
	Стена восточная	0	34	0,219	19,22	7,5	144,15
	Стена южная	0	34	0,219	12,845	7.5	96,34
	Пол	0	34	Σ (A	$e_{ycn}F) =$		
	Потолок	0	34	0,23	17,66	12,065	213,07
	Итого	<i>- '</i>			_	-	_

При централизованном и децентрализованном способах охлаждения.
 При централизованном способе охлаждения.
 При децентрализованном способе охлаждения.

f.o.	Теплоп $Q_{ m lT}$,	кВт	T	еплоприток Q _{1с} , кВт			Теплоприта Q ₁ , кВт	о к
Избыточная разность температур МС, С	тепловая нагруз- ка на компрес- сор®	тепловая нагруз- ка на камерное оборудование	тепловая нагруз- ка на компрес- сор*\$	тепловая нагруз- ка на компрес- сор ^{фтф}	тепловач нагруз- ка на оборудо- вание	тепловая нагруз- ка на компрес- сор ^{фф}	тепловая нагруз- ка на компрес- сорезе	тепловая нагруз- ка на камерное оборудование
0	0,717	0,717	0	0	0	0,717	0,717	0,717
7,2	1,073	1,073	_	0,227	0,227	1,073	1,3	1,3
4,9	0,717	0,717	0,103	_	_	0,82	0,717	0,717
_	0	0	0	0	0	0	0	0
_	2,036	2,036				2,036	2,036	2,036
17,7	1,666	1,666	0,867	0,867	0,867	2,53	2,53	2,53
	_				_	7,18	7,3	7,3
	0	ō	0	0	0	0	0	0
0	0,642	0,642	0	0	0	0,642	0,642	0,642
4,9	0,642	0,642	0,092	0,092	0,092	0,734	0,734	0,734
_	1,387	1,387	-		_	1,387	1,387	1,387
17.7	1,588	1,588	0,826	0.826	0,826	2,414	2,414	2,414
_		_	-	-	_	5,178	5,178	5,178
_	0	0	0	0	0	0	0	0
0	0,67	0,67	0	0	0	0,67	0,67	0,67
4,9	0,67	0,67	0,097	0,097	0,097	0,766	0,766	0,766 ·
	1,45	1,45	_	_		1,45	1,45	1,45
17.7	1,657	1,657	0,862	0.862	0,862	2,52	2,52	2,52
	-	_	_	_	_	5,406	5,406	5,406
Ţ	0	0	0	0	0	0	0	0
0	0,717		0	0	0	0,717	0,717	0,717
6,0	1,073		_	0,189	0,189	1,073	1,263	1,263
4.9	0,717		0,103	-	_	0.82	0,717	0,717
_	2,036		_			2,036	2,036	2,036
17,7	1,666	1,666	0,867	0,867	0,867	2,533	2,533	2,533
_	-	-	_	_		7,18	7,266	7,266

для способа охлаждения камер от центрального машинного отделения;

для способа децентрализованного охлаждения камер.

По формулам (XII—3), (XII—4), (XII—5) и (XII—9) определяем теплопритоки Q_{1T} и Q_{1C} в камеру № 1:

стена северная:

$$Q_{1\text{T}} = 0.219 \cdot 12.845 \cdot 7.5 (34 - 0) 10^{-3} = 0.717 \text{ kBT};$$

 $Q_{1\text{C}} = 0;$

стена западная:

$$Q_{1r} = 0.219 \cdot 19.22 \cdot 7.5 (34 - 0) 10^{-3} = 1.073 \text{ kBt};$$

 $Q_{1c} = 0.219 \cdot 19.22 \cdot 7.5 \cdot 7.2 \cdot 10^{-3} = 0.227 \text{ kBt};$

стена южная:

$$Q_{1\tau} = 0.219 \cdot 12.845 \cdot 7.5 (34 - 0) \cdot 10^{-3} = 0.717 \text{ kBt};$$

 $Q_{1c} = 0.219 \cdot 12.845 \cdot 7.5 \cdot 4.9 \cdot 10^{-3} = 0.103 \text{ kBt};$

перегородка в камеру № 2

$$Q_{17} = 0.58 \cdot 17.66 \cdot 7.5(0 - 0)10^{-3} = 0$$
;

покрытие:

$$Q_{1\text{T}} = 0.23 \cdot 17,66 \cdot 12,065 (34 - 0) 10^{-3} = 1,666 \text{ kBt};$$

 $Q_{1\text{C}} = 0.23 \cdot 17,66 \cdot 12,065 \cdot 17,7 \cdot 10^{-3} = 0.867 \text{ kBt};$

пол

$$Q_{1\tau} = (34-0) \cdot 1 [(2 \cdot 11,865 + 2 \cdot 11,865 + 2 \cdot 17,66) 0,47 + + (2 \cdot 9.865 + 2 \cdot 9,865 + 2 \cdot 9,66) 0,23 + (2 \cdot 7,865 + 2 \cdot 7,865 + 2 \cdot 5,66) \times \times 0,12) + (5,865 + 5,66) 0,07] 10^{-3} = 2,036 \text{ KBt}.$$

В табл. XII—1 приведены результаты расчета $Q_{1\tau}$ и Q_{1c} через ограждения всех камер. Однако не все теплопритоки учтены одинаково при определении тепловой нагрузки на компрессор и камерное оборудование. Так, при расчете тепловой нагрузки на компрессор учтен теплоприток Q_{1c} только через южную стену (как наибольший), на камерное оборудование— теплоприток Q_{1c} через ту стену, через которую для данной камеры он является наибольшим.

При определении теплопритока Q_2 предварительно рассчитываем массу продукта

$$G_{\rm np} = 0.1 E_{\rm xon} = 0.1 \cdot 1110 = 111$$
 т в сутки,

а затем массу тары

$$G_{\rm T} = 0.2G_{\rm HP} = 0.2 \cdot 111 = 22.2 \text{ T/cyt.}$$

Теплоприток Q_2 для всех камер холодильника при работе их в режиме охлаждения рассчитываем с учетом формул (XII—10), (XII—11), (XII—12), а также энтальпий продукта (приложение 10), продолжительности работы в режиме охлаждения $\tau_{\text{раб}} = 20$ ч и удельной теплоемкости тары $c_{\tau} = 2.5$ кДж/(кг·К);

$$\Sigma Q_{\rm up} = G_{\rm np} = \frac{(i_1 - i_2) \, 10^3}{24 \cdot 3600} = \frac{\tau_{\rm u}}{\tau_{\rm pa6}} = 111 \cdot 10^3 \frac{(366, 2 - 271, 9)}{24 \cdot 3600} \cdot \frac{24}{20} = 144,07 \text{ kBr};$$

$$\Sigma Q_{\rm T} = G_{\rm T} \frac{c_{\rm T}(t_1-t_2)10^3}{3600\cdot 24} \frac{\tau_{\rm H}}{\tau_{\rm pa6}} = 22,2\cdot 10^3 \frac{2,5(25-0)}{24\cdot 3600} \frac{24}{20} = 19,27 \text{ kBT};$$

$$\Sigma Q_2 = 144,07 + 19,27 = 163,34 \text{ kB}_T$$

Тепловую нагрузку на компрессор и камерное оборудование для каждой камеры определяем с учетом ее емкости: для камеры № 1 (№ 4)

$$Q_2 = \frac{E_{\text{RAM}_1}}{E_{\text{XOR}}} \Sigma Q_2 = \frac{283.4}{1110} 163.34 = 41.7 \text{ KB}_T;$$

для камеры № 2

$$Q_2 = \frac{E_{\text{KBM}_2}}{E_{\text{XOJT}}} \Sigma Q_2 = \frac{265,4}{1110} 163,34 = 39,05 \text{ KBT};$$

для камеры № 3

$$Q_2 = \frac{E_{\text{KaM}_3}}{E_{\text{Xo}\pi}} \Sigma Q_2 = \frac{277.8}{1110} 163.34 = 40.88 \text{ KBT}.$$

В режиме хранения теплоприток $\Sigma Q_2 = 0$.

Теплоприток Q_3 сначала определяем для режима эхлаждения фруктов в обычной воздушной среде (до включения станции газовых сред). Выполняем расчет для камеры \mathcal{N}_2 1

зовых сред). Выполняем расчет для камеры № 1
$$Q_3 = \frac{-\frac{1353 \cdot 2 \cdot 1,293(73,5-8,5)}{24 \cdot 3600} = 2,63 \text{ кВт,}$$

а затем рассчитываем Q_3 для остальных камер и результаты расчета сводим в табл. XII—2.

Для режима хранения фруктов в регулируемой газовой среде теплоприток ΣQ_3 для всех камер равен нулю, так как при работе в таком режиме камеры не вентилируются.

Теплоприток $\Sigma Q'_3$ от газа, поступающего от газогенераторов при хранении фруктов в регулируемой газовой среде, для всех камер определяем по уравнению

$$\Sigma Q_3' = \frac{V_{r\rho_r}c_r(t_r - t_B)}{3600}$$

^{*} Емкость камер № 1, 2, 3, 4 приведена в таблице примера Х-1.

	, R2		Параметры наружного воздуха		Параметры воздуха в камере				вентияя- ы в сутки	Тепло . Q ₃ ,	приток кВт	
Номер камер		о° сир∙	¢нр, %	Ізр. кДж.кг	J, 181	ΥΒ, %	PB, KT/M³	<i>I</i> в, кДж/кг	Кратность вен' цни, объемы в	тепловая на- грузка на компрессор	теплован на- грузка на ка- мерное обору- дование	
1	Хране- ние фруктов	1353,0	34	46	73,5	0	90	1,293	8,5	2	2,63	2,63
2 3 4	То же *	1267,2 1326,6 1353,0	34	46 46 46	73,5 73,5 73,5	0 0 0	90 90 90	1,293 1,293 1,293	8,5 8,5 8,5	2 2 2	2,465 2,58 2,63	2,465 2,58 2,63

где V_r — производительность газогенераторов, м³/ч; ρ_r — плотность газа, кг/м³; c_r — удельная теплоемкость газа, кДж/(кг·K); t_r — температура поступающего в камеру газа, °C.

При расчете $\Sigma Q'_3$ учитываем, что на каждые две камеры работает газогенератор типа ГНС-2А производительностью V_r = -20...100 м³/ч и предполагаем, что загрузка камер осуществляется в осенний период. Температуру газа t_r принимаем равной 25°C (примерно равной температуре воды, поступающей на газогенератор от градирен). При известных данных находим, что для всех камер холодильника

$$\Sigma Q'_3 = \frac{2 \cdot 100 \cdot 1,293 \cdot 1(25-0)}{3600} = 1,8 \text{ kBt.}$$

Тепловую нагрузку на компрессор и камерное оборудование от теплопритока $\Sigma Q'_3$ определяем пропорционально емкости камер:

для камеры № 1 (№ 4)

$$Q'_3 = \frac{283.4}{1110}1.8 = 0.459 \text{ kBt};$$

для камеры № 2

$$Q'_3 = \frac{265,4}{1110}1,8 = 0,429 \text{ kBT};$$

для камеры № 3

$$Q'_3 = \frac{277.8}{1110}1.8 = 0.45 \text{ kBt}.$$

Расчет теплопритока Q_4 выполняем с учетом формул (XII—15), (XII—16), (XII—17), (XII—19) и (XII—20).

Камера № 1: в режиме охлаждения:

$$Q_4^{\text{II}} = 1,1 \cdot 205 \cdot 10^{-3} = 0,225 \text{ kBT};$$

$$Q_4^{\text{II}} = 3,6+1,1 \cdot 4 = 8,0 \text{ kBT};$$

$$Q_4^{\text{III}} = 350 \cdot 2 \cdot 10^{-3} = 0,7 \text{ kBT};$$

$$Q_4^{\text{IV}} = 25 \cdot 205 \cdot 10^{-3} = 5,125 \text{ kBT};$$

$$Q_4 = 0,225 + 8,0 + 0,7 + 5,125 = 14,05 \text{ kBT};$$

в режиме храцения:

$$Q_4^{\text{II}} = 1,1 \cdot 205 \cdot 10^{-3} = 0,225 \text{ kBT};$$
 $Q_4^{\text{III}} = 2,2 \text{ kBT};$ $Q_4^{\text{III}} = 0;$ $Q_4^{\text{IV}} = 0;$ $Q_4 = 0,225 + 2,2 = 2,425 \text{ kBT}.$

При расчете Q_4 учтены следующие данные: $q^{\rm I}_4 = 1.1~{\rm Br/m^2}$ (как для складских помещений); при определении мощности электродвигателей, работающих в одной камере, принято, что в период загрузки работают электропогрузчик, мощность двигателя которого равна 3,6 кВт, а также воздухоохладители (в режиме охлаждения -- четыре воздухоохладителя общей мощностью двигателей вентиляторов 1,1 4 = 4,4 кВт, в режиме хранения — два воздухоохладителя общей мощностью двигателей вентиляторов $1.1 \cdot 2 = 2.2 \text{ кВт}$); количество одновременно работающих людей в период загрузки (режим охлаждения) равно двум для каждой камеры (в том числе один рабочий - водитель электропогрузчика), а в режиме хранения в камерах нет людей, т. е. $Q_{\bullet}^{\text{III}} = 0$; значение q_{\bullet}^{IV} в режиме охлаждения соответствует удельному теплопритоку для камер с площадью $F_{\rm crp}{>}200~{\rm M}^2$ при высоте $h_{\text{стр}} = 7$ м $(q_4^{\text{IV}} = 25 \text{ Br/m}^2)$, в режиме хранения этот теплоприток отсутствует в связи с тем, что камеры закрываются и герметизируются.

Затем рассчитываем Q_4 для остальных камер и результаты расчета сводим в табл. XII—3.

Тепловую нагрузку на компрессор от теплопритока Q_4 при централизованном охлаждении принимаем в размере $0,5\dots0,75$ расчетного значения Q_4 , а на камерное оборудование — Q_4 учитываем полностью.

При децентрализованном охлаждении тепловую нагрузку на компрессор и камерное оборудование рассчитываем одинаково, при этом Q_4 учитываем полностью.

,					Удельный теплоприток Ф.			
Номер камеры	Назначение камеры	Площадь камеры (строительная) Fcтр, м²	Мощность влектродви- гателей, кВт	Количе- ство людей	q ₄ , Вт/м²	σ <mark>111</mark> , Βτ	q ^{IV} , Вт,и²	
						Режи	ам охлаж	
1	Хранение	205	8	2	1,1	350	2 5	
2 3 4	фруктов * То же *	192 201 205	8 8 8	$\frac{2}{2}$	1,1 1,1 1,1	350 350 350	25 25 25	
•	-		ū	-	•,-	•	хранения	
1	Хранение	205	2,2		1,1	_	·	
2 3 4	фруктов То же *	192 201 205	2,2 2,2 2,2		1,1 1,1 1,1	=	=======================================	

	•	ပ္]	ပွ			-		Тепло		
		, ₄ ,							Q ₁		
		камере	Охлаждение	A A	тепл	овая нагру	зка	тепловая	нагрузка		
Номер камер	Назначен не камеры	Температура в ка	помещения (непосред- ственное, хладоносите- лем)	Температура кипения в	на компрессор при централизо- ванном способе охлаждения	на компрессор при децентрализо- ванном способе оклаждения	на камерное оборудование	на компрессор при централизо- ванном и децент- рализованном спо- собах рхляждення	на камерное оборудование		
					- 		Режі	им охлаж	дения в		
1	Хранение	0	Непосред- ственное	— 8	7,18	7,3	7,3	41,7	41,7		
2	фруктов То же	0	У	8	5,178	5,178	5,178	39,05	39,05		
2 3 4	>	0	*	-8 -8 -8	5,406	5,406	5,406	40,88	40,88		
4	*	0	*	- 8	7,18	7,266	7,266	41,7	41,7		
								Режи	м хран		
1	Хранение	0	Непосред-	-3	7.18	7,3.	7,3		_		
2 •3	фруктов То же	0	ственное	— 3	5,178	5,178	5,178	_	_		
•3	*	0	>	-3 -3 -3	5,406	5,406	5,406	_			
4	>	0	>	3	7,18	7,266	7,266	_			

	Теплоприт	ок <i>Q∢</i> , кВт		Тепловая нагрузка (от теплопритока Q ₄)					
Q ¹	Q_4^{II}	Q ^{III}	7 ^{IV}	на компрессор (при централи- зованном способе охлаждения)	на компрессор (при децент- рализованиом способе охлаждения)	на камерное оборудовачне			
дения фру	ктов								
0,225	8,0	0,7	5,125	10,54	14,05	14,05			
0.211	8,0	0.7	4,8	10,285	13,71	13,71			
$0,221 \\ 0,225$	8,0 $8,0$	$0.7 \\ 0.7$	5,025 $5,125$	10,46 10,54	$\frac{13,95}{14,05}$	13,95 . $14,05$			
фруктов в	РГС				,				
0,225	2,2	_		1,82	2,425	2,425			
0,211	2,2		_	1,810	2,41	2,41			
$0,221 \\ 0,225$	$^{2,2}_{2,2}$	_	-	$\frac{1.815}{1.82}$	$\frac{2,42}{2,425}$	$\frac{2,42}{2,425}$			

Таблица XII—4

притоки							Общая т	епловая і	нагрузка
Q3 H Q3'			Q,		Q	3	± 40	Ī	ļ.
тепловая з	нагрузка	тепло	вая нагруз	ка	гепловая	нагрузка	при цен- способе	cno-	흨
на компре сор ванном и децен- транязован ом стособах охлаж-	на камерное оборудование	на компрессор при централнзо- валном способе охлаждения	на компрессор при децентрали- зованном способе охлаждення	на камерное оборудование	на компрессор	на оборудование	на компрессор при трализованном спос охлаждения	на компрессор при центрялизованном собе охлаждения	на камерное оборудо- вание
воздушн	юй сред	e							-
2,63	2,63	10,54	14,05	14,05	3,71	3,71	65,76	69,4	69,4
2,63 2,63 2,63	2,63 2,63 2,63	10,285 $10,46$ $10,54$	13,71 13,95 14,05	13,71 13,95 14,05	3,48 3,64 3,71	3,48 3,64 3,71	60,62 63,016 65,76	64,05 66,5 69,36	64,05 66,5 69,36
auua a D	rc						255 ,16		
ения в Р 0,459	0,459	1,82	2,425	2,425	5 1,417	1,417	10.88	11,6	11,6
0,429 0,449 0,459	0,429 0,449 20,459	1,81 1,815 1,82	2,41 2,421 2,425	2,41 2,421 2,425	1,326 1,39 5 1,417	1,39	8,75 9,06 10,88 39,57	9,35 9,67 11,57	9,35 9,67 11,57

В режиме охлаждения теплоприток ΣQ_5 для всех камер рассчитываем по формуле (XII—21):

$$\Sigma Q_5 = [41 \cdot 111 + 10 (1110 - 111)]10^{-3} = 14,54 \text{ KB}_T.$$

Удельная теплота q_5' и q_5'' определена с помощью уравнений (XII—22) и (XII—23) и данных, приведенных в приложении 11 (для яблок поздних сортов). При этом удельная теплота q_5' найдена при средней температуре продукта

$$t_{\text{mp}_{\text{cp}}} = \frac{25+0}{2} = 12,5 \, ^{\circ}\text{C}.$$

Удельная теплота q_5 " определена при температуре воздуха $t_8 = 0$ °C.

Тепловую нагрузку на компрессоры (при любом способе охлаждения) и камерное оборудование от теплопритока ΣQ_5 определяем в соответствии с емкостью камер:

для камеры № 1 (№ 4)

$$Q_5 = \frac{283.4}{1110} 14,54 = 3,71 \text{ kBT};$$

для камеры № 2

$$Q_5 = \frac{265.4}{1110}14.54 = 3.48 \text{ kBt};$$

для камеры № 3

$$Q_5 = \frac{277.4}{1110}14,54 = 3.64 \text{ KBT}.$$

В режиме хранения теплоприток ΣQ_5 для всех камер принимаем

$$\Sigma Q_{5,\text{nec}} = 0.5q_5''E_{\text{xo}\pi} \cdot 10^{-3} = 0.5 \cdot 10 \cdot 1110 \cdot 10^{-3} = 5.55 \text{ kBt}.$$

Тепловую нагрузку на компрессор и камерное оборудование от теплопритока $\Sigma Q_{\rm 5prc}$ определяем так же, как и в предыдущем расчете:

для камеры № 1 (№ 4)

$$Q_{5 \, \rm nrc} = 1,417 \, \, {\rm KBT};$$

для камеры № 2

$$Q_{5 \text{ prc}} = 1,326 \text{ kBr}$$
;

для камеры № 3

$$Q_{5,\text{nrg}} = 1.39 \text{ kBt}$$
.

Затем по уравнению (XII—1) рассчитываем общий теплоприток ΣQ . Результаты расчетов сводим в табл. XII—4.

ГЛАВА XIII. РАСЧЕТ И ПОДБОР КАМЕРНОГО ОБОРУДОВАНИЯ

При расчете камерного оборудования определяют площадь теплопередающей поверхности приборов охлаждения (охлаждающих батарей, воздухоохладителей). При этом коэффициенты теплопередачи рассчитывают или находят по справочным данным. Для камер с воздущной системой охлаждения дополнительно рассчитывают систему воздухораспределения. Подбор приборов охлаждения, вентиляторов и другого оборудования осуществляют по каталогам и данным, приведенным в приложениях. Кроме того, выполняют расчет вместимости приборов охлаждения и их металлоемкости.

Пример XIII—1. Определить необходимую площадь теплопередающей поверхности и общую длину труб охлаждающих батарей, а также вместимость и металлоемкость батарей, если известно, что батареи установлены в камере хранения неупакованных мороженых грузов (рис. XIII—1), выполнены из гладкостенных труб диаметром $D_{\rm H}=57\times3,5$ мм и расположены следующим образом: пристенные однорядные имеют по высоте 15 труб с шагом S=180 мм, потолочные двухрядные—по 10 труб в ряду. Способ подачи холодильного агента (аммиака) насосный с нижней подачей. Параметры воздуха в камере: $t_{\rm B}=-20\,^{\circ}{\rm C}$; $\phi_{\rm B}=95\,^{\circ}{\rm M}$. Тепловая нагрузка $Q_{\rm ob}=26$ кВт.

Площадь теплопередающей поверхности $F_{\rm np}$ (в м²) пристенных батарей определяем по формуле

$$F_{\rm mp} = L_{\rm mp} f$$
,

где $L_{\rm пр}$ — общая длина пристенных батарей, м; f — площадь наружной поверхности 1 м трубы, м²/м (для гладкостенных труб f = 3,14 $D_{\rm H}$; при $D_{\rm H}$ = 0,057 м f = 3,14 \cdot 0,057 = 0,179 м²/м).

Общую длину труб пристенных батарей находим с учетом количества и длины батарей, а также рядов труб в батарее (без соединительных калачей):

$$L_{\rm np} = \sum n_1 n_2 n_3 l,$$

где n_1 , n_2 — количество соответственно батарей и рядов труб в батарее; n_3 — количество труб по высоте батареи; l — длина батареи, м.

Из конструктивных соображений принимаем пристенные змеевиковые батареи по 15 труб по высоте: семь батарей длиной 4,5 м и две — 5,0 м.

Следовательно,

$$L_{\text{mp}} = 7 \cdot 1 \cdot 15 \cdot 4.5 + 2 \cdot 1 \cdot 15 \cdot 5 = 622.5 \text{ m};$$

$$F_{\pi\pi} = 622,6 \cdot 0,179 = 111,4 \text{ M}^2$$
.

Площадь теплопередающей поверхности $F_{\text{пот}}$ (в м²) потолочных батарей находим с учетом тепловой нагрузки

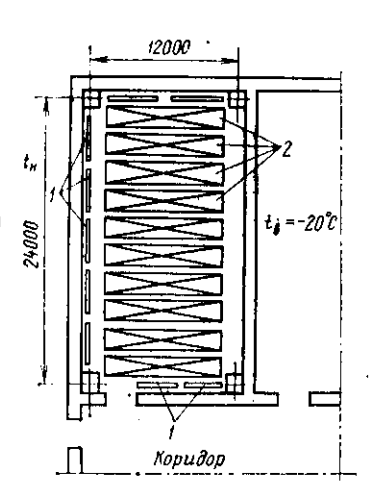


Рис. XIII—1. Схема холодильной камеры с размещением охлаждающих батарей:

 1 — пристенные охлаждающие батарен;
 2 — потолочные охлаждающие батарея

$$F_{\text{HoT}} = \frac{Q_{\text{of}_{\text{not}}} \cdot 10^{3}}{k_{\text{HoT}} \Delta t}, \qquad (XIII-I)$$

где Q_{05}_{not} — тепловая нагрузка на потолочные батареи, кВт; k_{not} — коэффициент теплопередачи потолочных батарей, $Bt/(M^2 \cdot K)$; Δt — разность между температурами воздуха и холодильного агента, °C; $\Delta t = t_B - t_0 = 8$ °C.

Тепловую нагрузку находим из разности

$$Q_{\text{of}_{\text{not}}} = Q_{\text{of}} - Q_{\text{of}_{\text{np}}} , \qquad (XIII-2)$$

где $Q_{\mathfrak{d6}_{np}}$ — тепловая нагрузка на пристенные батарен, кВт;

$$Q_{\text{of}} = k_{\text{np}} F_{\text{np}} \Delta t \cdot 10^{-3}, \qquad (XIII-3)$$

где $k_{\mu\nu}$ — коэффициент теплопередачи пристепных батарей, $\mathrm{Br}/(\mathrm{M}^2 \cdot \mathrm{K})$.

Таким образом, при определении площади $F_{\rm пот}$ неизвестными являются коэффициенты теплопередачи $k_{\rm пр}$ и $k_{\rm пот}$, значения которых рассчитываем по следующей формуле:

$$k = (\alpha_p + \alpha_{R}\xi) e_{\tau}\chi$$

где α_p , α_k — коэффициенты теплоотдачи раднацией и конвекцией, $\mathrm{Bt}/(\mathrm{M}^2 \cdot \mathrm{K});$ ξ — коэффициент влаговыпадения; e_τ — коэффициент, учитывающий термическое сопротивление теплопередаче загрязнений на внутренней поверхности труб (масло и др.) и на наружной (снеговая шуба) (e_τ = 0,8 . . . 0,9); χ — коэффициент, учитывающий количество и способ размещения охлаждающих труб по высоте.

Коэффициент теплоотдачи α_p радиацией определяем по формуле

$$\alpha_{\rm p} = C_0 \varepsilon_{\rm n} \psi - \left(\frac{T_{\rm o}}{100}\right)^4 - \left(\frac{T_{\rm c}\tau}{100}\right)^4,$$

гле C_0 — коэффициент излучения абсолютно черного тела, $B\tau/(M^2 \cdot K^4)$ [C_0 = 5,76 $B\tau/(M^2 \cdot K^4)$]; ϵ_n — приведенная степень черноты системы; ψ — коэффициент облученности.

Для приближенных расчетов ϵ_{π} можно использовать упрощенную зависимость

$$e_n = e_1 e_2$$
;

где ϵ_1 и ϵ_2 — степени черноты тел, участвующих в лучистом теплообмене.

Для случая теплообмена между батареей, покрытой снегом (ϵ_1 =0,96), и поверхностью оштукатуренной наружной стены (ϵ_2 =0,91) степень черноты системы ϵ_π =0,874.

Коэффициент облученности ф принимаем по таблице.

При отношении $S/D_n = 180/57 = 3,15$ коэффициент $\psi = 0,87$ для однорядной пристенной батарен и $\psi = 0,63$ для двухрядной потолочной батареи.

	Коэффициент облученности ψ для гладкотрубкой батарен при S_iD_{II}							
Батарея	1	2	3	4	5	6		
Однорядная Двухрядная	0,63 0,31	0,82 0,52	0,87 0,63	0,90 0,70	0,91 0,74	0,92 0,77		

Подставляем известные данные и рассчитываем коэффициент теплоотдачи α_D для пристенной батареи

$$\alpha_{\text{Pmp}} = 5.76 \cdot 0.874 \cdot 0.87 \frac{\left(-\frac{273 - 20}{100}\right)^4 - \left(-\frac{273 - 26}{100}\right)^4}{-20 - (-26)} = 2.74 \text{ Bt/(M}^2 \cdot \text{K)}.$$

При определении коэффициента теплоотдачи потолочной батареи выполняем аналогичный расчет с учетом коэффициента $\Psi = 0.63$ и находим $\alpha_{\rm p_{nor}} = 1.98$ BT/($M^2 \cdot K$).

Коэффициент теплоотдачи $\alpha_{\rm H}$ конвекцией при свободном движении находим с помощью обобщенной зависимости

$$Nu = 0.54 (GrPr)^{0.25}$$
, откуда

$$\alpha_{\rm H} = 0.54 - \frac{\lambda_{\rm B}}{D_{\rm TP}} \left(\beta_{\rm B} - \frac{gD_{\rm B}^3}{v_{\rm B}^2} \Delta t \, c_{\rm T} P_{\rm F} \right)^{0.25}$$

где Nu, Gr, Pr — соответственно число Нуссельта, Грасгофа и Прандтля; $\lambda_{\rm B}$ — коэффициент теплопроводности воздуха, $\rm Br/(m\cdot K)$; $\beta_{\rm B}$ — коэффициент объемного расширения воздуха, 1/°C; g — ускорение свободного падения, $\rm M/c^2$ (g=9,81 $\rm M/c^2$); $\rm D_{\rm B}$ — диаметр трубы, $\rm M$ (по условию $\rm D_{\rm H}$ =0,057 $\rm M$); $\rm v_{\rm B}$ — коэффициент кинематической вязкости воздуха, $\rm M^2/c$; $\Delta t_{\rm cr}$ — разность между температурами воздуха и наружной поверхности батарей, °C.

При определении разности $\Delta t_{\text{ст}}$ предварительно находим температуру кипения t_0 холодильного агента и температуру наружной поверхности $t_{\text{ст}}$ охлаждающих труб. При этом учитываем следующие соотношения:

$$t_{\text{в}}-t_0=8^{\circ}\text{C}$$
; отсюда $t_0=-20-8=-28^{\circ}\text{C}$; $t_{\text{ст}}=t_0+2=-28+2=-26^{\circ}\text{C}$.

Тогда $\Delta t_{\rm cr} = t_{\rm B} - t_{\rm cr} = -20 - (-26) = 6$ °C.

Входящие в уравнение α_{R} значения β_{B} , λ_{B} , ν_{B} , Pr определяем с учетом средней температуры воздуха

$$t_m = \frac{t_s - t_{or}}{2} = \frac{-20 - 26}{2} = -23^{\circ} \text{C}.$$

$$\beta_B = \frac{1}{273 + t_m} = \frac{1}{273 - 23} = 0.004 \text{ 1/°C}.$$

Значения λ_B , ν_B и Pr принимаем равными соответствующим значениям для сухого воздуха при $t_m = -23\,^{\circ}\text{C}$ и находим по приложению 7.

При известных данных

$$\alpha_{\rm K} = 0.54 \frac{2.25 \cdot 10^{-2}}{0.057} (0.004 \frac{9.81 \cdot 0.057^3}{11.37^2 \cdot 10^{-12}} 6 \cdot 0.718)^{0.25} = 4.72 \ {\rm Br/(M^2 \cdot K)}.$$

Коэффициент влаговыпадения \$ определяем по уравнению

$$\xi = 1 + 2880 \frac{d_{\text{n}} - d_{\text{cr}}}{t_{\text{n}} - t_{\text{cr}}}$$

где d_s — влагосодержание воздуха при температуре t_s и относительной влажности ϕ_s , кг/кг (по приложению 8 d_s = 0,6·10⁻³ кг/кг); $d_{c\tau}$ " — влагосодержание насыщенного воздуха при температуре поверхности $t_{c\tau}$ охлаждающих труб ($d_{c\tau}$ " = 0,34·10⁻³ кг/кг);

$$\xi = 1 + 2880 \frac{0.6 \cdot 10^{-3} - 0.34 \cdot 10^{-3}}{-20 - (-26)} = 1.125.$$

Коэффициент χ находим из рис. XIII—2: для пристенной батарен $\chi_{\rm np}$ =0,9, для потолочной $\chi_{\rm nor}$ =1,15.

При известных данных коэффициент теплопередачи составляет: для пристенных батарей

$$k_{\text{mp}} = (2.74 + 4.72 \cdot 1.125) \, 0.8 \cdot 0.9 = 5.8 \, \text{Br/(M}^2 \cdot \text{K)};$$

для потолочных батарей

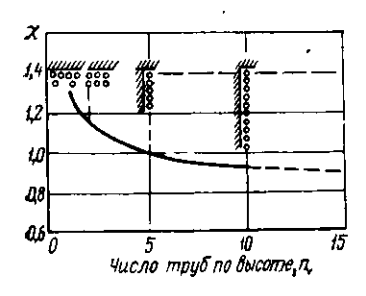


Рис. XIII—2. Коэффициент х для учета влияния количества и способа расположения труб по высоте

$$k_{\text{nor}} = (1.98 + 4.72 \cdot 1.125) \, 0.8 \cdot 1.15 =$$

= 6.7 BT/(M²·K).

Подставляем полученные данные в формулу (XIII—3) и находим, что

$$Q_{\text{of}} = 5.8 \cdot 111.4 \cdot 8 \cdot 10^{-3} = 5.17 \text{ kBt.}$$

Затем по формулам (XIII—2) и (XIII—1) рассчитываем

$$Q_{\text{of}_{\text{not}}} = 26 - 5,17 = 20,83 \text{ kBt},$$

$$F_{\text{пот}} = \frac{20,83 \cdot 10^3}{67.8} = 388,6 \text{ M}^2.$$

При $F_{\text{пот}}$ = 388,6 м² и f = 0,179 м²/м необходимая длина труб потолочных батарей

$$L_{\text{пот}} = \frac{F_{\text{пот}}}{f} = \frac{388.6}{0.179} = 2171 \text{ M}.$$

Принимаем к установке 10 двухрядных потолочных батарей длиной 11 м, каждая из которых имеет по 10 труб в ряду. Следовательно,

$$L_{\text{mot}} = 10 \cdot 10 \cdot 2 \cdot 11 = 2200 \text{ M} (2200 > 2171).$$

Находим общую длину труб охлаждающих батарей, устанавливаемых в камере,

$$L = L_{\text{np}} + L_{\text{nor}} = 622,5 + 2200 = 2822,5 \text{ M}.$$

Охлаждающие батарен размещаем вблизи поверхности наружных стен, потолка и перегородки, разделяющей камеру и коридор, что позволит локализовать наружные теплопритоки, проникающие в камеру.

Для определения вместимости батарей предварительно находим внутренний объем труб

$$V = Lv_{TD}$$

где V — внутренний объем труб охлаждающих батарей, м³; $\upsilon_{\tau p}$ — внутренний объем 1 м трубы, м³/м.

Внутренний объем 1 м труб охлаждающих батарей, не имеющих внутреннего оребрения,

$$v_{\rm TP} = \frac{3.14 \ D^2}{4}$$

где D — внутренний диаметр трубы, м (D = 57—2·3,5 = 50 мм).

Находим, что $v_{\rm TP} = 1,96 \cdot 10^{-3}$ м³/м, а $V = 2822,5 \cdot 1,96 \cdot 10^{-3} = 5,53$ м³.

Норма заполнения охлаждающих батарей жидким холодильным агентом в насосных схемах с нижней подачей $\eta_3 = 0.7$. Плотность холодильного агента $\rho_0 \approx 0.66$ т/м³.

Следовательно, вместимость батарей по холодильному агенту

$$G_a = V \eta_3 \rho_a = 5.53 \cdot 0.7 \cdot 0.66 = 2.55 \text{ T.}$$

Определяем металлоемкость охлаждающих батарей

$$G_{\mathtt{M}} = G_{\mathtt{mp}} + G_{\mathtt{mor}} = Lm_{\mathtt{T}}$$

где $G_{\rm M},~G_{\rm п.р.},~G_{\rm п.о.t}$ — металлоемкость соответственно всех батарей, а также пристенных и потолочных батарей, кг; $m_{\rm T}$ — масса 1 м трубы охлаждающей батареи, кг/м (для гладкостенной трубы $D_{\rm H} = 57 \times 3.5$ мм $m_{\rm T} = 4.62$ кг/м).

$$G_{\rm M} = 2822.5 \cdot 4.62 = 13040 \text{ kr} = 13.04 \text{ t.}$$

Пример XIII—2. Для условий примера XIII—1 определить площадь теплопередающей поверхности и длину труб охлаждающих батарей, их вместимость по холодильному агенту и металлоемкость, если трубы батарей имеют диаметр 38 × 2,5 мм и выполнены со спирально-навивным оребрением.

Принимаем, что оребрение выполняется лентой 45×1 мм, шаг ребер равен 30 мм, площадь f = 0.93 м²/м. Из конструктивных соображений задаемся, что пристенные батареи состоят из шести трубных секций змеевиковых батарей типа СЗ. В каждой батарее по высоте предусматриваем по две секции типа СЗ длиной 4250 мм, высотой 960 мм. Площадь поверхности каждой секции при шаге ребер 30 мм равна 27,1 м². Следовательно, площадь поверхности батареи, состоящей из двух таких секций, составляет 54,2 м², а общая высота батареи — 1920 мм. Учитывая длину стен и перегородки (см. рис. XIII—1), предусматриваем размещение в камере девяти пристенных батарей $n_{\rm пр}$: пять у наружной стены длиной $l\approx 24$ м, две у наружной стены длиной $l\approx 12$ м, две у перегородки.

Общая площадь теплопередающей поверхности девяти пристенных батарей

$$F_{\rm np} = 54,2.9 = 487,8 \text{ m}^2$$
.

Коэффициент теплопередачи секций типа СЗ

$$k_{\rm np} = 3.2 \dots 3.5 \, \text{Br/(M}^2 \cdot \text{K)}.$$

Принимаем $k_{\rm np}\!=\!3,5\,$ Вт/(м²·К); $\Delta t\!=\!8\,^{\circ}$ С. Тогда тепловая нагрузка составляет

на пристенные батареи

$$Q_{\text{of}_{\text{np}}} = 3,5 \cdot 487,8 \cdot 8 \cdot 10^{-3} = 13,658 \text{ kB}_{\text{T}},$$

а на потолочные батареи

$$Q_{\text{od}_{\text{mot}}} = 26 - 13,658 = 12,342 \text{ kBt.}$$

Принимаем однорядные потолочные батареи, состоящие из двух одноколлекторных (СК) и одной средней (СС) секций, имеющих по шесть труб.

Учитываем, что коэффициент теплопередачи для однорядных оребренных потолочных батарей при шаге ребер 30 мм и $t_{\rm B} = -20\,^{\circ}{\rm C}~k_{\rm пот} = 4,7~{\rm Br/(m^2 \cdot K)}$, и находим необходимую площадь теплопередающей поверхности потолочных батарей

$$F_{\text{пот}} = \frac{12,342 \cdot 10^3}{4.7 \cdot 8} = 328,2 \text{ m}^2.$$

Определяем длину потолочной батареи

$$l_{\text{nor}} = n'_1 l_{\text{c.K}} + n'_2 l_{\text{c.c}}$$

где n_1' , n_2' — количество соответствующих секций в батарее; $l_{\text{с.к.}}$, $l_{\text{с.с.}}$ — длина соответственно одноколлекторных (СК) и средней (СС) секций, и ($l_{\text{с.к.}}$ = =2,75 м, $l_{\text{c.c.}}$ = 4,25 м);

$$l_{\text{пот}} = 2 \cdot 2.75 + 1 \cdot 4.25 = 9.75 \text{ M}.$$

Получаем, что длина потолочной батареи несколько меньше ширины камеры. Ширина батареи равна 960 мм.

Площадь теплопередающей поверхности одной потолочной батареи рассчитываем по формуле

$$f_{\text{HOT}} = n'_1 f_{\text{C.K}} + n'_2 f_{\text{C.C}}$$

где $f_{c,\kappa}$ и $f_{c,c}$ — площадь теплопередающей поверхности соответственно одно-коллекторных (СК) и средней (СС) секций, м² (для шеститрубных батарей при шаге ребер 30 мм и указанных выше размерах $f_{c,\kappa} = 17,5$ м², $f_{c,c} = 27$ м²).

Тогда

$$f_{\text{not}} = 2 \cdot 17.5 + 1 \cdot 27 = 62 \text{ M}^2.$$

Необходимое количество потолочных батарей

$$n_{\text{mor}} = F_{\text{mor}}/f_{\text{mor}} = 328,2/62 = 5,3.$$

Принимаем шесть потолочных батарей $(n_{nor}=6)$.

Следовательно, при тепловой нагрузке $Q_{00} = 26$ кВт необходимо установить девять пристенных батарей площадью $F_{\pi p} = 487.8$ м² и шесть потолочных батарей площадью $F_{\pi o \tau} = 372$ м² с общей площадью теплопередающей поверхности

$$F_0 = 487.8 + 372 = 859.8 \text{ m}^2$$
.

Вместимость батарей по холодильному агенту определяем так же, как и в примере XIII—1:

внутренний объем 1 м трубы

$$v_{\rm Tp} = \frac{3.14(0.038 - 2 \cdot 0.0025)^2}{4} = 0.88 \cdot 10^{-3} \text{ m}^3/\text{m};$$

длина пристенных и потолочных батарей (без учета длины калачей и коллекторов)

$$L_{\rm np} = 9 \cdot 1 \cdot 6 \cdot 2 \cdot 4,25 = 459 \text{ M},$$

где 2 - количество одинаковых секций в батарее;

$$L_{\text{mor}} = 6 \cdot 6 \cdot 1 \cdot 1 \cdot 9,75 = 351 \text{ m};$$

внутренний объем труб

$$V = (L_{\pi p} + L_{\pi o \tau}) v_{\tau p} = (459 + 351) 0.88 \cdot 10^{-3} = 0.7128 \text{ m}^3;$$

$$G_a = 0.7128 \cdot 0.7 \cdot 0.66 = 0.329$$
 T.

Определяем металлоемкость охлаждающих батарей

$$G_{\rm M} = G_{\rm np} + G_{\rm not} = n_{\rm np} n_2 m_{\rm c.s} + n_{\rm not} (n'_1 m_{\rm c.k} + n'_2 m_{\rm c.c}),$$

где n_2 — количество секций в пристенных батареях; $m_{c.s.}$, $m_{c.c.}$, $m_{c.k.}$ — масса змеевиковых, средних и одноколлекторных секций батарей, кг ($m_{c.s}$ =162 кг; $m_{c.k}$ ==110,6 кг; $m_{c.c}$ =162 кг);

$$G_{\rm M} = 9 \cdot 2 \cdot 162 + 6 (2 \cdot 110.6 + 1.162) = 5215.2 \text{ K}_{\rm T} = 5.215 \text{ T}.$$

Таким образом, сравнивая результаты расчетов, приведенных в примерах XIII—1 и XIII—2, находим, что при одинаковой тепловой нагрузке на охлаждающие приборы необходимая площадь теплопередающей поверхности гладкотрубных батарей чем оребренных батарей [(111,4+388,6) < 859,8]. Это объясняется тем, что коэффициенты теплопередачи, отнесенные к наружной поверхности, у гладкотрубных батарей больше, чем у оребренных [для гладкотрубных батарей $k_{\rm np} = 5.8$ Вт (м²·K); $k_{\text{пот}} = 6.7 \text{ Br/(M}^2 \cdot \text{K});$ для оребренных батарей $k_{\text{пр}} = 3.5 \text{ Br/(M}^2 \cdot \text{K})$ $k_{\text{пот}} = 4.7 \text{ Br/}(\text{м}^2 \cdot \text{K})$]. Но металлоемкость и вместимость по холодильному агенту системы охлаждения, выполненной из гладкотрубных батарей, больше, чем металлоемкость и вместимость пс холодильному агенту системы охлаждения, выполненной из оребренных батарей, так как вследствие применения оребрения необходимая длина труб оребренных батарей значительно меньше, чем длина труб гладкотрубных батарей ($L_{\rm r,\pi}=2822,5$ м; $L_{\rm op}=$ =810 м). Следовательно, система охлаждения, выполненная из оребренных батарей, более экономична по расходу дорогостоящих цельнотянутых труб, а также по расходу холодильного агента.

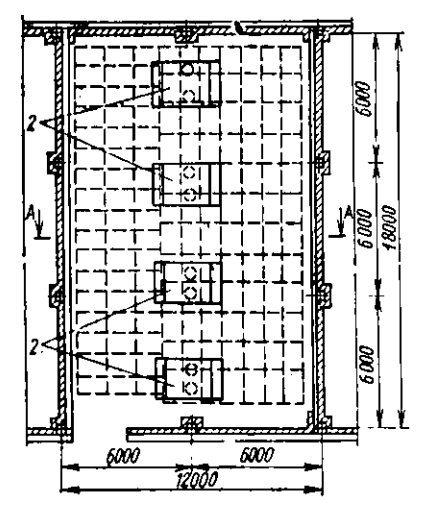
Пример X111—3. Определить необходимую площадь теплопередающей поверхности подвесных воздухоохладителей типа ВОП, устанавливаемых в камере хранения яблок в регулируемой газовой среде, и вместимость воздухоохладителей по холодильному агенту, если тепловая нагрузка Q_{06} =65 кВт, коэффициент теплопередачи воздухоохладителей k=12 Вт/(м²-К). Планировка камеры приведена на рис. XIII—3.

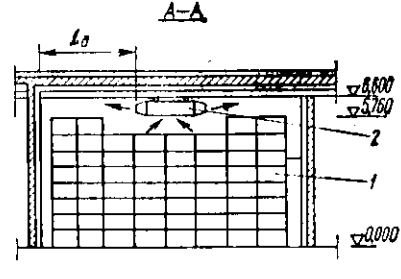
Принимаем разность $\Delta t = 9^{\circ}$ С и определяем необходимую площадь теплопередающей поверхности

$$F_0 = \frac{65 \cdot 10^{-3}}{12 \cdot 9} = 602 \text{ m}^2 \text{ y}$$

Для создания равномерных температурных условий по всей площади камеры (см. рис. XIII—3) предусматриваем четырє подвесных воздухоохладителя типа ВОП-150 ($F_0 = 150 \text{ м}^2$).

Техническая характеристика принятых к установке воздухоохладителей приведена в приложении 16.





Рис, XIII—3. План холодильной камеры: 1— штабель с грузом; 2— воздухо-

Вместимость воздухоохладителей по холодильному агенту определяем по формуле

$$G_a = V_{a1} n_{B0} \rho_a = 30.4 \cdot 0.66 = 79.2 \text{ Kr},$$

где 30 — вместимость по холодильному агенту одного воздухоохладителя, л (приложение 16).

Пример XIII—4. Проверить правильность выбора грузовой высоты штабеля в камере хранения фруктов в регулируемой газовой среде одноэтажного холодильника (план камеры представлен на рис. XIII—3), если система охлаждения состоит из четырех воздухоохладителей, а распределение воздуха осуществляется круглыми соплами. Высота штабеля $h_{\rm rp}$ =5,76 м, высота камеры $h_{\rm crp}$ =6,6 м.

Из условия следует, что воздухоохладители подают приточный воздух в зону размещения продукта с помощью круглых сопл, установленных в приточных патрубках. Рекомендуется, чтобы дальнобойность приточных струй $L_{\rm д}$, подаваемых воздухоохладителями, была больше или равна строительной ширине (длине) помещения, т. е. $L_{\rm д} > L_{\rm стр}$. При этом оба размера считают от кромки сопла до противоположной стены в направлении распространения струи.

Дальнобойность воздушной струи можно определить с помощью выражения

$$L_{\rm A} = 4.6F_{\rm n}^{0.5} = 4.6\gamma F'_{\rm crp} - F'_{\rm rp} = 4.6\gamma \overline{(h_{\rm crp} - h_{\rm rp})b}$$

где F_n — площадь помещения между штабелем груза и потолком, необходимая для распространения стесненной струи, \mathbf{m}^2 ; $F'_{\text{отр}}$, $F'_{\text{гр}}$ — площадь соответственно строительная и занятая грузом сечения камеры, перпендикулярного направлению потока воздуха, \mathbf{m}^2 ; $h_{\text{отр}}$, $h_{\text{гр}}$ — высота помещения строительная

п грузовая, м; b — ширина помещения, обслуживаемая одним воздухоохладителем, м.

Так как в пролете размером 18 м (см. рис. XIII—3) установлено четыре воздухоохладителя, то

$$b = \frac{18}{4} = 4.5 \text{ M};$$

$$L_{\rm A} = 4.6\sqrt{(6.6-5.76)4.5} = 8.94$$
 M.

Полученное значение L_{π} достаточно для развития струи, так как $L_{\text{стр}} \approx 4,5$ м (см. рис. XIII—3).

Пример XIII—5. Рассчитать массовый расход приточного воздуха и воздуха, движущегося в зоне размещения бедренных частей мясных полутуш, а также осевую скорость его движения в указанной зоне для камеры замораживания мясных полутуш, если воздух подается через плоские сопла, выполненные в виде щелей ложного потолка. Ложный потолок расположен инже балок подвесных путей (рис. XIII—4). Рекомендуемые (средние) скорость движения и температура воздуха на уровне размещения бедренных частей полутуш: $\omega_{\rm per} = 3 \text{ м/c}, \ t_{\rm B} = -35^{\circ}\text{C}, \ \text{масса} \ \text{продукта} \ G_{\rm np} = 12,5 \ \text{т}.$

Задаемся следующими размерами: ширина сопла $b_c = 2$ $b_0 = -0.03$ м; длина сопла $l_c = 0.6$ м; расстояние между соплами $l_0' = 0.1$ м.

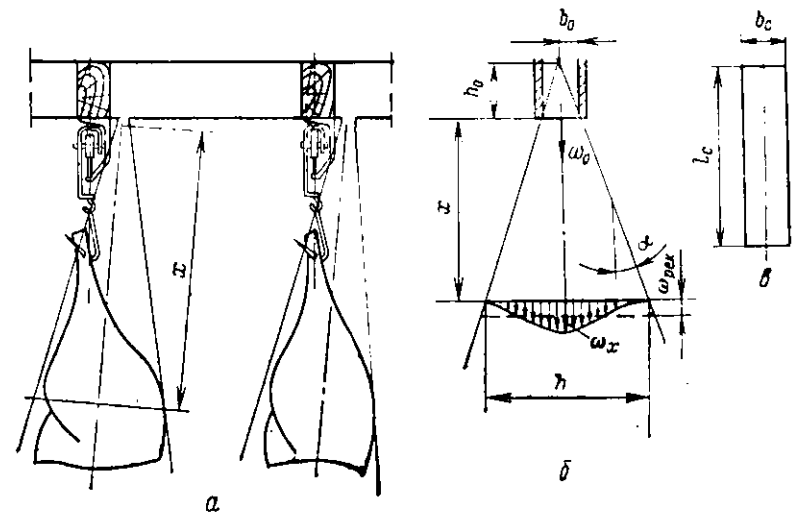


Рис. XIII—4. Схема подачи воздуха через радиальные плоские сопла ложного потолка:

 $a \leftarrow$ расположение сепл в ложном потолке (виже балок подвесных путей); $\delta \leftarrow$ структура струк; $a \leftarrow$ размеры сопла

Определяем отношение $b_c/l_c = 0.03/0.6 = 0.05$. Для плоского сопла щелевидной формы при полученном отношении b_c/l_c коэффициент турбулентности $a_r = 0.12$.

Затем рассчитываем расстояние h_0 от начального сечения до полюса воздушной струи и тангенс угла расширения струи:

$$h_0 = b_0 \cdot 0.41/a_r = 0.015 \cdot 0.41/0.12 = 0.051 \text{ m};$$

$$tg\alpha = b_0/h_0 = a_T/0.41 = 0.12/0.41 = 0.292.$$

При расположении ложного потолка ниже балок подвесных путей расстояние x от ложного потолка до плоскости размещения бедренных частей мясных полутуш равно $1\,$ м.

При известных значениях x, h_0 и $tg\alpha$ определяем ширину воздушной струи на расстоянии x

$$h = 2(x + h_0) \operatorname{tg}\alpha = 2(1 + 0.051) 0.292 = 0.613 \text{ M}.$$

При h=0.613 м вся поверхность полутуши будет находиться в зоне обдува, так как ширина полутуши в наиболее утолщенной (бедренной) части значительно меньше, чем ширина воздушной струи.

Определяем осевую скорость движения воздушной струи: на выходе из сопла

$$\omega_0 = \omega_{\text{perc}} \frac{\sqrt{\frac{a_x x}{b_0} + 0.41}}{0.82} = 3 \frac{\sqrt{\frac{0.12 \cdot 1}{0.015} + 0.41}}{0.015} = 10.6 \text{ m/c},$$

на расстоянии x=1 м

$$\omega_x = \omega_0 \frac{1.2}{\sqrt{\frac{a_\tau x}{b_0} + 0.41}} = 10.6 \frac{1.2}{\sqrt{\frac{0.12 \cdot 1}{0.015} + 0.41}} = 4.38 \text{ m/c}:$$

Для определения расхода приточного воздуха предварительно рассчитываем рабочую длину $L_{n.n.}$ подвесных путей

$$L_{n,n} = \frac{G_{np}}{q_i},$$

где q_i — норма загрузки 1 м подвесного пути, кг/м (q_i =250 кг/м);

$$L_{\rm m.m} = \frac{12.5 \cdot 10^3}{250} = 50 \text{ m}.$$

Объемный расход приточного воздуха

$$V_{\rm B} = b_{\rm c} l_{\rm c} n_{\rm c} \omega_0$$
;

$$n_{\rm c} = \frac{L_{\rm m.m}}{l_{\rm c} + l'_{\rm c}} = \frac{50}{0.6 + 0.1} = 72;$$

$$V_{\rm B} = 0.03 \cdot 0.6 \cdot 72 \cdot 10.6 = 13.73 \text{ m}^3/\text{c}$$
.

Объемный расход воздуха, движущегося на расстояни x = 1 м.

$$V_{\rm B} = V_{\rm B} \cdot 1.2 \, \sqrt{\frac{a_{\rm T}x}{b_{\rm o}} + 0.41} = 13.73 \cdot 1.2 \, \sqrt{\frac{0.12 \cdot 1}{0.015} + 0.41} = 47.78 \, \text{m}^3/\text{c}$$

При известных значениях $V_{\tt B}$ и $V_{\tt B_{\it X}}$ массовый расход возду ха составляет

$$G_{\rm B} = 13,73 \cdot 1,496 = 20,54 \text{ Kr/c};$$

где 1,496 — плотность воздуха при температуре, равной — 37° С, кг/м³ (прини маем, что температура приточного воздуха, выходищего из щелей ложног потолка, на 2° С ниже температуры воздуха на уровне бедренных часте полутуш);

$$G_{\rm B} = 47,78 \cdot 1,484 = 70,9 \text{ kr/c}$$

1,484 — плотность воздуха при температуре, равной —35°C, кг/м³ (приложение 7).

Пример XIII—6. Для условий примера VIII—1 определит объемный расход воздуха, размеры воздухораспределительног канала и потери напора в нем, а также мощность электродвите теля вентилятора в системе воздухораспределения туннеля дл размораживания мясных полутуш, если известно, что длина туннеля равна 18 м, высота установки воздухораспределительног канала над уровнем пола составляет x₁ = 3,7 м, рекомендуема скорость движения воздуха на высоте x₂ = 2,5 м составляе фрек = 1,5 м/с. Подача воздуха осуществляется через перфорирс ванный воздухораспределительный канал конструкции ЛИОТ отверстиями щелевидной формы, расположенными в шахматно порядке (рис. XIII—5), воздухораспределительный канал имее прямоугольное сечение, продольная ось канала совпадает сосы конвейера для подвешивания полутуш.

Объемный расход приточного воздуха определяем по форму ле, учитывающей коэффициент живого сечения,

$$V_{\rm B} = F_{\rm man} K_{\rm HLC} \omega_0 \; ;$$

где V_s — объемный расход воздуха, м³/с; $F_{\text{пан}}$ — площадь перфорированис панели воздухораспределительного канала, м²; $K_{\text{м.c}}$ — коэффициент живог сечения, относительные единицы; ω_0 — скорость приточного воздуха, м/с.

Площадь $F_{\text{пан}}$ находим из формулы

$$F_{\text{man}} = b l_{\text{kan}}$$
;

где b, $l_{\text{мав}}$ — ширина и длина воздухораспределительного канала, м.

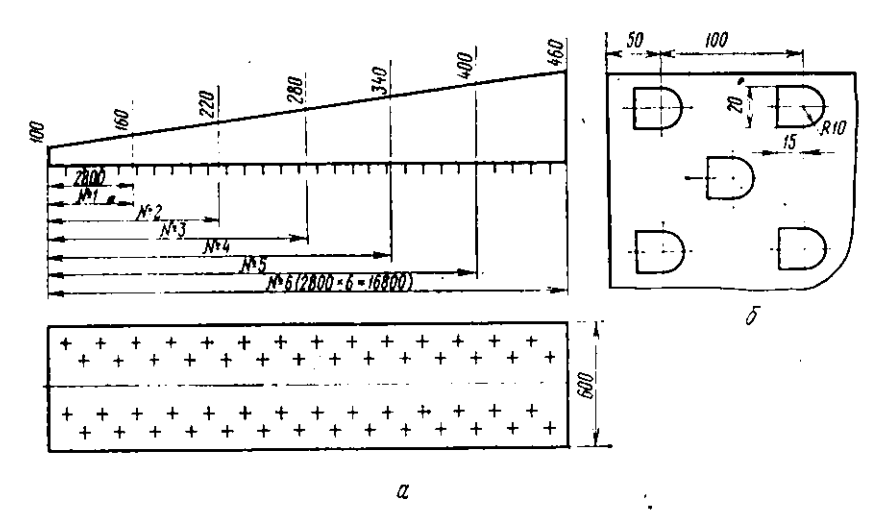


Рис. XIII—5. К примеру XIII—6: а — конструкция воздухораспределительного канала; 6 — размещение сопл в канале

Ширину воздухораспределительного канала рассчитываем с учетом ширины воздушной струи в заданном сечении x:

$$b = b_x - 0.35x$$
,

где b_x — ширина воздушной струи в заданном сечении x, м $(b_x=1\,\mathrm{m}); x$ — расстояние от воздухораспределительного канала до уровня размещения бедренных частей полутуш, м $(x=x_1-x_2=3.7-2.5=1.2\,\mathrm{m});$

$$b = 1 - 0.35 \cdot 1.2 = 0.58 \text{ m}.$$

Принимаем ширину воздухораспределительного канала $b=0.6\,$ м.

Длину $l_{\rm кап}$ определяем с учетом длины одной секции $l_{\rm 1c}=$ =2,8 м и количества секций (рис. XIII—5, a). Количество секций принимаем таким образом, чтобы длина канала $l_{\rm кан}=l_{\rm k}$ ($l_{\rm k}$ — рабочая длина конвейера). Так как $l_{\rm k}=16,8$ м, то принимаем шесть секций ($l_{\rm кан}=2,8\cdot6=16,8$ м).

Учитывая ширину и длину канала, находим площадь перфорированной панели

$$F_{\text{nan}} = 0.6 \cdot 16.8 = 10.08 \text{ m}^2$$
.

Перфорированные воздухораспределительные каналы конструкции ЛИОТ прямоугольного сечения имеют коэффициент живого сечения $K_{\text{ж.c}} = 0,046$ и $K_{\text{ж.c}} = 0,092$. Задаемся, что $K_{\text{ж.c}} = -0.046$.

Скорость приточного воздуха определяем по эмпирической зависимости

$$\frac{\omega_{\text{cp}_x}}{\omega_{\text{o}}\sqrt{K_{\text{M.c}}/\mu_{\text{D}}}} = 0.75K_{\text{cpp}}\sqrt{b/x},$$

где $\omega_{\text{ср}_X}$ — средняя скорость движения воздуха в заданном сечении x, м/c ($\omega_{\text{ср}_X} = \omega_{\text{рек}} = 1,5$ м/с); μ_p — коэффициент расхода ($\mu_p = 0,5$); $K_{\text{стp}}$ — коэффициент, учитывающий подачу воздушных струй через перфорированные каналы с $K_{\text{м+c}}$ не более 0,2 ($K_{\text{стp}} = 1,5$);

$$\omega_0 = \frac{\omega_{\text{op}_x}}{0.75K_{\text{opp}}\sqrt{b/x}\sqrt{K_{\text{M.c}}/\mu_p}} = \frac{1.5}{0.75 \cdot 1.5\sqrt{0.6/1.2}\sqrt{0.046/0.5}} = 6.26 \text{ M/c.}$$

При известных значениях $F_{\text{пан}}$, $K_{\text{м.с}}$ и ω_0 объемный расход воздуха

$$V_{\rm B} = 10,08 \cdot 0,046 \cdot 6,26 = 2,9 \text{ m}^3/\text{c}.$$

Рассчитываем размеры воздухораспределительного канала:

$$d_{\theta_{\text{HAY}}} = \frac{2a_{\text{HAY}}b}{a_{\text{HAY}}+b};$$

$$\frac{1}{l} = \frac{l_{\text{KAB}}}{d_{\theta_{\text{HAY}}}};$$

$$F_{\text{HAY}} = a_{\text{HAY}}b;$$

$$F_{\text{HOM}} = a_{\text{KOM}}b.$$

где $d_{s_{\rm Haq}}$ — эквивалентный диаметр начального сечения воздухораспределительного канала, м; b — ширина канала, м; $a_{\rm Haq}$, $a_{\rm KoH}$ — высота начального и конечного сечений канала, м (согласно рис. XIII — 5 b = 600 мм, $a_{\rm Haq}$ = 460 мм, $a_{\rm KoH}$ = 100 мм); \overline{l} — относительная длина канала; $F_{\rm Haq}$, $F_{\rm KoH}$ — площадь начального и конечного сечений канала, м².

Подставляем полученные данные и получаем:

$$d_{9_{\text{Hall}}} = \frac{2 \cdot 0.46 \cdot 0.6}{0.46 + 0.6} = 0.52 \text{ M};$$

$$\overline{l} = \frac{16.8}{0.52} = 32.3;$$

$$F_{\text{Haq}} = 0.46 \cdot 0.6 = 0.276 \text{ m}^2$$
; $F_{\text{ROH}} = 0.1 \cdot 0.6 = 0.06 \text{ m}^2$.

Для определения потерь напора в воздухораспределительном канале предварительно рассчитываем коэффициент трения $\lambda_{\tau p}$ и коэффициент ξ , учитывающий сопротивление канала:

$$\lambda_{\rm TP} = 0.111 \sqrt[4]{\frac{\delta_{\rm AGC}}{d_{\vartheta_{\rm PRY}}}};$$

$$\xi = 1.62 \overline{f^{-2.2} F^{-0.25}} (\lambda_{\rm TP} l)^{0.05} + 1$$
,

где δ_{a6c} — абсолютная шероховатость стенки канала, м (δ_{a6c} = 0,0001 м для стального оцинкованного канала); \overline{t} — относительная площадь воздуховыпускных отверстий; \overline{F} — параметр, характеризующий конфигурацию канала.

Параметры \overline{f} и \overline{F} рассчитываем по формулам:

$$\overline{f} = \frac{F_{\text{OTB}}}{F_{\text{EAT}}} = \frac{\omega_{\text{EAT}}}{\omega_{0}};$$

$$\overline{F} = \frac{F_{\text{KOH}}}{F_{\text{HAT}}},$$

где $F_{\text{отв}}$ — площадь воздуховыпускных отверстий, м²; $\omega_{\text{мач}}$ — скорость движения воздуха на входе в канал, м/с.

Площадь $F_{\text{отв}}$ определяем с учетом коэффициента живого сечения:

$$F_{\text{OTB}} = F_{\text{HBH}} K_{\text{MCC}} = 10,08 \cdot 0,046 = 0,4637 \text{ M}^2.$$

При известных $F_{\text{отв}}$, $F_{\text{нач}}$, ω_0 и $F_{\text{кон}}$ рассчитываем \overline{f} , $\omega_{\text{нач}}$ и \overline{F} :

$$f = \frac{0,4637}{0,276} = 1,68;$$

$$\omega_{\text{Hay}} = 1,68 \cdot 6,26 = 10,5 \text{ M/c};$$

$$\vec{F} = \frac{0.06}{0.276} = 0.217$$
.

Затем рассчитываем коэффициенты $\lambda_{\tau p}$ и ξ , а также потери напора в воздухораспределительном канале:

$$\lambda_{\text{TP}} = 0.111 \sqrt[4]{\frac{0.0001}{0.52}} = 0.0131;$$

$$\lambda_{\text{TP}} \overline{l} = 0.0131 \cdot 32.3 = 0.4231;$$

$$\xi = 1.62 \cdot 1.68^{-2.2} \cdot 0.217^{-0.25 \cdot 1.68} \cdot 0.4231^{0.05} + 1 = 1.94;$$

$$H_{\text{B}} = \xi \frac{\rho_{\text{B}} \omega^{2}_{\text{BB}} \pi}{2} = 1.94 \frac{1.2 \cdot 10.5^{2}}{2} = 128.33 \text{ } \Pi \text{a}.$$

Из практических соображений принимаем, что потери напора в кондиционере, вытяжном и приточном воздуховодах составляют $H_{\kappa}{=}300$ Па. При этом полный напор, развиваемый вентилятором,

$$H_n = 300 + 128,33 = 428,33 \Pi a;$$

а мощность электродвигателя вентилятора

$$N_{\rm BR} = \frac{V_{\rm B}H_{\rm B}}{10^3\eta_{\rm 0.6\,m}}K_{\rm M} = \frac{2.9\cdot428.33}{10^3\cdot0.7}1,1 = 1.95~{\rm KB_{T}},$$

- где $K_{\mathbf{M}}$ — коэффициент запаса ($K_{\mathbf{M}}$ =1,1); $\eta_{\text{общ}}$ — общий КПД вентилятора ($\eta_{\text{общ}}$ =0,7).

ГЛАВА XIV. РАСЧЕТ И ПОДБОР ОБОРУДОВАНИЯ МАШИННЫХ ОТДЕЛЕНИЙ

Расчет и подбор компрессоров осуществляют по холодопроизводительности и объему, описываемому их рабочими органами; теплообменных аппаратов (испарителей, конденсаторов, переохладителей) — по площади теплопередающей поверхности; ресиверов — по их объему и назначению; вспомогательных аппаратов (маслоотделителей, промежуточных сосудов, отделителей жидкости) — по диаметрам корпусов; насосов и вентиляторов — по расходу и напору холодильного агента, хладоносителей и воздуха; охладителей воды (брызгальные бассейны, градирии) — по тепловой нагрузке или площади поперечного сечения.

Тепловую нагрузку Q_r на охладитель воды обычно задают или рассчитывают. При этом чаще всего ее принимают равной тепловой нагрузке на конденсатор:

$$Q_{\rm r} \approx Q_{\rm K} = Q_0 + N_i \; ; \tag{XIV-1}$$

где $Q_{\rm r},~Q_{\rm k}$ — тепловая нагрузка соответственно охладителя воды и конденсатора, кВт; $Q_{\rm 0}$ — холодопроизводительность холодильной установки, потребляющей воду от данного охладителя (брызгального бассейна, градирни), кВт; N_4 — индикаторная мощность компрессоров, кВт.

Тепловую нагрузку на охладитель можно рассчитать с помощью уравнения

$$Q_{r} = [G_{w} c_{w} t_{w_{2}} - (G_{w} - G_{w_{w}}) c_{w} t_{w_{1}}] \approx G_{w} c_{w} (t_{w_{2}} - t_{w_{1}});$$

где G_w — расход воды, кг/с; t_{w_2} , t_{w_1} — температура воды, входящей в охладитель и выходящей из него, °C; G_{w_R} — количество испарившейся воды кг/с.

Основным показателем работы охладителя воды является температура воды t_{w_1} и t_{w_2} , которая зависит от тепловой нагрузки на охладитель, коэффициента эффективности его работы и метеорологических условий.

Температура воды входит в уравнение коэффициента эффективности охладителя

$$\eta = \frac{t_{w_2} - t_{w_1}}{t_{w_2} - t_{M}}, \qquad (XIV-2)$$

где η — коэффициент эффективности охладителя, зависящий от типа охладителя (см. таблицу): $t_{\rm w}$ — температура воздуха по мокрому термометру. °C.

теля (см. таблицу); $t_{\rm M}$ — температура воздуха по мокрому термометру, °C. Температуру $t_{\rm M}$ определяют графически с помощью I-d-диаграммы в соответствии с расчетной температурой $t_{\rm RP}$ и расчетной относительной влажностью $\phi_{\rm RP}$ наружного воздуха.

Расчетную температуру $t_{\rm Hp}$ определяют следующим образом:

$$t_{\rm HD} = t_{\rm CD,M} + (0.125...0.150) t_{\rm a.m.},$$
 (XIV-3)

где $t_{\text{ср.м}}$ — среднемесячная температура наиболее жаркого месяца, °C; $t_{\text{а.м}}$ — температура абсолютного максимума, °C.

Тип охладителя	Коэффициент эффектив- ности л	Удельная тепловая нагрузка <i>q</i> г, кВт/и²	Удельная гидравличе- ская нагрузка, Н _W × 10°, м³/(м²-с)
Брызгальный бассейн Градирия	0,35-0,40	2,5-6,5	0,2-0,3
открытая брызгальная открытая капельная вентиляторная	0,45—0,55 0,60—0,75 0,75—0,85	8-20 10-30 40-50	0,7—1,0 0,8—1,4 1,5—2,5

При наличии системы оборотного водоснабжения температуру конденсации $t_{\rm R}$ находят только после расчета охладителя воды. При этом принимают $t_{\rm R} = t_{w_2} + (2\dots 4)^{\circ} {\rm C}$.

Расход воды в охладителе (в м³/с) определяют по уравнению теплового баланса

$$V_w = \frac{Q_r}{c_w \rho_w \Delta l_w} . \tag{XIV-4}$$

Площадь поперечного сечения охладителя воды $F_{\mathbf{r}}$ (в \mathbf{m}^2) рассчитывают с учетом тепловой нагрузки;

$$F_{\rm r} = Q_{\rm r}/q_{\rm F} \,, \tag{XIV-5}$$

где q_F — удельная тепловая нагрузка на охладитель, кВт/м² (см. таблицу). Удельную гидравлическую нагрузку, называемую плотностью орошения или высотой дождя, находят по уравнению

$$H_w = V_w/F_r$$
, (XIV—6)

где \underline{H}_{w} — удельная гидравлическая нагрузка, м³/(м²·с).

Полученное значение H_{\bullet} обычно сравнивают с опытными значениями, приведенными в таблице.

При проектировании охладителей воды выбирают тип форсунок, определяют их количество и расположение, а затем конструктивные размеры охладителя. При необходимости подбирают циркуляционные водяные насосы и вентиляторы (в вентиляторных градирнях).

Пример XIV—1. Для холодильной установки, упрощенная (расчетная) схема которой представлена на рис. XIV—1, подобрать компрессоры, если известно, что установка работает на четыре группы камер, камера № 1 охлаждается хладоносителем, камеры № 2... № 13 оборудованы системой непосредственного охлаждения, установка проектируется для района г. Казань; система охлаждения конденсаторов — речная вода (прямоточная система водоснабжения), холодильный агент — аммиак.

Основными исходными данными для расчета являются необходимая колодопроизводительность устанавливаемого оборудования, тип колодильного агента и режим работы колодильной установки.

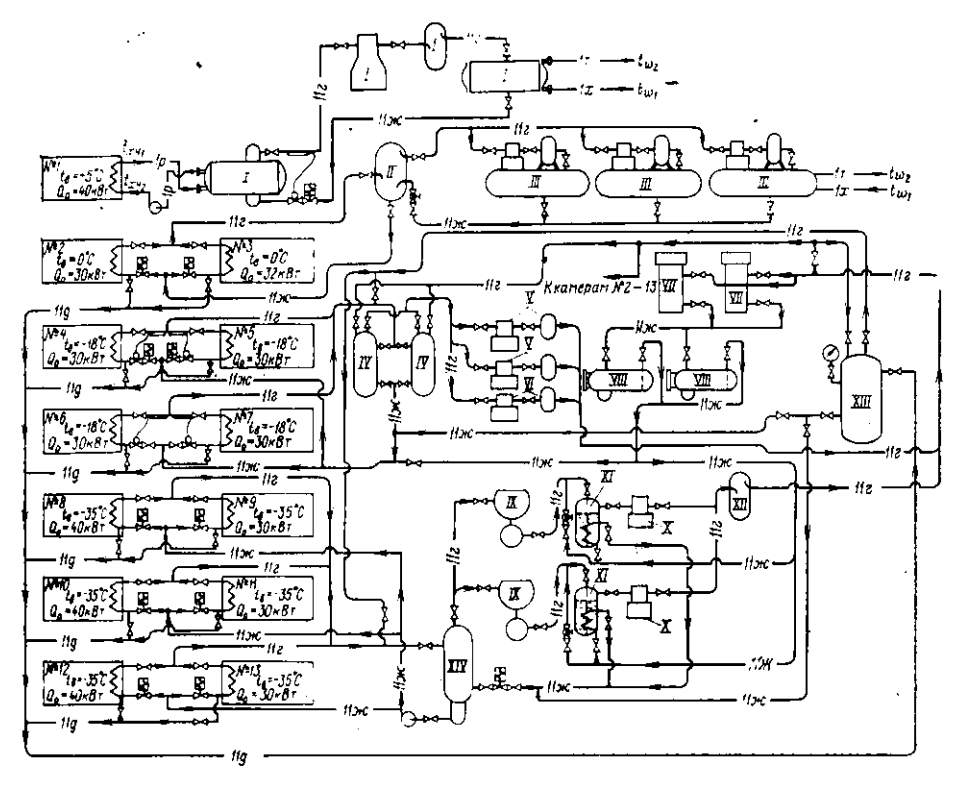


Рис. XIV—1. Упрощенная (расчетная) схема холодильной установки для охлаждения камер № 1...13:

I— оборудование холодильной машины XM-AV45/A2; II— отделитель жидкости 70 ОЖс; III— компрессорно-конденсаторные агрегаты AK-AB22/A2; IV— защитные ресиверы 1,5 РДВа; V— компрессорные агрегаты IAI10-7-2; VI— компрессорный агрегат AI10-7-2; VII— конденсаторы вертикальные кожухотрубные 75КВ; VIII— ресиверы линейные 3,5РВ; IX— компрессор низкого давления ВХ350-7-4; X— компрессор высокого давления П110-7-0; XI— промежуточный сосуд СПА 600 со змеевиком; XII— маслоотделитель 80 ОММ; XIII— вертикальный дренажный ресивер 2,5 РДВа; XIV— циркуляционный ресивер вертикальный 2,5 РДВа

1. Определение режима работы холодильной установки

Температура конденсации зависит от источника водоснабжения и принятой системы охлаждения конденсатора. В конденсаторах с водяным охлаждением при прямоточном водоснабжении и использовании воды из естественных водоемов температуру поступающей воды принимают на $7-8\,^{\circ}\text{C}$ ниже температуры наружного воздуха $t_{\rm HP}$ или равной среднемесячной температуре наружного воздуха.

 $m \ddot{P}$ асчетная температура наружного воздуха $t_{
m hp}$ определяется из уравнения

$$t_{\rm H,D} = 0.4t_{\rm c,M} + 0.6t_{\rm a,M}$$

где $t_{\rm c.m}$ — средняя за месяц температура в 13 ч для самого жаркого месяца, °C; $t_{\rm a.m}$ — температура абсолютного максимума, °C.

Для г. Қазань $t_{c.m} = 22,8^{\circ}$ С, $t_{a.m} = 38^{\circ}$ С. Тогда

$$t_{\rm np} = 0.4 \cdot 22.8 + 0.6 \cdot 38 = 31.9^{\circ} \text{C}.$$

Температуру поступающей на конденсатор воды принимаем $t_{w_1} = t_{\rm np} - 7,9 = 31,9 - 7,9 = 24\,^{\circ}{\rm C}$ (температура t_{w_1} незначительно отличается от $t_{\rm c.m.}$).

Температуру конденсации находим из выражения

$$t_{\rm K} = t_{\rm ws} + 8 = 24 + 8 = 32^{\circ} \rm C$$
:

Температуру кипения для каждой группы камер определяем из уравнения

$$t_0 = t_B - \Delta t$$
;

для камеры № 1 (охлаждение хладоносителем — рассолом) средняя температура хладоносителя $t_{\mathbf{x}\mathbf{u}_{\mathbf{c}\mathbf{p}}} = t_{\mathbf{B}} - 8 = 5 - 8 = -3^{\circ}\mathrm{C}$; принимаем охлаждение хладоносителя в испарителе $\Delta t_{\mathbf{x}\mathbf{u}} = t_{\mathbf{x}\mathbf{u}_1} - t_{\mathbf{x}\mathbf{u}_2} = 4^{\circ}\mathrm{C}$; следовательно, температура хладоносителя на выходе из испарителя $t_{\mathbf{x}\mathbf{u}_2} = -5^{\circ}\mathrm{C}$, а на входе в него $t_{\mathbf{x}\mathbf{u}_1} = -1^{\circ}\mathrm{C}$; температура кипения холодильного агента

$$t_0 = t_{xH_{cp}} - 6 = -3 - 6 = -9^{\circ}C;$$

для камер № 2 и 3 (непосредственное охлаждение с помощью воздухоохладителей)

$$t_0 = t_B - 8 = 0 - 8 = -8^{\circ}C$$
;

для камер № 4, 5, 6, 7 (непосредственное батарейное охлаждение)

$$t_0 = -18 - 8 = -26$$
°C;

для камер № 8, 9, 10, 11, 12, 13 (непосредственное охлаждение с помощью воздухоохладителей)

$$t_0 = -35 - 8 = -43$$
°C.

Из расчета следует, что холодильная установка должна работать на четыре температуры кипения. Необходимую холодопроизводительность $Q_{0\,\mathrm{ycr}}$ устанавливаемых компрессоров на каждую температуру кипения определяем из уравнения

$$Q_{0_{
m ye\, au}}=
ho_{
m au p}Q_0/b_{
m p}$$
 ,

где $\rho_{\tau p}$ — коэффициент, учитывающий потери при транспортировке холода (для установок непосредственного охлаждения $\rho_{\tau p} = 1,05\dots 1,07$, а для установок с охлаждением хладоносителем $\rho_{\tau p} = 1,1\dots 1,12$; Q_0 — расчетная тепловая нагрузка на компрессор, получаемая при расчете теплопритоков в камеры, к $B\tau$; b_p — коэффициент рабочего времени ($b_p = 0,75\dots 0,92$).

Численные значения $Q_{0\text{ycr}}$ в для t_0 = −9°C (камера № 1)

$$Q_{0 \text{ ycr}} = 1.1 \frac{40}{0.85} = 51.8 \text{ kBT};$$

для t₀ = --8°C (камеры № 2 и 3)

$$Q_{0 \text{ yer}} = 1,07 - \frac{(30+32)}{0.85} = 78,04 \text{ KBT};$$

для $t_0 = -26$ °C (камеры № 4, 5, 6, 7)

$$Q_{0 \text{ yer}} = \frac{1,05(30+30+30+30)}{0.85} = 148.2 \text{ kBt};$$

для $t_0 = -43$ °C (камеры № 8, 9, 10, 11, 12, 13)

$$Q_{0_{\text{ycr}}} = \frac{1,05(40+30+40+30+40+30)}{0,85} = 259,4 \text{ kBr}.$$

2. Подбор компрессоров для системы -охлаждения камеры № 1

В связи с относительно небольшой мощностью холодильной установки ($Q_{0\text{yer}} = 51.8 \text{ кВт}$) целесообразно подобрать агрегатированную холодильную машину. По графикам зависимости

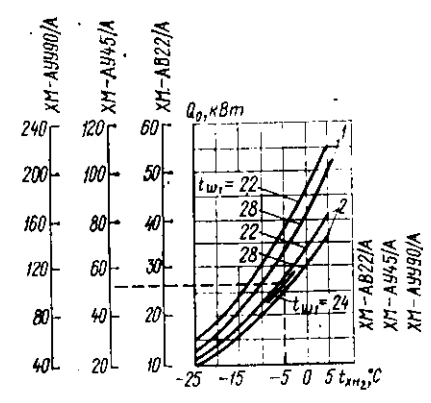


Рис. XIV—2. Зависимость холодопроизводительности Q_0 от температуры t_{w_1} воды, поступающей на конденсатор, и температуры $t_{\rm XH_2}$ хладоносителя, выходящего из испарителя, для машин XM-AB 22/A, XM-AV45/A, XM-AV90/A: I— при частоте вращения n=24 с $^{-1}$; 2— при частоте вращения n=16 с $^{-1}$

холодопроизводительности от температуры $t_{w_{\bullet}}$ охлаждающей воды и хладоносителя $t_{\mathtt{x}\mathtt{H}\mathtt{z}}$ на выходе из испарителя подбираем холодильную машину (рис. XIV-2). При заданных $Q_{0_{\text{VCT}}} = 51.8$ кВт, $t_{w_i} =$ = +24°С и $t_{xH2} = -5$ °С выбираем аммиачную холодильную машину ХМ-АУ45/А2, имеющую при указанных условиях ≈53 кВт. Габаритные размеры машины (в мм) следующие: длина 2850, ширина 955, высота 1900.

Холодильная машина состоит из компрессора AУ45 с объемом, описываемым поршнями компрессора, равным 0,0236 м³/с, электродвигателя мощностью 22 кВт с частотой вращения 16 с-1, конденсатора с площадью теплопередающей поверхности, равной

 $14~{\rm M}^2$, испарителя, имеющего расход хладоносителя, равный $5.5 \times 10^{-3}~{\rm M}^3/{\rm c}$, маслоотделителя, щита приборов, пульта управления и фильтра.

3. Подбор компрессоров для систем охлаждения камер № 2 и 3

По графикам зависимости холодопроизводительности Q_0 от температуры кипения холодильного агента и температуры воды t_{w_1} подбираем холодильные агрегаты (рис. XIV—3). При заданных $Q_{0\text{yct}} = 78,04$ кВт, $t_0 = -8^{\circ}\text{C}$, $t_{w_1} = 24^{\circ}\text{C}$ выбираем три аммиачных компрессорно-конденсаторных агрегата АК-АВ22/А2, имеющих холодопроизводительность $Q_0 \approx 27$ кВт каждый. Габаритные размеры агрегата (в мм) следующие: длина 2750, ширина 840, высота 1140. Компрессорно-конденсаторный агрегат состоит из компрессора АВ22 с объемом, описываемым поршнями, равным 0,0118 м³/с, электродвигателя мощностью 10 кВт с частотой вращения 16,2 с $^{-1}$, конденсатора, имеющего расход охлаждающей воды, равный 0,00277 м³/с, маслоотделителя, щита приборов и пульта управления.

Подбор производим по объему, описываемому рабочими органами компрессора*.

Необходимая холодопроизводительность $Q_{0\text{yer}} = 148.2$ кВт при $t_0 = -26$ °C и $t_{\text{K}} = +32$ °C.

По диаграмме $\lg p-i$ для аммиака (приложение 1) находим параметры холодильного агента в характерных точках цикла одноступенчатого сжатия (рис. XIV—4), задаваясь подогревом паров при всасывании $\Delta t_{\rm Bc} = t_1' - t_0 = 6$ °C и переохлаждением жидкого холодильного агента перед регулирующим вентилем

$$\Delta t_{\rm m} = t_{\rm K} - t_{\rm m} = 5^{\circ} \rm C.$$

Тогда

$$t_{1'} = t_{BC} = t_0 + \Delta t_{BC} = -26 + 6 = -20^{\circ} \text{C},$$

 $t_3 = t_{II} = t_{IK} - \Delta t_{II} = +32 - 5 = 27^{\circ} \text{C}.$

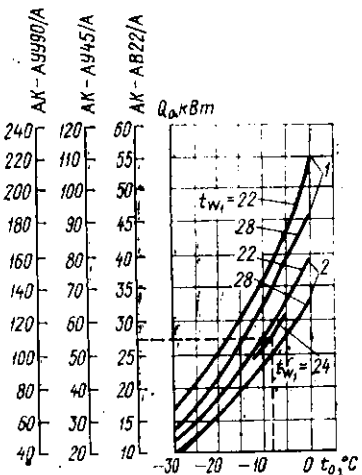


Рис. XIV—3. Зависимость холодопроизводительности Q_0 от температуры t_0 кипения холодильного агента и охлаждающей воды t_{w_1} для агрегатов АК-AB22/A, АК-AУ45/A и АК-AУУ90/A:

^{*} Могут быть использованы также графические зависимости вида: $Q_0 = f(t_0, t_R)$, $N_0 = f(t_0, t_R)$.

l — при частоте вращения n=24 с⁻¹; 2 — при частоте вращения n=16 с⁻¹

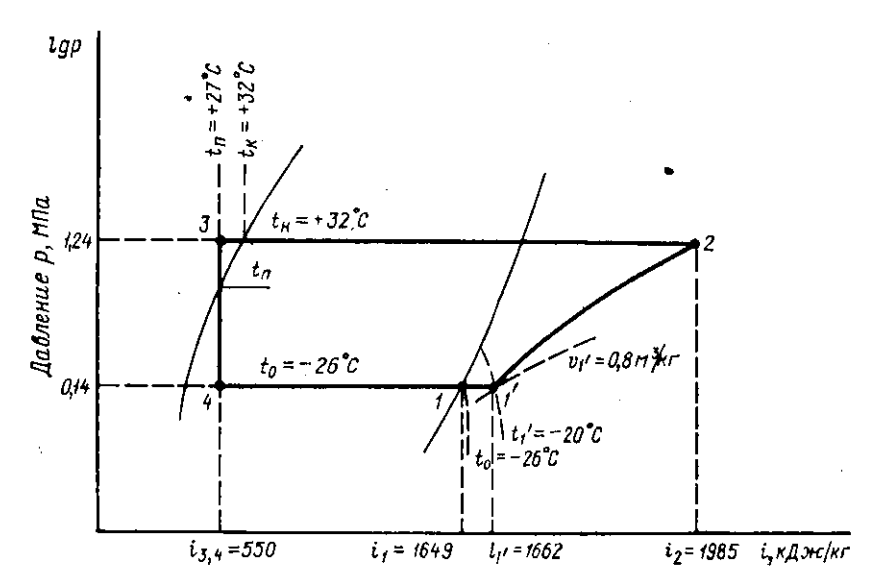


Рис. XIV—4. Изображение цикла одноступенчатого сжатия в дваграмме $\lg p - i$ с параметрами в характерных точках: $t_0 = -26^{\circ}\mathrm{C}; \ t_N = +32^{\circ}\mathrm{C}; \ t_{R_0} = -20^{\circ}\mathrm{C}; \ t_{R_0} = +27^{\circ}\mathrm{C}$

По значениям t_0 , $t_{\rm R}$, t_1 , t_3 строим цикл.

Удельная холодопроизводительность $q_0 = i_1 - i_4 = 1649 - 550 = 1099 кДж/кг.$

Массовый расход холодильного агента

$$G_a = Q_0/q_0 = 148,2/1099 = 0,1348 \text{ kr/c};$$

объемный расход паров холодильного агента

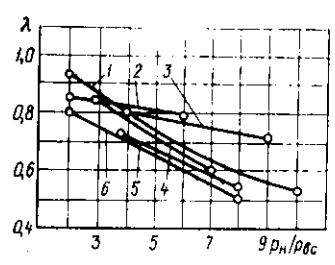


Рис. XIV—5. Коэффициенты подачи компрессоров:

I — современных аммиачных бескрейцкопфных; 2 — аммиачных винтовых бустеркомпрессоров; 3 — аммиачных винтовых; 4 — бескрейцкопфных, работающих на хладоне-22; 5 — аммиачных ротационных; 6 — малых бескрейцкопфных, работающих на хладоне-12

$$V_{\pi} = G_{a}v_{1'} = 0.1348 \cdot 0.8 = 0.108 \text{ m}^3/\text{c}.$$

Коэффициент подачи компрессора определяем по графику (рис. XIV—5) в зависимости от степени сжатия. При отношении давлений $\pi = p_{\rm K}/p_0 = 1,24/0,14 = 8,85$ для современных бескрейцкопфных компрессоров коэффициент подачи $\lambda = 0,57$.

Объем, описываемый поршнями, $V_h = V_{\pi}/\lambda = 0,108/0,57 = 0,189$ м³/с.

По объему V_h и приложению 17 подбираем:

два агрегата 1A110-7-2; объем, описываемый поршнями каждого компрессора, составляет 0,056 м³/с; в агрегат входят электродвигатель мощно-

стью 40 кВт с частотой вращения 16,3 с-1; маслоотделитель и блок

приборов;

один агрегат A110-7-2; объем, описываемый поршнями, составляет 0,0836 м³/с, в агрегат входят электродвигатель мощностью 55 кВт с частотой вращения 24,5 с⁻¹, маслоотделитель и блок приборов.

На данную группу камер выбраны агрегаты, выполненные на базе одного и того же компрессора П110.

Устанавливаемые агрегаты имеют суммарный объем, описываемый поршнями, $\Sigma V_h' = 0.056 \cdot 2 + 0.0836 = 0.1956$ м³/с, что несколько больше, чем получено в результате расчета ($V_h = 0.189 \text{ м}^3/\text{c}$).

Выполняем проверку мощности электродвигателей компрессоров. Для этого предварительно определяем следующие показатели.

Действительный массовый расход паров холодильного агента

$$G'_{a} = \frac{V'_{h}\lambda}{v_{...}};$$

для агрегата 1А110-7-2

$$G'_{a} = \frac{0.056 \cdot 0.57}{0.8} = 0.04 \text{ Kr/c}$$
;

для агрегата А110-7-2

$$G'_{a} = \frac{0.0836 \cdot 0.57}{0.8} = 0.06 \text{ kr/c}.$$

Адиабатная мощность

$$N_{\tau} = G'_{\mathbf{a}}(i_2 - i_1);$$

для агрегата 1А110-7-2

$$N_{\tau} = 0.04(1985 - 1662) = 12.92 \text{ kBt};$$

для агрегата А110-7-2

$$N_{\rm T} = 0.06 (1985 - 1662) = 19.38 \text{ kBr}$$
.

Индикаторную мощность компрессора определяем из уравнения

$$, N_i = \frac{N_i}{\eta_i},$$

где η_i — индикаторный КПД (см. рис. II—4) в зависимости от степени повышения давления пара в компрессоре $\pi = p_H/p_{BC}$ (при $\pi = 8.85$ для аммиачного компрессора с внешним приводом $\eta_i = 0.715$);

для агрегата 1A110-7-2
$$N_i = \frac{12,92}{0,715} = 18,06$$
 кВт;

для агрегата 1A110-7-2
$$N_i = \frac{19,38}{0.715} = 27,1$$
 кВт.

Мощность на клеммах электродвигателя

$$N_{a} = \frac{N_{\tau}}{\eta_{a}\eta_{a}\pi}$$

где η_{e} — эффективный КПД (по рис. II—4 при $\pi=\rho_{\rm H}/\rho_{\rm BC}=8,85$ для аммиачного компрессора с внешним приводом $\eta_{e}=0,64$); $\dot{\eta}_{\rm DR}$ — КПД электродвигателя $(\eta_{eR}=0,83\dots0,9)$.

Принимаем $\eta_{\text{эл}} = 0.83$ и находим $N_{\text{э}}$: для агрегата 1A110-7-2

$$N_{\theta} = \frac{12,92}{0,64 \cdot 0,83} = 24,32 \text{ kBt};$$

для агрегата А110-7-2

$$N_0 = \frac{19,38}{0.64 \cdot 0.83} = 36,48 \text{ KBT}.$$

Установленная мощность $N_{\rm дв.уст}$ (с учетом коэффициента запаса 1,25):

для агрегата 1А110-7-2

$$N_{\text{дв.уст}} = 1,25 \cdot 24,32 = 30,4 \text{ кВт};$$

для агрегата А110-7-2

$$N_{\text{mb.vcT}} = 1.25 \cdot 36.48 = 45.6 \text{ kBt.}$$

Фактические мощности каждого из установленных двигателей, поставляемых с компрессорами, соответственно на 9,6 и 9,4 кВт больше, чем рассчитанные. Это объясняется тем, что агрегаты, поставляемые заводом, рассчитаны на широкий диапазон работы (при t_0 от —10 до —30°C, а $t_{\rm R}$ до 50°C).

Тепловую нагрузку на конденсатор находим из уравнения

$$Q_{\rm R} = Q_0 + N_i$$
.

где

$$Q_0 = q_0 \Sigma G'_{\mathbf{a}}$$
;

$$Q_{\kappa} = 1099(2 \cdot 0.04 + 0.06) + (18.06 \cdot 2 + 27.1) = 217.08 \text{ kB}_{\text{T}}.$$

5. Подбор компрессоров для системы охлаждения камер № 8...13

Необходимая холодопроизводительность $Q_{0_{yet}}$ = 259,4 кВт при t_0 = -43° C, t_{K} = $+32^{\circ}$ C.

По приложению 1 определяем давление кипения $p_0 = 0.061$ МПа и конденсации $p_{\rm K} = 1.24$ МПа. Так как отношение давлений $p_{\rm K}/p_0 = 1.24/0.061 = 20.32 \gg 9$, то устанавливаем холодильную машину, работающую по циклу двухступенчатого сжатия.

Определяем промежуточное давление и температуру:

$$p_{\text{n.c}} = \sqrt{p_0 p_{\text{R}}} = \sqrt{0.061 \cdot 1.24} = 0.275 \text{ M}\Pi \text{a}$$
;

этому давлению соответствует температура $t_{\rm n,c} = -11^{\circ}{\rm C}$.

Строим цикл двухступенчатого сжатия при следующих условиях: промежуточное охлаждение паров холодильного агента, поступающего из компрессора низкого давления, полное; промежуточный сосуд со змеевиком; перегрев паров при всасывании в компрессор низкого давления $\Delta t_{\rm BC} = t_1' - t_0 = 5^{\circ} {\rm C}$; переохлаждение холодильного агента в водяном переохладителе (или конденсаторе) $\Delta t_{\rm II} = t_{\rm K} - t_5 = 5^{\circ} {\rm C}$; температура холодильного агента на выходе из змеевика промежуточного сосуда $t_7 = t_{\rm II.C} + 3^{\circ} {\rm C} = -11 + +3 = -8^{\circ} {\rm C}$; необходимые параметры для расчета цикла приведены на рис. XIV—6.

Рассчитываем следующие параметры: удельную холодопроизводительность

$$q_0 = i_1 - i_8 = 1636 - 386 = 1250$$
 кДж/кг;

массовый расход холодильного агента: в ступени низкого давления (с. н. д.)

$$G_{\rm a} = \frac{Q_{\rm o}}{q_{\rm o}} = \frac{259.4}{1250} = 0.2075 \text{ KF/c};$$

в ступени высокого давления (с. в. д.)

$$G_{a} = G_{a} = \frac{i_2 - i_7}{(i_8 - i_9)(1 - x_6)}$$

где x_6 — сухость паров холодильного агента в точке 6, кг/кг; $i_7 = i_8$;

$$G_{\text{a}} = 0.2075 \frac{1841 - 386}{(1668 - 372)(1 - 0.142)} = 0.272 \text{ kr/c};$$

объемный расход паров холодильного агента: в ступени низкого давления

$$V_{\rm H,n} = G_{\rm H,n} v_{\rm I'} = 0.2075 \cdot 1.8 = 0.373 \text{ m}^3/\text{c}$$
;

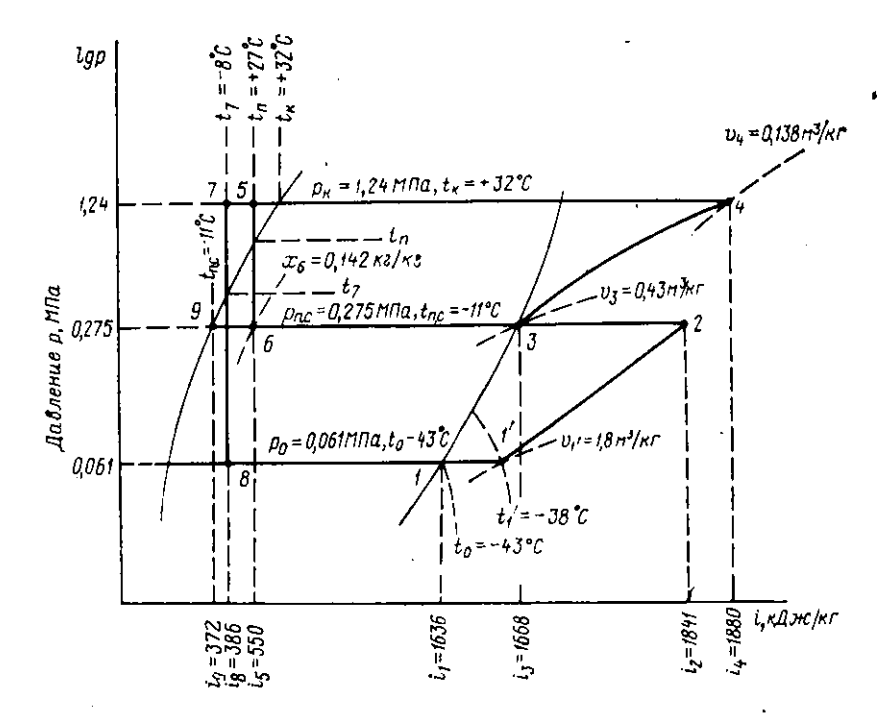


Рис. XIV—6. Изображение цикла двухступенчатого сжатия в диаграмме lgp—i с параметрами в характерных точках: t_0 — t_0 — t_0 0; t_0 = t_0 0; t_0 = t_0 0.

в ступени высокого давления

$$V_{\text{д}_{\text{B,H}}} = G_{\text{A}_{\text{B,H}}} v_3 = 0.272 \cdot 0.43 = 0.117 \text{ m}^3/\text{c};$$

коэффициент подачи:

для ступени низкого давления

$$\lambda_{\rm H, I} = 0.82 \, (\text{при } \pi = p_{\rm II, C}/p_0 = 0.275/0.061 = 4.5$$

по рис. XIV-5 для винтового компрессора);

. для ступени высокого давления

$$\lambda_{\text{в.д}} = 0.78$$
 (при $\pi = p_{\text{к}}/p_{\text{п.c}} = 1.24/0.275 = 4.5$ по рис. XIV—5

для бескрейцкопфного поршневого компрессора);

объемы, описываемые рабочими органами компрессоров: ступени низкого давления

$$V_{h_{\text{H},\text{H}}} = \frac{V_{\text{H},\text{H}}}{\lambda_{\text{H},\text{H}}} = \frac{0.373}{0.82} = 0.454 \text{ m}^3/\text{c}$$
;

ступени высокого давления

$$V_{h_{B,\pi}} = \frac{V_{\pi_{B,\pi}}}{\lambda_{B,\pi}} = \frac{0.117}{0.78} = 0.15 \text{ m}^3/\text{c};$$

$$\frac{V_{h_{B,\pi}}}{V_{h_{H,\pi}}} = \frac{0.15}{0.454} = 0.33.$$

По расчетным значениям объемов подбираем два двухступенчатых агрегата (см. приложение 17) АД130-7-4. Агрегат состоит из компрессора низкого давления ВХ350-7-4 и компрессора высокого давления П110-7-0. Компрессоры укомплектованы двигателями мощностью соответственно 55 кВт (при частоте вращения 50 с⁻¹) и 75 кВт (при частоте вращения 24,7 с⁻¹). Агрегаты комплектуются промежуточными сосудами СПА 600.

Объемы, описываемые рабочими органами компрессоров каждого агрегата:

ступень низкого давления

$$V'_{h_{\rm W,n}} = 0.236 \text{ m}^3/\text{c};$$

ступень высокого давления

$$V'_{h_{B,\pi}} = 0.0836 \text{ m}^3/\text{c}.$$

Следовательно, фактическое отношение объемов

$$\frac{V_{h_{B,\pi}}}{V_{h_{B,\pi}}} = 0.0836/0.236 \approx 0.35 :$$

В связи с небольшим различием фактического и расчетного отношений объемов промежуточные параметры не будут существенно отличаться от расчетных.

Определяем тепловую нагрузку на конденсатор

$$Q_{\rm K} = G'_{\rm R}_{\rm B,m} (i_4 - i_5)$$
,

учитывая, что переохлаждение жидкого холодильного агента до температуры $t_{\rm m} = t_{\rm 5}$ происходит в конденсаторе:

$$G'_{B,A} = \frac{V'_{h_{B,A}} \lambda_{B,A}}{v_{3}} = \frac{0.0836 \cdot 0.78}{0.43} = 0.152 \text{ kg/c};$$

так как на конденсатор работают два компрессорных агрегата, то

$$Q_{\rm R} = 2 \cdot 0.152 (1880 - 550) = 404 \text{ kBt}.$$

Пример XIV—2. Для холодильных установок, рассмотренных в примере XIV—1 и работающих на камеры № 4...7 и № 8... 13 (см. рис. XIV—1), подобрать конденсатор, если тепловая нагрузка от системы охлаждения камер № 4...7 равна 217,08 кВт, а камер № 8...13—404 кВт; система водоснабжения прямоточная; температура воды t_{w_1} =24°C и конденсации t_{κ} =32°C, холодильный агент — аммиак.

Определяем общую тепловую нагрузку на конденсатор

$$Q_{\kappa} = 217,08 + 404 = 621,08 \text{ kBt}$$
:

Затем выбираем тип конденсатора и находим площадь его теплопередающей поверхности.

Учитывая, что система водоснабжения прямоточная и данная холодильная установка относится к установкам средней мощности, выбираем вертикальный кожухотрубный конденсатор.

Для определения площади теплопередающей поверхности находим коэффициент теплопередачи k и средний логарифмический температурный напор $\Delta t_{\rm cp}$.

Коэффициент теплопередачи k определяем по табл. IV—I [для вертикального кожухотрубного конденсатора $k = 800 \, \mathrm{Bt/(m^2 \cdot K)}$].

Средний логарифмический температурный напор находим по формуле

$$\Delta t_{\mathrm{cp}_{_{\pi}}} = \frac{t_{w_2} - t_{w_1}}{\ln \frac{t_{\kappa} - t_{w_1}}{t_{\kappa} - t_{w_2}}}.$$

Задаемся перепадом температур по воде $\Delta t_w = t_{w_2} - t_{w_1} = 4$ °C; тогда температура воды, выходящей из конденсатора $t_{w_2} = 24 + 4 = 28$ °C;

$$\Delta t_{\rm cp} = \frac{28 - 24}{32 - 24} = 5,78^{\circ} \text{C}.$$

Следовательно, площадь теплопередающей поверхности

$$F_{\rm K} = \frac{621,08 \cdot 10^3}{800 \cdot 5,78} = 134,2 \text{ M}^2.$$

По приложению 4 подбираем два вертикальных кожухотрубных конденсатора типа 75 КВ. Каждый конденсатор имеет площадь, равную 75 м²; общая площадь $F_R = 150$ м².

Определяем объемный расход охлаждающей воды в конденсаторах

$$V_w = \frac{621,08 \cdot 10^3}{4.19 \cdot 10^3 (28 - 24)} = 0.037 \text{ m}^3/\text{c}$$
:

Пример XIV—3. Для условий примера XIV—1 провести поверочный расчет площади теплопередающей поверхности конденсатора холодильной машины XM-AV45/A2, работающей на систему охлаждения камеры № 1 (см. рис. XIV—1), если холодопроизводительность машины Q_0 =53 кВт, потребляемая мощ-

ность электродвигателя компрессора $N_s = 16$ кВт, температура воды $t_w = 24$ °C, а конденсации $t_{\rm K} = 32$ °C.

Тепловую нагрузку на конденсатор определяем по формуле

$$Q_{\kappa} \Rightarrow Q_0 + N_i = Q_0 + N_{\bullet} \eta_{M} \eta_{\partial \pi};$$

при $\eta_{M} = 0.9$ и $\eta_{BH} = 0.83$

$$Q_{\kappa} = 53 + 16 \cdot 0.9 \cdot 0.83 = 64.95 \text{ kBt.}$$

Принимаем, что t_{w_2} =28°C. Тогда средний логарифмический температурный напор $\Delta t_{\rm cp_A}$ =5,78°C (см. расчет, приведенный в примере XIV—2).

По табл. IV—1 принимаем, что коэффициент теплопередачи горизонтального кожухотрубного конденсатора, входящего в состав холодильной машины, равен 800 Вт/(м²-К).

Определяем значение $F_{\rm R}$:

$$F_{\rm K} = \frac{64,95 \cdot 10^3}{800 \cdot 5.78} = 14 \text{ M}^2$$
,

что соответствует техническим данным машины.

Пример XIV—4. Подобрать защитные ресиверы для холодильной установки, работающей на камеры № 4...7 (см. рис. XIV—1), если известно, что камеры оборудованы системой непосредственного охлаждения, система безнасосная (с нижней подачей), в камерах установлены потолочные и пристенные батареи, батареи изготовлены из оребренных труб диаметром 38××2,6 мм с шагом ребер 30 мм, ширина и толщина ленты 30××1 мм, площадь теплопередающей поверхности охлаждающих батарей в каждой камере равна 850 м².

Защитные ресиверы устанавливают на всасывающей линии между камерными охлаждающими приборами и компрессором непосредственно перед компрессором (для защиты его от влажного хода).

Защитные ресиверы подбирают по расчетному объему, учитывающему вместимость по холодильному агенту всего камерного оборудования, входящего в состав данной системы охлаждения. Обычно подбирают два ресивера, которые подключаются к системе попеременно.

Необходимый объем защитных ресиверов определяем с помощью следующей зависимости:

$$V_{3,p} \geqslant V_6 K_1 K_2 K_3 K_4 K_5 K_6$$

где $V_{8,p}$ — объем защитных ресиверов, м³; V_6 — внутренний объем охлаждающих батарей, м³; K_1 — коэффициент, учитывающий степень заполнения жидким хладагентом охлаждающих батарей (K_1 =0,7 при нижней подаче); K_2 — коэффициент, учитывающий частичное выбрасывание (при нижней подаче) жидкого холодильного агента из охлаждающих батарей (K_2 =0,3); K_3 — коэффициент, учитывающий объем коллекторов и соединительных трубопроводов

системы $(K_3=1,1)$; K_4 — коэффициент, учитывающий остаточное или рабочее заполнение ресивера $(K_4=1,2)$; K_6 — коэффициент, учитывающий допустимое заполнение ресивера $(K_5=1,45)$; K_6 — коэффициент запаса $(K_6=1,2)$.

Объем охлаждающих батарей определяем по формуле

$$V_0 = L v_{TD}$$

где L — длина труб охлаждающих батарей, м; $v_{\rm Tp}$ — внутренний объем трубы, м³/м (для труб 38×2.5 мм $v_{\rm Tp}$ = $0.88 \cdot 10^{-3}$ м³/м).

Длину L определяем по формуле

$$L = F_0/f$$
,

где F_0 — общая площадь теплопередающей поверхности охлаждающих батарей, м² (F_0 — $4\cdot850$ — $3400\,$ м²); f — площадь поверхности оребренной трубы, м²/м (для оребренной трубы днаметром 38 мм при шаге ребер 30 мм, ширине и толщине ленты 30×1 мм f = $0.54\,$ м²/м);

$$L = \frac{3400}{0.54} = 6296 \text{ M}.$$

Тогда

$$V_6 = \frac{6296 \cdot 0,88}{1000} = 5,54 \text{ M}^3$$

Подставляем известные данные и определяем

$$V_{a,p} = 5,54 \cdot 0,7 \cdot 0,3 \cdot 1,1 \cdot 1,2 \cdot 1,45 \cdot 1,2 = 2,67 \text{ M}^3$$
:

По приложению 18 подбираем два вертикальных ресивера типа 1,5РДВа объемом 1,4 м³ (общий объем равен 3 м³ и близок к расчетному).

Пример XIV—5. Подобрать циркуляционный ресивер для холодильной установки, работающей на камеры № 8—13 (см. рис. XIV—1), если камеры оборудованы системой непосредственного охлаждения (насосная система с нижней подачей); в камерах № 8, 10 и 12 установлено девять воздухоохладителей общей площадью F_0 =1350 м²; в камерах № 9, 11 и 13— шесть воздухоохладителей общей площадью F_0 =1050 м² (диаметр труб воздухоохладителя 38 \times 2,5 мм, оребрение спирально-навивное; размер ленты для оребрения 30 \times 1 мм, шаг ребер переменный— от 30 до 20 мм).

Объем циркуляционного ресивера определяем по формуле

$$V_{\rm H p} > [V_{\rm H T} + V_{\rm BO}K_{1_{\rm BO}}K_2 + V_{\rm BT} \cdot 0,3]K_4K_5K_6$$

где $V_{\rm B.7}$ — внутренний объем нагнетательного трубопровода, м³; $V_{\rm B0}$ — внутренний объем труб воздухоохладителей, м³; $K_{\rm 180}$ — коэффициент, учитывающий степень заполнения жидким холодильным агентом воздухоохладителей ($K_{\rm 180}$ — 0,7 при нижней подаче холодильного агента); $K_{\rm 2}$ = 0,3; $V_{\rm B.7}$ — внутренний объем всасывающего (сливного) трубопровода, м³; $K_{\rm 4}$ = 1,55; $K_{\rm 5}$ = 1,45 (для вертикальных ресиверов); $K_{\rm 6}$ = 1,2.

Объемы $V_{\text{и.т}}$ и $V_{\text{в.т}}$ принимаем ориентировочно в зависимости от $V_{\text{во}}$.

$$V_{\text{H.T}} = 0.04 V_{\text{BO}}$$
; $V_{\text{B.T}} = 0.06 V_{\text{BO}}$.

Объем $V_{\rm BO}$ определяем так же, как и для охлаждающих батарей:

$$V_{\text{BO}} = L v_{\text{TP}},$$
 $L = F_0/f$; $F_0 = 1350 + 1050 = 2400 \text{ M}^2.$

Так как в воздухоохладителях предусмотрен переменный шаг оребрения, то площадь f наружной поверхности 1 м трубы определяем как среднюю

$$f_{\rm cp} = \frac{f_{20} + f_{30}}{2},$$

где

ť

١

$$f_{20} = 0.76 \text{ m}^2/\text{m}; f_{30} = 0.54 \text{ m}^2/\text{m}$$

Тогда $f_{\rm cp} = 0.65 \, {\rm M}^2/{\rm M}$.

Учитываем значения F_0 , $f_{\rm cp}$, $v_{\rm TP} = 0.88 \cdot 10^{-3}$ м³/м и находим:

$$L = \frac{2400}{0.65} = 3692,3 \text{ m};$$

$$V_{\text{BO}} = 3692,3 \cdot 0.88 \cdot 10^{-3} = 3.25 \text{ m}^3;$$

 $V_{\text{d,p}} = \begin{bmatrix} 0.04 \cdot 3.25 + 3.25 \cdot 0.7 \cdot 0.3 + 0.06 \cdot 3.25 \cdot 0.3 \end{bmatrix} 1.55 \cdot 1.45 \cdot 1.2 = 2.35 \text{ m}^3.$

По приложению 18 подбираем вертикальный ресивер 2,5РДВа, имеющий объем 2,7 м³.

Пример XIV—6. Подобрать дренажный ресивер, работающий на камеры № 4...13 (см. рнс. XIV—1).

Объем дренажного ресивера определяем по формуле

$$V_{\rm np} \ge (V_6 + V_{\rm Bo}) K_1 K_2 K_3 K_4 K_5 K_6$$
;

где $K_1=0.7$ (при нижней подаче холодильного агента); $K_2=1$ (для варианта, когда весь холодильный агент из охлаждающих приборов стекает в ресивер); $K_3=1.1$; $K_4=1.2$ и $K_5=1.45$ (для вертикального ресивера); $K_6=1.2$.

При определении $V_{\rm дp}$ учитывают объемы охлаждающих батарей $V_{\rm 0}$ и воздухоохладителей $V_{\rm 10}$ одной камеры, характеризующейся наибольшей вместимостью по холодильному агенту.

Наибольшей вместимостью по холодильному агенту характеризуется система охлаждения камер № 4...7, в которой общая площадь охлаждающих батарей $F_0 = 3400$ м². Следовательно, площадь теплопередающей поверхности охлаждающих батарей, устатовленных в одной камере, равна 850 м² (см. данные примера XIV-4).

Находим внутренний объем охлаждающих батарей одной ка меры

$$V_6 = \frac{F_0 \, v_{\tau p}}{1000f} = \frac{850 \cdot 0.88}{1000 \cdot 0.54} = 1.38 \, \text{M}^3.$$

Тогда

$$V_{\text{AD}} = 1,38 \cdot 0,7 \cdot 1 \cdot 1,1 \cdot 1,2 \cdot 1,45 \cdot 1,2 = 2,22 \text{ M}^3$$
.

По приложению 18 подбираем вертикальный дренажный ре-

сивер 2,5РДВа, имеющий объем 2,7 м³.

Пример XIV—7. Подобрать линейный ресивер для системы охлаждения камер № 4...7 и 8...13 (см. рис. XIV—1), если внутренний объем охлаждающих батарей камер № 4...7 V_6 = =5,54 м³, а камер № 8...13 V_{20} = 3,25 м³.

Объем линейного ресивера определяем по формуле

$$V_{\text{n.p}} \geqslant (V_6 + V_{BO}) K_1 K_2 K_3 K_4 K_5 K_6$$
;

где $K_1K_2 = 0.45$; $K_3 = 1.1$; $K_4 = 1.05$; $K_5 = 1.25$; $K_6 = 1$!

$$V_{\pi,p} = (5,54+3,25)0,45\cdot1,1\cdot1,05\cdot1,25\cdot1=5,71 \text{ m}^3$$

По приложению 18 подбираем два горизонтальных линейных ресивера 3,5 PB объемом 3,5 м³ (общий объем ресиверов равег 7 м³).

Пример XIV—8. Подобрать отделитель жидкости для системы охлаждения камер № 2 и 3 (см. рис. XIV—1), если на систему охлаждения работают три компрессорно-конденсаторных агрегата АК-AB22/A2 с компрессорами AB22, имеющими описываемый объем 0,0118 м³/с; температура кипения $t_0 = -8$ °C, температура воды $t_{w_1} = 24$ °C.

Подбор отделителя жидкости осуществляем по внутреннему диаметру $D_{0,m}$ корпуса аппарата

$$D_{\text{O.H.}} = 2\sqrt{\Sigma (V_h \lambda)/(3,14\omega_{\text{O.H.}})}$$

где $D_{0,m}$ — внутренний диаметр корпуса, м; $\Sigma(V_h\lambda)$ — сумма произведений описываемых объемов на коэффициенты подачи подключаемых к отделителк жидкости компрессоров, \mathbf{m}^3/\mathbf{c} ; $\omega_{0,m}$ — допустимая скорость движения паров холодильного агента в корпусе аппарата, м/с ($\omega_{0,m}$ == 0,5 м/с).

Для определения коэффициента подачи находим отношение $\pi = p_{\rm K}/p_0$.

Для принятых в примере XIV—1 условий $t_R = t_{w_1} + 8 = 24 + 8 = 32$ °C. Давление конденсации аммиака $p_R = 1,239$ МПа пре $t_R = 32$ °C; давление кипения аммиака $p_0 = 0,3156$ МПа при $t_0 = -8$ °C. Отношение давлений $\pi = p_R/p_0 = 1,239/0,3156 = 3,93$; при таком отношении давлений по рис. XIV—5 находим, что коэффициент подачи современных бескрейцкопфиых компрессоров $\lambda = 0,8$

$$D_{\text{0.H}} = 2 \sqrt{\frac{3 \cdot 0.0118 \cdot 0.8}{3.14 \cdot 0.5}} = 0.27 \text{ M}.$$

Подбираем отделитель жидкости 70 ОЖ^г, имеющий наружный диаметр корпуса 426 мм и толщину стенок 10 мм, впутренний диаметр всасывающего патрубка 70 мм.

Пример XIV—9. Подобрать общий маслоотделитель для компрессоров ступени высокого давления двух двухступенчатых агрегатов, работающих на систему охлаждения камер № 8...13 (см. рис. XIV—1), если известно (см. пример XIV—1), что описываемый объем каждого компрессора высокого давления (П110) $V_{h_{\rm B,R}}=0{,}0836~{\rm m}^3/{\rm c};$ коэффициент подачи $\lambda_{\rm B,L}=0{,}78.$

Подбор маслоотделителя осуществляем по внутреннему диаметру $D_{\text{мо}}$ корпуса аппарата, определяемому из уравнения

$$D_{\text{MO}_{B,\Pi}} = 2 \sqrt{\frac{1}{3,14\omega_{\text{MO}}} \frac{v_4}{v_3} (V_{h_{B,\Pi}} \lambda_{B,\Pi})}$$
,

где $D_{\text{мов. R}}$ — внутренний диаметр корпуса, м; $\omega_{\text{мо}}$ — допустимая скорость паров холодильного агента в корпусе аппарата, м/с ($\omega_{\text{мо}}$ = 0,7 м/с); v_4, v_3 — удельный объем паров холодильного агента в точках 4 и 3 цикла (см. рис. XIV—6) (v_4 = 0,138 м³/кг; v_3 = 0,43 м³/кг);

$$D_{\text{MO}_{\text{MO}_{\text{M},\text{A}}}} = 2 \ \sqrt{\frac{1}{3,14 \cdot 0,7}} \, \frac{0,138}{0,43} 2 \cdot 0,0836 \cdot 0,78 = 0,276 \ \text{M} \ ;$$

Подбираем маслоотделитель 80 ОММ, имеющий наружный диаметр корпуса 325 мм, диаметр нагнетательного патрубка 80 мм.

Пример XIV—10. Произвести поверочный расчет промежуточных сосудов СПА 600, поставляемых с каждым двухступенчатым компрессорным агрегатом АД130-7-4 для условий работы камер № 8...13 (см. рис. XIV—1), если описываемый объем компрессора высокого давления (ПІ10) $V_{h_{B,A}} = 0,0836 \text{ м}^3/\text{с}$, коэффициент подачи (см. пример XIV—1) $\lambda_{B,A} = 0,78$.

Необходимый внутренний диаметр $D_{\text{п.с.}}$ (в м) корпуса промежуточного сосуда находим из уравнения

$$D_{\text{tr.c}} = 2 \cdot \sqrt{\frac{V_{h_{\text{B,H}}} \lambda_{\text{tr.H}}}{3.14 \omega_{\text{H},\text{C}}}} = 2 \cdot \sqrt{\frac{0.0836 \cdot 0.78}{3.14 \cdot 0.5}} = 0.408 \text{ M},$$

где $\omega_{\pi,c}$ — допустимая скорость паров холодильного агента в корпусе анпарата, м/с ($\omega_{\pi,c}$ = 0,5 м/с).

Поставляемый с агрегатом промежуточный сосуд СПА 600 имеет наружный диаметр корпуса 600 мм, внутренний днаметр 584 мм, днаметр патрубков нагнетательного (от ступени низкого давления) и всасывающего (к ступени высокого давления) 100 мм.

Диаметр аппарата несколько больше диаметра расчетного. Необходимость установки аппарата большего диаметра вызвана более тяжелыми условиями работы агрегата (заводом-поставщиком предусмотрен широкий диапазон изменения температуры t_0 от —35 до —55°C, а температуры $t_{\rm K}$ до 50°C).

Пример XIV—11. Подобрать водяные насосы для системы водоснабжения холодильной установки (см. рис. XIV—1), если расход охлаждающей воды в конденсаторе холодильной машины XM-AУ45/A2 равен 0,00387 м³/с (расход воды определен по исходным данным примера XIV—3), расход охлаждающей воды в конденсаторе каждого из трех холодильных агрегатов АК-AB22/A2 0,00277 м³/с (см. пример XIV—1), расход охлаждающей воды в двух кожухотрубных конденсаторах 75КВ—0,037 м³/с (см. пример XIV—2).

Общий расход воды во всех конденсаторах

$$\Sigma V_w = 0.00387 + 3.0.00277 + 0.037 = 0.04918 \text{ m}^3/\text{c}$$
:

Подбираем два консольных насоса 4K-12a. Каждый насос имеет подачу 0,0277 м³/с (при полном напоре 230 кПа). Насос оборудован электродвигателем A02-51-2 мощностью 10 кВт, скорость вращения вала насоса 48,3 с⁻¹. Насосы работают в одну нагнетательную линию. При уменьшении тепловой нагрузки на конденсаторы один из насосов можно остановить (из практических соображений можно дополнительно установить резервный насос).

Пример XIV—12. Подобрать аммиачные насосы для системы охлаждения камер № 8...13, если известно, что жидкий холодильный агент подается под напором, создаваемым насосом. Тепловая нагрузка на камерное оборудование соответствует значениям, указанным на рис. XIV—1, и в общей сумме составляет $Q_{06} = 210$ кВт, температура кипения $t_0 = -43$ °С. Гидравлические сопротивления циркуляционной системы насоса: всасывающего трубопровода насоса $\Delta p_{\rm BC} = 8$ кПа; нагнетательного и сливного трубопроводов до точки вскипания (без охлаждающего прибора) $\Delta p_{\rm H} = 150$ кПа; охлаждающего прибора $\Delta p_{\rm R} = 15$ кПа; разность между наивысшей точкой системы и уровнем холодильного агента в циркуляционном ресивере h = 8 м.

Определяем подачу $V_{\rm H}$ аммиачного насоса (в м³/с)

$$V_{\rm fl} = Q_{\rm oo} n v_{\rm HK}/r$$
,

где Q_{00} — тепловая нагрузка на камерное оборудование, кВт; n — кратность циркуляции жидкого холодильного агента; $v_{\rm W}$ — удельный объем жидкого холодильного агента, м 3 /кг; r — скрытая теплота парообразования жидкого холодильного агента, кДж/кг.

При нижней подаче жидкого холодильного агента в приборы охлаждения (в соответствии с рис. XIV—1) n обычно принимают равным 4...6. В соответствии с режимом работы (см. пример XIV—1 и рис. XIV—6) r=1397 кДж/кг. Из таблиц для аммиака находим, что при температуре $t_0=-43$ °C удельный объем $v_{\rm ж}=-1.4417\cdot 10^{-3}$ м³/кг.

При известных данных подача аммиачного насоса

$$V_{\rm H} = 210 \cdot 6 \cdot 1{,}4417 \cdot 10^{-3}/1397 = 1{,}3 \cdot 10^{-3} \text{ m}^3/\text{c}$$
.

Необходимый напор H (в Πa), развиваемый насосом, определяем из условия

$$H \geqslant \Delta p_{\rm BC} + \Delta p_{\rm H} + \Delta p_{\rm H} + h \rho_{\rm H} g$$
,

где

$$\rho_{\rm IR} = \frac{1}{v_{\rm IR}} = \frac{1}{1,4417 \cdot 10^{-3}} = 693,6 \text{ kg/m}^3;$$

$$H = 8 \cdot 10^3 + 150 \cdot 10^3 + 15 \cdot 10^3 + 8 \cdot 693, 6 \cdot 9, 81 = 227, 4 \cdot 10^3 \ \Pi a = 227.4 \ \kappa \Pi a$$
:

Для указанных значений $V_{\rm H}$ и H выбираем циркуляционный аммиачный насос ЦНГ-70М-2 (1,5ХГ-6 \times 2,8-2), имеющий подачу (1,52...3,33) · 10⁻³ м³/с при изменении напора от 38 до 28 м столба жидкого аммиака, что для условий t_0 = —43° соответствует изменению напора от 260 до 190 кПа, т. е. выбранный насос обеспечивает необходимые напор и подачу. Мощность электродвигателя, поставляемого с насосом, $N_{3\pi}$ = 2,8 кВт. Рассчитываем необходимую мощность электродвигателя насоса

$$N'_{\text{a.t.}} = \frac{V_{\text{B}}H}{\eta_{\text{B}} \cdot 1000} K_{\text{M}} = \frac{1,3 \cdot 10^{-3} \cdot 227,4 \cdot 10^{3}}{0,5 \cdot 1000} - 1,5 = 0,89 \text{ kBr}.$$

где 0,5 — КПД насоса; 1,5 — коэффициент запаса мощности.

Пример XIV—13. Определить температуру конденсации и подобрать вентиляторную градирню для системы оборотного водоснабжения холодильной установки (рис. XIV—7), расположенной в г. Оренбурге, если общая холодопроизводительность установки в рабочих условиях составляет 1,5 МВт, а суммарная индикаторная мощность компрессоров равна 0,6 МВт.

Определяем тепловую нагрузку на градирню $Q_{\mathbf{r}}$

$$Q_{\rm r} \approx Q_{\rm K} = \Sigma (Q_0 + N_i) = 1500 + 600 = 2100 \text{ KBT}.$$

Расчетные параметры наружного воздуха для г. Оренбурга: $\phi_{HP} = 40\%$, а по уравнению (XIV—3) $t_{HP} = 26.9 + 0.125 \cdot 42 = 32.2$ °C.

При этих условиях по диаграмме I-d находим, что $t_{\rm M}=-22.2\,{\rm ^{\circ}C}$.

Температуру воды t_{w_2} , поступающей на градирню, определяем из (XIV—2), принимая, что перспад температур по воде $\Delta t_w = t_{w_2} - t_{w_1} = 4,2\,^{\circ}\text{C}$ (обычно принимается в диапазоне 2—5 $\,^{\circ}\text{C}$), а коэффициент эффективности $\eta = 0,8$ (см. таблицу на с. 137):

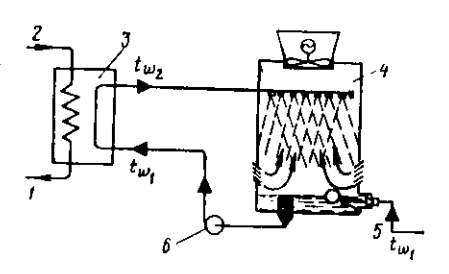


Рис. XIV—7. Схема оборотного водоснабжения:

7 — жидкий холодильный агент;
 2 — пары холодильного агента от компрессора;
 3 — конденсатор;
 4 — вентиляторная градирня;
 5 — подача воды для компенсации потерь охладителе;
 6 — циркуляционный насос

$$t_{w_2} = 22.2 + \frac{4.2}{0.8} \approx 27.5$$
°C.

Температура $t_{w_1} = t_{w_2} - \Delta t_w = 27,5 - 4,2 = 23,3$ °C.

Температура конденсации $t_{\kappa} = t_{w_2} + 3 = 27.5 + 3 = 30.5$ °C.

По уравнению (XIV-4) находим расход воды в градирне

$$V_w = 2100/(4,19 \cdot 1000 \cdot 4,2) = 0,1193 \text{ m}^3/\text{c}$$

а по уравнению (XIV—5) — площадь поперечного сечения градирии, учитывая, что $q_F = 45 \text{ кBT/m}^2$ (см. таблицу на с. 137),

$$F_r = 2100/45 = 46,6 \text{ M}^2$$
.

По значению $F_{\rm r}$ подбираем вентиляторную градирню конструкции Союзводоканалпроекта с верхним расположением вентилятора, состоящую из трех секций и имеющую площадь поперечного сечения, равную 48 м² (приложение 19).

Рассчитываем удельную гидравлическую нагрузку

$$H_w = 0.1193/48 = 0.00248 \text{ m}^3/(\text{m}^2 \cdot \text{c})$$

и находим, что расчетное значение H_w соответствует рекомендуемому диапазону $H_w = 0.0015 \dots 0.0025$ м³/(м²·с) для вентиляторных градирен.

Пример XIV—14. Определить температуру конденсации и рассчитать брызгальный бассейн для системы оборотного водоснабжения холодильной установки, расположенной в г. Вологде, если общая тепловая нагрузка на брызгальный бассейн составляет 3 МВт. Расчетные параметры наружного воздуха для г. Вологды: $\phi_{\rm HP} = 61\%$; $t_{\rm HP} = 21,1+0,125\cdot35 = 25,5\,^{\circ}\text{C}$.

По диаграмме I-d воздуха находим, что $t_{\rm M}=19.5\,{\rm ^{\circ}C}$.

Температуру воды, поступающей на брызгальный бассейн, определяем с помощью уравнения (XIV—2), задаваясь перепадом температуры по воде, равным 3,5°C (рекомендуемый перепад 2—4°C), и коэффициентом эффективности брызгального бассейна $\eta = 0,40$,

$$t_{w_2} = 19.5 + 3.5/0.40 = 28.25$$
°C:

Температура $t_{w_1} = 28,25 - 3,5 = 24,75$ °С.

Температура конденсации $t_{\rm K} = 28,25 + 3 = 31,25$ °C.

Гидравлическую нагрузку брызгального бассейна рассчитываем по формуле (XIV—4)

$$V_w = \frac{3000}{4.19 \cdot 1000 \cdot 3.5} = 0.204 \text{ m}^3/\text{c}$$

а площадь поперечного сечения — по уравнению (XIV—5), принимая, что $q_F = 4,4$ кВт/м²,

$$F_{60} = 3000/4.4 = 681.8 \text{ M}^{2}$$
:

При этом удельная гидравлическая нагрузка

$$H_w = 0.204/681.8 =$$

= 0.000299 m³/(m²·c).

Расчетное значение H_w соответствует значениям H_w =0,0002... 0,0003 м³/(м²·с), принимаемым для брызгальных бассейнов.

В качестве разбрызгивающих устройств принимаем соила размером 50/25 мм. При этом предполагаем, что напор перед соилом

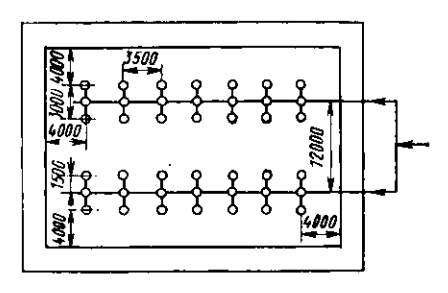


Рис. XIV--8. План брызгального бассейна

составляет 5 м вод. ст. При производительности сопла $q_w = -5,19 \cdot 10^{-3}$ м³/с количество их составляет

$$n_c = V_w/q_w = 0.204/(5.19 \cdot 10^{-3}) = 40 \text{ mt}.$$

Принимаем $n_c = 42$ шт. Учитывая рекомендации, располагаем сопла в два ряда (рис. XIV—8).

Необходимый напор, развиваемый насосом, складывается из напора перед соплами, статического напора столба жидкости, потерь напора по длине трубопровода и в местных сопротивлениях. Необходимый напор перед соплами составляет 5 м вод. ст. (50 кПа). Ориентировочно принимаем, что остальные потери напора составляют также 50 кПа. По полному напору 100 кПа и расходу воды V_w =0,204 м³/с подбираем два насоса 8K-18, каждый из них имеет подачу 0,103 м³/с.

ГЛАВА XV. ПРОИЗВОДСТВО ИСКУССТВЕННОГО ВОДНОГО ЛЬДА

Искусственный водный лед изготовляют из пресной или морской воды и рассолов в льдогенераторах непосредственного и рассольного охлаждения. По форме выпускается лед блочный, плиточный, цилиндрический (трубчатый), чешуйчатый и снежный.

При расчете льдогенераторов определяют их производительность, продолжительность замораживания, тепловую нагрузку на аппараты. После расчета осуществляют подбор холодильного оборудования (испарителей, компрессоров, конденсаторов, насосов для воды и др.).

В связи с большим разнообразием форм льда и типов льдогенераторов расчеты выполняют с использованием различных зависимостей. При этом продолжительность замораживания определяют с помощью соотношения Р. Планка, представленного в различных вариантах.

Пример XV—1. Определить продолжительность замораживания блоков льда в льдогенераторе с рассольным охлаждением. Блоки замораживают в формах следующих размеров: в верхней части $b_{\rm B} \times \delta_{\rm B} = 190 \times 110$ мм, в нижней — $b_{\rm H} \times \delta_{\rm H} = 160 \times 80$ мм; высота 1115 мм. Температура хладоносителя $t_{\rm xH} = -12$ °C.

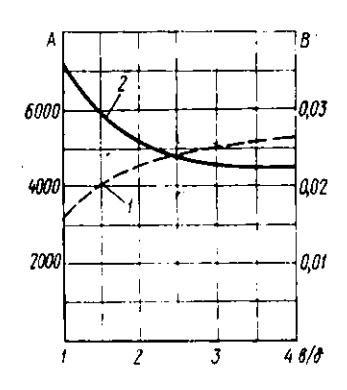


Рис. XV—1. Зависимость коэффициентов A, B от соотношения сторон b/δ в верхней части льдоформ: 1— для коэффициента A; 2—для коэффициента B

Продолжительность замораживани блоков льда находим по приближению формуле Р. Планка

$$\tau_3 = \frac{3600 A \delta_{\pi}}{t_{XH}} (\delta_{\pi} + B) , \qquad (XV-1)$$

где τ_3 — продолжительность замораживания, A, B — коэффициенты, зависящие от отношени размеров сторон поперечного сечения блока льд и принимаемые в соответствии с рис. XV—1 (протношении $b_u/\delta_n=190/110=1.73$ коэффициенты A=4330, B=0.0278); δ_n — толщина заморажива мого льда, принимаемая равной меньшей сторо блока в его верхней части (δ_n), м; t_{xH} — абсолютное значение температуры хладоносите: °C:

$$\tau_{3} = \frac{3600 \cdot 4330 \cdot 0.11}{12}$$
 (0,11+

$$+0.0278$$
) = 19650 c = 5.47 ч.

Пример XV—2. Определить продолжительность процесса про изводства льда в двустороннем скребковом льдогенераторе*, есл подаваемая на льдогенератор вода предварительно охлаждаетс до t_w =1,5°C, конечная среднеобъемная температура льда t_π = —4°C, температура кипения холодильного агента в рубашк льдогенератора t_0 =—25°C, толщина намораживаемого льд δ_π =0,0015 м, коэффициент теплоотдачи со стороны холодильног агента α_0 =1500 Bt/(м²·K), а со стороны воды (ко льду) α_π = =10000 Bt/(м²·K), толщина стальной стенки льдогенератора δ_c = =0,008 м, а коэффициент ее теплопроводности λ_c =47 Bt/(м·K)

Продолжительность процесса производства льда в двусторог нем скребковом льдогенераторе определяем с помощью уравнени Р. Планка

$$\tau_{3} = \frac{10^{3}q_{3}\rho_{\pi}\delta_{\pi}}{t_{0}} \left(\frac{1}{\alpha_{0}} + \frac{\delta_{\sigma}}{\lambda_{c}} + \frac{0.5\delta_{\pi}}{\lambda_{\pi}} + \frac{1}{\alpha_{\pi}} \right); \qquad (XV-2)$$

где q_3 — теплота, отводимая от 1 кг воды при замораживании, кДж/кг; ρ_3 — плотность льда, кг/м³ (ρ_π = 917 кг/м³); t_0 — абсолютное значение температург кипения холодильного агента, °C; λ_π — коэффициент теплопроводности льда $\mathrm{Br}/(\mathrm{M}\cdot\mathrm{K})$ [λ_n = 2,2 $\mathrm{Br}/(\mathrm{M}\cdot\mathrm{K})$].

Формула (XV—2) не учитывает время, необходимое для ох лаждения воды до начала льдообразования и понижения темпе ратуры льда до конечной заданной.

 \overline{A} ля определения полной продолжительности процесса в формуле (XV—2) учитываем теплоту q:

^{*} Конструкцию и расчет скребкового льдогенератора см. в книге В. А. Бос кова «Производство и применение льда». — М.: Пищевая промышленності 1977. — 232 с.

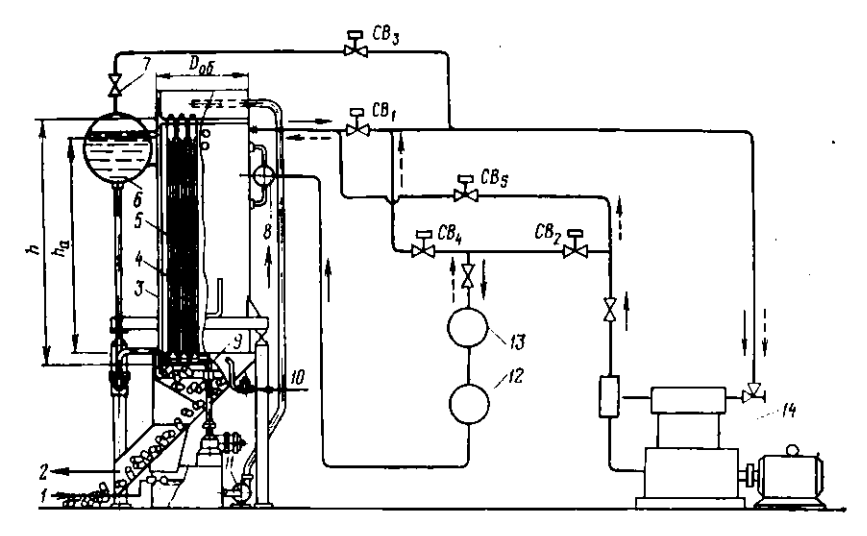


Рис. XV—2. Схема холодильной установки кожухотрубного льдогенератора для производства трубчатого льда:

$$q = 4.19t_w + 335.2 - 2.1t_\pi = 4.19 \cdot 1.5 + 335.2 - 2.1(-4) = 350 \text{ кДж/кг}$$

$$\tau_3 = \frac{10^3 \cdot 350 \cdot 917 \cdot 0,0015}{25} \left(\frac{1}{1500} + \frac{0,008}{47} + \frac{0,5 \cdot 0,0015}{2.2} + \frac{1}{10000} \right) = 24,6 \text{ c.}$$

Пример XV-3. Определить тепловую нагрузку на холодильную установку кожухотрубного льдогенератора для производства трубчатого льда (рис. XV-2) при следующих условиях: произ-

водительность льдогенератора G=3,5 т в сутки; температура поступающей воды $t_w=20\,^{\circ}\mathrm{C}$; температура кипения холодильного агента (аммиак) $t_0=-15\,^{\circ}\mathrm{C}$; диаметр труб $D_{\mathrm{H}}=57\times3,5\,$ мм (рис. XV—3); высота труб h=3 м; активная высота труб h=3 м; количество труб n=25; толщина намораживаемого льда $\delta_{\pi}=-0,015$ м; конечная среднеобъемная температура льда $t_{\pi}=-5\,^{\circ}\mathrm{C}$; мощность электродвигателя насоса для подачи воды $N_{\mathrm{дB}}=2,8\,$ кВт; продолжительность одного цикла работы льдо-

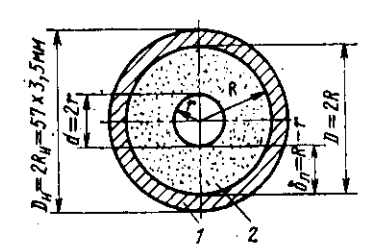


Рис. XV—3. Схема намораживания льда: /— стенка трубы; 2— лед

• генератора $\tau_{\pi} = 0,6$ ч, в том числе продолжительность наморажи вания льда $\tau_{\pi} = 0,4$ ч.

Тепловая нагрузка Q_0 (в кВт) равна сумме теплопритоков

$$Q_0 = \Sigma Q = Q_{T} + Q_{MT} + Q_{T} + Q_{H}$$

где Q_A — теплоприток от воды при ее охлаждении и замораживании, а также при понижении температуры льда до конечной температуры, кВт; $Q_{\rm MT}$ — теплоприток от металлоконструкций льдогенератора после каждого цикла отгаи вания, кВт; $Q_{\rm T}$ — теплоприток из окружающей среды через изолированную инеизолированную поверхности льдогенератора, поверхность бака для воды и охлаждающих труб, кВт; $Q_{\rm R}$ — теплоприток от насоса для подачи воды из бака на охлаждающие трубы льдогенератора, кВт.

Теплоприток от воды

$$Q_{\pi} = \frac{G'(4.19t_{w} + 335.2 - 2.1t_{\pi})}{\tau_{\pi_{0.5}tt}} \cdot 10^{3},$$

где G' — действительная производительность льдогенератора, т в сутки; $au_{\pi \circ \delta \iota \iota \iota}$ — общая продолжительность работы льдогенератора в режиме намораживания льда, с.

Действительную производительность льдогенератора определяем по формуле

$$G' = G(1+y)$$
;

где у - доля льда, подтаявшего при освобождении льдогенератора;

$$y = \frac{D^2 - [2(R - \delta_{\pi})]^2}{D^2 - d^2}$$

 δ_n — толщина подтаявшего льда, м (принимаем δ_n = 0,00075 м);

$$y = \frac{0.05^2 - [2(0.025 - 0.00075)]^2}{0.05^2 - 0.02^2} = 0.07$$
.

Учитывая значение y, находим действительную производительность льдогенератора

$$G' = G(1+y) = 3.5(1+0.07) = 3.745$$
 т в сутки.

Для определения продолжительности задаемся, что льдогенератор работает круглосуточно, и находим

$$\tau_{\pi} = \tau_{\pi} z$$
,

где z — количество циклов;

$$z=\frac{24}{\tau_{\text{m}}}=\frac{24}{0.6}=40;$$

$$\tau_{\text{M}_{0.6 \text{Hg}}} = 0.4 \cdot 40 = 16 \text{ H} = 57 600 \text{ C}$$

Подставляем известные данные и определяем теплоприток

$$Q_{\pi} = \frac{3,745 \cdot 10^{3} [4,19 \cdot 20 + 335,2 - 2,1(-5)]}{57600} = 27,92 \text{ kBt};$$

Теплоприток от металлоконструкций льдогенератора определяем по формуле

$$Q_{\rm MT} = \frac{G_{\rm MT}c_{\rm MT}(t_{\rm oT} - t_{\rm o})z}{\tau_{\rm n_{\rm ofm}}} \,,$$

где $G_{\rm MT}$ — масса металла, отепляемого при оттаивании льда и охлаждаемого при подготовке к замораживанию льда, кг; $c_{\rm MT}$ — удельная теплоемкость металла, кДж/(кг·К) [для стали $c_{\rm MT}$ = 0,461 кДж/(кг·К)]; $t_{\rm OT}$ — температура, до которой нагреваются металлоконструкции льдогенератора, °C ($t_{\rm OT}$ = 15°C).

Массу G_{MT} определяем по формуле

$$G_{\text{MT}} = 1.1 (G_{\text{T}} + G_{\text{T};p} + G_{\text{O}})$$

где 1,1 — коэффициент, учитывающий массу неучтенных элементов (патрубки, опоры и т. д.); $G_{\tau,p}$, $G_{\tau,p}$, $G_{\tau,p}$ масса охлаждающих труб, трубных решеток и обечайки, кг.

Масса 1 м стальной трубы днаметром $57 \times 3,5$ мм составляет m=4.62 кг.

Следовательно, масса труб

$$G_{\rm T} = mnh = 4.62 \cdot 25 \cdot 3 = 346.5 \text{ Kr}$$
:

Массу двух трубных решеток принимаем равной $G_{\text{т.p}} = 100$ кг. Массу обечайки определяем по формуле

$$G_{ob} = \pi D_{ob} h \delta \rho_{cr}$$
,

где D_{06} — диаметр обечайки льдогенератора, м (D_{06} = 0,6 м); δ — толщина обечайки, м (δ = 0,008 м); $\rho_{c\tau}$ — плотность стали, кг/м³ ($\rho_{c\tau}$ = 7500 кг/м³);

$$G_{o6} = 3.14 \cdot 0.6 \cdot 3 \cdot 0.008 \cdot 7500 = 340 \text{ Kg}$$
:

Тогда

$$G_{\text{MT}} = 1.1 (346.5 + 100 + 340) = 865 \text{ Kr},$$

$$Q_{\text{MT}} = \frac{865 \cdot 0.461[15 - (-15)]40}{57.600} = 8.3 \text{ KBt}.$$

Теплоприток $Q_{\mathtt{T}}$ учитываем следующим образом:

$$Q_{\rm T} = 0.1Q_{\rm A} = 0.1 \cdot 27.92 = 2.792 \text{ KBT}$$

Теплоприток $Q_{\rm H}$ (в кВт) рассчитываем с помощью выражения

$$Q_{\rm H} = N_{\rm HB} \eta_{\rm H} \eta_{\rm HB}$$
 ,

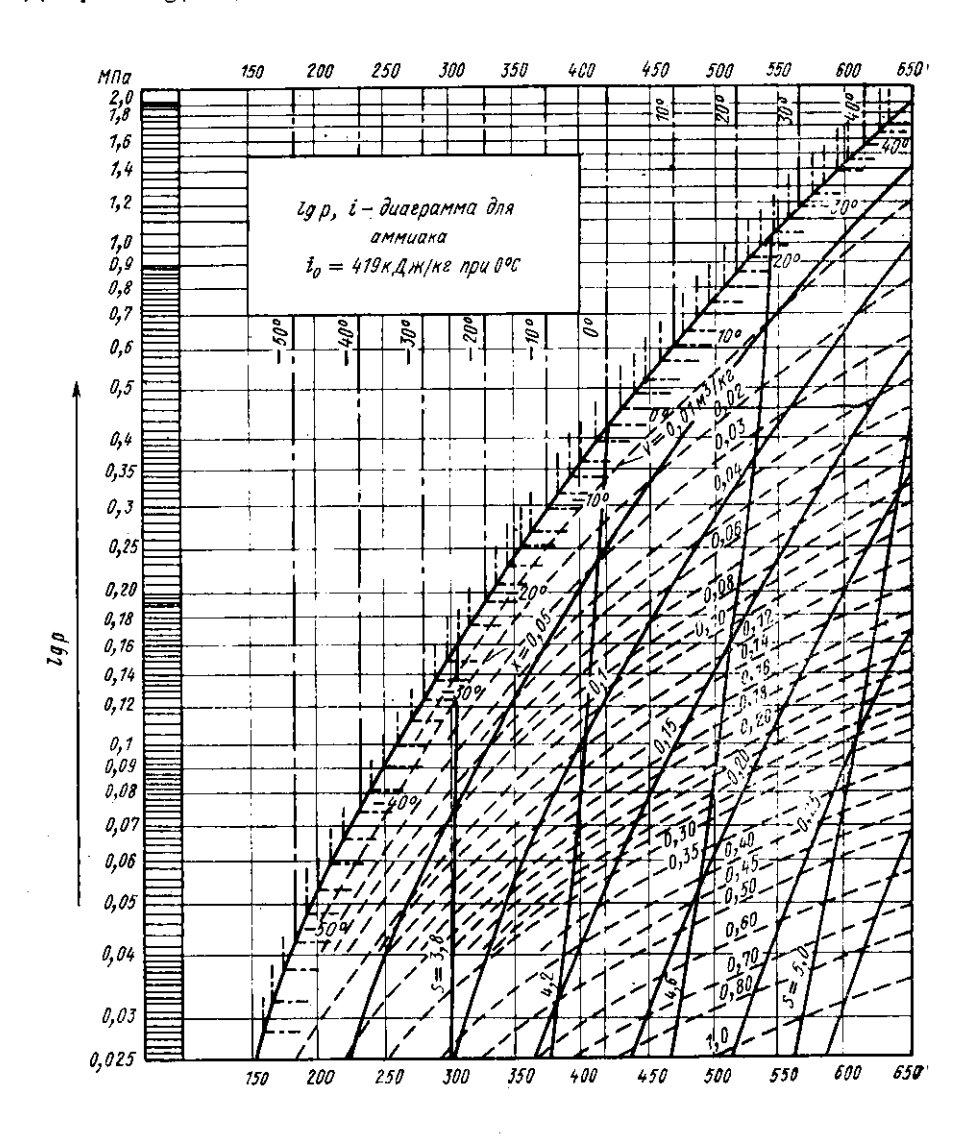
где $N_{\rm дв}$ — мощность электродвигателя насоса, кВт ($N_{\rm дв}$ = 2,8 кВт); $\eta_{\rm H}$ — КПД насоса ($\eta_{\rm д}$ = 0,6); $\eta_{\rm дв}$ — КПД электродвигателя насоса ($\eta_{\rm дs}$ = 0,85);

$$Q_{\rm H} = 2.8 \cdot 0.6 \cdot 0.85 = 1.428 \text{ kBr}$$

Определяем тепловую нагрузку на холодильную установку льдогенератора

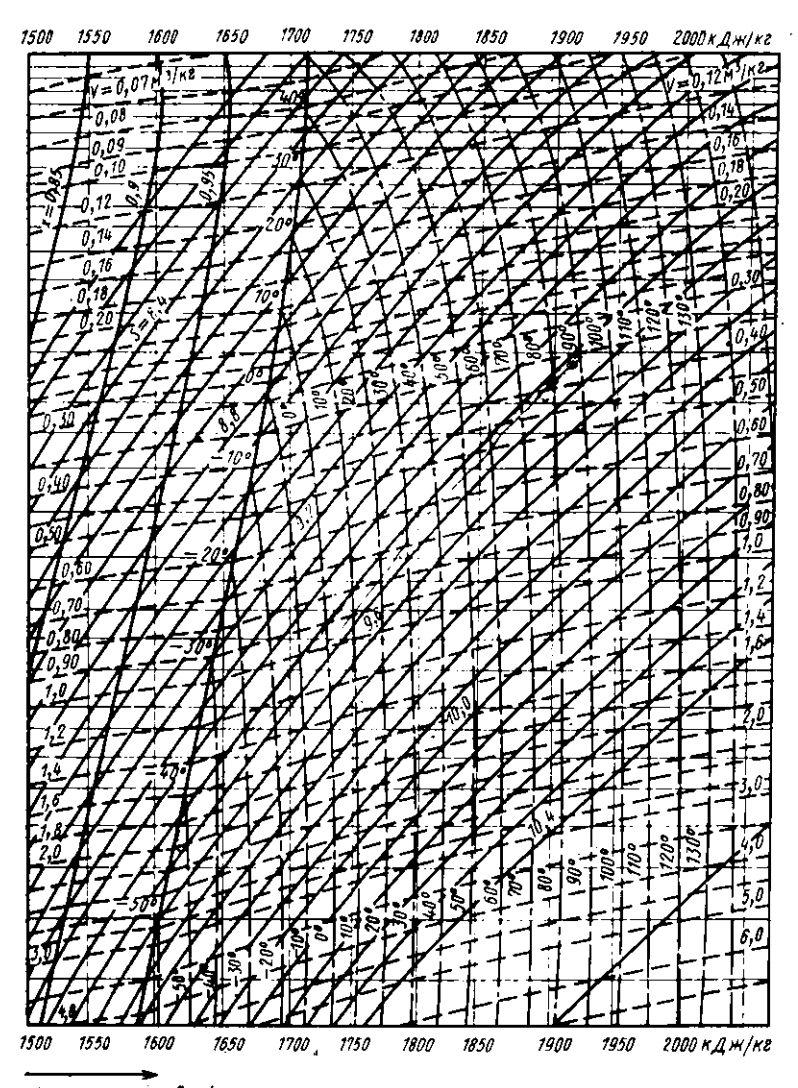
$$Q_0 = 27,92 + 8,3 + 2,792 + 1,428 = 40,44$$
 кВт.

Диаграмма lg p-i для аммиака



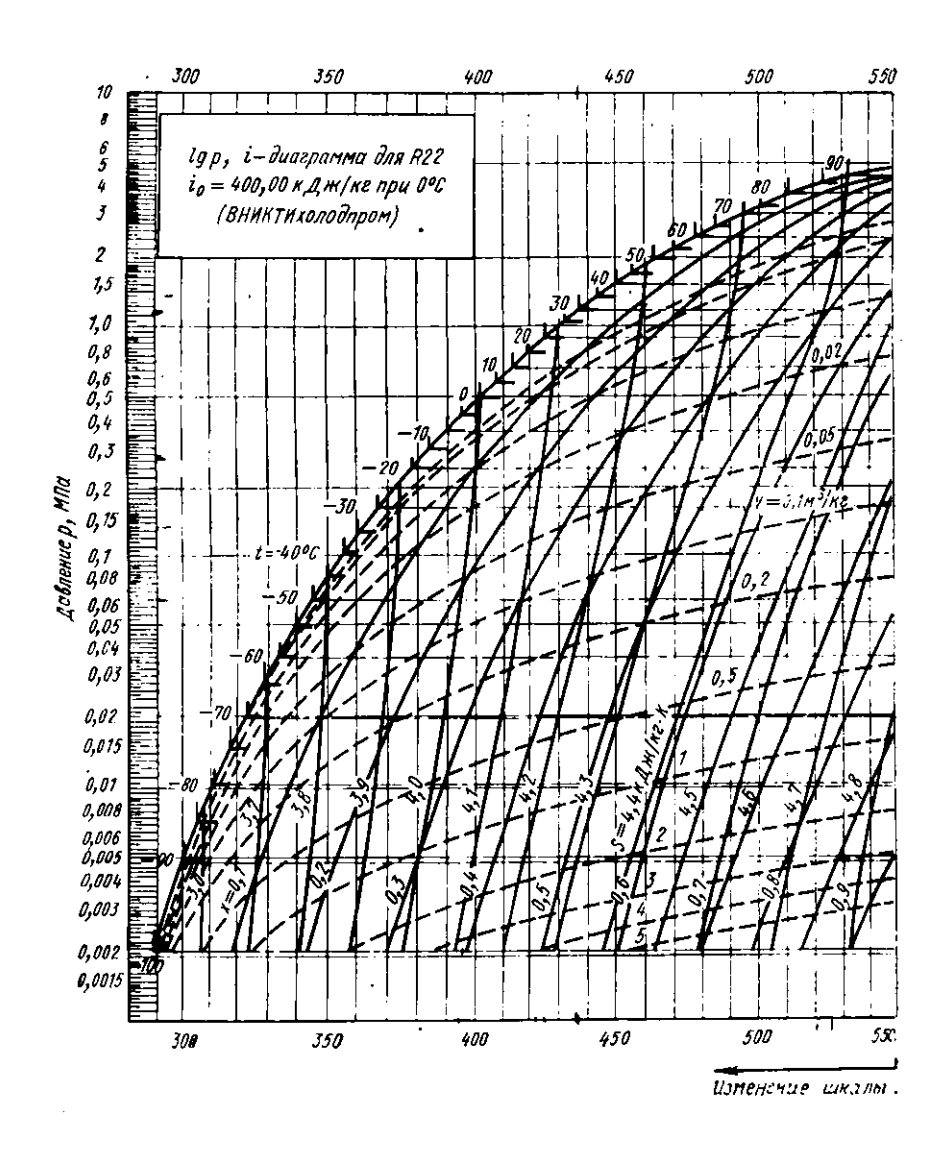
приложения

приложение 1

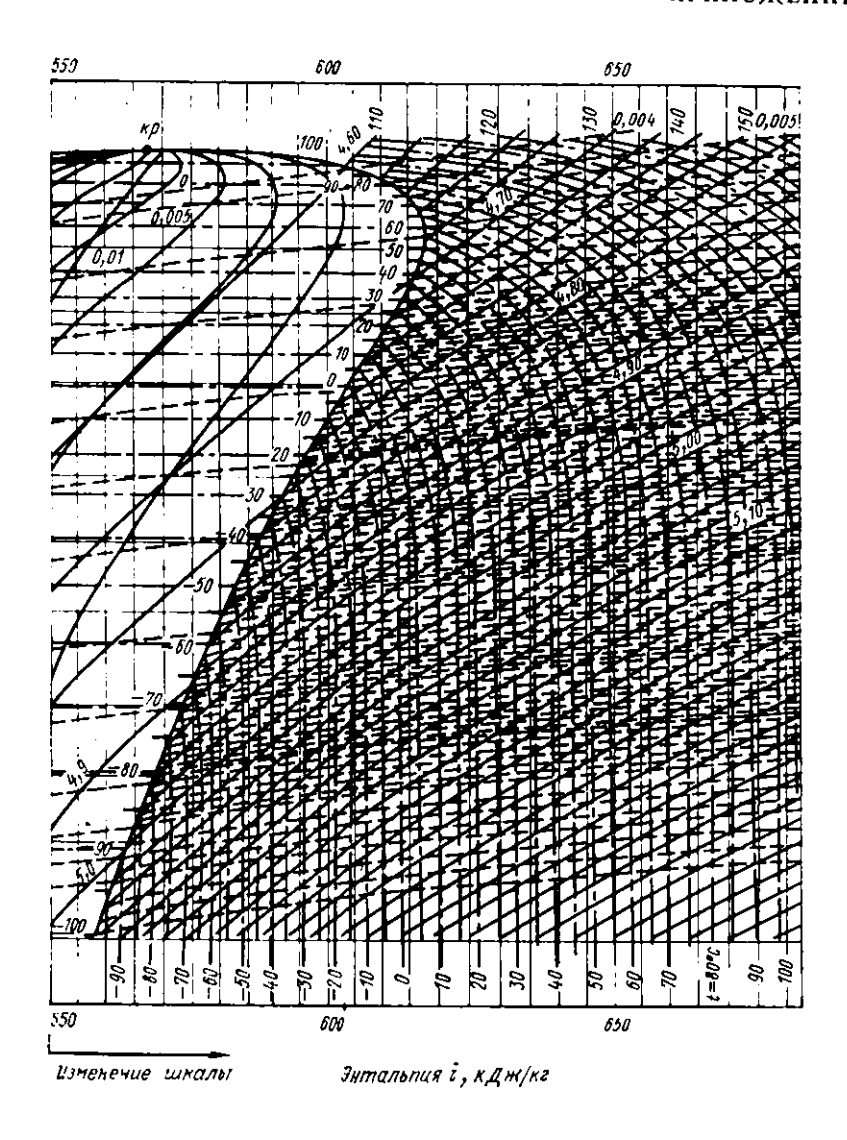


Энтальпия і, кДж/кг

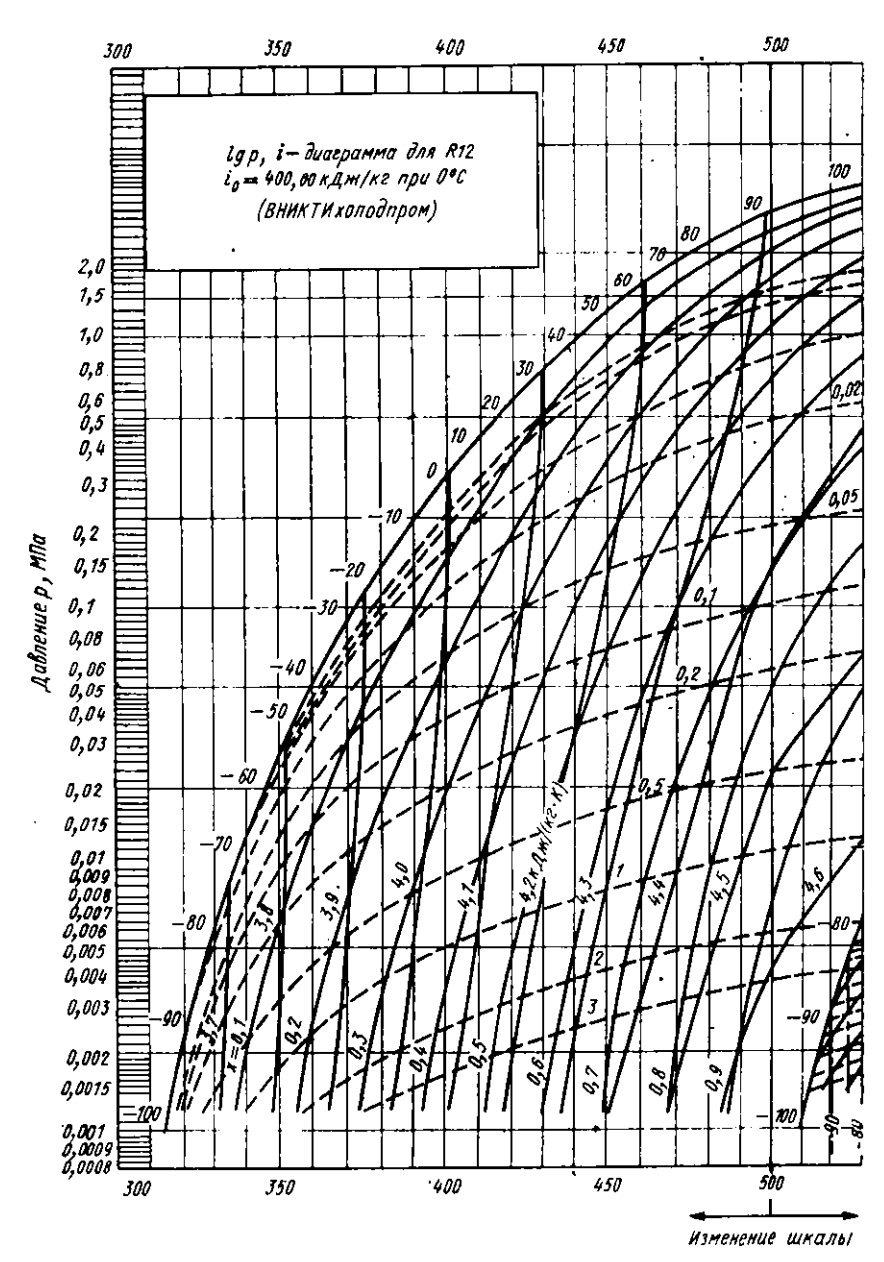
Диаграмма Ig р-і для R22



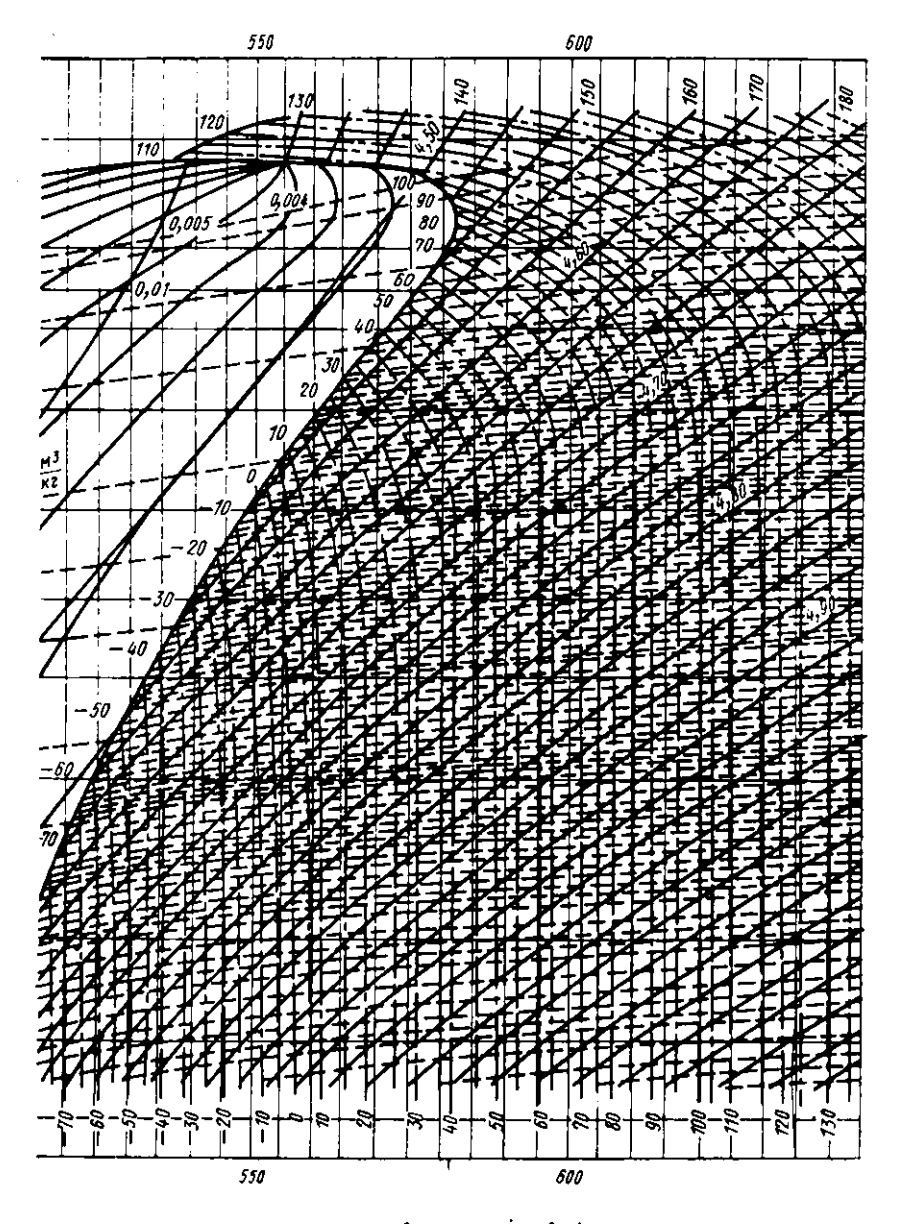
приложение 2



165



приложение з



Энтальпия і, кДж/кг

167

Характеристика аммиачных конденсаторов

а. Горизонтальных кожухотрубных

; Конден са тор	Площадь поверхности, м ²	Объем меж- трубного пространства, м ³	Конденсатор	Площадь поверхности, м [‡]	Объем меж- трубного пространства, м ³
KTT-10	_9	0,16	КТГ-90	90	1,26
KTT-20	20	0,32	KTT-110	110	1,58
KTI -25	25	0.39	KTΓ-140	140	2.0
КТГ-32	32	0.52	KTΓ-180	180	2,5
Κ ΤΓ-40	40	0.53	KTГ-250	250	3,5
KTT-50	50	0,7	КТГ-300	300	4,0
KTC-65	65	0.885			

б. Вертикальных кожухотрубных

Конденсатор	Площадь поверхности, м ²	Объем межтрубного пространства, м ³	Конденсатор	Площадь поверхности, м²	Объем межтр убного пространства, м ³
50KB	50	1,12	125KB	125	2,2
75KB	7 5	1.27	150KB	150	2,64
100KB	100	1,8	250KB	250	3,64

в. Испарительных

Марка	Площадь по- верхности, м²	Подача вентиля- торов, м ³ с	Количество вентиляторов
ИК-125	131	12,2	3
ИК-200	212	19,5	5
ИК-315	318	30,7	4

приложение 5

Характеристика аммиачных испарителей

а. Панельных

			Габар	итные разые	ры, мж	
Испаритель	Площадь поверхности, м²	Количество секций	дзина	ширина	высота	Вместимость по аммиаку, из
20 ИП 30 ИП	20 30	4×5 6×5	3470 3470	575 575	1050 1050	0,1136 0,169

168

		_		Габаритные размеры, мм			
	Площадь поверхности, м ²	Количество секций	длина	шкрина	высота	вместимость по аммиаку, м ³	
40	ип .	40	8×5	3470	73 5	1050	0,223
60	ИП	60	12×5	3670	1060	1050	0,332
90	ИП	90	18×5	3 670	1045	1050	0,497
120	ИП	120	12×10	6100	1115	1200	0.501
180	ИП	180	18×10	6100	1625	1200	0,744
240	ИП	240	24×10	6100	2135	1200	1,008
320	ИП	320	32×10	6100	2815	1200	1,34

б. Кожухотрубных горизонтальных (затопленного типа)

Ис пари-	Площадь позерх-	r.	. баритные	размеры, мм	ı	Количе- ство	
тель	ности, м²	диаметр	SHURE	ширина	высота	труб, шт,	ного про- странства, м¹
ИКТ-40	40,7	600×8	3580	1075	1590	216	0.52
ИКТ-50	54	600×8	4580	1075	1590	216	0.7
ИҚТ-65	67,8	600×8	5580	1075	1590	216	0,885
ИКТ-90	96,8	800×8	4670	1310	1950	386	1,14
ИКТ-110	121	800×8	5670	1310	1950	386	1,58
ИКТ-140	154	1000×10	4800	1493	2270	616	2,1
ИКТ-180	193	1000×10	5800	1493	2270	616	2,64
ИКТ-250	273	1200×12	5920	1788	2670	870	3.8
ИКТ-300	327	1200×12	6920	1788	2670	870	4,5

приложение 6

Рекомендуемые режимы холодильной обработки и нормы усушки мяса и мясопродуктов*

а. Режимы охлаждения

		-	Темпера-	Скорость	Температу	рамяса, С	FY
Способ охл	ажден	HЯ -	тура воздуха, С	движения воздуха, м/с	RBH dr. 6 PBH	конечная	Продолжитель- ность охлажде- ния, ч
Одностадийны	ıñ						
1 (для і мяса)	всех	видов	0	0,5	3 5	04	24 (не более)
2 (для і мяса)	всех	видов	— 3	0,8	35	04**	16 (не более)

Рекомендуемые режимы холодильной обработки мяса и мясопродуктов приведены в сборнике технологических инструкций по охлаждению, замораживанию, размораживанию и хранению мяса и мясопродуктов на предприятиях мясной промышленности, опубликованном в журнале «Холодильная техника», 1981, № 7, 8, 9 и 10.
 Для говядины.

б. Режимы однофазного замораживания*

7	Продолжительность процесса**, ч (не более) при циркуляции			
Температура воздуха, °С	естественной	принудительной (0,8 м.с)		
-23	20	35		
-30 -35	32 —	$\begin{array}{c} 27 \\ 23 \end{array}$		

В таблице указана скорость движения воздуха на уровне бедренных частей полутуш.
 В таблице приведена продолжительность однофазного замораживания парных говяжьих полутуш массой до 110 кг, продолжительность замораживания свиных полутуш и бараных туш массой соответственно не более 45 и 30 кг принимается в размере 80 и 60% от продолжительности замораживания говяжых полутуш.

в. Режимы хранения охлажденного мяса

	Парамет	ры воздуха	
Вид мяса	Температура, С	Относительная влажность, %, не менее	Допустимые сроки хранения, сут, не более
Охлажденное мясо говядина в полутушах и четвер-	—1	85	16
тинах свинина в полутушах баранина в тушах Переохлажденное (подмороженное)	$-1 \\ -1 \\ -2$	85 85 90	12 12 20
мясо (все виды мяса, размещенные на конвейере или в штабеле)			

г. Режимы хранения замороженного мяса (неупакованного)

Вид мяса	Температура воздуха, С	Предельный срок хранения, мес, не более
Говядина в полутушах и четвертинах	-18	12
	$-20 \\ -25$	14 18
Баранина в тушах	-2.5 -18	10
	-2)	11
	-25	12
Свинина в полутушах	-18	6
	-20	7
	2 5	12

д. Нормы усушки (в %) парного мяса при охлаждении до $4\dots 0$ °C в камерах холодильников*

_	Продолжительность охлаждения	
Внд и категория мяса	до 16	от 16 до 24
Говядина в полутушах и четвертинах І категории ІІ категории Свинина в тушах и полутушах І категории	1,40 1,57 1,30	1,60 1,75 1,50

_	Продолжительность охлаждения,		
Вид и категория мяса	до 16	от 16 до 21	
II категории в шкуре без шкуры	1,30 1,18	1,50 1,36	

^{*} Нормы усушки мяса и мясопродуктов приведены в статье «О применении новых норм усушки» (см. журнал «Холодильная техника», 1984, № 8, с. 42).

е. Нормы усушки (в %) охлажденного мяса при хранении в камерах холодильников

Вид и категория	Нормы усушки, %				
мяса	за сутки	за двое суток	за трое суток		
Говядина в полутушах, четвертинах и					
торговых отрубах	0.33	0.50	0,58		
I категории	0,33	0,30	0,63		
11 >	0,09	0,00	0,03		
Баранина и козлятина в тушах	0.38	0.57	0 .6 5		
I категории					
	0,45	0,64	0,73		
Свинина в тушах и полутушах			o 45		
<u>I_категории</u>	0.22	0.40	0,47		
II »	0,24	0,40	0,48		

Примечание. При хранении охлажденного мяса свыше трех суток норма усушки (в %) увеличивается в следующем размере.

Вид мяса	За каждые сутки хранения	Нормы усушки, %	
Говядина, баранина	4—5 6—7	0,06	
Свинина	0—7 Свыше 7 4—5	0,01 0,03	
	6—7 Свыше 7	$\substack{0.02\\0.01}$	

ж. Нормы усушки (в %) парного мяса при замораживании до —8°С в камерах холодильников (однофазный способ)

Вид и категория мяса	Нормы усушки, %
Говядина в полутушах и четвертинах І категории ІІ » Свинина в тушах и полутушах І категории	1,58 1,85 1,60
11 » в шкуре без шкуры	1,60 1,23

з. Нормы усушки замороженных говядины, баранины, свинины неблочных при хранении в камерах холодильников с батарейным и смещанным охлаждением (в % за I месяц хранения)

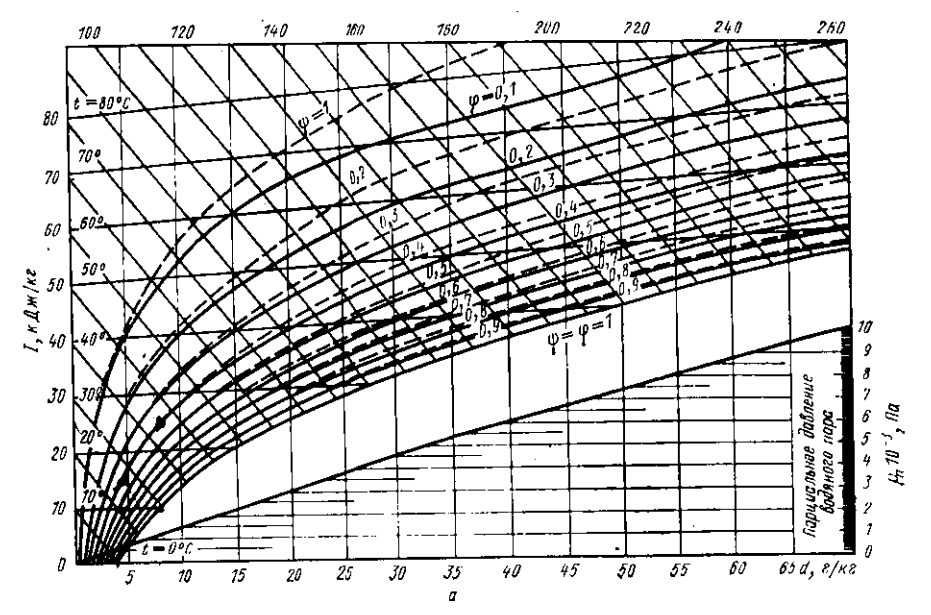
Вид и категория мяса, субпродукты		Северн	ая эона Средня зона			
	Ι кв.	Ц кв.	III KB.	IV κΒ.	I кв.	Ц кв.
Одноэтажные холодильники ем	икостью	о от 30	0 ти	выше		
Говядина в полутушах, четвертинах и						
торговых отрубах	0.00	0.10	0.05		0.00	
I категории	0,06	0,16		0,10	0,03	0,20
II категории и тощая	0,07	0,20	0,301	0,14	0,10	0,24
Баранина и козлятина в тушах І категории	0.07	0.20	Λ 31	0.14	0,10	0.24
II категории и тощая	0.08		0,34			0,26
Свинина в тушах и полутушах (всех		0.16	0.24	0,10	0.08	0,19
категорий упитанности, кроме третьей)	0,00	}	V,,	0,.0	0,00	0,10
, , ,		,				
		•			Продо.	лжение
		едния она		Южп	ая зона	
Вид и категория мяса, субпродукты	III KD.	-1V кв.	1 KD.	П кв.	III KB.	IV KB.
О ниналидолох выпжатеондО	NKOCTI		1 200 m u	PLUIA	<u>. </u>	<u></u>
Одноэтажные холодильний (- MINOC 11	010 01 0	700 I M	выше		
Говядина в полутушах, четвертинах и торговых отрубах						
І категорин	0.27	0.14	0.16	0.23	0.29	0,21
II категории и тощая	0.31	0,19	0,20	0,29	$0,\bar{37}$	0,26
Баранина и козлятина в тушах	•	•	•		,	,
. I категории	0,34	0, 19		0.29	0.37	0,26
II категории и тощая	0,37	0,20			0,40	0,29
Свинина в тушах и полутушах (всех категорий упитанности, кроме третьей)	0,26	0,14	0,16	0,23	0,29	0,20

приложение 7

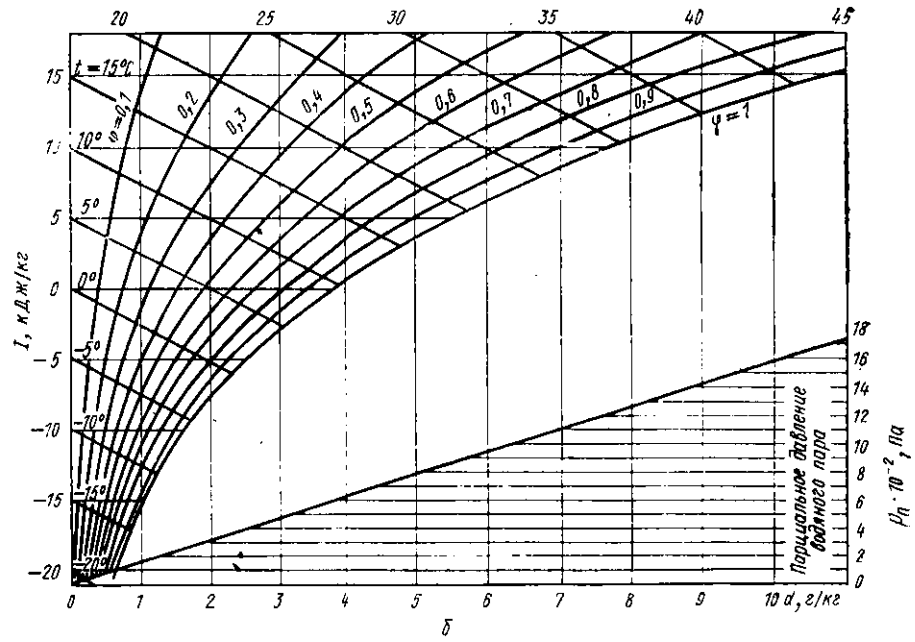
Физические свойства сухого воздуха (р6=101, 325 кПа)

Темпера- тура 1, С	Плот- ность г _в , кг. м ^з	Удельная теплоем- кость с _в , кДж (кг. К)	Коэффи- циент теплопро- водности х _в ·10 ² , Вт/(м·К)	Темпера- туропро- водность ав 10°, м ² .с	Динами- ческая вязкость µ _В ·10°, Н·с.м²	Кинема- тическая вязкость ув. 10°, м²/с	Число Прандтав Рг
-50 -40 -30 -20 -10 0 10 20 30	1,584 1,515 1,453 1,395 1,342 1,293 1,247 1,205 1,165	1,013 1,013 1,013 1,009 1,009 1,005 1,005 1,005	2,04 2,12 2,20 2,28 2,36 2,44 2,51 2,59 2,67	12,7 13,8 14,9 16,2 17,4 18,8 20,0 21,4 22,9	14,6 15,2 15,7 16,2 16,7 17,2 17,6 18,1	9,23 10,04 10,80 11,61 12,43 13,28 14,16 15,01 16,00	0,728 0,728 0,723 0,716 0,712 0,707 0,705 0,703 0,701
40 50	1,128 1,093	1,005 1,005	2,76 2,83	24,3 25,7	19,1 19,6	16,96 17,95	0,699 0,698

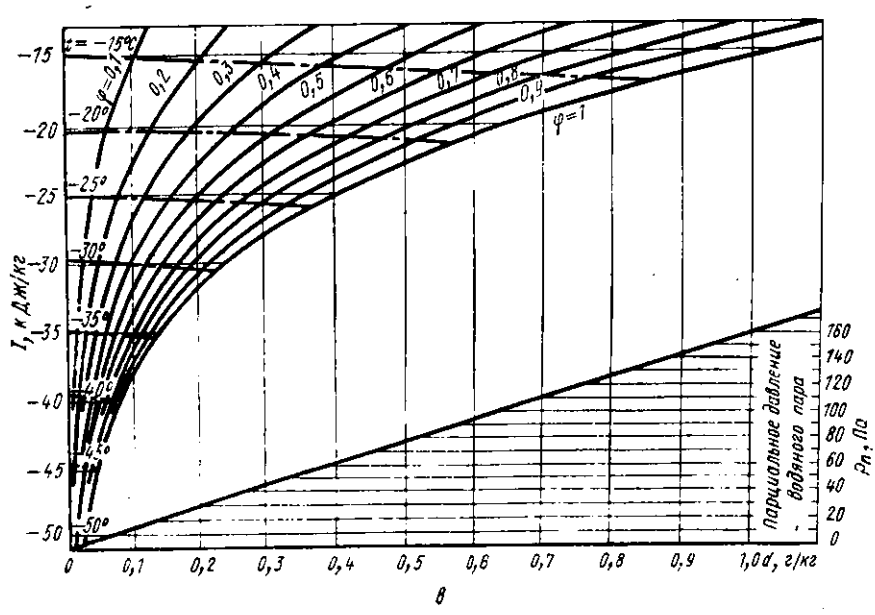
l - d-диаграмма воздуха ($p_6 = 100 \text{ к}\Pi a$)



а) в диапазоне температур 80...0°С;



б) в диапазоне температур 15...—20°С;



в) в диапазоне температур —15...—50°С

ПРИЛОЖЕНИЕ 9

Коэффициент теплопроводности	[в	Вт/(м·К)]	пищевых продуктов
------------------------------	----	-----------	-------------------

Продукт	Свежее состоя- ние $\lambda_{\Pi p}$	Замороженное состояние друго достояние друго др
Клубника	0,48	1,11
Вишия	0,52	1,34
Фруктовые соки	0.55	2,08
Огурцы	0,53	1,25
Картофельное пюре	0,48	1,09
Говядина Свинина	0.450,50	1,091,59
жирная	0.37	0.72
мясная	0.49	1,56
Треска (филе)	0,53	1,191,40
Яйца	0,42	0,96

Температура продукта, °С	Мясо говяжье, птица	Баранина	Свиния	Субпродукты мясные	Рыба тощая	Рыба жирная	Haus B ckop- ayne	Якчный меланж	Масло сли- вочное	Виноград, абракосм, вишия	Фрукты и пло- ам других вилов
20	0	0	0	0	0	0	_	0	0	. 0	0
18	4,6	4,6	4,6	5,0	5,0	5,0	_	4,6	3,8	7,5	6,7
-15	13,0	12,6	12,2	13,8	14,3	14,3		11,3	10,1	20,6	17,2
12	22,2	21,8	21,4	24,4	24,8	24,4	_	18,4	17,6	36,5	29,8
-10	30,2	29.8	28.9	33,2	33,6	32,7		24,3	23,5	49,8	38,5
8	39,4	38,5	34,8	43,1	43,5	42,3		31,0	29,3	66,5	51,0
- 5	57,3	55,6	54,4	62,8	64,0	62,5	_	44,8	40,6	116,0	82,9
— 3	75,3	74.0	73,3	87,9	88,4	85,5	227,4	63.2	50,5	202,2	139,0
- 2	98,8	95,8	91,6	109,6	111,6	106,2	230,2	83,3	60,4	229.0	211,0
1	185,5	179,5	170,0	204,0	212,2	199,8	233,8	141,9	91,6	232,6	267,9
0	232,2	224,0	211,8	261.0	265.8	249.0	237.0	264,2	95,0	235,8	271,7
1	235,5	227,0	214,7	264,5	269,5	252,0	240.0	267,5	98,8	239,5	274,3
2	238,2	230,0	217,8	268,3	272,9	256,0	243,3	270,8	101,4	242,9	279.0
4	24 5,5	236,3	224,0	274,3	280.0	262,6	249,8	277,6	106,5	250, 2	286,7
8	248,2	249,0	235,8	289,2	293,9	277,0	262,4	291,4	121,4	264,5	302,0
10	264.5	255,3	241.7	296.0	301,0	283,0	268,7	299,5	129.8	271,8	308,8
12	270,8	261,4	248,2	302,2	308,0	290,0	274,3	305,2	138,6	278,6	317,0
15	280,4	271,2	256.8	312,8	314,4	300,4	284,4	315,7	155,3	289,6	328,0
20	296.8	286,7	272,5	330,6	336,0	317,4	300,0	332,8	182,8	307,0	346,5
2 5	312,0	301.8	287,7	348.0	353,6	334,4	316,2	350,0	204,2	325,5	365,6
30	329,0	314,0	301.8	366,0	371,0	351,5	331,5	367,2	221,4	343,0	384,8
3 5	345.0	334.0	317,8	384.0	388,0	369,0	347.5	384,3	240,0	360,5	403,0
40	361.0	349,8	332,2	401,0	406.0	385,0	362,7	401,5	253,6	378,0	421,0
									DOUB	AWEL	12E 44

приложение 11

Удельная теплота дыхания плодов и овощей

Сырье	Удельная теплота дыхания q ₀ , кВт/т	Температур- ный коэффи- цнент скорости дыхания b, 1/°C	Сырье	Удельная теплота дыхання до кВт/т	Температур- ный коэф- фициент скорости дыхания b, 1/°C
Апельсины	0,0106	0.0733	Лимоны	0.0112	0.0718
Бананы	0.0213	0.0782	Лук репчатый	0.011	0.0668
Виноград	0,0138	0.1277	Малина	0.074	0.1349
Вишня	0.0173	0.1338.	Морковь	0.0135	0,1319
Груши	0.0095	0.1675	Огурцы	0.0197	0.1187
Дыни	0.0152	0.1215	Персики	0.0236	0,1139
Капуста бело-	0,0145	0,0778	Свекла столовая	0,0195	0,0717
кочанная Картофель	0,01	0,0617	Яблоки	0,0121	0.0932

Коэффициент испарения с поверхности воды, льда и некоторых пищевых продуктов

Объект и условия	β _П , кг/(м²·с·Па)	Литературный источ- ник, автор
Вода при свободном движении воз-	(8998)10-10	Ф. Леви
духа Лед Мясо мороженое (при скорости движения воздуха 0,8 м/с)	127,1-10-10	Д. Г. Рютов
I категории	$(62,5 \div 81,2) 10^{-19}$	*
II категории	106,2.10-10	*
Мясо мороженое неупакованное* Яйца в коробках (при воздушной системе охлаждения) Яблоки, упакованные в тару (при воздушной системе охлаждения)	·	Ф. Леви Е.С. Курылев (данные ЛТИХПа) Б.Н. Малеван- ный**

Скорость движения воздуха не указана.
 Значение β_п приведено в Сборнике примеров расчетов и лабораторных работ по курсу «Холодильное технологическое оборудование» (М. М. Голянд, Б. Н. Малеванный, М. З. Печатников, В. Т. Плотников). М.: Легкая и пищевая промышленность, 1981, с. 112.

приложение 13

Площадь поверхности массообмена при хранении мороженого мяса в штабеле (масса продукта в штабеле 80-120 т)

Продукты	Плотность укладки мяса в штабеле, кг.м ^а	Площадь поверхнос- ти массообмена, м²/т
Говядина в четвертинах, полутушах	350400	12
Свинина в полутушах	450	11
Баранина в тушах	300	20

приложение 14

Норма загрузки 1 м³ грузового объема холодильных камер

	Норма загруз- ки, т/м ³	Гіродукты	Норма загруз- ки, т/м ⁵	
Говядина мороженая в четвертинах в полутушах в четвертинах и полуту- шах Баранина мороженая Свинина мороженая Мясо и субпродукты в блоках Птица мороженая в ящиках	0,40 0,30 0,35 0,28 0,45 0,60	Сыры без тары и в деревянных ящиках Сметана в кадках Яйца в деревянных ящиках в картонных ящиках Яичные и молочные продукты	0,50 0,75 0,32 0,27 0,40	

Продукты	Норма загруз- ки, т.м ³	Продукты	Норма вагрузки, т. м ^а
Масло сливочное		Рыба мороженая в деревян-	0,45
в деревянных ящиках	0.70	ных и картонных ящиках	
в картонных ящиках	0.80	Рыбное филе мороженое в	0,70
Масло и жиры топленые	0.00	картонных ящиках	0.26
в деревянных ящиках	0.65	Яблоки и груши в деревян-	0,36
в деревянных бочках	0,54	ных ящиках	
При	укладк	е на поддонах	
Птица мороженая	0.44	Сыры в деревянных ящиках	0,40
в деревянных ящиках	0,44	Яйца	0.00
в картонных ящиках	0.38	в деревянных ящиках	0,30
Масло сливочное	0.69	в картонных коробках	0,26
в деревянных ящиках	0,63	Рыба мороженая в деревян-	0.39
в картонных ящиках	0,70	ных ящиках	0.47
Жиры топленые в деревянных бочках	0,40	Рыба мороженая в картонных	0,47
оочках		ящиках	0.34
		Яблоки и груши в деревянных ящиках	0,04
При	укладке	в контейнерах	
Сыры без тары	0.30	Капуста	0.30
out of take	5,09	Картофель	0.50
		Морковь	0,36
Яблоки и груши	0.45	Лук репчатый	0,38
·	- ,	Свекла	0,46

Примечание. Нормы загрузки даны для продуктов в упаковке по массе брутто.

ПРИЛОЖЕНИЕ 15 Характеристика материалов, применяемых в теплоизоляционных конструкциях холодильников

Материалы -	Объемная масса р, кг/м³	Коэффициент теплопро- водности λ, Вт/(м·К)	Коэффициент паропрони- цаемости, µ, 10 ² , кг(м·с·Па)
Строите	тыные		
Асбоцементные листы и плитки	1900	0,35	7,32
Бетон с каменным щебнем или гравием	2200	1,28	12,5
Железобстоп	2400	1,4-1,6	8,4
Кладка из обожженного кирпича	1800	0.82	29,3
Кладка из силикатного кирпича	1900	0,87	29,3
Сосна и ель поперек волокон	550	1,74	17,1
Сосна и ель вдоль волокон	550	3,5	90
Штукатурка цементная	1800	0,9	20,9
Штукатурка известковая	1600	0,8	37,6

12 3akas 8302 177

Материалы	Объемная масса р, кг,м ³	Коэффициент теплопро- водности д, Вт/(м·К)	Коэффициент паропрони- цаемости, р. 10 ¹³ , кг/м с. Па)							
Теплоизоляционные										
Вата стеклянная	200	0,058	136							
Вата минеральная	200	0,069	136							
Жесткие минераловатные плиты на битумной связке (минеральная пробка)	250300	0,064-0,09	94,1							
Мипора	15	0,058	104—121							
Опилки древесные	2 50	0,093	73							
Пеностекло	500	0,174	6,2							
*	300	0.14	6,2							
Пено бетон	1000	0,395	20,9							
>	600	0,21	35,5							
>	300	0,128	73,2							
Пенопласт										
полистирольный ПСБ-С	20—2 5	0,047	6,3							
поливинилхлоридный ПВХ-1	90-130	0,035	16,7							
Пенополиуретан жесткий	5060	0,0350,041	6,3							
Плиты древесно-волокнистые	250	0,075	66,9							
Плиты пробковые	250	0,07	10,5							
Плиты из отходов пробки	150	0,058	12,5							
Плиты торфяные специальные (повышенной водостойкости)	250	0,07 5	52,3							
Шлак топливный	1000	0,29	54,4							
То же	700	0,22	60,6							
Шлак доменный гранулированный	900	0,19-0,25	56,5							
То же	500	0,16	64,8							
Пароизоляв	монне									
А сфальт	1800-2000	0,75—0,87	2,1							
Алюминиевая фольга	_	203,4	0,0015							
Битум нефтяной	1050	0,3-0,35	0,24							
Борулин	700900	0,29-0,35	0.3							
Бризол, изол	_	_	0.34							
Гидроизол	700-900	0,29-0,35	0,38							
Пергамин	600-800	0,14-0,18	0,33							
Полиэтиленовая пленка		0,29	0,0056							
Руберонд	600-800	0,14-0,18	0,376 •							

Характеристика воздухоохладителей

а. Аммиачных

	, H	1 no-			Ве	нтилято	ры		2.5	4.
Bosaykook- aaketeab	Площакь по- верхности, м ^в	Тепловой по ток при Af-	Шаг ребер, ым	количест- во, шт.	днаметр, мм	частота вращения, с	мощность, кВт	подача воздуха, м³/с	Мощность электронагре вателей, кВт	Виестиность по аминаку,
ВОП-50	50	6000	13,4	2	400	16,7	0,4	0,67	8,68	22
						25	0,6	0,95		
BOI1-75	75	9000	8,6	2	400	16,7	0,4	0,67	8,68	22
						25	0,6	0,95		
ВОП-100	100	12000	17,5	2	600	16,7	1,1	1,38	12	30
						25	1,5	2,07		
ВОП-150	150	18000	11,3	2	600	16,7	1,1	1,38	12	30
						25	1,5	2,07		
ВОГ-100	100	12000	17,5	2	600	16,7	1,1	1,82	12	30
						25	1,5	2,72		
ВОГ-230	230	27000	17,5	1	800	2 5	4,0	4,7	25	60
			13,4							

б. Хладоновых

Воздухоохладитель	Площадь поверх- ности, м²	Шаг ребер, мм	Площадь живого се- чения, м ²	Масса, кг
BO-80-1; BO-80-3 BO-80-2; BO-80-4	82	10	0,869	192 180
BO-100-1; BO-100-3 BO-100-2; BO-100-4	105	7,5	0,856	202 190
BO-150-1; BO-150-3 BO-150-2; BO-150-4	155	5,0	0,831	222 212
BO-300-1; BO-300-3 BO-300-2; BO-300-4	301	2,5	0,755	282 270

Примечание. Габаритные размеры воздухоохладителей 1960×970 (975)×320 (400).

ПРИЛОЖЕНИЕ 17

Характеристика аммиачных компрессорных агрегатов

а. Одноступенчатых

Показасели	A110-7-0 1	A110-7-2	1A110-7-2	A165-7-0	A165-7-2	A2.0-7-0	A220-7-2
------------	------------	----------	-----------	----------	----------	----------	----------

Холодопроизводительность,

при
$$t_0 = -15$$
°C, $t_K = 30$ °C — 140 93 — 180 —

12*

Показатели	A110-7-0	A110-7-2	1A110-7-2	A165-7-0	A165-7-2	A220.7-0	A220-7-2
при $t_0 = -5^{\circ}\text{C}$, $t_k = 35^{\circ}\text{C}$ Эффективная мощность, кВт Описываемый объем, м³/с Мощность электродвигателя, кВт	325 53 0,0836 7 5	93 0,0836 55	 26 0,056 40	$^{440}_{75}_{0,125}_{100}$	$\begin{array}{r} -52 \\ 0,125 \\ 75 \end{array}$	663 112 0,167 132	78 0,167 100
Частота вращения, с-1	24,7	24,5	16,3	24,7	24,7	24,5	24,7

Примечания: 1. Агрегаты выполнены на базе компрессоров ППО, П165, П220. 2. Число цилиндров компрессоров: ППО — 4, П165 — 6, П220 — 8. 3. Диаметр цилиндров П15 мм, ход поршия 82 мм.

б. Двухступенчатых

	A.//	130-7-4	A,	190-3
Показатели	С, Н. Д.	С. В. Л.	с, н. д.	С. В. Д.
Марка агрегата	Агрегат АН130-7-6	Arperat AllO-1	Компрессор ротационный РБ 90	Компрессор поршневой П110
Описываемый объем, м ³ /с	0,236	0,0836	0,179	0,0836
Частота вращения,	50	25	25	25

Примечание: Холодопроизводительность при t_0 — $+40^{\circ}$ С, $t_{\rm K}$ — 35° С аммиачных агрегатов АД130-7-4 и АД90-3 соответственно 157 и 110 кВт, суммарная эффективная мощность 90 и 65.5 кВт, суммарная установленная мощность электродвигателей 135 и 115 кВт,

ПРИЛОЖЕНИЕ 18

Характеристика ресиверов различного назначения

Тип			Размеры, мм				
	Марка ресивера	Объем, м ³	диаметр и толщи- на корпуса	ВНИКЕ	высотв		
Линейные горизонтальные	0,4PB 0,75PB 1,5PB 2,5PB 3,5PB 5PB	0,4 0,75 1,5 2,5 3,5	500×8 600×8 800×8 800×8 1000×10 1200×10	2560 3190 3790 5790 4890 5480	980 1150 1370 1370 1580 1800		
Дренажные горизонтальные	0,75РД 1,5РД 2,5РД 3,5РД 5РД	0,75 1,5 2,5 3,5 5	600×8 800×8 800×8 1000×10 1200×12	3000 3600 5730 4825 5340	1150 1370 1370 1580 1800		

				Размеры, мм				
Тип	Тип Марка 706ъез	70бъем, м ³	днаметр и толщи- на корпуса	Длина	высота			
Дренажные вертикальные	;	1,5РДВ ^а 2,5РДВ ^а 3,5РДВ ^а 5РДВ ^а	1,4 2,7 3,4 4,6	800×8 1000×8 1200×12 1200×12	1116* 1320* 1524* 1524*	3300 3900 3500 4500		

^{*} Для ресиверов вертикального типа принята ширина.

приложение 19

Характеристика градирен

а. Типа ГПВ конструкции ВНИКТИхолодпрома

			Τиπ τ	адирни		
Показатели	ГПВ-10М2	ГПВ-20М	ГПВ-40M	ГПВ-80	ГПВ-160	ГПВ-320
Тепловая нагрузка при $\Delta t_w = 5^{\circ} \text{C}$, кВт	11,63	23,26	46,52	93,04	186,1	372,16
Площадь поверхности ороси-	25	51	112	206	463	772
тельной насадки, м ² Расход охлаждающей воды, кг/с	0,555	1,11	2,22	4,44	8,88	17,76
Расход воздуха, м ³ /с Площадь фронтального сече-	$0,546 \\ 0,21$	1,14 0,44	$\substack{2,5\\0,96}$	$\frac{4,52}{1,74}$	$\frac{10,20}{3,92}$	$\substack{16,9\\6,5}$
ния, м ² Площадь живого сечения для прохода воздуха, м ²	0,13	0,28	0,605	1,10	2,47	4,1
Скорость движения воздуха в живом сечении градирни, м/с	4,2	4,07	4,14	4,11	4,13	4,12
Удельная тепловая нагрузка, кВт/м ²	55,4	52,9	48,5	53,5	47,5	57,3
Плотность орошения, кг/(м ² ·с)	2,65	2,52	2,32	2,55	2,26	2,71

б. Конструкции Союзводоканалпроекта

Градирня	Колнчество секций в гра- дирне, шт.	Габаритные размеры в плане, м	Площадь поперечного сечения, м²
С нижним расположением венти- лятора, наземная	2 3	4×4 6×4	16 24
С нижним расположением вентиля- ropa, установленная на крыше	2 3 5	4×4 4×6 4×10	16 24 40
С верхним расположением вентиля- тора	2 3 4 5 6	4×8 4×12 4×16 4×20 4×24	32 48 64 80 96

Голянд М. М., Малеванный Б. Н. Холодильное технологическое

оборудование. — М.: Пищевая промышленность, 1977. — 335 с. Данилова Г. Н. и др. Сборник задач по процессам теплообмена в пищевой и холодильной промышленности. — М.: Пищевая промышленность, 1976. — 240 c.

Курылев Е. С., Герасимов Н. А. Холодильные установки. — Л.:

Машиностроение. Ленинградское отделение, 1980. — 622 с.

Мещеряков Ф. Е. Основы холодильной техники и холодильной тех-

нологии. — М.: Пищевая промышленность, 1975. — 560 с.

Применение холода в пищевой промышленности (микробиология холодильного хранения, холод в мясной и молочной промышленности). Справочник. — М.: Пищевая промышленность, 1979. — 272 с.

Применение холода в пищевой промышленности (холод в рыбной и пищевой промышленности). Справочник. — М.: Пищевая промышленность,

1979. — 152 c.

Сборник примеров расчетов и лабораторных работ по курсу «Холодильное технологическое оборудование»/ [М. М. Голянд, Б. Н. Малеванный, М. З. Печатников, В. Т. Плотников]. — М.: Легкая и пищевая промышленность, 1981. → 168 c.

Теплофизические основы получения искусственного холода. Спра-

вочник. — М.: Пищевая промышленность, 1980. — 232 с.

Физико-технические основы холодильной обработки пищевых продуктов. Под ред. Э. И. Каухчешвили. — М.: Агропромиздат, 1985. — 255 с.

Холодильные компрессоры. Справочник. — М.: Легкая и пищевая про-

мышленность, 1981. — 280 с.

Холодильные машины. Справочник. — М.: Легкая и пищевая про-

мышленность, 1982. — 224 с.

Холодоснабжение предприятий мясной и молочной промышлен-ности. Справочное пособие/ [И.Г. Чумак, М.С. Вайнштейн и др.]; под ред. И. Г. Чумака. — Киев: Вища школа, 1979. — 192 с.

Чижов Г. Б. Теплофизические процессы в холодильной технологии пищевых продуктов. — 2-е изд., перераб. — М.: Пищевая промышленность, 1979.—

Эксплуатация холодильников. Справочник. — М.: Легкая и пищевая промышленность, 1977. — 208 с.

ОГЛАВЛЕНИЕ

Предисловие	. ;
Раздел А. Холодильные машины	
Глава I. Термодинамические основы получения низких температур Глава II. Теоретический и действительный циклы одноступенчатых	4
паровых компрессионных холодильных машин	19 28
Раздел Б. Основные процессы холодильной технологии	38
Глава V. Охлаждение пищевых продуктов	3: 50 64 74 79
Раздел В. Холодильники	8-
Глава XIII. Расчет и подбор камерного оборудования	84 97 106 121 136 157
riphilometra, , , , , , , , , , , , , , , , , , ,	162
Список рекомендуемой литературы	١٤2

ГЕННАДИЙ ДМИТРИЕВИЧ АВЕРИН АЛЕКСАНДР МИХАЙЛОВИЧ БРАЖНИКОВ АЛЕКСЕЙ ИВАНОВИЧ ВАСИЛЬЕВ НАДЕЖДА ДМИТРИЕВНА МАЛОВА

ПРИМЕРЫ РАСЧЕТОВ ПО КУРСУ «ХОЛОДИЛЬНАЯ ТЕХНИКА»

Заведующая редакцией Л.В.Корбут Редактор И.А.Никитина Художественный редактор Т.И.Мельникова Технический редактор Г.Г.Хацкевич Корректоры М.А.Давыдова, Т.Ю.Шамонова

ИБ № 4607

Сдано в набор 28.11.85. Подписано в печать 20.03.86. Т-03150. Формат $60 \times 90^{1}/_{18}$. Бумага типографская № 3. Литературная гарнитура. Высокая печать. Усл. п. л. 11,5. Усл. кр.-отт. 11,75. Уч.-изд. л. 11,56. Тираж 7000 экз. Изд. № 535. Заказ 8302. Цена 40 коп.

Ордена Трудового Красного Знамени ВО «Агропромиздат», 197807, ГСП, Москва, Б-53, ул. Садовая-Спасская, д. 18.

Областная типография управления издательств, полиграфии и книжной торговли Ивановского облисполкома, 153628, г. Иваново, ул. Типографская, 6.